

13.10.09

GET III

ET III

Übung

Robert
Schwann

oder

oder

Betreuer am Lehrstuhl:

Robert Schwann, Raum 322

schwann@eecs.rwth-aachen.de

Tel.: 80-97577

Michael Ganssen, Raum 420

ganssen@eecs.rwth-aachen.de

Tel.: 80-97610

Thomas Coenen, Raum 320/319

coenen@eecs.rwth-aachen.de

Tel.: 80-97694

Betreuer bei der Fakultät:

guter
Tutor!
(angeht)

{ Paul Mols
mols@fb6.rwth-aachen.de

Download von Vorlesungs- und Übungsmaterial

www.eecs.rwth-aachen.de

→ Lehre → Vorl. u. Übungen → ET III → Vorlesungsmaterial

→ Downloadbereich → anmelden → Anmeldung starten

„Leicht oder nicht leicht – das hängt von den
mentalen Einstellung ab!“ (Ketov)

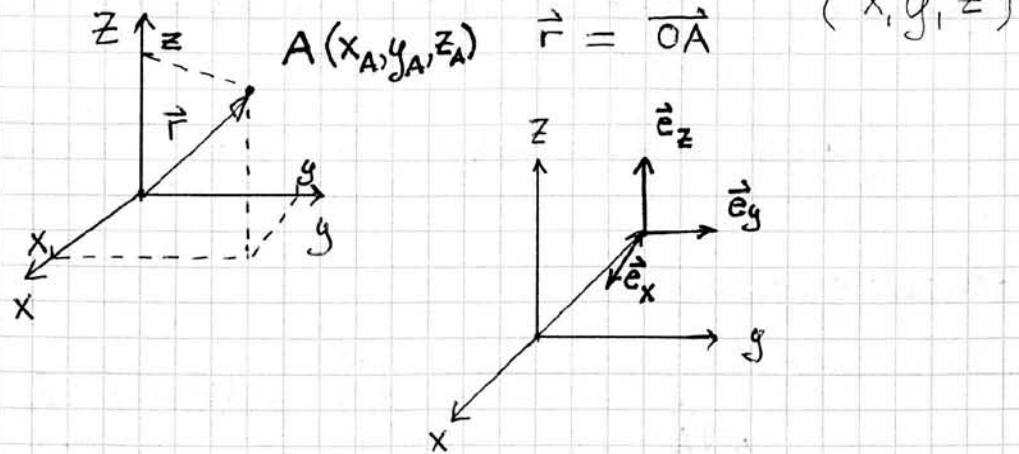
13.10.09
Übung

ketov@gmx.de

13.10.09

Einführung in die Koordinatensysteme

ET III

1) Kartesische Koordinaten („Legastine“)Aufpunkt
„A“

Ortsvektor : $\vec{r} = x \cdot \vec{e}_x + y \cdot \vec{e}_y + z \cdot \vec{e}_z$

$$r = |\vec{r}| = \sqrt{x^2 + y^2 + z^2}$$

$$-\infty < x < \infty$$

$$-\infty < y < \infty$$

$$-\infty < z < \infty$$

Einheitsvektoren: $\vec{e}_x, \vec{e}_y, \vec{e}_z$ sind konstant!
(Richtung)

weiterhin : $|\vec{e}_x| = |\vec{e}_y| = |\vec{e}_z| = 1$

Skalarfeld: $f(\vec{r}) = f(x, y, z)$
„Zahl“

z.B. Temperatur im Raum

Vektorfeld: $\vec{F}(\vec{r}) = \vec{F}(x, y, z)$

$$\begin{aligned} &= F_x(x, y, z) \cdot \vec{e}_x + F_y(x, y, z) \cdot \vec{e}_y + \\ &\quad + F_z(x, y, z) \cdot \vec{e}_z \end{aligned}$$

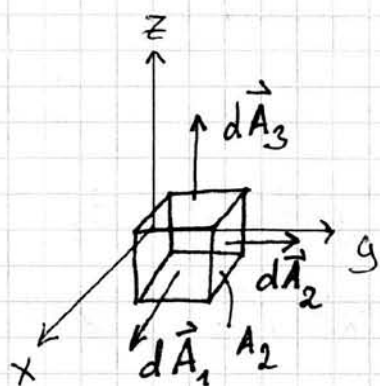
$\rightarrow \mathbb{R}$ die Vektorausdrücke im Raum

zur Kennthis:

Wegelement: $d\vec{r} = dx \cdot \vec{e}_x + dy \cdot \vec{e}_y + dz \cdot \vec{e}_z$
 $(= d\vec{s})$

(wird z.B. benötigt für $\omega = \int_{P_1}^{P_2} \vec{F}(\vec{x}) d\vec{s}$)

Flächenelemente:



$$d\vec{A}_1 = dy \cdot dz \cdot \vec{e}_x$$

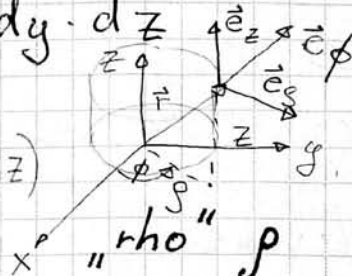
$$d\vec{A}_2 = dx \cdot dz \cdot \vec{e}_y$$

$$d\vec{A}_3 = dx \cdot dy \cdot \vec{e}_z$$

$d \equiv$
unendlich
klein, infinites
Klein

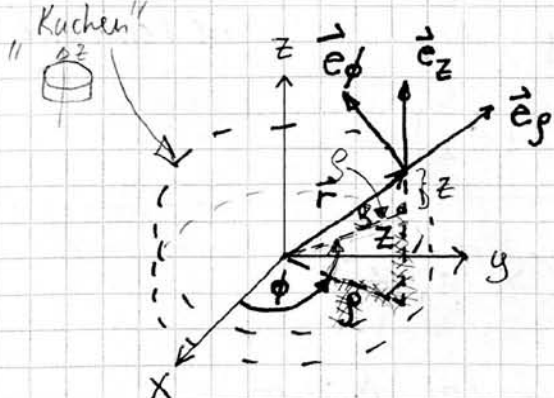
Vgl.
Normalform
einer
Ebene

Volumenelement: $dV = dx \cdot dy \cdot dz$



Achtung!

Schreibweise



"rho" ρ

"phi" φ , ϕ

besser

x, y, z

ρ, ϕ, z

↑ kürzester Abstand von der z -Achse

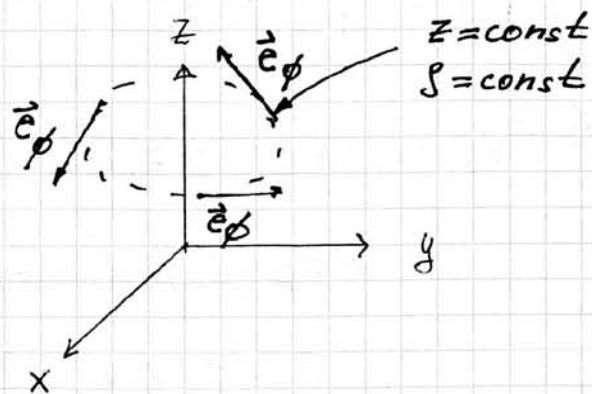
Anmerkung: die Einheitsvektoren liegen tangential
an „Koordinatenlinien“.

13.10.09

ET III

rechte Hand
Regel

Fäusten $\hat{=}$ z-Achse
4 Finger $\hat{=}$ Richtung \vec{e}_ϕ



\vec{e}_ρ und \vec{e}_ϕ
nicht konstant

Koordinatenlinien bzgl. ρ :

Radialstrahlen \perp z-Achse

Koordinatenlinien bzgl. ϕ :

Kreise um die z-Achse mit Radius ρ

Koordinatenlinien bzgl. z:

Geraden parallel zur z-Achse

Ortsvektor: $\vec{r} = \rho \cdot \vec{e}_\rho + z \cdot \vec{e}_z$

ändert seine Richtung mit ϕ

} kein
 \vec{e}_ϕ !

$$r = |\vec{r}| = \sqrt{\rho^2 + z^2}$$

$$(\text{dabei } \rho = \sqrt{x^2 + y^2})$$

Definitionsbereich: $0 \leq \rho < \infty$

eindeutiger Winkel: $0 \leq \phi \leq 2\pi$
 $-\infty < z < \infty$

Einheitsvektoren: $\underbrace{\vec{e}_\rho, \vec{e}_\phi, \vec{e}_z}_{\text{ändern ihre Richtung abhängig von } \phi}$

Skalarfeld: $f(\vec{r}) = f(r, \phi, z)$

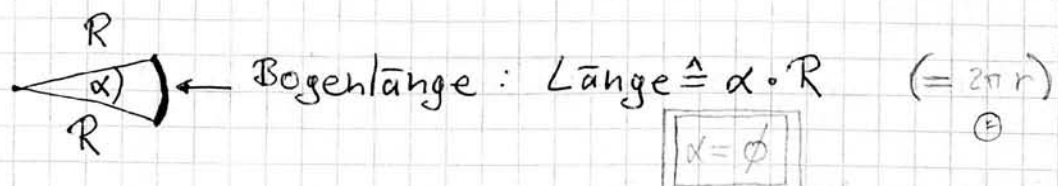
13.10.09

Übung

Vektorfeld: $\vec{F}(\vec{r}) = F_r(r, \phi, z) \cdot \vec{e}_r + F_\phi(r, \phi, z) \cdot \vec{e}_\phi + F_z(r, \phi, z) \cdot \vec{e}_z$

zur Kennthis:

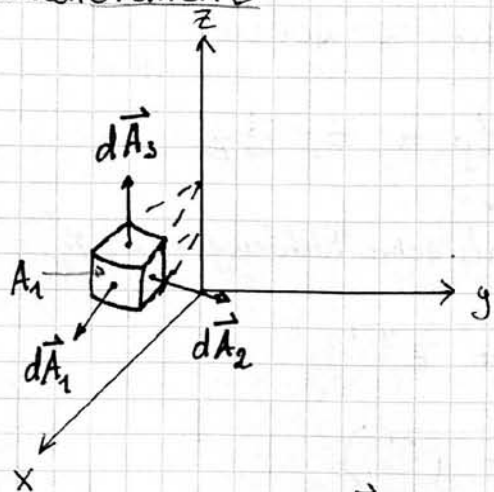
Wegelement: $d\vec{r} = dr \cdot \vec{e}_r + r \cdot d\phi \cdot \vec{e}_\phi + dz \cdot \vec{e}_z$



α darf nur
in Rad sein

möglichst
keine Winkel
verwenden
(z.B. 120°)

Flächenelemente:



Allg.: $d\vec{A} = dA \cdot \vec{e}_n$

infinitesimales
Flächeninhalt

Normalenvektor

$$d\vec{A}_1 = (r \cdot d\phi) \cdot dz \cdot \vec{e}_\phi$$

$$d\vec{A}_2 = dr \cdot dz \cdot \vec{e}_r$$

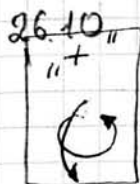
$$d\vec{A}_3 = (r \cdot d\phi) \cdot dr \cdot \vec{e}_z$$

Volumenelement: $dV = \underbrace{(r \cdot d\phi) \cdot dr \cdot dz}_{1}$

13.10.09

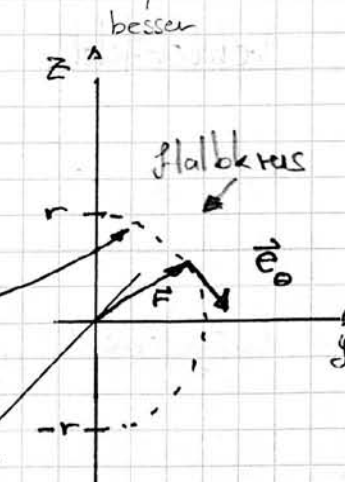
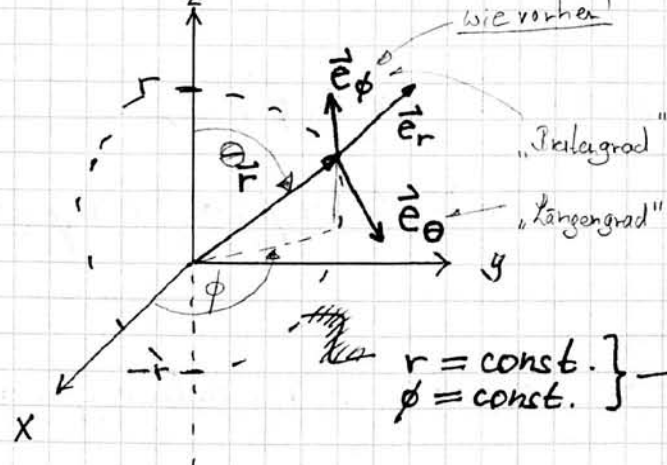
ET III

Start
Kleingruppe
MO ab



20.10.09

3) Kugelkoordinaten (r, θ, ϕ) theta: θ, φ



ET III Koordinatenlinien bzgl. r : Radialstrahlen vom Ursprung aus

Einheitsvektoren

alle b!

bzgl. θ : Halbkreise um den Ursprung, Radius r

bzgl. ϕ : Kreise um die z-Achse, Radius $s = r \cdot \sin \theta$

Ortsvektor: $\vec{r} = r \cdot \vec{e}_r$

Richtung hängt von ϕ, θ ab

$$|\vec{r}| = r$$

$$0 \leq r < \infty$$

$$0 \leq \theta \leq \pi \quad \text{für Eindeutigkeit}$$

$$0 \leq \phi < 2\pi$$

Einheitsvektoren: $\vec{e}_r, \vec{e}_\theta, \vec{e}_\phi$

hängen von θ, ϕ ab hängt von ϕ ab
hängen nicht von r ab!

Skalarfeld: $f(\vec{r}) = f(r, \theta, \phi)$

20.10.09

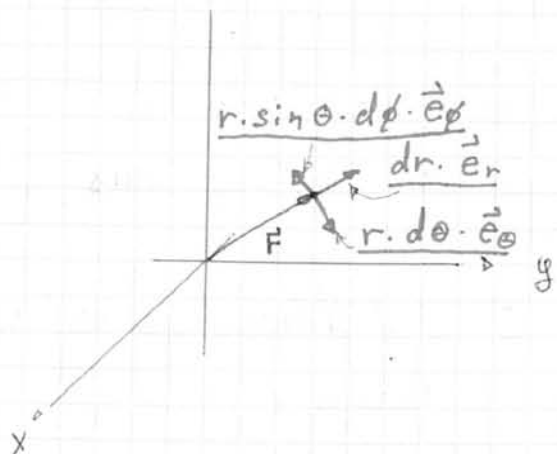
ET III

Vektorfeld: $\vec{F}(\vec{r}) = F_r(r, \theta, \phi) \vec{e}_r$

(Vgl. $\times = \textcircled{2}$)

$$+ F_\theta(r, \theta, \phi) \vec{e}_\theta + F_\phi(r, \theta, \phi) \vec{e}_\phi$$

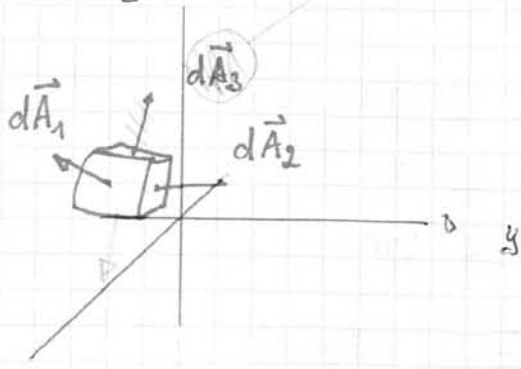
Wegelement: $d\vec{r} = dr \cdot \vec{e}_r + (r \cdot d\theta) \vec{e}_\theta + r \cdot \sin \theta \cdot d\phi \cdot \vec{e}_\phi$



Volumenelement: $dV = dx(r \cdot d\theta)(r \cdot \sin \theta \cdot d\phi) \stackrel{=}{=} dV$

(Vgl. $dV = dx \cdot dy \cdot dz$)

Flächenelement: $\textcircled{2}$



$$d\vec{A} = dA \cdot \vec{e}_r$$

$$d\vec{A}_1 = r^2 \cdot \sin \theta \cdot d\theta \cdot d\phi \cdot \vec{e}_r$$

$$\text{Vll}(\rightarrow) \rightarrow \textcircled{2} \rightarrow d\vec{A}_3 = r \cdot \sin \theta \cdot dr \cdot d\phi \cdot \vec{e}_\theta$$

$$d\vec{A}_2 = r \cdot dr \cdot d\theta \cdot \vec{e}_\phi$$

20.10.09 Aufgabe 1: Transformation

E.T III

a)

$$\vec{B}_1(\vec{r}) = \frac{1}{s} \cdot \vec{e}_\phi$$

aus
Formelsammlung!

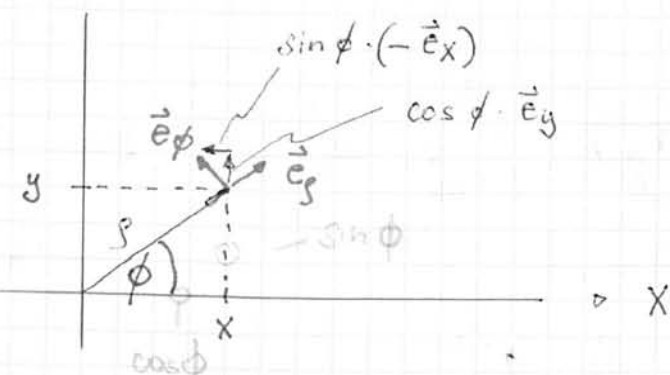
$$B_{1\phi}(\vec{r}) = \frac{1}{s} = \frac{1}{\sqrt{x^2+y^2}}$$

FS

$$s = \sqrt{x^2+y^2}$$

FS

$$\vec{e}_\phi = -\sin \phi \cdot \vec{e}_x + \cos \phi \cdot \vec{e}_y$$



$$= \cos \phi \cdot \vec{e}_y + \sin \phi \cdot (-\vec{e}_x)$$

In der Klausur
nicht herleiten!
(Formelblatt)

Betrachte einen Aufpunkt $A(x, y, 0)$ in der x-y-Ebene.

aus
Formelsammlung

$$\vec{e}_\phi = \frac{y}{\sqrt{x^2+y^2}} \cdot \vec{e}_x + \frac{x}{\sqrt{x^2+y^2}} \cdot \vec{e}_y$$

$$\Rightarrow \vec{B}_1(\vec{r}) = \frac{1}{x^2+y^2} \left(-y \cdot \vec{e}_x + x \cdot \vec{e}_y \right) = \frac{\vec{e}_y \cdot x - \vec{e}_x \cdot y}{x^2+y^2}$$

b) Kugelkoordinaten: $\vec{B}_2(\vec{r}) = \frac{1}{r} \cdot \vec{e}_r$

$$\Leftrightarrow \vec{B}_2(\vec{r}) = \frac{\vec{r}}{r^2}$$

(denn $\vec{r} = r \cdot \vec{e}_r$)

20.10.09

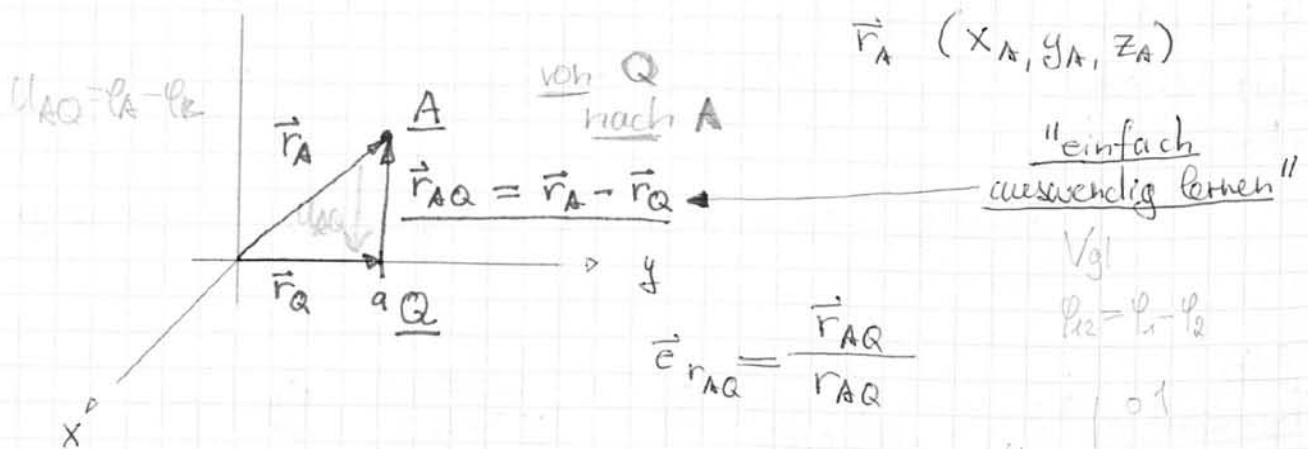
ET III

$$\Rightarrow \vec{B}_2(\vec{r}) = \frac{x \cdot \vec{e}_x + y \cdot \vec{e}_y + z \cdot \vec{e}_z}{x^2 + y^2 + z^2}$$

c)

Vgl. Coulomb Kraft

$$\vec{B}_3(\vec{r}_A) = \frac{\vec{e}_{r_{AQ}}}{r_{AQ}^2} = \frac{\vec{r}_{AQ}}{r_{AQ}^3} \quad \text{für } \vec{F}_Q = a \cdot \vec{e}_g$$



In kartesischen Koordinaten:

$$\vec{r}_A = x_A \cdot \vec{e}_x + y_A \cdot \vec{e}_y + z_A \cdot \vec{e}_z$$

$$\vec{r}_Q = x_Q \cdot \vec{e}_x + y_Q \cdot \vec{e}_y + z_Q \cdot \vec{e}_z$$

$$\vec{r}_{AQ} = (x_A - x_Q) \cdot \vec{e}_x + (y_A - y_Q) \cdot \vec{e}_y + (z_A - z_Q) \cdot \vec{e}_z$$

hier

$$= x_A \cdot \vec{e}_x + (y_A - a) \cdot \vec{e}_y + z_A \cdot \vec{e}_z$$

20.10.09

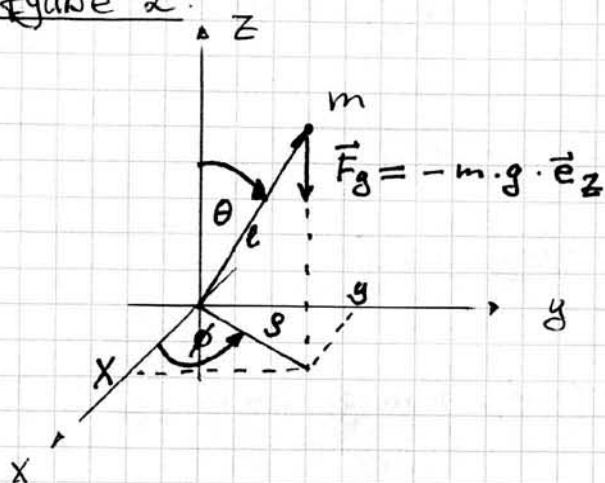
ET III

$$\vec{r}_3(\vec{r}_A) = \frac{x_A \cdot \vec{e}_x + (y_A - a) \cdot \vec{e}_y + z_A \cdot \vec{e}_z}{[x_A^2 + (y_A - a)^2 + z_A^2]^{3/2}}$$



Die komponentenweise Subtraktion von Ortsvektoren ist im Allgemeinen nur in kartesischen Koordinaten korrekt. (z.B.: $\vec{r}_{Aa} = \vec{r}_A - \vec{r}_a$)

Aufgabe 2:



Allgemein: $\vec{F}_g = F_{g,x} \cdot \vec{e}_x + F_{g,y} \cdot \vec{e}_y + F_{g,z} \cdot \vec{e}_z$

hier: $\vec{F}_g = F_{g,z} \cdot \vec{e}_z$ [Vorteil dieser Schreibweise]
[man muss den Rest nicht mitschreiben]

Ort der Masse m: $\vec{r} = l \cdot \underbrace{\vec{e}_r}_{\text{abh. von } \theta, \phi}$

Da \vec{e}_r
Kugelkoord.

Umwandlung von \vec{F}_g in Kugelkoordinaten: $(F_{g,\phi}, F_{gr}, F_{g\theta})$
[Alternativ $\vec{e}_r \rightarrow$ kartesische Koord.]

Aus Zylinderkoordinaten: $\vec{e}_\phi \perp \vec{e}_z$

deshalb: $F_{g,\phi} = \underbrace{\vec{F}_g \cdot \vec{e}_\phi}_{\text{Projektion von } \vec{F}_g \text{ auf die } \phi\text{-Richtung}} = 0$

Projektion von \vec{F}_g auf die

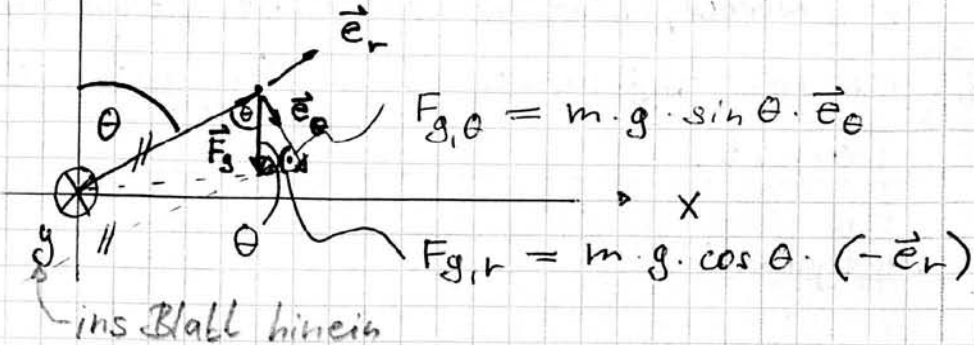
ϕ -Richtung

20.10.09

ET III

Bestimmung von $F_{g,r}$ und $F_{g,\theta}$

In Klausur
nicht
machen!



aus Formelsammlung:

$$\vec{e}_z = \vec{e}_r \cdot \cos \theta - \vec{e}_\theta \cdot \sin \theta$$

$$\vec{F}_g = -m \cdot g \cdot \cos \theta \cdot \vec{e}_r + m \cdot g \cdot \sin \theta \cdot \vec{e}_\theta$$

Zugkraft auf den Stab:

$$\vec{F}_g = \underbrace{\vec{e}_\theta \cdot F_{g,\theta}}_{=0} + \underbrace{\vec{e}_\theta \cdot F_{g,r}}_{=0} + \vec{e}_r \cdot F_{g,r}$$

$$F_e = \vec{F}_g \cdot \vec{e}_e = \underbrace{\vec{F}_g \cdot \vec{e}_r}_{\text{Projektion auf } \vec{e}_r\text{-Richtung}} = F_{g,r} = -m \cdot g \cdot \cos \theta$$

 $F_e < 0 \quad \text{für } 0 \leq \theta < \frac{\pi}{2} \Rightarrow \text{Druckkraft}$

(oberhalb der x-y-Ebene)

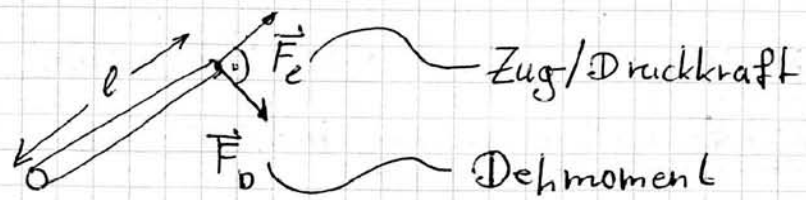
 $F_e > 0 \quad \text{für } \frac{\pi}{2} < \theta \leq \pi \Rightarrow \text{Zugkraft}$

(unterhalb der x-y-Ebene)

20.10.09

ET III

Drehmoment im Ursprung:



$$\text{Drehmoment} \rightarrow L = F_D \cdot l$$

Mal anderes rum
rechnen!

$$\vec{L} = \vec{l} \times \vec{F}_g \quad (\text{das entspricht } l \cdot F_{g\perp})$$

$$\vec{l} = l \cdot \vec{e}_r$$

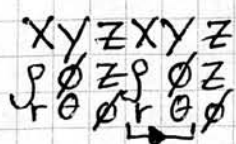
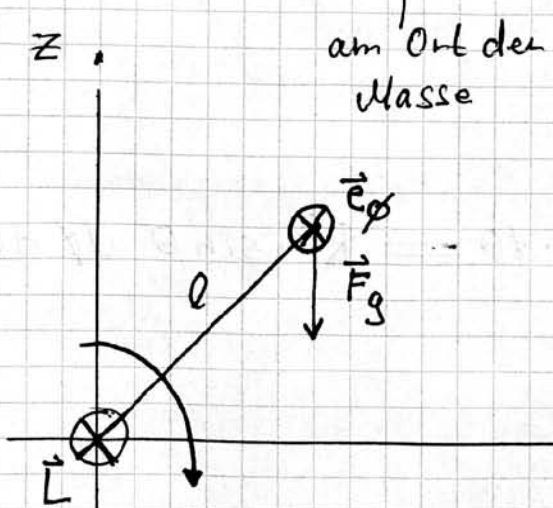
$$\text{Beispiel Tür: } L_{\text{wirksam}} = \vec{L} \cdot \vec{e}_z$$

27.10.09

$$\begin{aligned} \vec{L} &= (l \cdot \vec{e}_r) \times (-m \cdot g \cdot \cos \theta \cdot \vec{e}_r + m \cdot g \cdot \sin \theta \cdot \vec{e}_\theta) \\ &\stackrel{\text{Kreuzprodukt distributiv}}{=} (-l \cdot m \cdot g \cdot \cos \theta) \underbrace{(\vec{e}_r \times \vec{e}_r)}_{=0} + (l \cdot m \cdot g \cdot \sin \theta) \cdot \underbrace{(\vec{e}_r \times \vec{e}_\theta)}_{= \vec{e}_\phi} \\ &\Rightarrow \vec{L} = l \cdot m \cdot g \cdot \sin \theta \cdot \vec{e}_\phi \end{aligned}$$

Alle Vektoren müssen im gleichen System sein.
 \Rightarrow Umwandeln

(Kreuzprodukt)



Anmerkung:

27.10.09

ET III

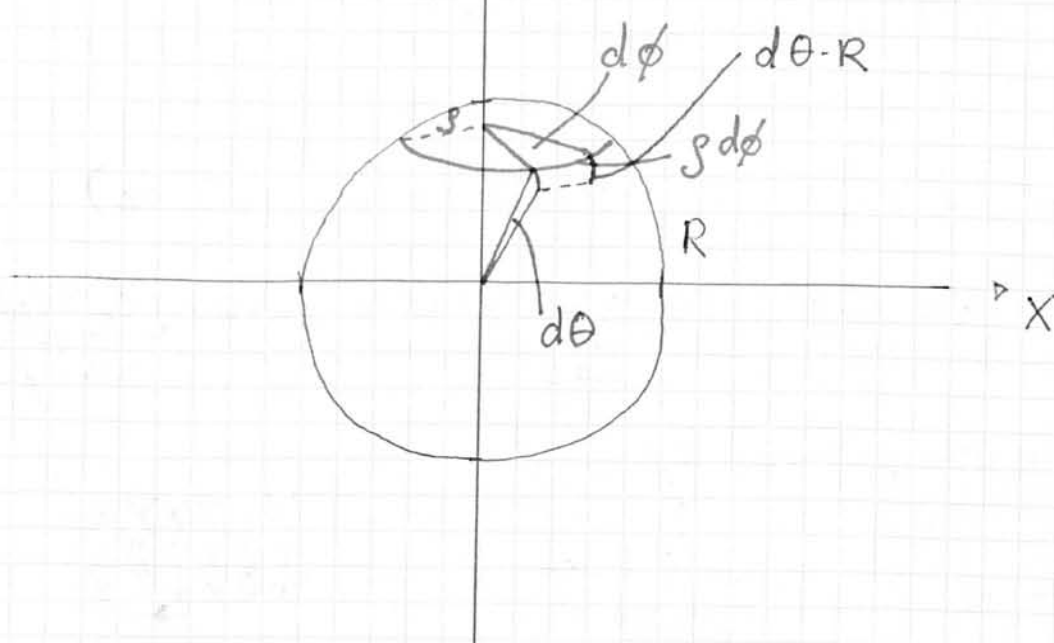
Die Richtung von \vec{L} und den Drehsinn
sind im Rechsschraubensinn miteinander
verknüpft.



Aufgabe 3

0,8
el. Leitfähigkeit

$$[\sigma_e] = \frac{1 \text{ A} \cdot \text{s}}{\text{m}^2} \circ z$$



$$dA = \underbrace{R \cdot \sin \theta \cdot d\phi \cdot R \cdot d\theta}_s \cdot R \cdot d\theta = R^2 \cdot \sin \theta \cdot d\phi \cdot d\theta$$

$$dQ = \sigma_e(\theta) \cdot dA$$

27.10.09

ET III

a)

$$Q_1 = \int_{\theta=0}^{\pi/2} \int_{\phi=0}^{2\pi} dQ(\theta, \phi)$$

$$Q_1 = \int_{\theta=0}^{\pi/2} \int_{\phi=0}^{2\pi} R^2 \cdot \sin \theta \cdot \sigma_{eo} \cdot d\theta \cdot d\phi \cdot \cos \theta$$

$$Q_1 = R^2 \sigma_{eo} \cdot 2\pi \cdot \int_{\theta=0}^{\pi/2} \underbrace{\sin \theta \cdot \cos \theta \cdot d\theta}_{\substack{u = \sin \theta \\ du = \cos \theta \cdot d\theta}}$$

Substitution: $u = \sin \theta \quad \frac{du}{d\theta} = \cos \theta$

Grenzen: $\theta=0 \Rightarrow u=0$

$\theta=\frac{\pi}{2} \Rightarrow u=1$

$$Q_1 = R^2 \cdot \sigma_{eo} \cdot 2\pi \cdot \int u \cdot du = R^2 \cdot \sigma_{eo} \cdot \pi \underbrace{\left[\frac{u^2}{2} \right]}_{= \frac{1}{2}}$$

Einheitentabelle

b.) $Q_{ges} = Q_1 + Q_2$

untere Hälfte

Bereich: $\frac{\pi}{2} \leq \theta \leq \pi$

Grenzen: $\theta = \frac{\pi}{2} \Rightarrow u=1$

$\theta = \pi \Rightarrow u=0$

$$Q_2 = R^2 \cdot \sigma_{eo} \cdot 2\pi \int u \cdot du \underbrace{\left[\frac{u^2}{2} \right]}_{= -\frac{1}{2}}$$

$\Rightarrow Q_2 = -Q_1 \Rightarrow Q_{ges} = 0$

c) Jetzt inhomogene Raumladung $\rho_e = \rho(r)$

27.10.09

ET III

$$Q_{\text{ges}} = \int_{r=0}^R \int_{\theta=0}^{\pi} \int_{\phi=0}^{2\pi} \rho_e(r) \cdot dV$$

$dV = dA \cdot dr$

$$Q_{\text{ges}} = \frac{\rho_{e0}}{R} \int_{r=0}^R r^3 dr \cdot \int_{\theta=0}^{\pi} \sin \theta \cdot d\theta \cdot \int_{\phi=0}^{2\pi} d\phi$$

$\underbrace{R^4}_{\frac{1}{4}}$ $\underbrace{[-\cos \theta]_{\theta=0}^{\pi}}_{= 2}$ $\underbrace{2\pi}_{2\pi}$

$$Q_{\text{ges}} = \frac{\rho_{e0}}{R} \cdot \frac{1}{4} R^4 \cdot 2 \cdot 2\pi = \rho_{e0} \cdot \pi \cdot R^3$$

Einheitenkontrolle

Aufgabe 4

$$\rho_L = \text{const}$$

$$\epsilon = \epsilon_0 \quad \hat{=} \underline{\text{Vakuum}}$$

$$[\rho_L] = \frac{As}{m} \quad \frac{\epsilon_0}{\text{Luftdichte}} \quad \underline{\text{Ladung!}}$$

a) Hier liegt der Aufpunkt auf der z-Achse
 \implies Anordnung ist rotationssymmetrisch zur z-Achse.

Gesucht: \vec{r}_A (Sinnvoll: Zylinderkoordinaten)

Aufpunktvektor: $\vec{r}_A = b \cdot \vec{e}_z$

Quellpunktvektor: $\vec{r}_Q = a \cdot \underbrace{\vec{e}_\phi}_{= f(\phi_Q)}$

27.10.09

ET III

$$S_Q = a$$

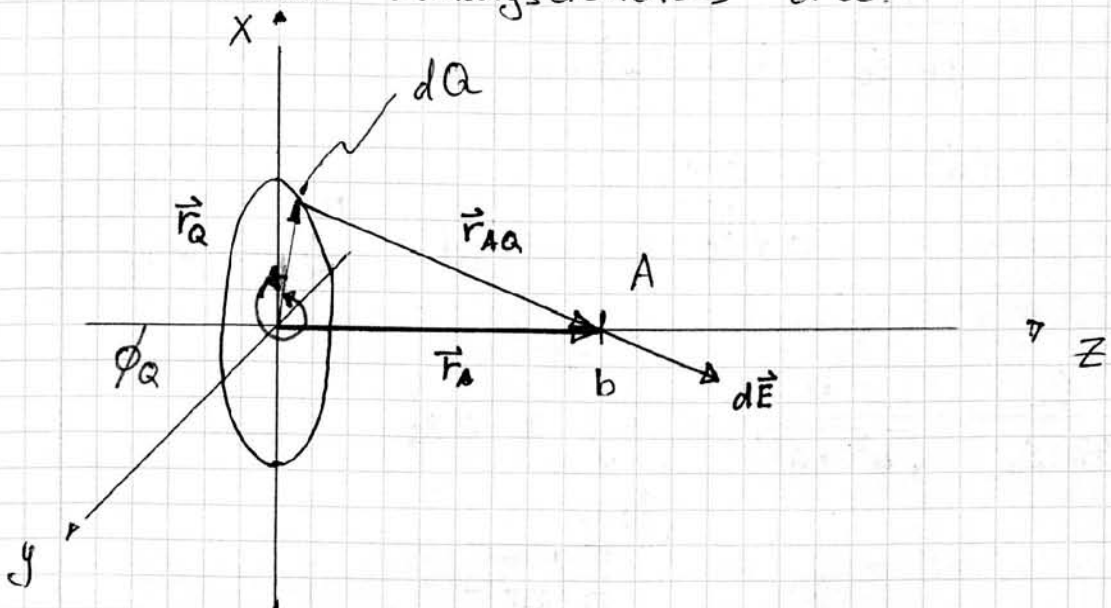
$$Z_Q = 0$$

$$\phi_Q = [0, 2\pi)$$

Nur möglich da Vektoren senkrecht aufeinander!

$$\vec{r}_{AQ} = \vec{r}_A - \vec{r}_Q = b \cdot \vec{e}_z - a \cdot \vec{e}_g(\phi_Q)$$

- b) Betrachte zunächst den Feldstärkebeitrag eines kleinen Ladungselementes dQ .



$$d\vec{E} = \frac{dQ}{4\pi \cdot \epsilon_0} \cdot \frac{\vec{r}_{AQ}}{r_{AQ}^3}$$

$$r_{AQ} = |\vec{r}_{AQ}| = |b \cdot \vec{e}_z - a \cdot \vec{e}_g(\phi_Q)|$$

wegen $\vec{e}_z \perp \vec{e}_g$

$$r_{AQ} = \sqrt{b^2 + a^2}$$

$$d\vec{E} = \frac{dQ}{4\pi \cdot \epsilon_0} \cdot \frac{b \cdot \vec{e}_z - a \cdot \vec{e}_g(\phi_Q)}{\sqrt{b^2 + a^2}^3}$$

27.10.09

ET III

Aus der Rotationsymmetrie der Anordnung folgt:

$$\vec{E}(\vec{r}_A) = \vec{E}(0,0,b) = E_z \underbrace{(0,0,b)}_{\text{nicht vergessen}} \cdot \vec{e}_z$$

nicht vergessen

Die halbe Aufgabe!

$$E_z(0,0,b) = \int dE_z(0,0,b)$$

Linientladung

$$dE_z = \frac{dQ}{4\pi \cdot \epsilon_0} \cdot \frac{b}{[b^2 + a^2]^{\frac{3}{2}}}$$

hier ist $dQ = q_L \underbrace{ds}_{a \cdot d\phi_Q}$

Vgl.  $\propto R$

$$E_z = \frac{q_L}{4\pi \cdot \epsilon_0} \cdot \frac{b}{\sqrt{b^2 + a^2}^3} \cdot \int_a^{2\pi} a \cdot d\phi_Q$$

$\underbrace{d\phi_Q = 0}_{a \cdot 2\pi}$

$$\vec{E}(\vec{r}_A) = \vec{E}(0,0,b) = E_z \cdot \vec{e}_z = \underline{\underline{\frac{q_L}{2 \cdot \epsilon_0} \cdot \frac{ab}{[b^2 + a^2]^{\frac{3}{2}}} \cdot \vec{e}_z}}$$

c) Fernfeld: $b \gg a$

$$\vec{E}(0,0,b) = \frac{q_L \cdot a \cdot b}{2 \cdot \epsilon_0 \cdot \underbrace{\sqrt{b^2 + a^2}^3}_{\approx \sqrt{b^2}^3 = b^3}} \cdot \vec{e}_z$$

$(b > 0)$

$$\Rightarrow \vec{E} \approx \frac{q_L \cdot a}{2 \cdot \epsilon_0 \cdot b^2} \cdot \vec{e}_z$$

27.10.09

ET III

Formulierung mit der Gesamtladung Q
des Kreisrings: $Q = 2\pi \cdot a \cdot q_L$

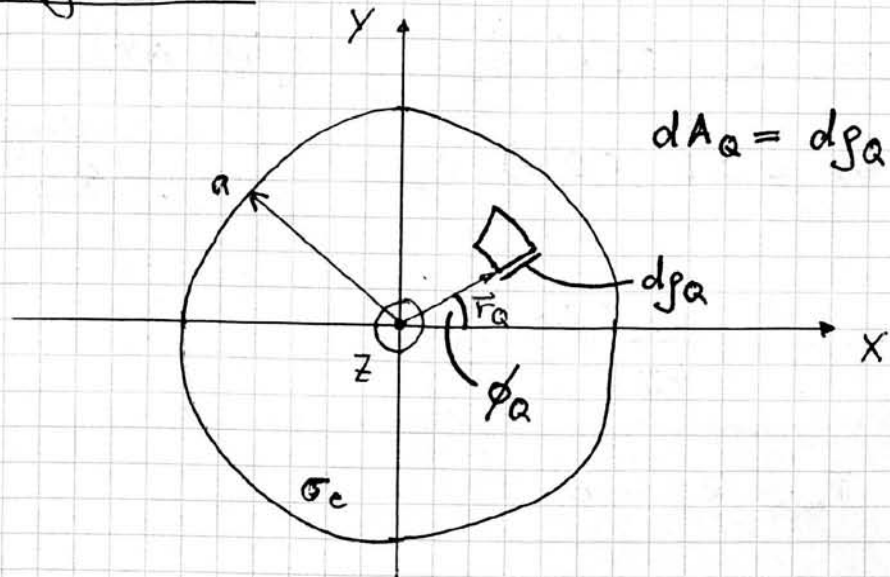
$$\underline{\underline{q_L = \frac{Q}{2\pi \cdot a}}}$$

$$\vec{E}(\vec{r}_A) \approx \frac{q_L \cdot a \cdot 2\pi}{2 \cdot \epsilon_0 \cdot b^2 \cdot 2\pi} \cdot \vec{e}_z = \frac{Q}{4\pi \cdot \epsilon_0 \cdot b^2} \cdot \vec{e}_z$$

Aufgabe 5 $(b > 0)$

bei $b=0$
wird $E=0$
nicht $E \rightarrow \infty$?

$$dA_Q = d\varphi_Q \cdot s_Q \cdot d\phi_Q$$



$$a) dQ = \sigma_e \cdot dA_Q = \sigma_e \cdot d\varphi_Q \cdot s_Q \cdot d\phi_Q$$

$$\vec{r}_Q = s_Q \cdot \vec{e}_p(\phi_Q)$$

$$\vec{r}_A = b \cdot \vec{e}_z$$

$$\vec{r}_{AQ} = \vec{r}_A - \vec{r}_Q = b \cdot \vec{e}_z - s_Q \cdot \vec{e}_p(\phi_Q) \quad \text{spült keine Rolle}$$

Quellgebiet: $0 \leq s_Q \leq a$ (MIT RAND)

$$0 \leq \phi_Q < 2\pi$$

$$z_Q = 0$$

(„Niederdimensional“)

$\swarrow b$

27.10.05

ET III

$$\text{b.) } \vec{E}(\vec{r}_A) = \vec{E}(0,0,b) = \int_0^a \int_{\frac{\pi}{2}}^{2\pi} \frac{dQ}{4\pi \cdot \epsilon_0} \cdot \frac{\vec{r}_{AQ}}{r_{AQ}^3}$$

$\oint_Q = 0 \quad \oint_z = 0$

$d\vec{E}$

= aus A4

Aus Rotationssymmetrie folgt:

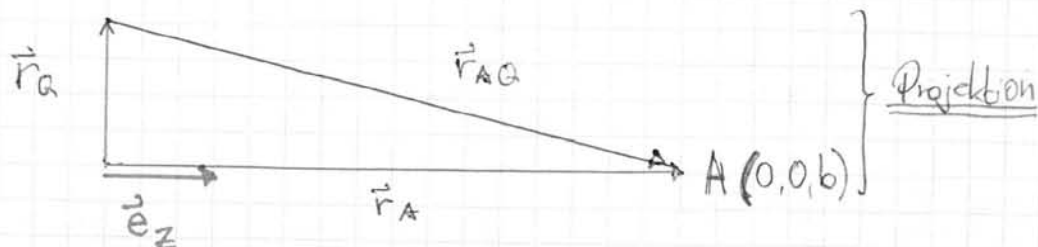
$$\vec{E}(0,0,b) = E_z(0,0,b) \cdot \vec{e}_z \quad (\text{Vgl. A4})$$

$$dE_z(0,0,b) = d\vec{E}(0,0,b) \cdot \vec{e}_z$$

} Merke
Vorgehen!

$$= \frac{\vec{r}_{AQ} \cdot \vec{e}_z}{r_{AQ}^3} \cdot \frac{\sigma e \cdot s_Q \cdot d\phi_Q \cdot d.s_Q}{4\pi \cdot \epsilon_0}$$

Dabei ist $\vec{r}_{AQ} \cdot \vec{e}_z = b$



$$|\vec{r}_A| = b = \vec{r}_{AQ} \cdot \vec{e}_z$$

$$r_{AQ} = \sqrt{s_Q^2 + b^2}$$

$$r_{AQ}^3 = (s_Q^2 + b^2)^{\frac{3}{2}}$$

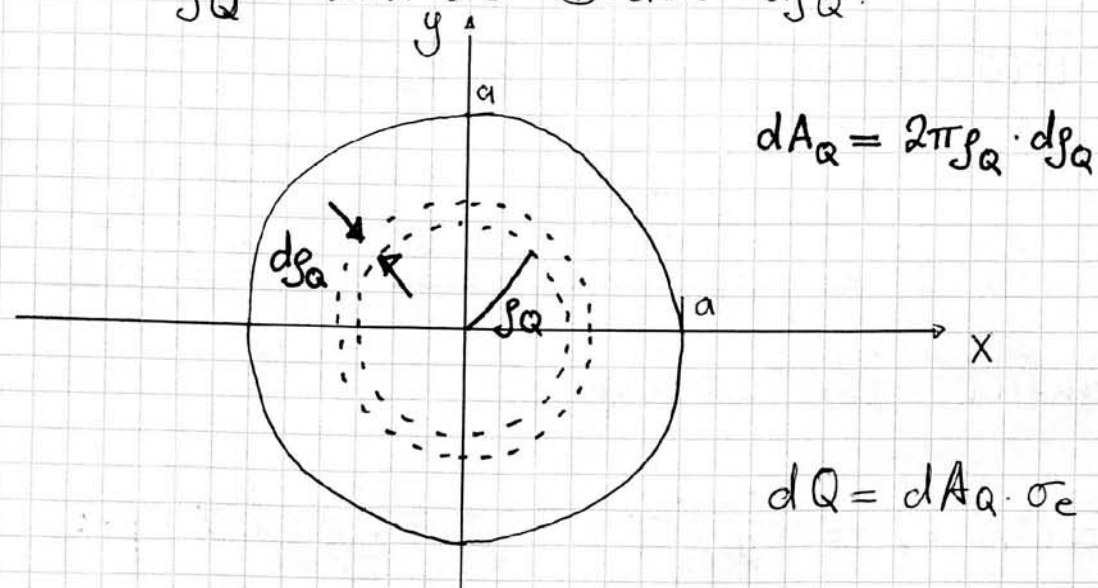
02.11.09

ET III

Die Teilintegration über $d\phi_Q$ ist trivial:

$$E_Z(0,0,b) = \frac{\sigma_e \cdot b}{4\pi \cdot \epsilon_0} \cdot \int_{\phi_Q=0}^a \frac{g_Q \cdot d\phi_Q}{[g_Q^2 + b^2]^{3/2}} \cdot \underbrace{\int_{\phi_Q=0}^{2\pi} d\phi_Q}_{= 2\pi}$$

Prinzip von Cavalieri! { Ansatz mit dem Ergebnis aus Aufgabe 4b.
angewendet auf einen Kreisring mit dem
Radius g_Q und der Breite $d\phi_Q$.



Ahnähierung von dQ als ringförmige Linienladung mit dem Radius g_Q und dem Ladungsbetrag dq_L .

Erklären lassen!

$$dQ = \sigma_e \cdot 2\pi g_Q d\phi_Q \stackrel{!}{=} dq_L \cdot 2\pi \cdot g_Q \quad \text{!cl}$$

$$\rightarrow dq_L = \sigma_e \cdot dg_Q$$

d.h. ersetze im Ergebnis aus Aufgabe 4b.

$E_Z(0,0,b)$ durch $\text{!} E_Z(0,0,b)$

q_L durch $\text{!} q_L$

a durch g_Q



$$dE_z(0,0,b) = \frac{dq_L \cdot S_Q \cdot b}{2 \cdot \epsilon_0 \cdot [S_Q^2 + b^2]^{3/2}}$$

c) $E_z(0,0,b) = \frac{\sigma_e \cdot b}{2 \cdot \epsilon_0} \cdot \int_{S_Q=0}^a \frac{S_Q \cdot dS_Q}{[S_Q^2 + b^2]^{3/2}}$

$$E_z(0,0,b) \stackrel{\text{HINWEIS}}{=} \frac{\sigma_e \cdot b}{2 \cdot \epsilon_0} \left[-\frac{1}{[S_Q^2 + b^2]^{1/2}} \right]_{S_Q=0}^{S_Q=a}$$

$$\vec{E}(0,0,b) = E_z(0,0,b) \cdot \vec{e}_z$$

$$= \frac{\sigma_e \cdot b}{2 \cdot \epsilon_0} \left[-\frac{1}{\sqrt{a^2+b^2}} + \frac{1}{b} \right] \cdot \vec{e}_z$$

$\sigma_e = \rho_0$
Vgl. KGÜ
5d

Fernfeld für $b \gg a$:

$$\vec{E}(0,0,b) = \frac{\sigma_e \cdot b}{2 \cdot \epsilon_0} \cdot \frac{1}{b} \left[-\frac{1}{\sqrt{\left(\frac{a}{b}\right)^2 + 1}} + 1 \right] \cdot \vec{e}_z$$

Der Ansatz $\sqrt{a^2+b^2} \approx b$
ist hier zu ungenau! } $\Rightarrow \vec{E}(0,0,b) = 0$

Hinweis: $\sqrt{1+x} \approx 1 + \frac{1}{2}x$ für $|x| \ll 1$

$$\frac{1}{\sqrt{1+x}} \approx 1 - \frac{1}{2}x \quad \text{für } |x| \ll 1$$

$$02.11.09 \text{ Hinweis 2} \quad ET III \quad \approx \frac{\sigma_e}{2 \cdot \epsilon_0} \left[-\left(1 - \frac{1}{2} \left(\frac{a}{b}\right)^2\right) + 1 \right] \cdot \vec{e}_z$$

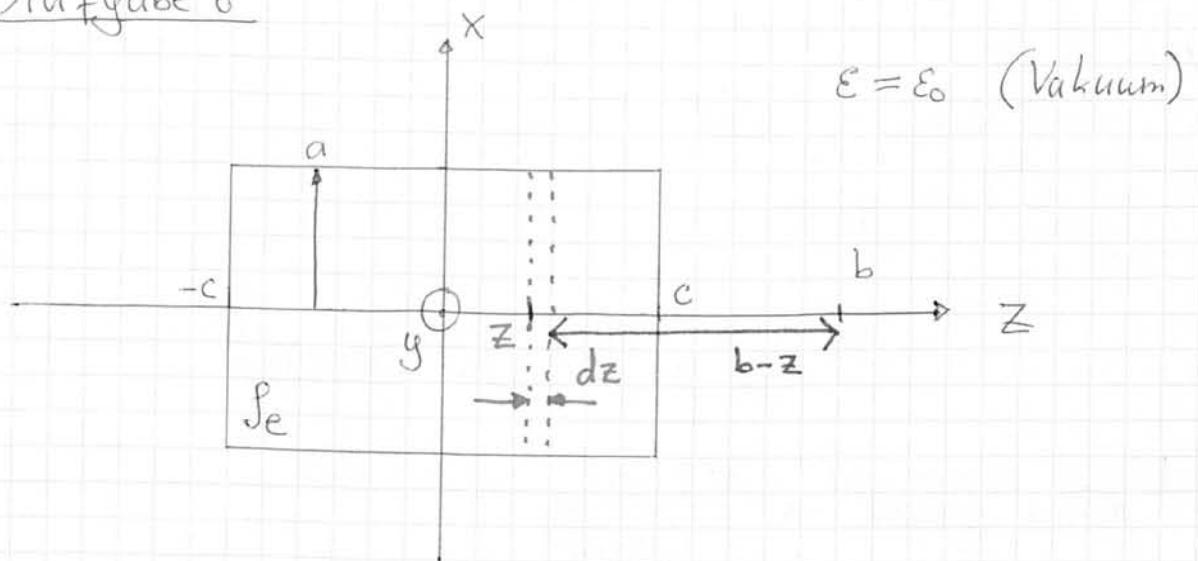
$$= \frac{\sigma_e \cdot a^2 \cdot \pi}{4 \epsilon_0 \cdot b^2 \cdot \pi} \cdot \vec{e}_z$$

Formulierung mit der Gesamtladung:

$$Q = \sigma_e \cdot \pi \cdot a^2 \quad \frac{Q}{A} = \sigma_e$$

$$\vec{E}(0,0,b) \approx \frac{Q}{4\pi \epsilon_0} \cdot \frac{1}{b^2} \cdot \vec{e}_z \quad \text{für } b \gg a \quad (b > 0)$$

Aufgabe 6



$$a) dQ = \rho_e \cdot dV = \rho_e \cdot \pi \cdot a^2 \cdot dz$$

$$= \underline{d\sigma_e \cdot \pi \cdot a^2} \quad \underline{1 d}$$

$$\Rightarrow d\sigma_e = \rho_e \cdot dz$$

02.11.05

ET III

Ersetze im Ergebnis aus Aufgabe 5c:

$$\vec{E}(0,0,b) \text{ durch } d\vec{E}(0,0,b)$$

$$\sigma_e \text{ durch } d\sigma_e$$

$$b \text{ durch } b-z$$

$$\text{Voraussetzung: } b-z > 0$$

$$\text{hier } b > c \geq z$$

$$d\vec{E}(0,0,b) = \frac{d\sigma_e \cdot (b-z)}{2 \cdot \epsilon_0} \cdot \left[-\frac{1}{\sqrt{a^2 + (b-z)^2}} + \underbrace{\frac{1}{|b-z|}}_{= \frac{1}{b-z}} \right] \cdot \vec{e}_z$$

für $b > z$

b.)

$$\vec{E}(0,0,b) = \int_{z=-c}^c d\vec{E}$$

$$= \frac{\sigma_e}{2 \cdot \epsilon_0} \cdot \int_{z=-c}^c \left[1 - \frac{b-z}{\sqrt{a^2 + (b-z)^2}} \right] dz \cdot \vec{e}_z$$

Hilfe: $\sqrt{f(x)}' = \frac{+f'(x)}{2 \cdot \sqrt{f(x)}}$

$$= \frac{\sigma_e}{2 \cdot \epsilon_0} \left(\left[\sqrt{a^2 + (b-z)^2} \right]_{z=-c}^c + 2c \right) \cdot \vec{e}_z$$

$$= \frac{\sigma_e}{2 \cdot \epsilon_0} \left(\sqrt{a^2 + (b-c)^2} - \sqrt{a^2 + (b+c)^2} + 2c \right) \cdot \vec{e}_z$$

(für $b > c$)

02.11.09 Betrachte $0 < b < c$ (im Zylinder)

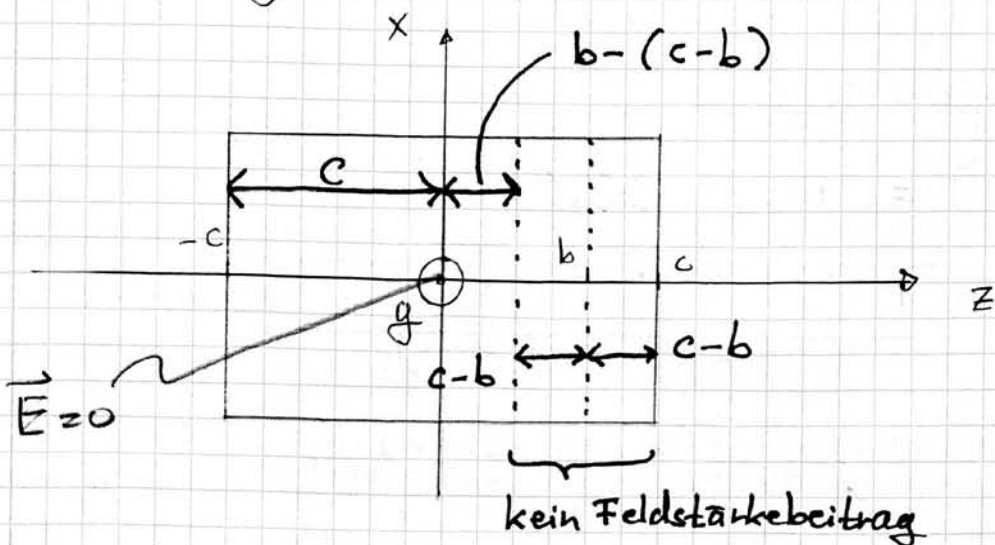
ET III

1. Lösungsansatz für den Integranden:

$$|b-z| = \begin{cases} b-z & \text{falls } b \geq z \\ z-b & \text{falls } b < z \end{cases}$$

$$\vec{E} = \int_{z=-c}^b \underbrace{\dots dz}_{b \geq z} + \int_{z=b}^c \underbrace{\dots dz}_{b < z}$$

2. Lösungsansatz



Breite des Restzylinders:

$$\begin{aligned} c+b-(c-b) &= 2b \\ \Rightarrow \vec{E} &= \int_{z=-c}^{b-(c-b)} \underbrace{\dots dz}_{b > z} \end{aligned}$$

Lösung für $b < 0$

Aus Symmetriegründen: $\boxed{\vec{E}(0,0,b) = -\vec{E}(0,0,-b)}$

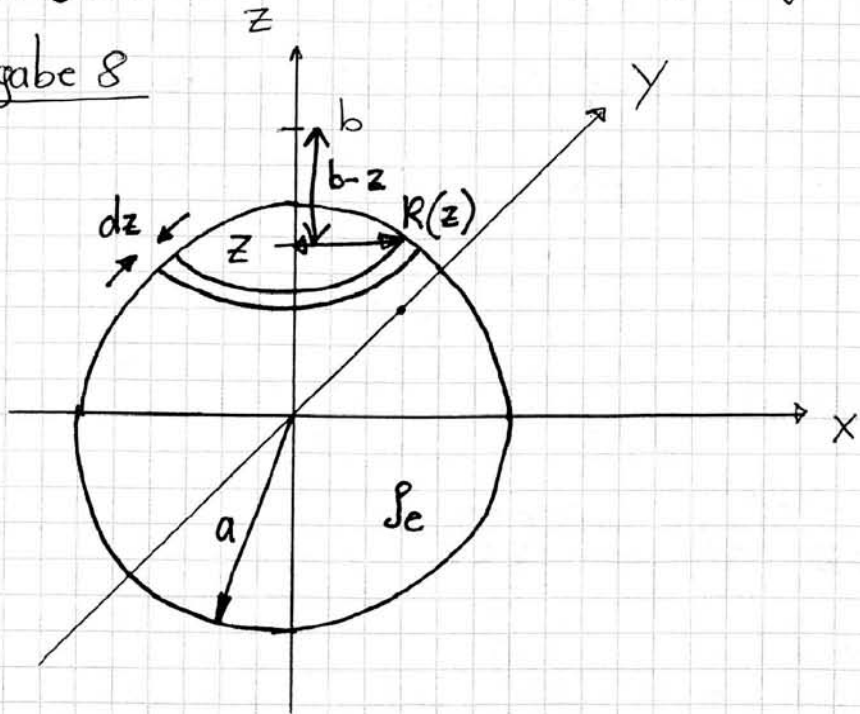
Symm. zur

(ungerade Funktion)

Aufgabe 7 wird übersprungen. (Hausaufgabe) 02.11.08

Aufgabe 8

a.)



ET III

"Kugel
drehen"
→ E-Feld

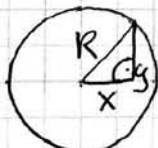
Aus Kugelsymmetrie folgt:

$$\begin{aligned}\vec{E}(r) &= E_r(r, \cancel{\theta}, \cancel{\phi}) \cdot \hat{e}_r \\ &\quad + E_\theta(r, 0, \phi) \cdot \hat{e}_\theta \\ &\quad + E_\phi(r, 0, \phi) \cdot \hat{e}_\phi \\ \Rightarrow \vec{E}(r) &= E_r(r) \cdot \hat{e}_r\end{aligned}$$

} Bedeutung
der r's
klarmachen.

Gesucht: $R(z)$

Allg. gilt: $R^2(z) = x^2 + y^2$



und $R(z) > 0$

$$\Rightarrow R(z) = \sqrt{x^2 + y^2}$$

(Vgl. § in Zylinderkoord.)

02.11.09

ET III

Kugelgleichung: $a^2 = x^2 + y^2 + z^2$
 (Rand Kugel) $(\text{Vgl } |a|^2 = x^2 + y^2 + z^2)$

$$\rightarrow x^2 + y^2 = a^2 - z^2$$

$$\Rightarrow R(z) = \sqrt{a^2 - z^2}$$

für $-a \leq z \leq a$

Um bestimmt immer dazu schreiben!

(Für Integration) Wie in Aufg. 6: $d\sigma_e = g_e \cdot dz$

b.) Mit dem Ergebnis aus Aufgabe 5c)

$\vec{E}(0,0,b)$ ersetzt durch $d\vec{E}(0,0,b)$

"Förmel anpassen"

σ_e	durch	$d\sigma_e$
a	durch	$R(z)$
b	durch	$b-z$

$$d\vec{E} = \frac{g_e \cdot dz}{2 \cdot \epsilon_0} \cdot \left[1 - \underbrace{\frac{b-z}{\sqrt{R^2(z) + (b-z)^2}}}_{a^2 - z^2 + b^2 - 2bz + z^2} \right] \cdot \vec{e}_z$$

Prinzip von Cavalieri

$$d\vec{E} = \frac{g_e \cdot dz}{2 \cdot \epsilon_0} \cdot \left[1 - \underbrace{\frac{b-z}{\sqrt{a^2 + b^2 - 2bz}}} \right] \cdot \vec{e}_z$$

c.) $\vec{E}(0,0,b) = \int_{z=-a}^a d\vec{E}$

$$= \frac{g_e \cdot \vec{e}_z}{2 \cdot \epsilon_0} \int_{z=-a}^a \left(1 - \frac{b-z}{\sqrt{a^2 + b^2 - 2bz}} \right) dz$$

HINWEIS

$$= - \frac{g_e \cdot \vec{e}_z}{2 \cdot \epsilon_0} \left[z - \frac{1}{3b} \left(z + \frac{a^2 - 2b^2}{b} \right) \sqrt{a^2 + b^2 - 2bz} \right]_{z=-a}^a$$

02.11.05

ET III

$$= \frac{S_e \cdot \vec{e}_z}{2 \cdot \epsilon_0} \left[\left[2a - \frac{1}{3b} \left(a + \frac{a^2 - 2b}{b} \right) \underbrace{\sqrt{a^2 + b^2 - 2ab}}_{|a-b|=b-a} \right] \right]$$

$$+ \left[\frac{1}{3b} \left(-a + \frac{a^2 - 2b^2}{b} \right) \underbrace{\sqrt{a^2 + b^2 + 2ab}}_{|a+b|=a+b} \right]$$

$$= \frac{S_e \cdot \vec{e}_z}{2 \cdot \epsilon_0} \left[2a - \frac{1}{3b^2} \left\{ (a \cdot b + a^2 - 2b^2)(b-a) - (-a \cdot b + a^2 - 2b^2)(a+b) \right\} \right]$$

$$= \frac{S_e \cdot \vec{e}_z}{2 \cdot \epsilon_0} \left[2a - \frac{1}{3b^2} \left\{ 6ab^2 - 2a^3 \right\} \right]$$

$$= \frac{S_e \cdot \vec{e}_z}{2 \cdot \epsilon_0} \left[2a - 2a + \frac{2a^3}{3b^2} \right]$$

$$= \underline{\underline{\frac{S_e}{3 \cdot \epsilon_0} \cdot \frac{a^3}{b^2} \cdot \vec{e}_z}}$$

Mit der Gesamtladung: $Q = S_e \cdot \frac{4}{3}\pi \cdot a^3$

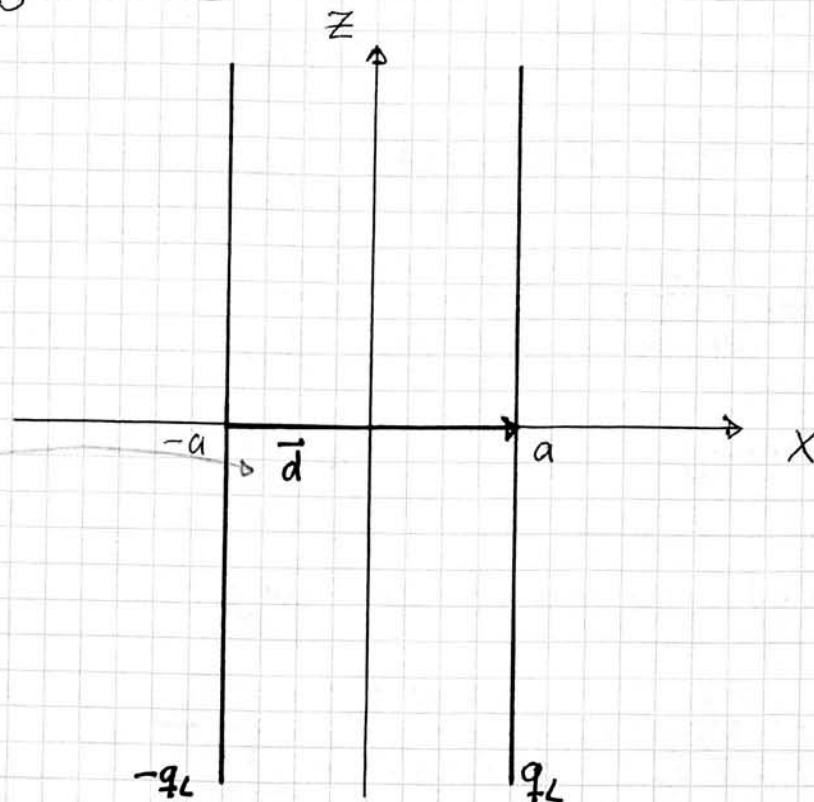
$$\vec{E}(0,0,b) = \underbrace{\frac{S_e \cdot a^3 \cdot 4\pi}{3}}_{=Q} \cdot \frac{1}{4\pi \cdot \epsilon_0} \cdot \frac{1}{b^2} \cdot \vec{e}_z$$

Entspricht für $b > a$ exakt dem Feld einer
Richtung im Ursprung.
Punktladung

Viel!

03.11.09 Aufgabe 9

ET III



$$\epsilon = \epsilon_0$$

von $\ominus \rightarrow \oplus$

Liniedipolmoment: $\vec{p}_L = q_L \cdot \vec{d} \stackrel{!}{=} \text{const.}$

Feld einer Linienladung q_L in der z -Achse
in Zylinderkoordinaten

$$\boxed{\vec{E}_0(r) = \frac{q_L}{2\pi \cdot \epsilon_0} \cdot \frac{\vec{e}_r}{r}} = \frac{q_L}{2\pi \epsilon_0} \cdot \frac{\vec{r}_{AQ}}{r_{AQ}^2}$$

$-q_L = \text{const}$ Hier: zwei Linienladungen, parallel zur z -Achse,
sind verschoben $tun \pm a \cdot \vec{e}_x$

\Rightarrow Zylinderkoord. ungeeignet!

Umwandlung in kartesische Koordinaten:

eine Linienladung in der z -Achse: \hookrightarrow

$$\vec{E}_0(\vec{r}) = \frac{q_L}{2\pi \cdot \epsilon_0} \cdot \frac{s \cdot \vec{e}_s}{s^2} = \frac{q_L}{2\pi \cdot \epsilon_0} \cdot \frac{x \cdot \vec{e}_x + y \cdot \vec{e}_y}{x^2 + y^2} \quad 03.11.05$$

Damit (rechte Linienladung): ($x \approx (x-a)$)

$$\vec{E}_1(\vec{r}) = \frac{q_L}{2\pi \cdot \epsilon_0} \cdot \frac{(x-a) \cdot \vec{e}_x + y \cdot \vec{e}_y}{(x-a)^2 + y^2}$$

(ignorieren)

$k=0$

Zum weiteren
wichtig

Zur Erinnerung: $\vec{r}_{AQ} = \vec{r}_A - \vec{r}_Q$

Entsprechend linke Linienladung:

$$\vec{E}_2(\vec{r}) = \frac{-q_L}{2\pi \cdot \epsilon_0} \cdot \frac{(x+a) \cdot \vec{e}_x + y \cdot \vec{e}_y}{(x+a)^2 + y^2}$$

Superposition: $\vec{E}_{\text{ges}}(\vec{r}) = \vec{E}_1(\vec{r}) + \vec{E}_2(\vec{r})$

$$E_{\text{ges},x}(\vec{r}) = \vec{E}_{\text{ges}}(\vec{r}) \cdot \vec{e}_x = \frac{q_L}{2\pi \cdot \epsilon_0} \left(\frac{x-a}{(x-a)^2 + y^2} - \frac{x+a}{(x+a)^2 + y^2} \right)$$

Abkürzungen: $s_1^2 = (x-a)^2 + y^2$
 $s_2^2 = (x+a)^2 + y^2$

$$\begin{aligned} E_{\text{ges},x} &= \frac{q_L}{2\pi \cdot \epsilon_0} \cdot \frac{(x-a)[(x+a)^2 + y^2] - (x+a)[(x-a)^2 + y^2]}{s_1^2 \cdot s_2^2} \\ &= \frac{q_L}{2\pi \cdot \epsilon_0} \cdot \frac{(x^2 - a^2 - y^2) \cdot 2a}{s_1^2 \cdot s_2^2} \end{aligned}$$

Abkürzung: $p_L = q_L \cdot d = q_L \cdot 2a$

03.11.09

ET III

$$\Rightarrow E_{\text{ges},x}(\vec{r}) = \frac{p_L}{2\pi \cdot \epsilon_0} \cdot \frac{x^2 - a^2 - y^2}{S_1^2 \cdot S_2^2}$$

$$E_{\text{ges},y}(\vec{r}) = \frac{q_L}{2\pi \cdot \epsilon_0} \cdot \left[\frac{y}{(x-a)^2 + y^2} - \frac{y}{(x+a)^2 + y^2} \right]$$

$$= \frac{q_L}{2\pi \cdot \epsilon_0} \cdot \frac{y \cdot [(x+a)^2 + y^2 - (x-a)^2 - y^2]}{S_1^2 \cdot S_2^2}$$

:

$$= \frac{q_L}{2\pi \cdot \epsilon_0} \cdot \frac{y \cdot 4x \cdot a}{S_1^2 \cdot S_2^2}$$

$$= \frac{p_L}{2\pi \cdot \epsilon_0} \cdot \frac{2x \cdot y}{S_1^2 \cdot S_2^2}$$

Jetzt Grenzübergang:

$$p_L = \text{const.}$$

$$q_L \rightarrow \infty \quad \begin{cases} \text{da } d \rightarrow 0, \\ (\text{const } q_{L1} + q_{L2} = 0) \end{cases}$$

$$d \rightarrow 0$$

$$a \rightarrow 0$$

$$\lim_{a \rightarrow 0} S_1^2 = x^2 + y^2$$

$$\lim_{a \rightarrow 0} S_2^2 = x^2 + y^2$$

$$\Rightarrow \lim_{a \rightarrow 0} E_{\text{ges},x}(\vec{r}) = \frac{p_L}{2\pi \cdot \epsilon_0} \cdot \frac{x^2 - y^2}{(x^2 + y^2)^2}$$

$$\Rightarrow \lim_{a \rightarrow 0} E_{\text{ges},y}(\vec{r}) = \frac{p_L}{2\pi \cdot \epsilon_0} \cdot \frac{2x \cdot y}{(x^2 + y^2)^2}$$

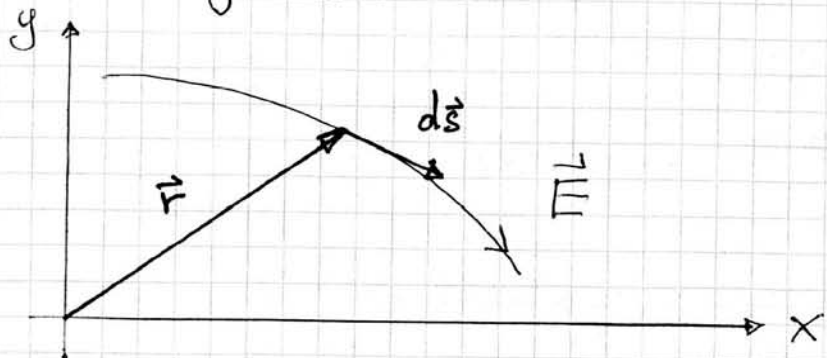
$$\Rightarrow \vec{E}_{\text{ges}}(\vec{r}) = \frac{p_L}{2\pi \cdot \epsilon_0} \cdot \frac{(x^2 - y^2) \cdot \vec{e}_x + 2xy \cdot \vec{e}_y}{(x^2 + y^2)^2}$$

Vorbemerkung Aufgabe 10..

03.11.09

ET III

Die DGL $E_\phi \cdot d\phi = p \cdot d\phi \cdot E_p$
beschreibt den Weg einer Feldlinie über
die Richtung von $d\vec{s}$.



Ebenes Problem in kartesischen Koordinaten:

$$d\vec{s} = dx \cdot \vec{e}_x + dy \cdot \vec{e}_y + \cancel{dz \cdot \vec{e}_z} \stackrel{=} 0$$

$d\vec{s} \uparrow \vec{E}$ (gilt für jeden Punkt auf
der Feldlinie)

$$\Rightarrow d\vec{s} = \alpha \cdot \vec{E}(r) \\ \text{mit } \alpha(r) > 0$$

$$\Rightarrow d\vec{s} \times \vec{E} \stackrel{!}{=} 0 \quad \left. \right\} \text{Kollinear}$$

$$\Rightarrow (dx \cdot \vec{e}_x + dy \cdot \vec{e}_y) \times (E_x \cdot \vec{e}_x + E_y \cdot \vec{e}_y)$$

$$\Rightarrow (dx \cdot E_y - dy \cdot E_x) \cdot \vec{e}_z \stackrel{!}{=} 0$$

$$\Rightarrow dx \cdot E_y \stackrel{!}{=} dy \cdot E_x$$

oder $\frac{dx}{E_x} = \frac{dy}{E_y} \left(= \frac{-dz}{E_z} \right)$

03.11.09

ET III

In Zylinderkoordinaten:

$$\text{Wegelement: } d\vec{s} = d\rho \cdot \vec{e}_\rho + s \cdot d\phi \cdot \vec{e}_\phi + dz \cdot \vec{e}_z$$

$$= \alpha (E_\rho \cdot \vec{e}_\rho + E_\phi \cdot \vec{e}_\phi + \cancel{E_z \cdot \vec{e}_z})$$

Komponentenvergleich:

$$\alpha = \frac{d\rho}{E_\rho} = \frac{s \cdot d\phi}{E_\phi}$$

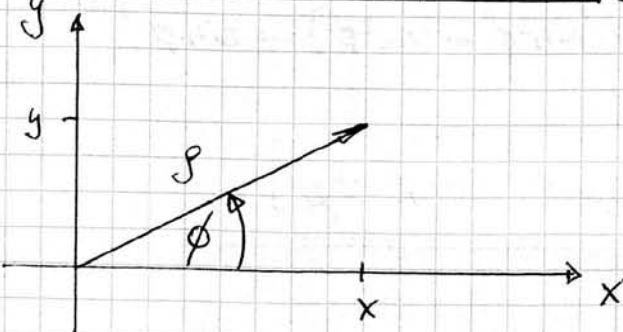
$$\Rightarrow E_\phi \cdot d\rho = s \cdot d\phi \cdot E_\rho$$

gut
können für
Klausur

Aufgabe 10 ("Ergänzungsaufgabe")

a) Ersätze \vec{e}_x, \vec{e}_y \vec{e}_z
durch $\vec{e}_s, \vec{e}_\phi, s, \phi$

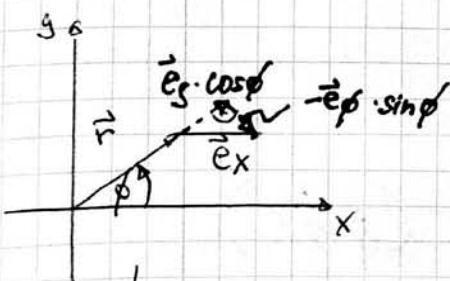
Alle Größen
umrechnen!
(Vgl. Transformations-
formel)

In der x-y-Ebene: $|r| = s$

$$x = s \cdot \cos \phi = s \cdot \frac{x}{s}$$

$$y = s \cdot \sin \phi = s \cdot \frac{y}{s}$$

$$x^2 + y^2 = s^2$$



$$\vec{e}_x = \vec{e}_s \cdot \cos \phi - \vec{e}_\phi \cdot \sin \phi$$

$$\vec{e}_y = \vec{e}_s \cdot \sin \phi + \vec{e}_\phi \cdot \cos \phi$$

} Formelsammlung!

↗ Einsetzen

$$\vec{E} = \frac{P_L}{2\pi \cdot \epsilon_0 \cdot s^4} \left[(s^2 \cos^2 \phi - s^2 \sin^2 \phi) (\cos \phi \cdot \vec{e}_s - \sin \phi \cdot \vec{e}_\phi) \right]$$

$$+ 2s^2 \cos \phi \cdot \sin \phi (\sin \phi \cdot \vec{e}_s + \cos \phi \cdot \vec{e}_\phi) \right]$$

$$= \frac{P_L}{2\pi \cdot \epsilon_0 \cdot s^2} \left[(\cos^3 \phi - \underline{\sin^2 \phi \cdot \cos \phi} + \underline{2 \cdot \cos \phi \cdot \sin^2 \phi}) \cdot \vec{e}_s \right]$$

$$+ \left(\underline{-\cos^2 \phi \cdot \sin \phi} + \sin^3 \phi + \underline{2 \cdot \cos^2 \phi \cdot \sin \phi} \right) \cdot \vec{e}_\phi \right]$$

$$= \frac{P_L}{2\pi \cdot \epsilon_0 \cdot s^2} \left[\underbrace{(\cos^3 \phi + \cos \phi \cdot \sin^2 \phi)}_{\cos \phi (\cos^2 \phi + \sin^2 \phi) = \cos \phi} \cdot \vec{e}_s \right]$$

$$\sin^2 \alpha + \cos^2 \alpha = 1$$

$$+ \left[\underbrace{(\sin^3 \phi + \cos^2 \phi \cdot \sin \phi)}_{\sin \phi (\sin^2 \phi + \cos^2 \phi) = \sin \phi} \cdot \vec{e}_\phi \right]$$

$$\vec{E} = \frac{P_L}{2\pi \cdot \epsilon_0 \cdot s^2} [\cos \phi \cdot \vec{e}_s + \sin \phi \cdot \vec{e}_\phi]$$

b) Die DGL enthält E_s und E_ϕ :

↗ Einsetzen

$$E_\phi \cdot d\phi = \frac{P_L}{2\pi \cdot \epsilon_0} \cdot \frac{\sin \phi}{s^2} d\phi =$$

$$E_s \cdot s \cdot d\phi = \frac{P_L}{2\pi \cdot \epsilon_0} \cdot \frac{\cos \phi}{s} d\phi \quad (s > 0)$$

$$\Leftrightarrow \frac{\sin \phi}{s^2} d\phi = \frac{\cos \phi}{s} \cdot d\phi$$

23.11.09

Trennung der Variablen:

ET III

$$\frac{1}{s} \cdot ds = \frac{\cos \phi}{\sin \phi} d\phi \quad \begin{cases} s > 0 \\ \phi \neq k\pi \\ \text{mit } k \in \mathbb{Z} \end{cases}$$

$$\int \frac{1}{s} ds = \int \frac{\cos \phi}{\sin \phi} d\phi \quad 0 < \phi < 2\pi$$

Hinweis: $\int \frac{f'(x)}{f(x)} dx = \ln |f(x)| + C$

$$\ln \left(\frac{s}{s_0} \right) + c_1 = \ln |\sin \phi| + c_2 \quad \begin{cases} \ln \frac{a}{b} \\ = \ln a - \ln b \\ + c_3 \end{cases}$$

$$\left(\frac{s}{s_0} \right) \hat{=}$$

$$\ln \left(\frac{s}{s_0} \right) = \ln |\sin \phi| + (c_2 - c_1)$$

Normierung

(Kreuz)

Einheit)

(mithilfe Konstante)

$$\cancel{s} = |\sin \phi| \cdot \underbrace{e^{c_2 - c_1}}_{=: c} \cdot s_0$$

→ Parametrische Beschreibung der Feldlinien:

$$\underline{\underline{s = c |\sin \phi|}}$$

für $s > 0, \phi \neq 0, \phi \neq \pi \quad (0 < \phi < 2\pi)$

c) Transformation in kartesische Koordinaten:

03.11.05

ET III

$$\sqrt{x^2 + y^2} = c \cdot \left| \frac{y}{\sqrt{x^2 + y^2}} \right|$$

$$\Leftrightarrow x^2 + y^2 = c \cdot |y|$$

$$\Leftrightarrow x^2 + y^2 - |y| \cdot c = 0$$

Ziel: Kreisgleichung

→ quadratische Ergänzung $+ \left(\frac{c}{2}\right)^2$

$$\Rightarrow \underbrace{x^2 + y^2 - c \cdot |y| + \left(\frac{c}{2}\right)^2}_{\left(|y| - \frac{c}{2}\right)^2} = \left(\frac{c}{2}\right)^2$$

Abkürzung: $R := \frac{c}{2}$

$$\Rightarrow \underline{\underline{x^2 + (|y| - R)^2 = R^2}}$$

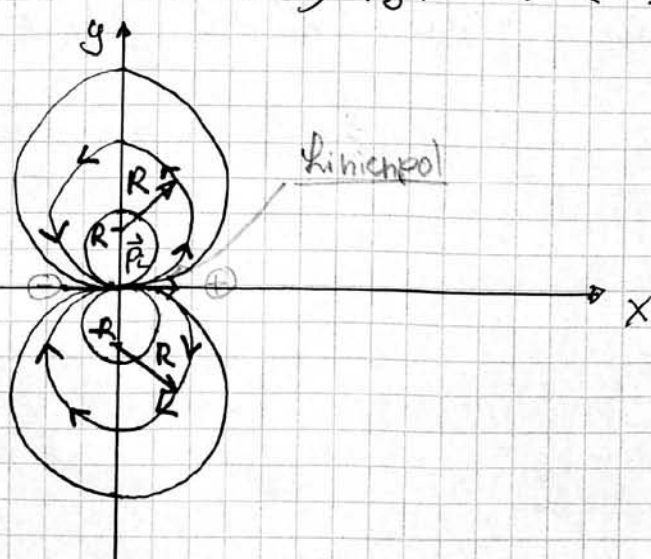
Kreisgleichung für Kreise mit dem Radius R

und dem Mittelpunkt $x=0; |y|=R \Leftrightarrow \cancel{y=0}$

2 ♂ lange Seiten →

$$y = \pm R$$

Feldlinien



bei Punktladungen

Ellipser!

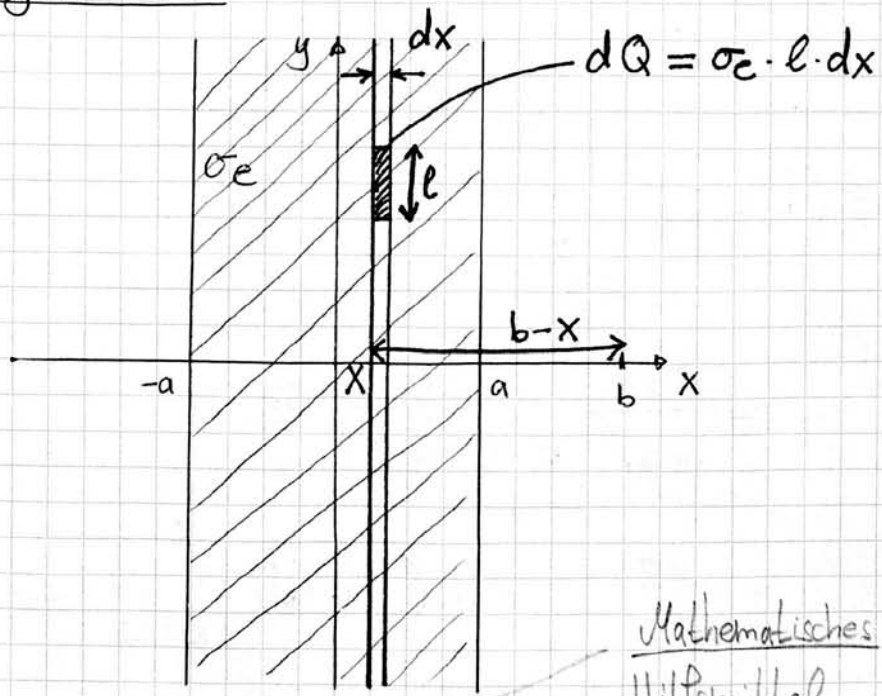
03.11.09 Anmerkung:

$\rightarrow \text{||} \vec{E} \text{||}$ geschlossen $\nabla (\vec{E})$

ET III Die Feldlinien sind nicht geschlossen, sondern beginnen bei $x = 0+$ und enden bei $x = 0-$.
(Sind ja 2 Ladungen) $\oplus \ominus$

10.11.09 Aufgabe 7

ET III



Mathematisches
Hilfsmittel

a.) $dQ = \sigma_e \cdot l \cdot dx \stackrel{!}{=} dq_L \cdot l$
 $\Rightarrow \underline{\underline{dq_L = \sigma_e \cdot dx}}$

b.) aus Vorlesung:

Formeln
an die
Aufgaben-
stellung
anpassen ∇

$$\vec{E} = \frac{q_L}{2\pi \cdot \epsilon_0} \cdot \frac{1}{r} \cdot \hat{e}_r$$

gilt für eine Linienladung in der z-Achse:

Ersetze r durch $b-x$

\hat{e}_r durch \hat{e}_x

q_L durch dq_L

$$dE = \frac{dq_L}{2\pi \cdot \epsilon_0} \cdot \frac{1}{b-x}$$

im Aufpunkt L
A(b, 0, 0)

$$d\vec{E} = dE \cdot \vec{e}_x$$

$$c.) \quad \vec{E}(b, 0, 0) = \int_{x=-a}^a dE \cdot \vec{e}_x$$

$$= \frac{\sigma e}{2\pi \cdot \epsilon_0} \cdot \int_{x=-a}^a \frac{-dx}{x-b} \cdot \vec{e}_x$$

$$= \frac{\sigma e}{2\pi \cdot \epsilon_0} \left[-\ln(|x-b|) \right]_{x=-a}^a \cdot \vec{e}_x$$

$$= \frac{\sigma e}{2\pi \cdot \epsilon_0} \ln \left| \frac{-a-b}{a-b} \right| \cdot \vec{e}_x$$

$$\underline{b > a} \quad = \frac{\sigma e}{2\pi \cdot \epsilon_0} \ln \left(\frac{a+b}{b-a} \right) \cdot \vec{e}_x$$

Pol.:
bei $b \rightarrow a$
dort $E \rightarrow \infty$

d.) Fernfeld: $b \gg a \iff \frac{a}{b} \ll 1$

$$\vec{E}(b, 0, 0) = \frac{\sigma e}{2\pi \cdot \epsilon_0} \cdot \ln \left(\frac{1+a/b}{1-a/b} \right) \cdot \vec{e}_x$$

Hinweis: $\ln(1+x) \approx x$ für $|x| \ll 1$

L

10.11.09

ET III

$$\vec{E}(b, 0, 0) \approx \frac{\sigma_e}{2\pi \cdot \epsilon_0} \left[\frac{a}{b} - \left(-\frac{a}{b} \right) \right] \cdot \vec{e}_x$$

$$= \frac{\sigma_e \cdot 2a}{2\pi \cdot \epsilon_0} \cdot \frac{1}{b} \cdot \vec{e}_x$$

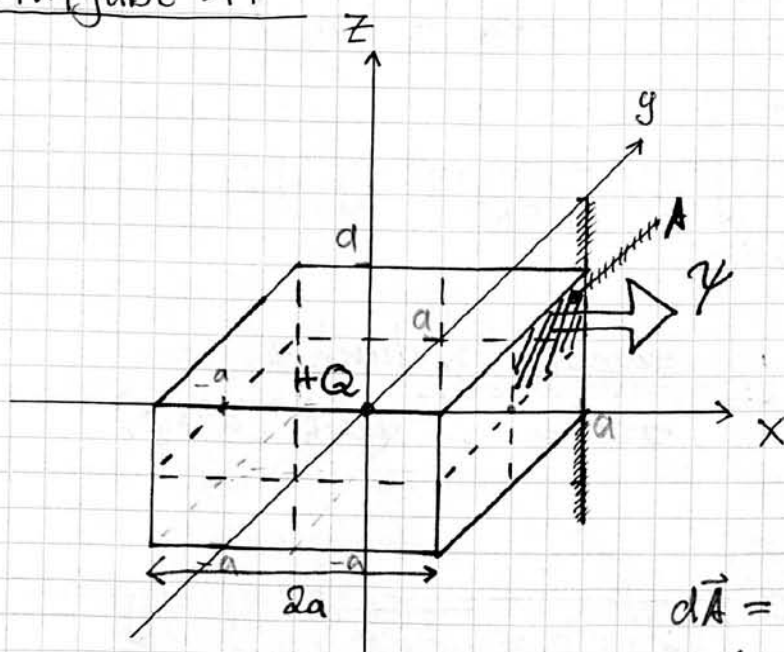
(Schwerpunkts
prinzip)

$$= \frac{q_L}{2\pi \cdot \epsilon_0} \cdot \frac{1}{b} \cdot \vec{e}_x$$

Also $q_L = \underbrace{2a}_{\text{Breite des Streifens}} \cdot \sigma_e$

Aquivalenter
Ladungsbetrag

Aufgabe 11



„Würfel“
(mit Mittelpunkt bei Q)

$$d\vec{A} = dA \cdot \vec{e}_x \\ (= dy \cdot dz \cdot \vec{e}_x)$$

a.) $\gamma = \iint_A \vec{D} d\vec{A}$

Wegen der Form der Fläche A ist die Berechnung von Ψ in kartesischen Koordinaten am einfachsten: $d\vec{A} = dy \cdot dz \cdot \vec{e}_x$

$$\vec{D}(\vec{r}) = \frac{Q}{4\pi} \cdot \frac{\vec{r}}{r^3} = \frac{Q}{4\pi} \cdot \frac{x \cdot \vec{e}_x + y \cdot \vec{e}_y + z \cdot \vec{e}_z}{[x^2 + y^2 + z^2]^{\frac{3}{2}}} \left. \begin{array}{l} \text{Achtung } \nabla \\ \text{keine } \vec{E}'s \nabla \\ \vec{E} \cdot \vec{E} = \vec{D} \end{array} \right\}$$

Grenzen: $0 \leq y \leq a, 0 \leq z \leq a$

$$d\Psi = \vec{D} \cdot d\vec{A} = \underbrace{\vec{D} \cdot \vec{e}_x}_{= D_x (x=a, y, z)} dy \cdot dz$$

$$\Psi = \frac{Q}{4\pi} \int_{y=0}^a \int_{z=0}^a \frac{a}{\sqrt{a^2 + y^2 + z^2}^3} dy \cdot dz$$

Hinweis 2: L ersetze x durch z
ersetze B^2 durch $(a^2 + y^2)$

$$\Psi = \frac{Q}{4\pi} \int_{y=0}^a a \cdot \left[\frac{z}{(a^2 + y^2) \sqrt{a^2 + y^2 + z^2}} \right]_{z=0}^a dy$$

$$= \frac{Q \cdot a^2}{4\pi} \int_{y=0}^a \frac{1}{(a^2 + y^2) \sqrt{2a^2 + y^2}} dy$$

10.11.09

ET III

Hinweis 3: ersetze x durch y
 L ersetze B^2 durch a^2

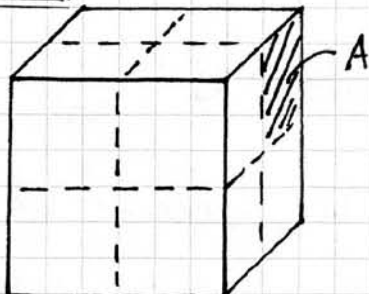
$$\psi = \frac{Q \cdot a^2}{4\pi} \cdot \frac{1}{2a^2} \left[\arctan \left(\frac{y \cdot \sqrt{y^2 + 2a^2}}{a^2} \right) \right]_{y=0}^a$$

$$= \frac{Q}{8\pi} \cdot \underbrace{\left[\arctan \left(\frac{a \cdot \sqrt{3a^2}}{a^2} \right) - \arctan(0) \right]}_{\arctan \sqrt{3} = \frac{\pi}{3}} = 0$$

(mit Hinweis 1)

$$\Rightarrow \underline{\psi = \frac{Q}{24}}$$

b.)



Wegen der Kugelsymmetrie von $\vec{D}(\vec{r})$ wird jede der vier Teilflächen bei jeder der 6 Würfelseiten vom gleichen Fluss ψ durchsetzt.

$$\psi_i = \frac{Q}{24} \quad \text{für } i = 1, \dots, 24$$

$$\Rightarrow \underline{\psi_{\text{ges}} = \sum_{i=1}^{24} \psi_i = Q}$$

Der elektrische Fluss ψ durch eine geschlossene Hüllfläche gibt immer die eingezeichnete Ladung wieder.

Aufgabe 12

a.) gegeben: kugelförmige, homogene Raumladungsverteilung ρ_e mit dem Radius a

gesucht: $\vec{D}(\vec{r})$ bzw. $\vec{E}(\vec{r})$ für $|\vec{r}| > a$
 an jedem Ort (\vec{r}): 3 skalare Unbekannte

Ansatz : $\oint\limits_H \vec{D} \cdot d\vec{A} = \iiint\limits_V \rho_e dV$

H berandet V Wichtig
zu verstehen

→ eine skalare Gleichung (keine Vektorgleichung!)

⇒ Es sind zusätzliche Symmetrieeüberlegungen erforderlich.

$\rho_e(\vec{r})$ ist kugelsymmetrisch
 $\Rightarrow \rho_e(r)$ bzw. $\rho_e = \text{const.}$

⇒ $\vec{D}(\vec{r})$ ist auch kugelsymmetrisch

$$\vec{D}(\vec{r}) = D_r(r, \cancel{\alpha}, \cancel{\phi}) \cdot \vec{e}_r$$

~~$$+ D_\theta(r, 0, \phi) \cdot \vec{e}_\theta$$~~

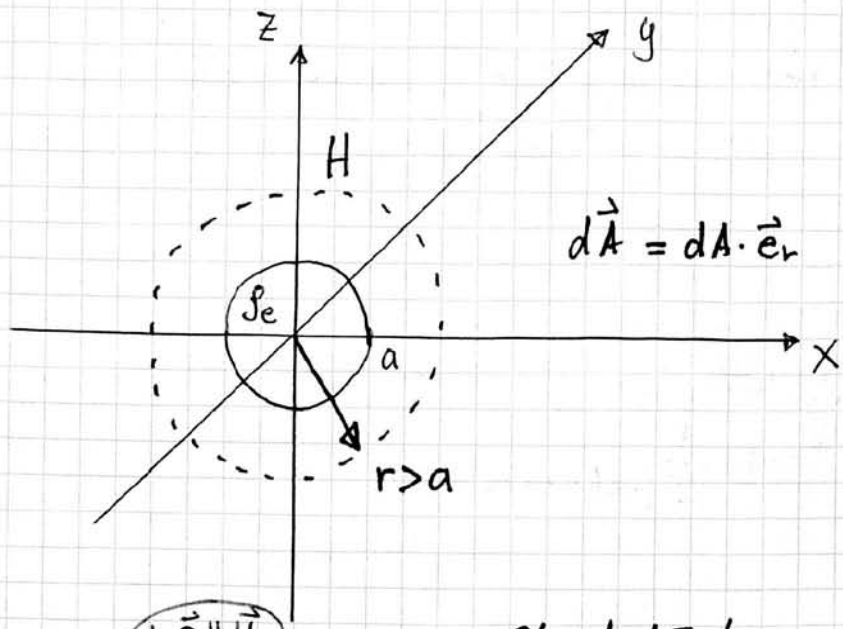
~~$$+ D_\phi(r, 0, \phi) \cdot \vec{e}_\phi$$~~

1 Skalare Unbekannte
erfordert 1 skalare Gleichung!

→ $\vec{D}(r) = D_r(r) \cdot \vec{e}_r$ } eine skalare Unbekannte

10.11.09

ET III



$$d\vec{A} = dA \cdot \vec{e}_r$$

$dA \parallel d\vec{A}$

Standard-Trick

$$\iint_H \vec{D} d\vec{A} = \iint_H D_r(r) dA \xrightarrow{\text{const. auf } H} D_r(r) \iint_H dA$$

Hullflächenintegral

$$\iint_H \vec{D} d\vec{A} = Q_{\text{ein}} = \underbrace{\frac{4}{3} \pi a^3}_{\text{Gesamtladung.}} \cdot \rho_e \left(= \iiint_V \rho dV \right)$$

$$= D_r(r) \cdot \iint_H dA \xrightarrow{\text{Oberfläche der Kugel}} D_r(r) \cdot \underbrace{4\pi \cdot r^2}_{\text{Oberfläche der Kugel}}$$

$$\Rightarrow D_r(r) = \frac{a^3 \cdot \rho_e}{3r^2}$$

$$\vec{E}(r) = \frac{1}{\epsilon_0} \cdot D_r(r) \cdot \vec{e}_r = \frac{a \cdot \rho_e}{3\epsilon_0 \cdot r^2} \cdot \vec{e}_r$$

für $|r| > a$

Jetzt Aufgabe 11 mit dem Gauß'schen Satz
der Elektrostatik:

10.11.09

ET III

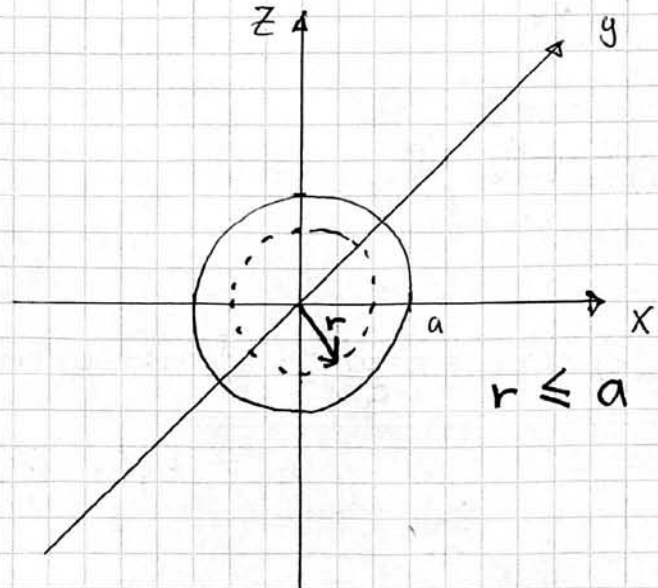
$$\gamma_{\text{ges}} = \iint_{\text{Würfel}} \vec{D} \cdot d\vec{A} = Q_{\text{ein}} = Q \cdot \underbrace{\text{Gesamtfluss}}_{\text{durch Hülle}}$$

$$\gamma_{\text{ges}} = 24 \cdot \gamma_A \Rightarrow \gamma_A = \frac{\gamma_{\text{ges}}}{24} = \frac{Q}{24} \quad \left. \begin{array}{l} \text{folgt aus} \\ \text{Symmetrie!} \end{array} \right\}$$

b.) Jetzt: Feld der Kugel für $|\vec{r}| \leq a$

$$\iint_{\text{H}} \vec{D} \cdot d\vec{A} = D_r(r) \cdot 4\pi r^2 \quad \underline{\text{Vgl. a)}}$$

$$= \iiint_V \rho_e dV = \rho_e \cdot \frac{4}{3} \cdot \pi r^3 \quad \begin{array}{l} \text{B} \\ \text{Qein} \\ \text{radiusabh.} \end{array}$$



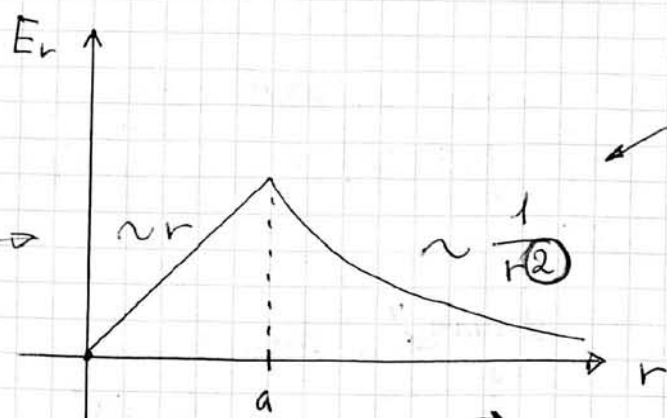
$$\Rightarrow D_r(r) = \frac{r \cdot \rho_e}{3} \Rightarrow \vec{E}(r) = \frac{r \cdot \rho_e}{3 \cdot \epsilon_0} \cdot \hat{e}_r$$

10.11.09

ET III

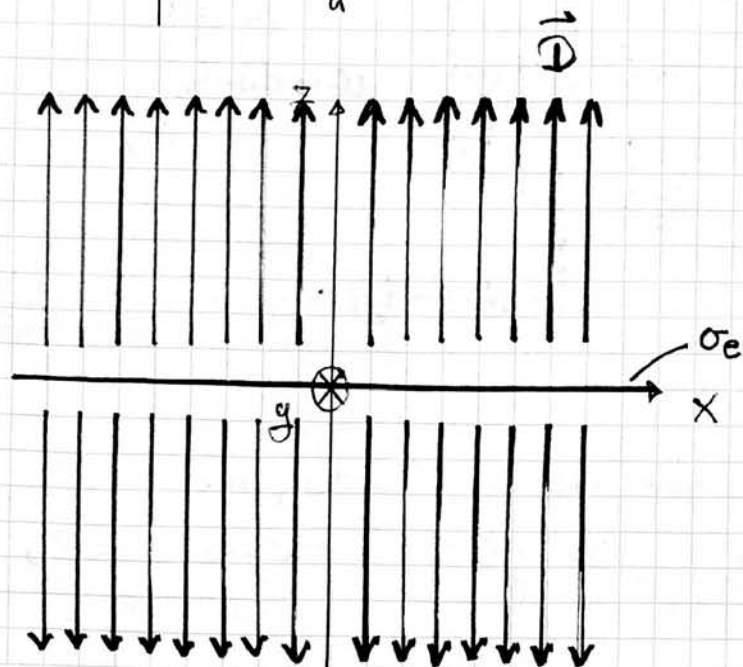
Merke Feldverlauf

für Klausur ☺



Feldverlauf von
Kugel mit hom.
Raumladungsverteilung ☺

c)



Äquipotenzial-
flächen

Die Ladungsdichte und damit auch die el. Flussdichte \vec{D} sind invariant bzgl. einer Verschiebung in der x - oder y -Richtung.

$$\Rightarrow \vec{D}(\vec{r}) \neq f(x, y)$$

Auch invariant bzgl. einer Rotation um die z -Achse (oder um einer zur z -Achse parallelen Achse)

$$\Rightarrow D_x = 0 \quad D_y = 0$$

$$\Rightarrow \vec{D}(\vec{r}) = D_z(z) \cdot \vec{e}_z$$

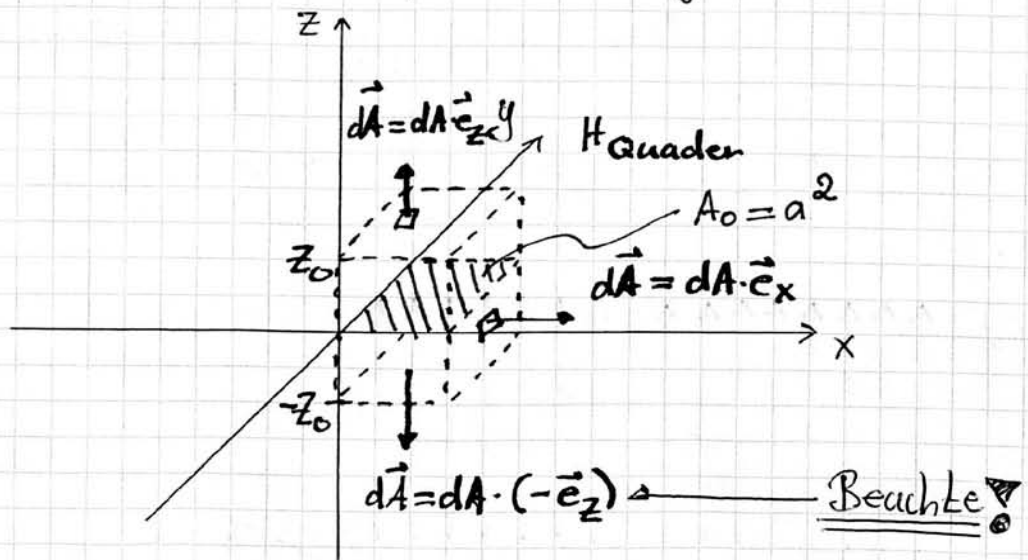
Die Ladungsdichte ist symmetrisch zur x - y -Ebene.

VL Sin() $\Rightarrow \Rightarrow [D_z(-z) = -D_z(z)]$ (annahmende Erzl. 11.11.)

Gauß'sche Satz der Elektrostatik:
angewendet auf quaderförmige Hüllfläche

17.11.09

ET III



H: Einhüllende für A_0 in Quaderform:

$$0 \leq x \leq a, 0 \leq y \leq a, -z_0 \leq z \leq z_0$$

$$\text{Es war: } \vec{D} = D_z \cdot \vec{e}_z$$

Auf den Seitenflächen ist $d\vec{A} \parallel \vec{e}_x$
oder $d\vec{A} \parallel \vec{e}_y$

also $\vec{D} \cdot d\vec{A} = 0 \rightarrow$ kein Beitrag zum Integral

Eingeschlossene Ladung:

$$\Delta Q = \sigma_e \cdot A_0 = \sigma_e \cdot a^2$$

17.11.09

ET III

$$\text{Deckel: } d\vec{A} = dA \cdot \vec{e}_z$$

$$\vec{D} = D_z(z_0) \cdot \vec{e}_z = \text{const}$$

$$\text{Boden: } d\vec{A} = dA(-\vec{e}_z)$$

$$\vec{D} = D_z(-z_0) \cdot \vec{e}_z = \text{const}$$

$$\iint_{\text{HQuader}} \vec{D} \cdot d\vec{A} = \boxed{(D_z(z_0) \cdot \vec{e}_z)(A_0 \cdot \vec{e}_z) + (D_z(-z_0) \cdot \vec{e}_z)(A_0(-\vec{e}_z))}$$

$$= D_z(z_0) \cdot A_0 + \underbrace{D_z(-z_0)}_{= -D_z(z_0)} \cdot (-A_0)$$

$$= 2 \cdot D_z(z_0) \cdot A_0 \quad (= 2 \cdot D_z(z_0) \cdot a^2)$$

$$\stackrel{!}{=} Q_{\text{ein}} = \Delta Q = \sigma_e \cdot A_0 = \sigma_e \cdot a^2$$

(für beliebige $z_0 > 0$)

Insgesamt:

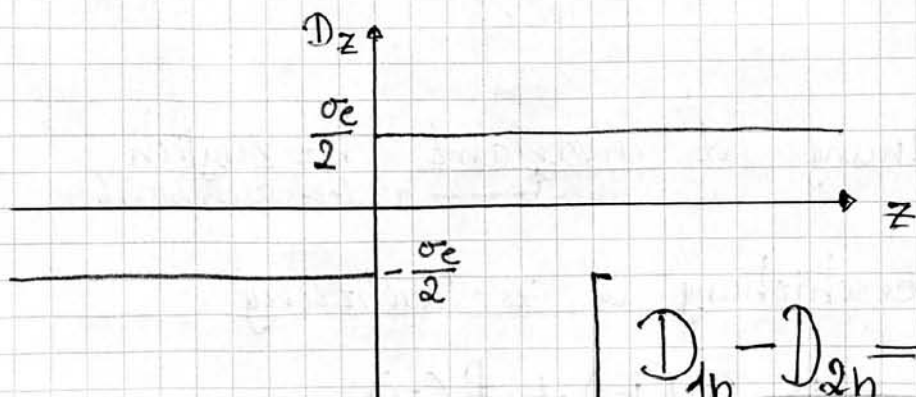
elektrische Flussdichte muss nicht stetig sein!

(an Grenzflächen mit Ladung)

Feld nimmt mit z nicht ab!

(da $A \rightarrow \infty$)

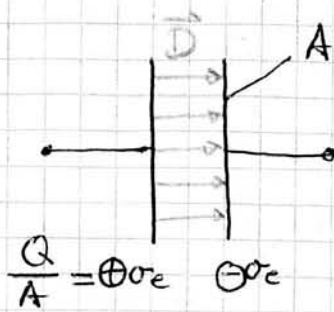
$$\vec{D}(r) = \begin{cases} \frac{\sigma_e}{2} \cdot \vec{e}_z & \text{für } z > 0 \\ -\frac{\sigma_e}{2} \cdot \vec{e}_z & \text{für } z < 0 \end{cases}$$



Vgl. idealer Plattenkondensator

17.11.09

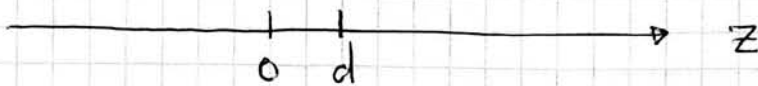
FT III



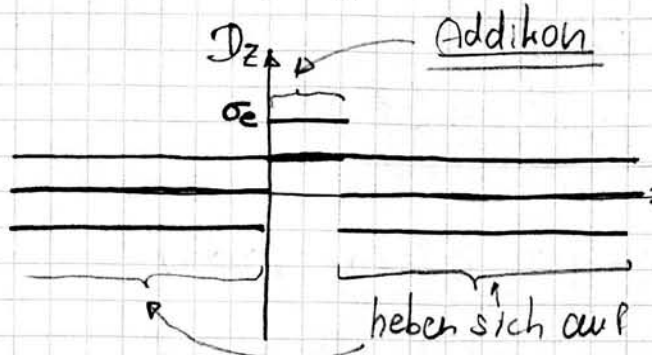
$$\text{falls } \underline{\sigma_{ee} = \sigma_{er}} \\ \Rightarrow \underline{\vec{E} = 0} \\ (\text{innen})$$

Beachte Vorzeichen!

$$\frac{Q}{A} = +\sigma_{ee} - \sigma_{er}$$

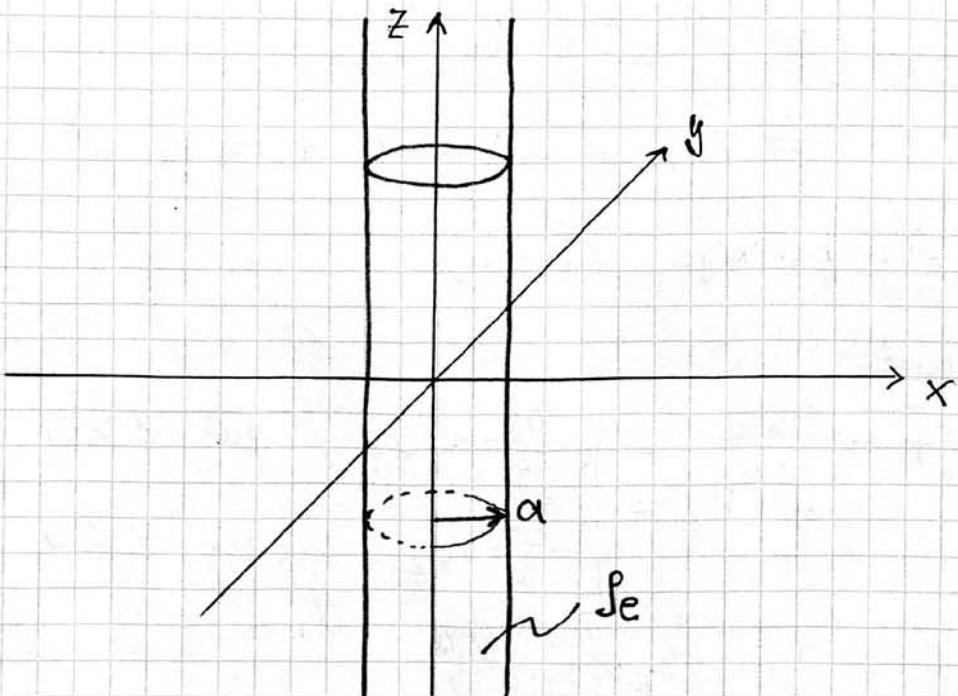


Addition



} Superposition
„Halber Feldstärkebeitrag von je einer Platte“

d.)



Anordnung ist invariant bezüglich:
→ ändert sich nicht

- Verschiebung in z-Richtung

$$\rightarrow \vec{n}(r) \perp \vec{F}(r)$$

17.11.09

ET III

- Drehung um π (um 180°) um die X-Achse oder Y-Achse

$$\Rightarrow D_z = 0, \quad D_\phi = 0$$

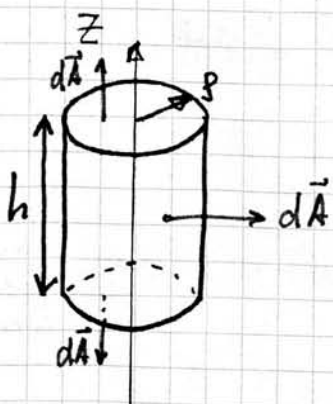
- beliebigen Drehung um die z-Achse

$$\Rightarrow D_f(\vec{r}) \neq f(\phi)$$

Insgesamt: $\vec{D}(\vec{r}) = D_f(r) \cdot \vec{e}_\phi$

Zylindersymmetrisches Radialfeld

Hüllfläche H: Zylinder um die z-Achse mit der Höhe h und dem Radius r



- Deckel und Boden: $d\vec{A} \parallel \vec{e}_z$
also $d\vec{A} \perp \vec{D}$ (kein Beitrag)

- Zylindermantel: $d\vec{A} = dA \cdot \vec{e}_\phi$

$$\vec{D} \cdot d\vec{A} = D_f(r) \cdot \vec{e}_\phi \cdot dA \vec{e}_\phi = D_f(r) \cdot dA$$

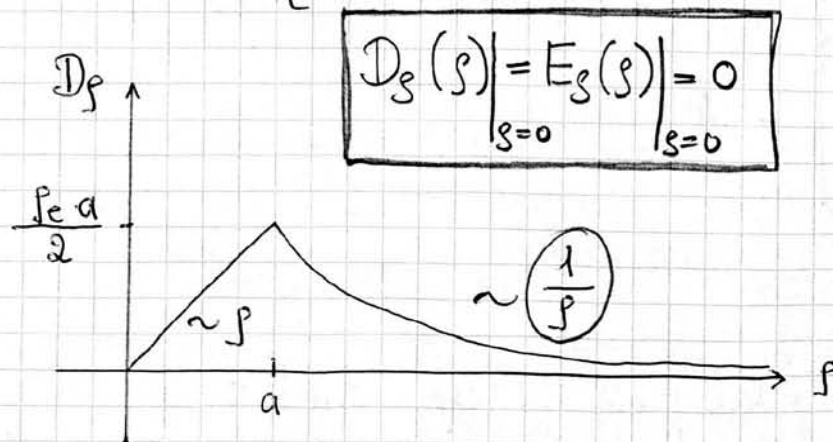
$$\iint_H \vec{D} d\vec{A} = \iint_{\text{Mantel}} D_f(f) dA$$

Beachte keine
Hilffläche mehr!

$$= D_f(f) \cdot \underbrace{\iint_{\text{Mantel}} dA}_{h \cdot 2\pi \cdot f} = Q_{\text{ein}}$$

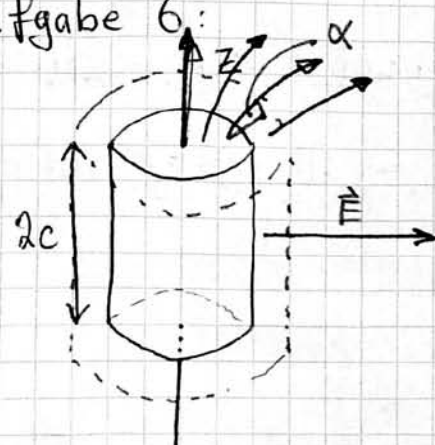
$$Q_{\text{ein}} = \iiint_V \rho_e(r) dV = \begin{cases} \rho_e \cdot h \cdot \pi \cdot f^2 & \text{für } f \leq a \\ \rho_e \cdot h \cdot \pi \cdot a^2 & \text{für } f > a \end{cases}$$

$$\Rightarrow D_f(f) = \begin{cases} \frac{1}{2} \rho_e \cdot f & \text{für } f \leq a \\ \frac{1}{2} \rho_e \cdot a^2 \cdot \frac{1}{f} & \text{für } f > a \end{cases}$$



Selber Verlauf wie
oo lange
dienlinielladung
(Erzladung)
(aba)

Rückblick Aufgabe 6:



$$\iint_H \vec{D} \cdot d\vec{A} = Q_{\text{ein}}$$

$$= 2c \cdot \pi \cdot a^2 \cdot \rho_e$$

$$\vec{D} \cdot d\vec{A} = |\vec{D}| \cdot dA \cdot \cos \alpha$$

17.11.09 Aufgabe 13

ET III

Beachte:

Potenzial:
 φ_e

Koordinate:
 ϕ

Elektrostatische Potenzial (allg. entlang beliebiger Kurve zwischen P_0 und P)

$$\varphi_e(P) = \varphi_e(P_0) - \int_{P_0}^P \vec{E} d\vec{s}$$

Vgl. $U_{12} = \int_{P_1}^{P_2} \vec{E} d\vec{s} = \varphi_1 - \varphi_2$

*Bezugspotenzial
Bezugspunkt*

Das Bezugspotenzial ist im allg. zu $\varphi_e = 0$ gewählt.

Betrachte el. Feldstärke \vec{E} der Raumladungsverteilung aus Aufgabe 8 (und 12 b)

$$\vec{E}(r) = \frac{Q_{\text{ges}}}{4\pi \cdot \epsilon_0} \cdot \vec{e}_r \cdot \begin{cases} r/a^3 & \text{für } 0 \leq r \leq a \\ 1/r^2 & \text{für } a < r < \infty \end{cases}$$

$$\text{mit } Q_{\text{ges}} = \frac{4}{3} \cdot \pi \cdot a^3 \cdot \rho_e$$

a) Kugelsymmetrie: $\vec{E}(r) = E_r(r) \cdot \vec{e}_r$

ϕ, Ω -Richtung irrelevant

$$\text{allg.: } d\vec{s} = dr \cdot \vec{e}_r + r \cdot d\theta \cdot \vec{e}_\theta + r \cdot \sin\theta \cdot d\phi \cdot \vec{e}_\phi$$

Nur Bewegung
vom und auf
 Ω relevant.

$$\Rightarrow \vec{E}(r) d\vec{s} = E_r(r) dr$$

$$\varphi_e(\vec{r}) = \varphi_e(r) \neq f(\theta, \phi)$$

φ_0 im Ursprung, d.h. $\varphi_e(r=0) = 0$

$$\varphi_e(r) = \varphi_e(r=0) - \int_{r'=0}^{r'=r} E_r(r') dr'$$

(1) innen: $0 \leq r \leq a$

$$\begin{aligned}\varphi_e(r) &= -\frac{Q_{\text{ges}}}{4\pi \cdot \epsilon_0} \cdot \frac{1}{a^3} \cdot \int_{r'=0}^r r' dr' \\ &= -\frac{Q_{\text{ges}}}{8\pi \cdot \epsilon_0 a^3} \cdot r^2 \left(= -\frac{\rho_e \cdot r^2}{6 \cdot \epsilon_0} \right)\end{aligned}$$

aussen: $a < r$

$$\begin{aligned}\varphi_e(r) &= \underbrace{\varphi_e(r=0) - \int_{r'=0}^{r'=a} E_r(r') dr'}_{\varphi_e(r=a)} - \int_{r'=a}^{r'=r} E_r(r') dr' \\ &= -\frac{Q_{\text{ges}}}{8\pi \cdot \epsilon_0 \cdot a} - \frac{Q_{\text{ges}}}{4\pi \cdot \epsilon_0} \int_{r'=a}^{r'=r} \frac{1}{r'^2} \cdot dr' \\ &= -\frac{Q_{\text{ges}}}{8\pi \cdot \epsilon_0 \cdot a} - \frac{Q_{\text{ges}}}{4\pi \cdot \epsilon_0} \underbrace{\left[-\frac{1}{r'} \right]_{r'=a}^{r'=r}}_{\frac{1}{a} - \frac{1}{r}} \\ &\Rightarrow \varphi_e(r) = -\frac{3}{8} \frac{Q_{\text{ges}}}{\pi \cdot \epsilon_0 \cdot a} + \frac{Q_{\text{ges}}}{4\pi \cdot \epsilon_0} \cdot \frac{1}{r} \\ &\quad \left(= -\frac{\rho_e \cdot a^2}{6} + \frac{a^3 \rho_e}{6} \right)\end{aligned}$$

Punktladung
Außenraum

17.11.09

ET III

immer
stetigPotenzial)Annmerkung: φ_e stetig bei $r = a$

$$\varphi_e(r) = \frac{Q_{\text{ges}}}{8\pi \cdot \epsilon_0 \cdot a} \cdot \begin{cases} -\frac{r^2}{a^2} & \text{f\"ur } 0 \leq r \leq a \\ (-3 + 2\frac{a}{r}) & \text{f\"ur } a < r \end{cases}$$

b) $\vec{E}(\vec{r}) = -\text{grad } \varphi_e(\vec{r})$

In Kugelkoordinaten:

$$\text{Fortschreibung} \left\{ \text{grad } \varphi_e = \frac{\partial \varphi_e}{\partial r} \cdot \vec{e}_r + \underbrace{\frac{1}{r} \cdot \frac{\partial \varphi_e}{\partial \theta} \cdot \vec{e}_{\theta} + \frac{1}{r \sin \theta} \cdot \frac{\partial \varphi_e}{\partial \phi} \cdot \vec{e}_{\phi}}_{=0 \text{ wegen } \varphi_e \neq f(\theta, \phi)} \right.$$

hier: $\vec{E}(r) = -\frac{\partial \varphi_e(r)}{\partial r} \cdot \vec{e}_r$

i) innen: $0 \leq r \leq a$

$$\vec{E}(r) = + \frac{Q_{\text{ges}}}{8\pi \cdot \epsilon_0 \cdot a^3} \cdot \frac{\partial}{\partial r} (r^2) \cdot \vec{e}_r$$

$$= \frac{Q_{\text{ges}}}{4\pi \cdot \epsilon_0 \cdot a^3} \cdot r \cdot \vec{e}_r$$

ii) außen: $a < r$

$$\vec{E}(r) = - \frac{Q_{\text{ges}}}{4\pi \cdot \epsilon_0} \cdot \frac{\partial}{\partial r} \left(\frac{1}{r} \right) \cdot \vec{e}_r = + \frac{Q_{\text{ges}}}{4\pi \cdot \epsilon_0} \cdot \frac{1}{r^2} \cdot \vec{e}_r$$

$$c) \quad \varphi_e(r = a) := 0$$

(i) innen: $0 \leq r \leq a$

$$\varphi_e(r) = - \int_{r'=a}^r E_r(r') dr' = - \frac{Q_{\text{ges}}}{4\pi \cdot \epsilon_0 \cdot a^3} \int_{r'=a}^r r'^2 dr'$$

$\underbrace{\frac{1}{2}(r^2 - a^2)}$

Potenzial bei
auf Konstante
eindeutig
bestimmt!

$$= + \frac{Q_{\text{ges}}}{8\pi \cdot \epsilon_0 \cdot a} \cdot \left(1 - \frac{r^2}{a^2}\right) \quad \left(= - \frac{p_e}{6 \cdot \epsilon_0} (r^2 - a^2)\right)$$

(ii) außen: $a < r$

$$\varphi_e(r) = - \int_{r'=a}^r E_r(r') dr' = - \frac{Q_{\text{ges}}}{4\pi \cdot \epsilon_0} \cdot \int_{r'=a}^r \frac{1}{r'^2} dr'$$

$\underbrace{\frac{1}{a} - \frac{1}{r}}$

$$= - \frac{Q_{\text{ges}}}{4\pi \cdot \epsilon_0} \left(\frac{1}{a} - \frac{1}{r} \right) \cdot \frac{-2a}{-2a}$$

$$= \frac{Q_{\text{ges}}}{8\pi \cdot \epsilon_0 \cdot a} \left(-2 + 2 \frac{a}{r} \right) \quad \left(= - \frac{a^3 \cdot p_e}{3 \cdot \epsilon_0} \left(\frac{1}{a} - \frac{1}{r} \right) \right)$$

$$\Rightarrow \varphi_e(r) = \frac{Q_{\text{ges}}}{8\pi \cdot \epsilon_0 \cdot a} \cdot \begin{cases} \left(1 - \frac{r^2}{a^2}\right) & ; 0 \leq r \leq a \\ \left(-2 + 2 \frac{a}{r}\right) & ; a < r \end{cases}$$

24.11.09

ET III

$$\varphi_e(r \rightarrow \infty) = 0$$

(a) außen ($a < r$)

von außen
anfangen, da
dort
Bezugspunkt!

$$\begin{aligned} \varphi_e(r) &= - \int_{r'=0}^r E_r(r') dr' = - \frac{Q_{\text{ges}}}{4\pi \cdot \epsilon_0} \underbrace{\int_{r'=0}^r \frac{dr'}{r'^2}}_{r'=0} \\ &= + \frac{Q_{\text{ges}}}{8\pi \cdot \epsilon_0 \cdot a} \cdot 2 \cdot \frac{a}{r} \left(= \frac{a^3 \varphi_e}{3 \cdot \epsilon_0 \cdot r} \right) = \left(0 - \frac{1}{r} \right) \frac{2a}{2a} \end{aligned}$$

(11) innen: ($0 \leq r \leq a$)

$$\varphi_e(r) = - \underbrace{\int_{r'=0}^a E_r(r') dr'}_{\varphi_e(r=a)} - \int_{r'=a}^r E_r(r') dr'$$

$$\begin{aligned} &= \frac{Q_{\text{ges}}}{8\pi \cdot \epsilon_0 \cdot a} \cdot 2 - \frac{Q_{\text{ges}}}{4\pi \cdot \epsilon_0 \cdot a^3} \underbrace{\int_{r'=a}^r r'^2 dr'}_{\frac{1}{2}(r^2 - a^2)} \\ &= \frac{Q_{\text{ges}}}{8\pi \cdot \epsilon_0 \cdot a} \cdot \left(2 - \frac{r^2}{a^2} + 1 \right) \left(= \frac{a^2 \varphi_e}{3 \cdot \epsilon_0} - \frac{\varphi_e}{6 \cdot \epsilon_0} (r^2 - a^2) \right) \end{aligned}$$

$$\Rightarrow \varphi_e(r) = \frac{Q_{\text{ges}}}{8\pi \cdot \epsilon_0 \cdot a} \cdot \begin{cases} \left(2 - \frac{r^2}{a^2} \right) ; 0 \leq r \leq a \\ 2 \cdot \frac{a}{r} ; a \leq r \end{cases}$$

24.11.05

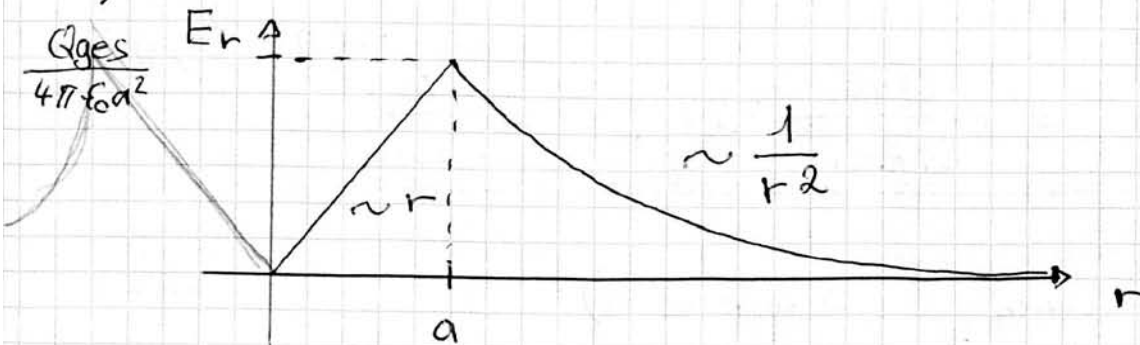
Herrn III

ET

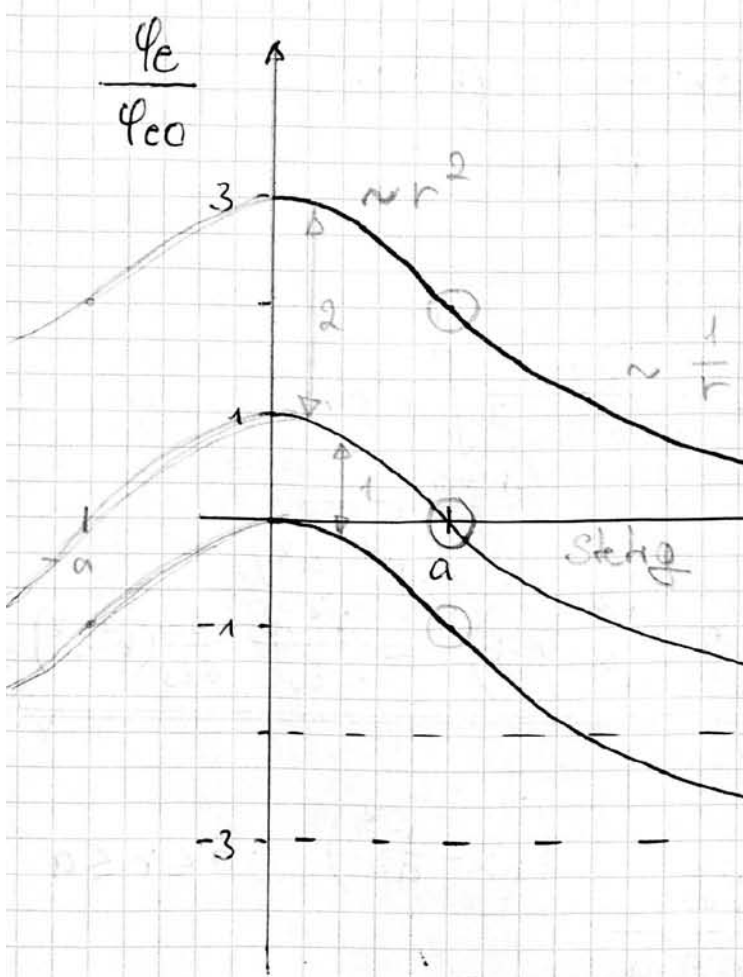
Ahnenkung:

Die Formulierung von $d\vec{s}$ ist in allen Integralen gleich! Also: $d\vec{s} = \oplus dr \cdot \vec{e}_r + \dots$

d.) $|\vec{E}| = E_r$



kein
Minus
(schon in den
Integrations
grenzen
drinnen)



$$\varphi_{e0} = \frac{Q_{\text{ges}}}{8\pi \cdot \epsilon_0 \cdot a}$$

Potentialverlauf von
Kugel mit homogener
Ladungsverteilung ρ_e .

$$c^{(2)} \quad \varphi_e(r \rightarrow \infty) = 0$$

Bz zu spät

$$c^{(1)} \quad \varphi_e(r=a) = 0$$

immer auf

$$\varphi = 0$$

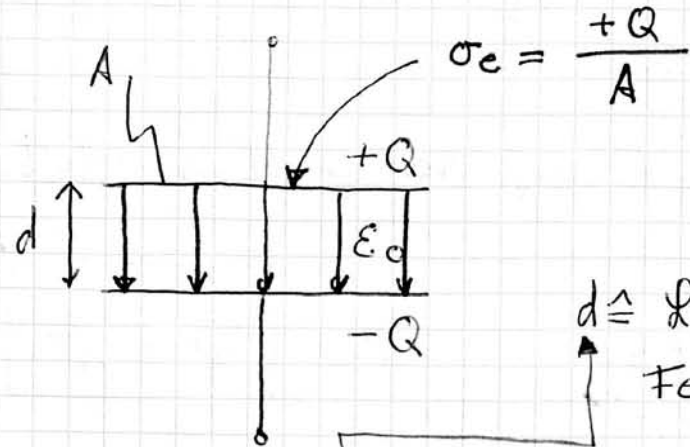
$$\varphi_e(r=0) = 0$$

gleicher Off-set
(Abstand) überall
 $(= \text{aut. } \rho_0)$

(Bei negativer Ladungen r-Achse spiegeln) $Q_0 < 0$

24.11.09 Aufgabe 20

ET
KOMMA III



$d \triangleq$ Länge der Feldlinien

$$a) C = \epsilon_0 \cdot \frac{A}{d} = \frac{Q}{U} \Rightarrow U = \frac{Q}{C}$$

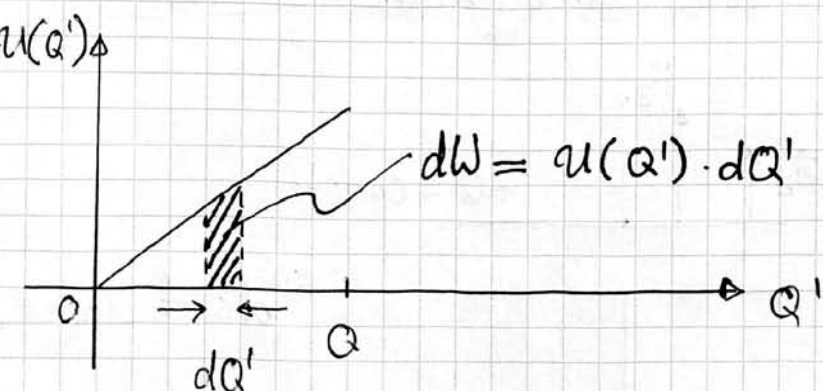
Ansatz: Aufladen des (zunächst ungeladenen) Kondensators bei offenen Klemmen.

$$W_{el} = \int_{Q'=0}^Q \underbrace{dQ' \cdot u(Q')}_{dW}$$

$$= \frac{1}{C} \int_{Q'=0}^Q Q' \cdot dQ' = \frac{1}{C} \cdot \frac{1}{2} \cdot Q^2 = \frac{d}{2\epsilon_0 A} \cdot Q^2$$

Hier gilt: $W_{el} = \frac{1}{2} Q \cdot U$ wegen $U \sim Q$

(C Best)



Zweite Betrachtung über die Energiedichte des el. Feldes.

24.11.05

ET III

$$\sigma_e = \frac{Q}{A} \quad \text{auf der positiven Platte unabhängig vom Abstand!}$$

$D = D_h = \sigma_e$, also $D = \frac{Q}{A}$ ($D_{2h}=0$)

$$w_{el} = \frac{1}{2} D \cdot E = \frac{1}{2} \cdot \frac{1}{\epsilon_0} \cdot \frac{Q^2}{A^2}$$

Energiedichte

(mit $D = \epsilon_0 \cdot E$) (2.16.3)

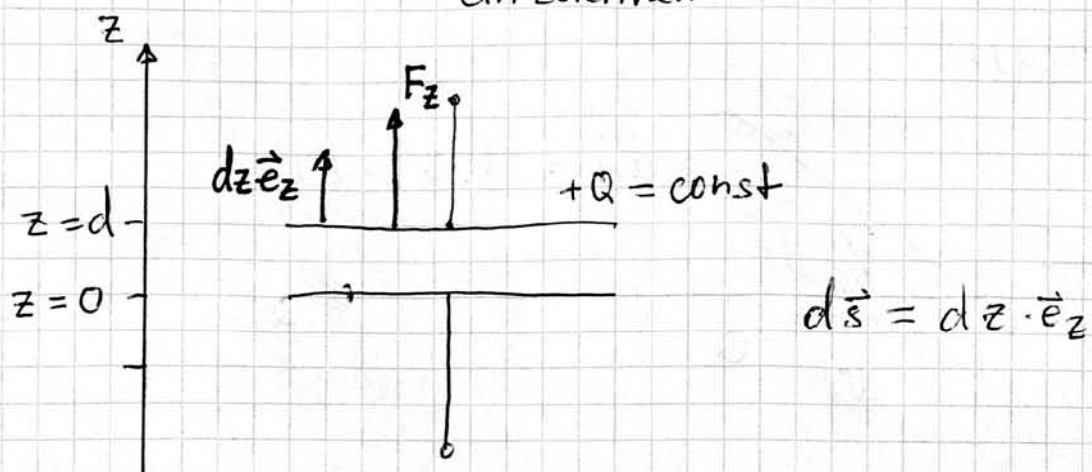
$$w_{el} = \iiint_V w_{el} \cdot dV = \frac{1}{2} \cdot \frac{1}{\epsilon_0} \cdot \frac{Q^2}{A^2} \cdot \underbrace{A \cdot d}_{=V} \cdot \frac{Q^2 \cdot d}{2 \cdot \epsilon_0 \cdot A}$$

Energie ist
im Feld
(Raum)
gespeichert

b.)

Kraftberechnung mit Hilfe der virtuellen Verschiebung.

Koordinatensystem: und Vektoren \vec{F} und $d\vec{s}$ ein zeichnen



24.11.09

ET III

Gesucht: Kraft F_z auf die obere Platte
bei $z = d$

Bei Verschiebung der oberen Platte um dz
verrichtet der Kondensator die Arbeit

$$dW_{\text{mech}} = F_z \cdot dz$$

ganz wichtig! \parallel \Rightarrow Wel hängt vom W_{mech} ab

$$dW_{\text{el}} = -F_z \cdot dz \quad \Leftrightarrow \quad F_z = -\frac{dW_{\text{el}}}{dz}$$

$$\text{Wel,nachher} = \text{Wel,vorher} - \int \vec{F} \cdot d\vec{s}$$

↑
Kraft aus der Sicht des Systems

Mit $C(z) = \epsilon_0 \cdot \frac{A}{z}$

und $\text{Wel} = \frac{1}{2} \cdot \frac{Q^2}{C(z)}$

Also: $F_z = -\frac{1}{2} \cdot Q^2 \cdot \underbrace{\frac{d}{dz} \left(\frac{1}{C(z)} \right)}_{\frac{1}{\epsilon_0 \cdot A}} = -\frac{1}{2} \cdot \frac{Q^2}{\epsilon_0 \cdot A}$

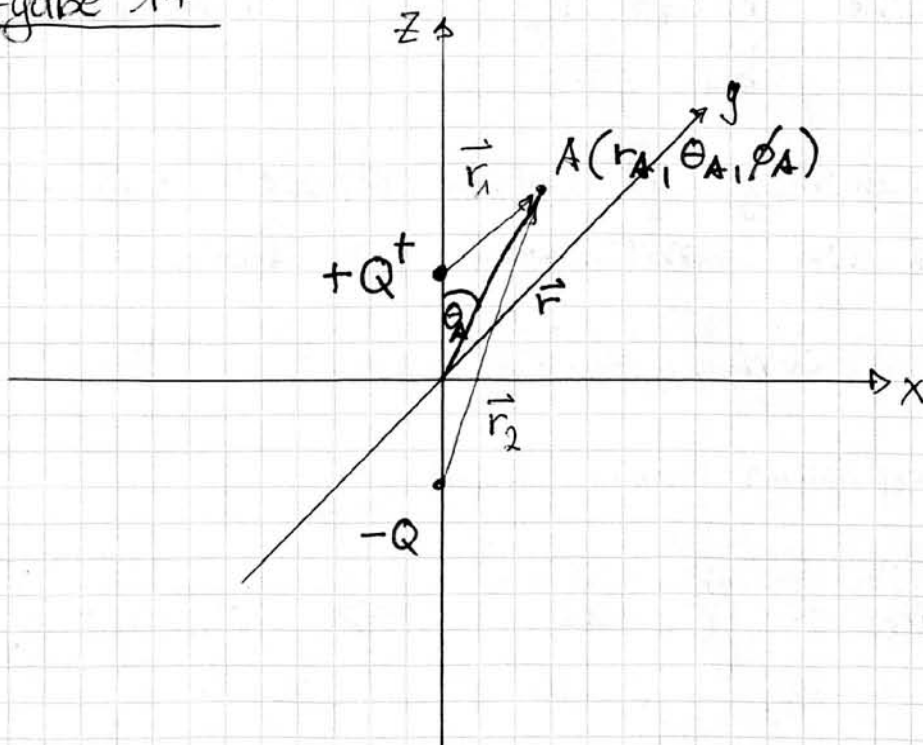
Beim geladenen
Kondensator

ziehen sich
Elektroden immer
an!

d.h. die Platten ziehen sich an!

Anmerkung: F_z entspricht der Coulomb-Kraft
auf die obere Platte im el. Feld der unteren Platte.

(Vgl. Feld der Flächenladung $A/2\epsilon_0$)

Aufgabe 14

a) $r_A = |\vec{r}_A|$ und $r_Z = |\vec{r}_Z|$

$$\varphi_1(r_1) = \frac{+Q}{4\pi \cdot \epsilon_0} \cdot \frac{1}{r_1} + \underbrace{\varphi_{1\infty}}_{\text{Potential für } r_1 \rightarrow \infty}$$

Potential für
 $r_1 \rightarrow \infty$

$$\varphi_2(r_2) = \frac{-Q}{4\pi \cdot \epsilon_0} \cdot \frac{1}{r_2} + \varphi_{2\infty}$$

Setze $\varphi_{1\infty} = 0$ und $\varphi_{2\infty} = 0$

(Falls nicht angegeben, selber setzen)

24.11.09

$$ET \rightarrow \varphi_{\text{ges}}(r_1, r_2) = \varphi_1(r_1) + \varphi_2(r_2)$$

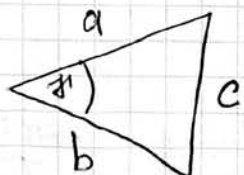
$$= \frac{Q}{4\pi \cdot \epsilon_0} \cdot \left(\frac{1}{r_1} - \frac{1}{r_2} \right)$$

Nur mögl.

falls beide das

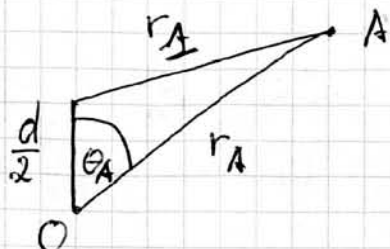
selbe Bezugspotenzial!

b.) Kosinussatz:



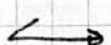
$$c^2 = a^2 + b^2 - 2ab \cdot \cos \gamma \quad \text{FS}$$

Gesucht: r_1, r_2 bzw. $\frac{1}{r_1}$ und $\frac{1}{r_2}$
als Funktion von $\frac{1}{r_A}$ und θ_A

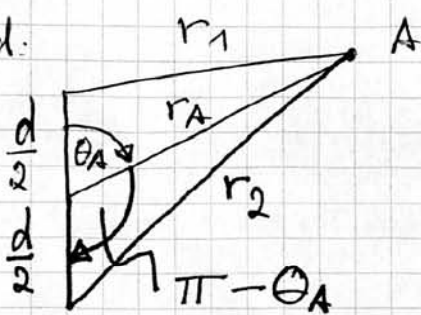


$$\frac{1}{r_1} = \sqrt{\frac{d^2}{4} + r_A^2 - d \cdot r_A \cdot \cos \theta_A}$$

$$= \frac{1}{r_A} \cdot \sqrt{\frac{1}{4} \left(\frac{d}{r_A}\right)^2 + 1 - \frac{d}{r_A} \cdot \cos \theta_A}$$



entsprechend:



Wichtig!

$$= -\cos \theta_A$$

$$\Rightarrow \frac{1}{r_2} = \frac{1}{r_A} \cdot \sqrt{\frac{1}{4} \left(\frac{d}{r_A}\right)^2 + 1 - \frac{d}{r_A} \cos(\pi - \theta_A)}$$

Näherung:

$$\frac{1}{\sqrt{1 + \frac{d}{r}}} \approx 1 - \frac{1}{2} \cdot \frac{d}{r}$$

$$\frac{1}{\sqrt{1+x}} \approx 1 - \frac{1}{2}x \quad \text{für } |x| \ll 1$$

1) Zunächst: Terme zweiter Ordnung ~~stricken~~
 \downarrow \approx

2) Dann Näherung verwenden

$$\text{hier: } \frac{d}{r_A} \ll 1$$

$$\text{also } \left(\frac{d}{r_A}\right)^2 \ll \frac{d}{r_A}$$

Mit der Näherung:

$$\frac{1}{r_A} \approx \frac{1}{r_A} \cdot \left(1 + \frac{1}{2} \cdot \frac{d}{r_A} \cdot \cos \theta_A\right)$$

$$\frac{1}{r_2} \approx \frac{1}{r_A} \left(1 - \frac{1}{2} \cdot \frac{d}{r_A} \cdot \cos \theta_A\right)$$

24.11.09

ET III

Merke

$$c) \quad p = Q \cdot d \stackrel{!}{=} \text{const}$$

Hinweis: \vec{d} zeigt von der negativen zur positiven Ladung! (2.16)

(Vgl. Polarisierung)

$$\underline{\underline{p = Q \cdot d}}$$

Dipolmoment

 ~~$\varphi(r_A)$~~

$$\varphi(r_A, \theta_A) \approx \frac{Q}{4\pi \cdot \epsilon_0} \cdot \frac{1}{r_A} \left[1 + \frac{1}{2} \cdot \frac{d}{r_A} \cdot \cos \theta_A \right]$$

$$- \left(1 - \frac{1}{2} \cdot \frac{d}{r_A} \cdot \cos \theta_A \right)$$

$$p = \frac{Q \cdot d}{4\pi \cdot \epsilon_0} \cdot \frac{1}{r_A^2} \cdot \cos \theta_A$$

p für
Dipol.

$$\varphi_p(r_A, \theta_A) = \lim_{d \rightarrow 0} \varphi(r_A, \theta_A)$$

$p = \text{const}$

Ebene zw.
Dipol

$$= \frac{p}{4\pi \cdot \epsilon_0} \cdot \frac{\cos \theta_A}{r_A^2}$$

Aquipotential-
fläche

Diese Rechnung gilt nur für $\vec{d} = d \cdot \vec{e}_z$

Allgemein: Vektorielles Dipolmoment

$$\vec{p} = Q \cdot \vec{d} \stackrel{\text{hier}}{=} Q \cdot d \cdot \vec{e}_z$$

Weiter gilt: $\vec{e}_z \cdot \vec{e}_r = \cos \theta$

$$\xrightarrow{\text{hier}} \vec{p} \cdot \vec{e}_r = p \cos \theta$$

allgemein!

allgemein

$$\varphi_p(\vec{r}) = \frac{\vec{p} \cdot \vec{e}_r}{4\pi \cdot \epsilon_0} \cdot \frac{1}{r^2} = \frac{\vec{p} \cdot \vec{r}}{4\pi \cdot \epsilon_0} \cdot \frac{1}{r^3}$$

zur Erinnerung: $\vec{a} \cdot \vec{b} = |\vec{a}| \cdot |\vec{b}| \cdot \cos \alpha$

Die gezeigte Formel gilt für einen Punkt-dipol im Ursprung, aber jetzt mit beliebiger Orientierung \vec{d} bzw. \vec{p} .

d.)

$$\vec{E}_D = -\operatorname{grad} \varphi_D$$

$$= - \left(\frac{\partial \varphi_D}{\partial r} \cdot \vec{e}_r + \frac{1}{r} \frac{\partial \varphi_D}{\partial \theta} \cdot \vec{e}_\theta + \frac{1}{r \sin \theta} \underbrace{\frac{\partial \varphi_D}{\partial \phi}}_{=0} \cdot \vec{e}_\phi \right)$$

Es soll gelten: $\vec{p} = p \cdot \vec{e}_z$

$$= - \frac{P}{4\pi \cdot \epsilon_0} \cdot \left(-2 \cdot \frac{\cos \theta}{r^3} \cdot \vec{e}_r - \frac{\sin \theta}{r^3} \cdot \vec{e}_\theta \right)$$

$$= \underline{\underline{\frac{P}{4\pi \cdot \epsilon_0} \cdot \frac{1}{r^3} (2 \cos \theta \cdot \vec{e}_r + \sin \theta \cdot \vec{e}_\theta)}}$$

Dipol: $|\vec{E}_D| \sim \frac{1}{r^3} \quad ; \quad \varphi_D \sim \frac{1}{r^2}$

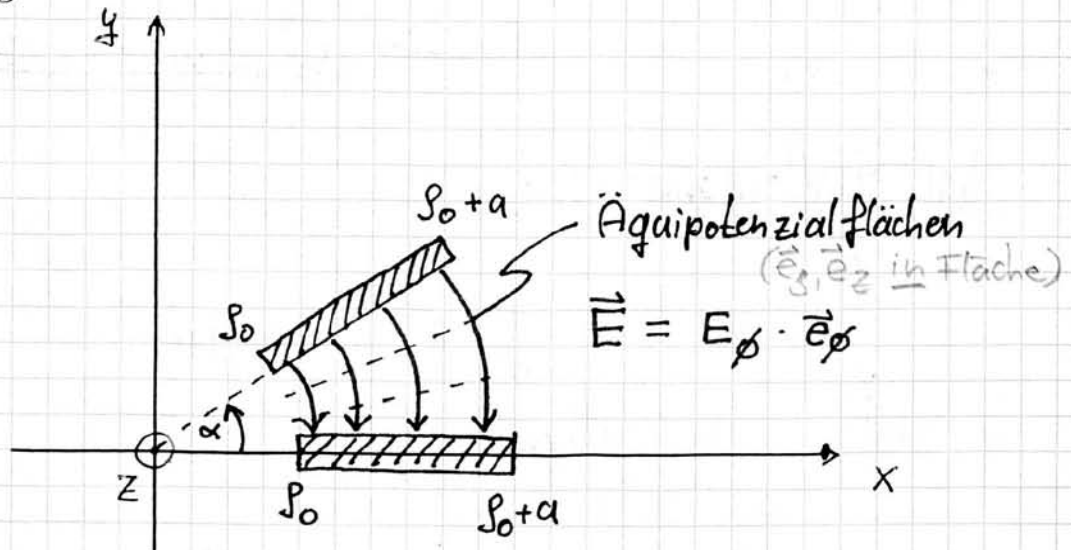
Vgl. Punktladung:

Punktladung: $|\vec{E}| \sim \frac{1}{r^2} \quad ; \quad \varphi_D \sim \frac{1}{r}$

Merke

01.12.08

ET III

Aufgabe 17

idealisierte Feldverlauf $\vec{E}(\vec{r}) = E_\phi(s, \phi) \cdot \vec{e}_\phi$

\Rightarrow Feldlinien verlaufen auf Kreisbögen

Gesucht: Feldverlauf $s_0 \leq s \leq s_0 + a$

$$0 \leq z \leq b$$

$$0 \leq \phi \leq \alpha$$

a) Die Feldliniendichte ist unabhängig von ϕ :

$$\vec{E}(\vec{r}) = E_\phi(s) \vec{e}_\phi \quad \text{für } 0 < \phi < \alpha$$

Anmerkung: Außerhalb der Platten keine (Raum-)Ladung.

$$\Rightarrow \operatorname{div} \vec{D} = \epsilon_0 \cdot \operatorname{div} \vec{E} = 0$$

Hinweis: $\left\{ \Rightarrow \frac{1}{s} \cdot \frac{\partial E_\phi}{\partial \phi} = 0 \Rightarrow E_\phi = \text{const. bzgl. } \phi \quad (0 < \phi < \alpha) \right.$

laut Aufgabe: Spannung U zwischen den Platten. (Spannungsquelle)

Vgl. Plattenkondensator:

$$\int_1^2 \vec{E} d\vec{s} = E \cdot d = U_{12}$$

↑
const.

$d \hat{=} \text{Länge der el. Feldlinien}$

hier: $d = d(\phi) = \alpha \cdot \varphi \quad \text{für } 0 < \phi < \alpha$



$$\vec{E}(\vec{r}) = -\frac{U}{\alpha \cdot \varphi} \cdot \vec{e}_\varphi \quad \text{für } 0 < \phi < \alpha$$

$$0 < z < b$$

Integration entlang Kreisbögen:

$$d\vec{s} = \varphi d\phi \vec{e}_\varphi$$

Integration für den Innenraum
(zwischen den Platten)

$$\varphi_e(\phi) = \varphi_e(\phi=0) - \int_{\phi'=0}^{\phi} \vec{E} d\vec{s}$$

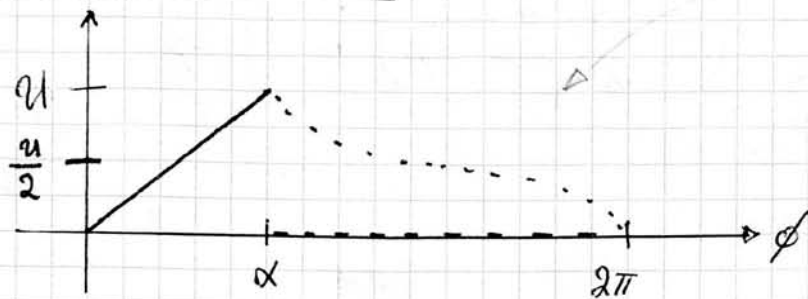
01.12.09

ET III

$$= - \int_{\phi'=0}^{\phi} E_{\phi} \cdot s d\phi' = + \frac{U}{\alpha \cdot s} \cdot s \cdot \phi$$

$$= U \cdot \frac{\phi}{\alpha}$$

Potenzial
immer
stetig



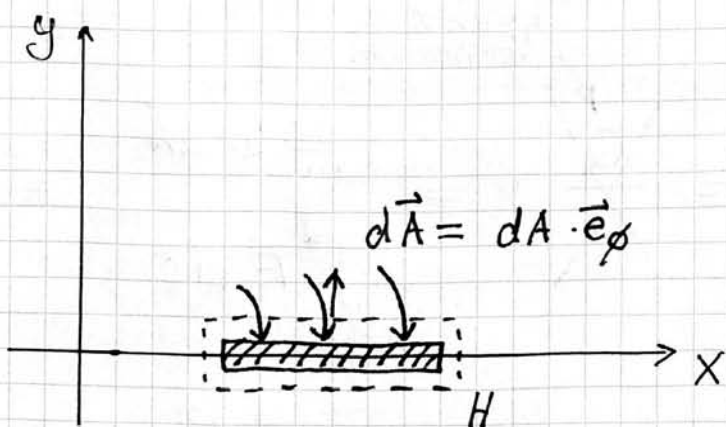
Potenzial
eigentlich
immer
stetig?

b)

$$\vec{D}(s, \phi \rightarrow 0+) = \epsilon_0 \cdot E_{\phi}(s) \vec{e}_{\phi} \quad \vec{e}_y$$

Oberseite der
unteren Platte $= - \frac{\epsilon_0 \cdot U}{\alpha \cdot s} \cdot \vec{e}_{\phi} \quad (= \sigma_e(s))$

$\neq \text{const}$



Mit $dA = b \cdot ds$

\Rightarrow Ladung der unteren Platte \hookleftarrow

Ladung der unteren Platte:

$$Q = \iint_H \vec{D} d\vec{A}$$



$$= \int_{S_0}^{S_0+a} \left(-\frac{\epsilon_0 \cdot U}{x} \vec{e}_\phi \right) b \cdot dS \vec{e}_\phi$$

(Deckel der
Hüllfläche)

$$= -\epsilon_0 \cdot U \cdot b \cdot \frac{1}{\alpha} \int_{S_0}^{S_0+a} \frac{dS}{S}$$

Hauptaussage

Ladung
nicht homog
auf den
Platten
verteilt

$$= -\epsilon_0 \cdot U \cdot b \cdot \frac{1}{\alpha} \cdot \ln \left(\frac{S_0+a}{S_0} \right)$$

c)

beachte
Vorzeichen!

$$C = \frac{\iint_H \vec{D} d\vec{A}}{\int_S \vec{E} d\vec{S}} = \frac{Q}{-U} \quad C \geq 0$$

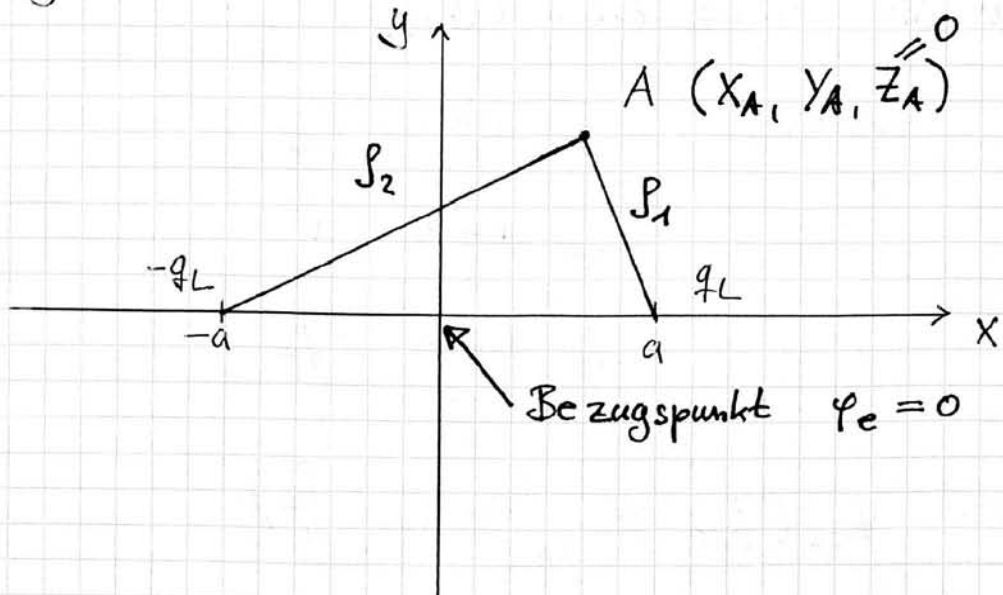
$$\Rightarrow C = \epsilon_0 \cdot b \cdot \frac{1}{\alpha} \cdot \ln \left(1 + \frac{a}{S_0} \right)$$

01.12.09 Aufgabe 16

ET III

$$s_1 \neq s$$

Wird benutzt
da keine
Z-Komponente



a) Gesucht $\varphi_e = f(s_1, s_2)$

1 Komponente
Fällt immer aus
der Betrachtung
räumlich langsam
Ladenverteilungen

Wir betrachten einen Aufpunkt A in der X-Y-Ebene (weil die Komponente z_A hier keine Rolle spielt)

! Potential einer Linienladung in der Z-Achse:
geht nicht:

$$\begin{matrix} s_0 \rightarrow 0 \\ s_0 \rightarrow \infty \end{matrix}$$

(Bezugspunkt)

$$\varphi_e(\vec{r}) = \varphi_e(s) = \underbrace{\varphi_e(s_0)}_{=0} - \frac{q_L}{2\pi \cdot \epsilon} \ln\left(\frac{s}{s_0}\right)$$

Abwandeln für q_L bei $x = a$:

Ersetze s durch s_1
 s_0 durch a

$$\varphi_{e1}(s_1) = -\frac{q_L}{2\pi \cdot \epsilon} \ln\left(\frac{s_1}{a}\right)$$

linke Linienladung

für die linke Linienladung:

ersetze s durch s_2

s_0 durch a

q_L durch $-q_L$

$$\Rightarrow \varphi_{e2}(s_2) = \frac{q_L}{2\pi\epsilon} \ln\left(\frac{s_2}{a}\right)$$

Insgesamt:

$$\varphi_e(s_1, s_2) = \varphi_{e1}(s_1) + \varphi_{e2}(s_2)$$

$$= \frac{q_L}{2\pi\epsilon} \left[\ln\left(\frac{s_2}{a}\right) - \ln\left(\frac{s_1}{a}\right) \right]$$

Beachte:

$$= \underline{\underline{\frac{q_L}{2\pi\epsilon} \ln\left(\frac{s_2}{s_1}\right)}}$$



Bezugspunkt

immer hoch
im Ursprung

b) Äquipotenzialfläche:

$$\boxed{\varphi_e(s_1, s_2) \stackrel{!}{=} \text{const}} \quad \underline{\text{Definition}}$$

$$\Leftrightarrow \ln\left(\frac{s_2}{s_1}\right) = \text{const}$$

$$\text{also } k := \frac{s_2}{s_1} \stackrel{!}{=} \text{const}$$

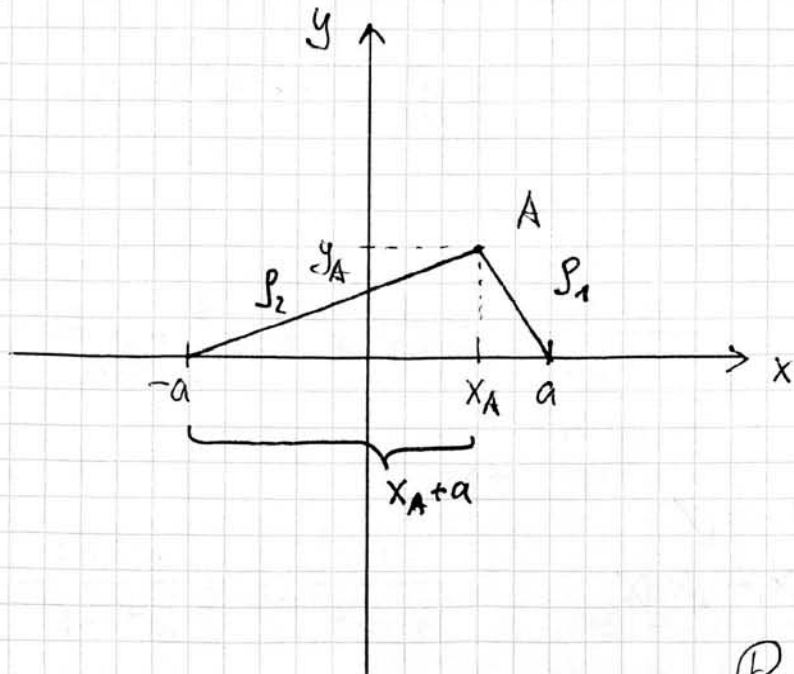
$s_1, s_2 \geq 0$

$$\text{d.h. } k^2 = \frac{s_2^2}{s_1^2} = \text{const}$$

01.12.09

ET III

c)

Pythagoras

besser
so

$$\begin{cases} s_2^2 = (x_A + a)^2 + y_A^2 \\ s_1^2 = (a - x_A)^2 + y_A^2 = (x_A - a)^2 + y_A^2 \end{cases}$$

Äquipotenzialbedingung:

$$\frac{s_2^2}{s_1^2} = \frac{(x_A + a)^2 + y_A^2}{(x_A - a)^2 + y_A^2} = k^2 \stackrel{!}{=} \text{const}$$

d)

$$(x_A + a)^2 + y_A^2 = k^2(x_A - a)^2 + k^2 y_A^2$$

$$\Leftrightarrow x_A^2 + 2x_A a + a^2 + y_A^2 = k^2(x_A^2 - 2x_A a + a^2) - k^2 y_A^2 \Leftrightarrow$$

$$\Leftrightarrow x_A^2(1-k^2) + 2x_A \cdot a(1+k^2) + a^2(1-k^2) \\ + y_A(1-k^2) = 0$$

Falls $k \neq 1$

$$\Leftrightarrow x_A^2 + \frac{1+k^2}{1-k^2} \cdot 2 \underbrace{\cancel{x_A}}_{=-2x_0} + a^2 + y_A^2 = 0$$

$$x_0 \stackrel{!}{=}$$

Mittelpunkt
Äquipotenzial
Zylinder

$$\text{d.h. } x_0 = -\frac{1+k^2}{1-k^2} a = \frac{k^2+1}{k^2-1} \cdot a$$



Quadratische Ergänzung:

$$x_A^2 - 2x_0 x_A + x_0^2 + a^2 + y_A^2 = x_0^2$$

$$\underbrace{(x_A - x_0)^2 + y_A^2}_{\text{Kreisgleichung}} = \underbrace{x_0^2 - a^2}_{=: R^2}$$

Kreisgleichung

$$\text{Vgl.: (KGÜ)} \quad R^2 = x_0^2 - a^2$$

$$\text{also } R^2 = \left(\frac{k^2+1}{k^2-1}\right)^2 a^2 - a^2 \\ = \frac{(k^2+1)^2 - (k^2-1)^2}{(k^2-1)^2} \cdot a^2$$

$$= \frac{4k^2}{(k^2-1)^2} a^2$$

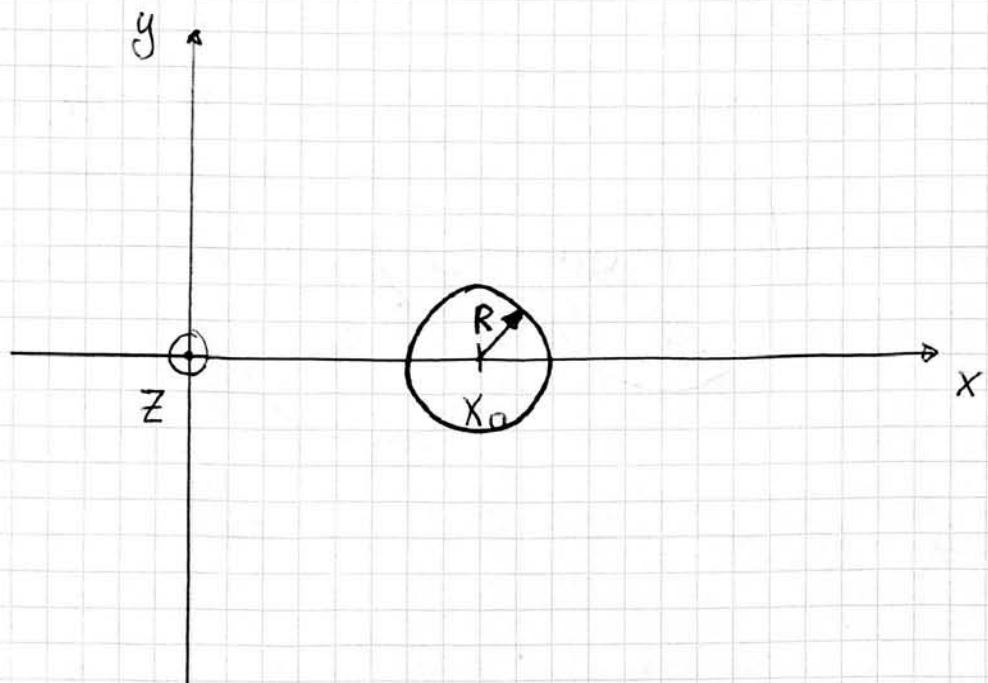
08.12.09

ET III

$$\rightarrow R = \sqrt{\frac{4k^2}{(k^2-1)^2} \cdot a^2} = \frac{2k}{|k^2-1|} \cdot a$$

e)

Kreisgleichung mit dem Radius R
und dem Mittelpunkt $x_A = x_0, y_A = 0$



$$p_1, p_2 \geq 0 \Rightarrow k \geq 0$$

$$R \geq 0, \quad \begin{cases} x_0 > 0 & \text{falls } k > 1 \\ & (1\text{ und }4\text{ Quadrant}) \\ x_0 < 0 & \text{falls } k < 1 \\ & (2\text{ und }3\text{ Quadrant}) \end{cases}$$

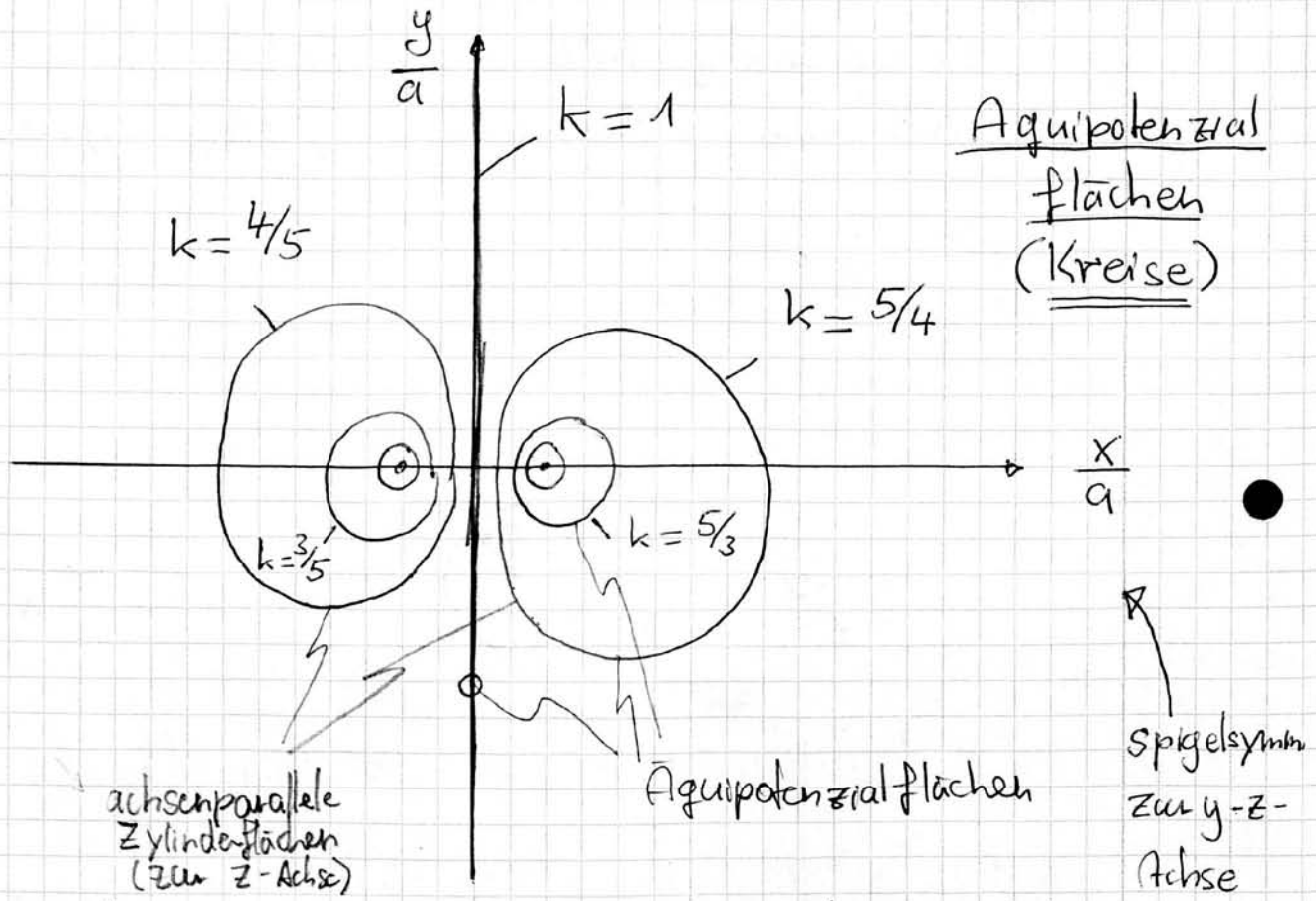
Die Gleichung beschreibt Kreise in der x-y-Ebene. Die Äquipotenzialflächen sind zur Z-Achse achsenparallele Zylinderflächen.

Sonderfall $k=1$ $\Leftrightarrow \rho_1 = \rho_2$

08.12.0

ET III

beschreibt Punkte auf der y-z-Ebene.

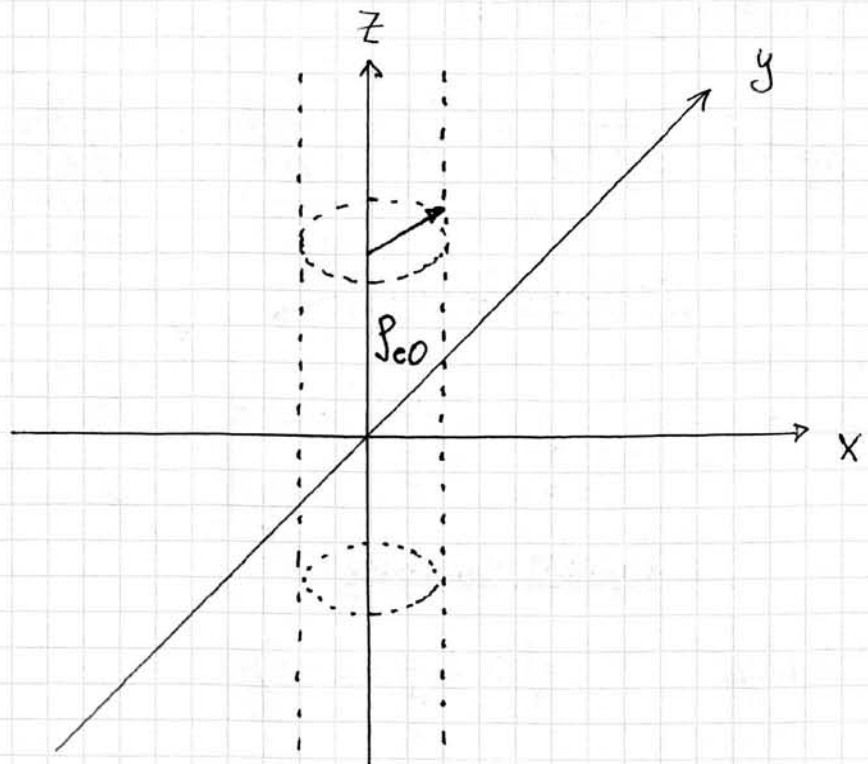


Feldlinien und Equipotenzialflächen sind
Kreisförmig! (bei ∞ -langen
Linieneladungen)

(Vgl Aufgabe 18)

08.12.09 Aufgabe 15

ET III



$$\rho_e(\vec{r}) = \begin{cases} \rho_0 & \text{für } 0 \leq \rho \leq a \\ 0 & \text{sonst} \end{cases}$$

Aus Symmetriegründen folgt:

$$\rho_e(\vec{r}) = \rho_e(\vec{p}) \Rightarrow \varphi_e(\vec{r}) = \varphi_e(\vec{p}) \\ \neq f(\phi, z)$$

Laplace-Operator ∇^2

Laplace - Operator in Zylinderkoordinaten:

(Formelsammlung) ($U \approx \varphi_e$)

$$\Delta \varphi_e = \frac{1}{\rho} \cdot \frac{\partial}{\partial \rho} \left(\rho \cdot \frac{\partial \varphi_e}{\partial \rho} \right) + \frac{1}{\rho^2} \underbrace{\frac{\partial^2 \varphi_e}{\partial \phi^2}}_{=0} + \underbrace{\frac{\partial^2 \varphi_e}{\partial z^2}}_{=0}$$

wegen $\vec{E} = -\nabla \varphi_e$

Poisson-Gleichung \rightarrow

$$\text{also } \Delta \varphi_e = \frac{1}{\rho} \frac{\partial}{\partial \rho} \left(\rho \cdot \frac{\partial \varphi_e}{\partial \rho} \right) = \begin{cases} -\frac{\rho_{eo}}{\epsilon} & \text{für } 0 \leq \rho \leq a \\ 0 & \text{sonst} \end{cases}$$

Laplace-Gleichung \rightarrow

b.) (1) innen $(0 \leq \rho \leq a)$

$$\frac{1}{\rho} \frac{\partial}{\partial \rho} \left(\rho \cdot \frac{\partial \varphi_e}{\partial \rho} \right) = -\frac{\rho_{eo}}{\epsilon} = \text{const}$$

(Poissongleichung)

für $\rho > 0$

$$\Leftrightarrow \frac{\partial}{\partial \rho} \left(\rho \cdot \frac{\partial \varphi_e}{\partial \rho} \right) = -\frac{\rho_{eo}}{\epsilon} \cdot \rho$$

1. Integration:

$$\rho \cdot \frac{\partial \varphi_e}{\partial \rho} = -\frac{\rho_{eo}}{\epsilon} \cdot \int \rho d\rho = -\frac{\rho_{eo}}{\epsilon} \cdot \frac{1}{2} \rho^2 + C_1$$

$\rho > 0$

$$\Leftrightarrow \underbrace{\frac{\partial \varphi_e}{\partial \rho}}_{= -E_\rho} = -\frac{\rho_{eo}}{2 \cdot \epsilon} \rho + \frac{C_1}{\rho}$$

$$= -E_\rho$$

$$(E_\rho = -\frac{\partial \varphi_e}{\partial \rho})$$

08.12.09

ET III

hier: \vec{E} stetig, d.h. $|\vec{E}| < \infty$

grob besondere $\lim_{s \rightarrow 0} |E_s| < \infty$

also $c_1 = 0$ ($E_s(s=0) = 0$) (Vgl. A12d)

($c_1 \neq 0$ würde eine unendlich lange Linieneladung in den z-Achse erfordern)

$$\frac{\partial \varphi_e}{\partial s} = -\frac{\rho_{eo}}{2\cdot\epsilon} \cdot s \quad (*)$$

2. Integration

$$\varphi_e = -\frac{\rho_{eo}}{4\cdot\epsilon} s^2 + c_2$$

Wähle den Bezugspunkt bei $s=0$

Stetigkeitsbedingung \rightarrow d.h. $\varphi_e(s \rightarrow 0) = 0 \Rightarrow c_2 = 0$

also $\varphi_e(s) = -\frac{\rho_{eo}}{4\cdot\epsilon} \cdot s^2$

für $0 \leq s \leq a$
↑ steile Ergänzung

(1) außen

(11) außen ($a < s$)

$$\frac{1}{s} \cdot \frac{\partial}{\partial s} \left(s \cdot \frac{\partial \varphi_e}{\partial s} \right) = 0 \quad (\text{Laplacegleichung})$$

 $s > 0$

$$\Leftrightarrow \frac{\partial}{\partial s} \left(s \cdot \frac{\partial \varphi_e}{\partial s} \right) = 0$$

1. Integration ($\int 0 dx = C$; Vgl. HöMa II)

$$s \cdot \frac{\partial \varphi_e}{\partial s} = C_3$$

 $s > 0$

$$\Leftrightarrow \underbrace{\frac{\partial \varphi_e}{\partial s}}_{=} = \frac{C_3}{s}$$

 $-E_s$: stetig bei $s=a$

$$\lim_{s \rightarrow a-0} \frac{\partial \varphi_e}{\partial s} = \lim_{s \rightarrow a+0} \frac{\partial \varphi_e}{\partial s}$$

E-Feld
springt
nicht!

(Grund: Es gibt keine Flächenladung
 σ_e bei $s=a$)

$$\Rightarrow D_{1n} = D_{2n}; E_{1e} = E_{2e}; \epsilon_1 = \epsilon_2 = \epsilon$$

$$\Rightarrow \vec{E}(s \rightarrow a-0) = \vec{E}(s \rightarrow a+0)$$

E-Feld kann springen an Flächenladungen und Materialübergängen!

08.12.09

ET III

$$\Leftrightarrow -\underbrace{\frac{p_{eo}}{2 \cdot \epsilon} \cdot a}_{(*)} = \frac{c_3}{a}$$

$$\Leftrightarrow c_3 = -\frac{p_{eo}}{2 \cdot \epsilon} \cdot a^2$$

also $\frac{\partial \varphi_e}{\partial p} = \textcircled{-} \frac{p_{eo}}{2 \cdot \epsilon} \cdot \frac{a^2}{p}$ für $p > a$

2. Integration

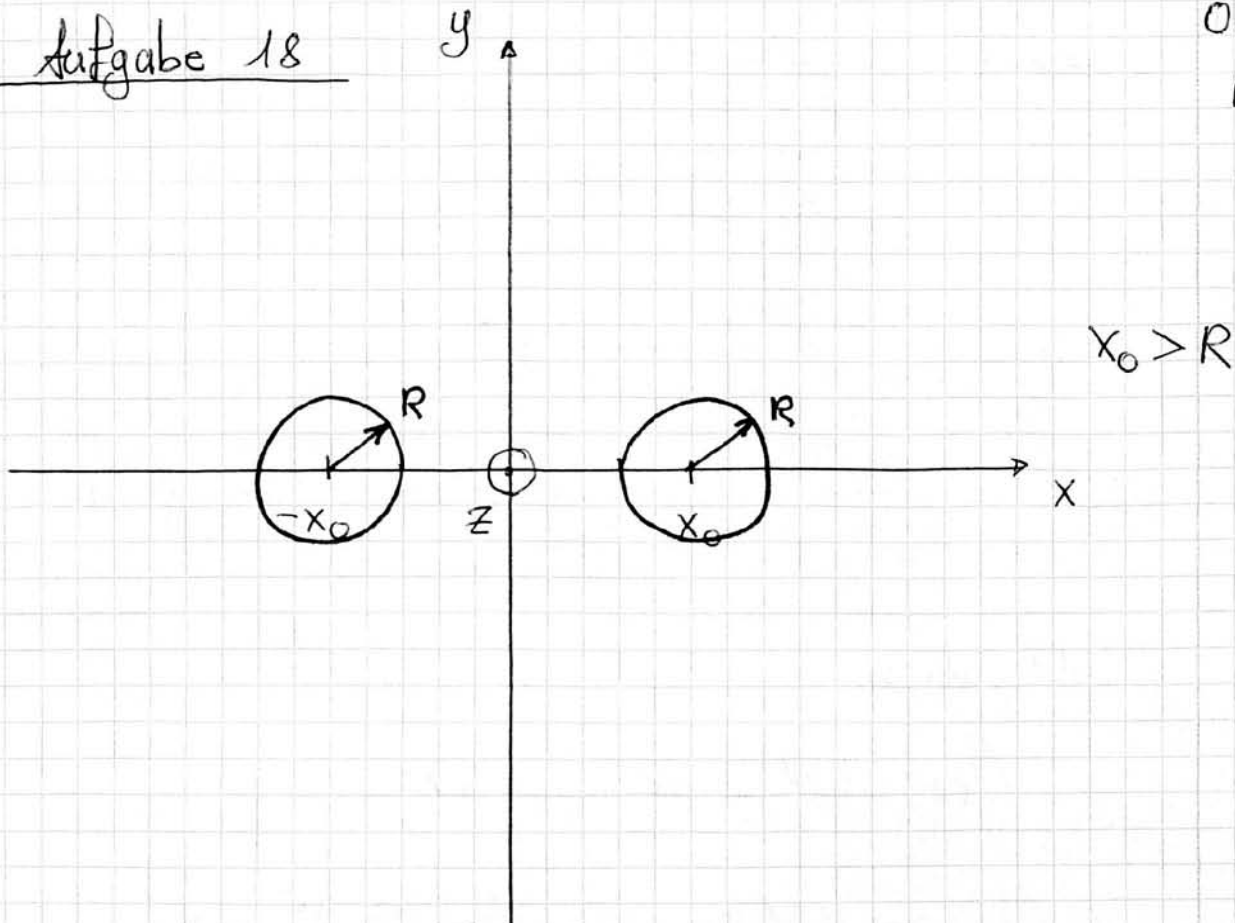
(φ_e stetig bei $p = a$)

$$\varphi_e(p) = \varphi_e(p=a) \textcircled{-} \int_{p'=a}^p \left(+ \frac{p_{eo}}{2 \epsilon} \frac{a^2}{p'} \right) dp'$$

$$= -\frac{p_{eo} \cdot a^2}{4 \epsilon} - \frac{p_{eo} \cdot a^2}{2 \cdot \epsilon} \cdot \ln\left(\frac{p}{a}\right)$$

$$\Rightarrow \underline{\underline{\varphi_e(p) = -\frac{p_{eo} \cdot a^2}{4 \cdot \epsilon} \left(1 + 2 \ln \frac{p}{a} \right)}}$$

für $a \leq p$

Aufgabe 18

Gesucht: Potenzialverlauf zwischen den Leitern
(Lösungsgebiet)

Conformages nicht anwendbar
Falls $\sigma_c(F)$ nicht bekannt

Ansatz: { Ersatzladungsanordnung die im Lösungsgebiet das selbe elektrische Feld erzeugt.

"influenzierende Ladungen"
↓

Spiegelungsprinzip

↓
bekannte Ladungsanordnung

a.) auf Aufgabe 16

→ { Äquipotenzialflächen zweier paralleler Zylinderaladungen $\pm q_L$ im Abstand $2a$ sind Zylinder.

08.12.09

ET III

$$(x_A - x_0)^2 + y_A^2 = R^2$$

mit $x_0 = \frac{k^2+1}{k^2-1} a; R = \frac{2k}{|k^2-1|} \cdot a$

Hilfsgröße

$$k := \frac{s_2}{s_1} > 0$$

 x_0 :

Hilfspunkt
Aquipotenzial
zylinder
!

$k > 1 \Leftrightarrow x_0 > 0$ (Zylinder im rechten Halbraum)

$x_0 \neq a \quad k < 1 \Leftrightarrow x_0 < 0$ (Zylinder im linken Halbraum)

hier bekannt: x_0, R

gesucht k_1, k_2, a

(1) rechter Zylinder: $k_1 > 1$

$$x_0 = \frac{k_1^2 + 1}{k_1^2 - 1} a; R = \frac{2k_1}{k_1^2 - 1} \cdot a$$

(11) linker Zylinder: $k_2 < 1$

⋮

Eliminieren von a : führt auf eine quadratische Gleichung:

$$k_{1,2} = \frac{x_0}{R} \pm \sqrt{\frac{x_0^2}{R^2} - 1}$$

Man kann zeigen, dass $k_1 \cdot k_2 = 1$

$$\text{also } k_1 = \frac{1}{k_2}$$

$$k_1 = \frac{x_0}{R} + \sqrt{\frac{x_0^2}{R^2} - 1} ; k_2 = \frac{x_0}{R} - \sqrt{\frac{x_0^2}{R^2} - 1}$$

3. Binomische Formel

$$(a+b)(a-b) = a^2 - b^2$$

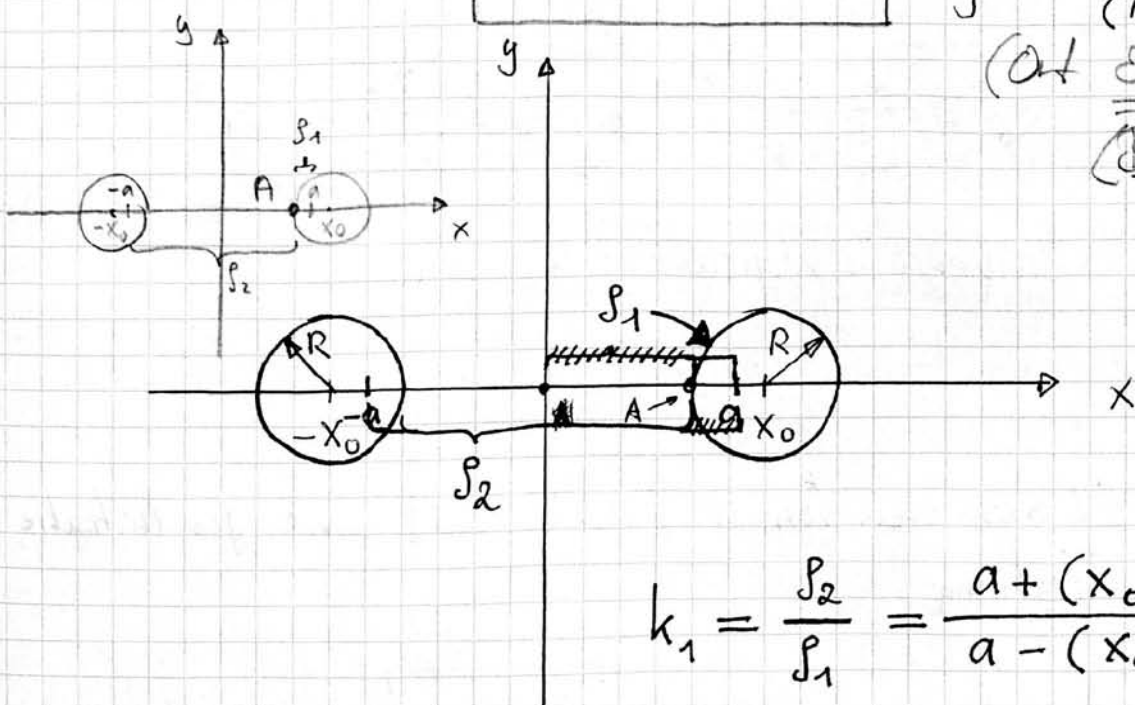
$$k_1 \cdot k_2 = \frac{x_0^2}{R^2} - \left(\frac{x_0^2}{R^2} - 1 \right) = 1$$

Vgl.: KGÜ $x_0^2 = a^2 + R^2$

$$\Rightarrow a = \sqrt{x_0^2 - R^2}$$

} sollte man sich merken! (Fs)

(Art Einsatzlmenladung.
Blöd ladung)



$$k_1 = \frac{s_2}{s_1} = \frac{a + (x_0 - R)}{a - (x_0 - R)}$$

15.12.09

ET III

Zahlenbeispiel:

$$x_0^2 = a^2 + R^2$$

$$5^2 = 4^2 + 3^2$$

$$k_1 = \frac{4m + (5m - 3m)}{4m - (5m - 3m)} = \frac{6}{2} = 3$$

$$\text{Vgl.: } k_1 = \frac{x_0}{R} + \sqrt{\frac{x_0^2}{R^2} - 1}$$

$$= \frac{5}{3} + \sqrt{\frac{25}{9} - \frac{9}{9}} = \frac{9}{3} = 3$$

b) Potenzial lauf Aufgabe 16:

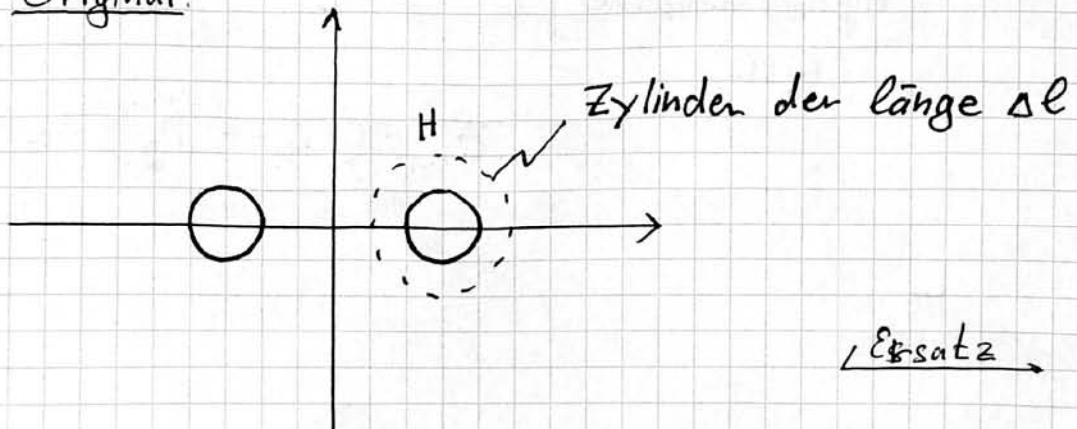
$$\varphi_e(k) = \frac{q_L}{2\pi\epsilon_0} \cdot \ln k$$

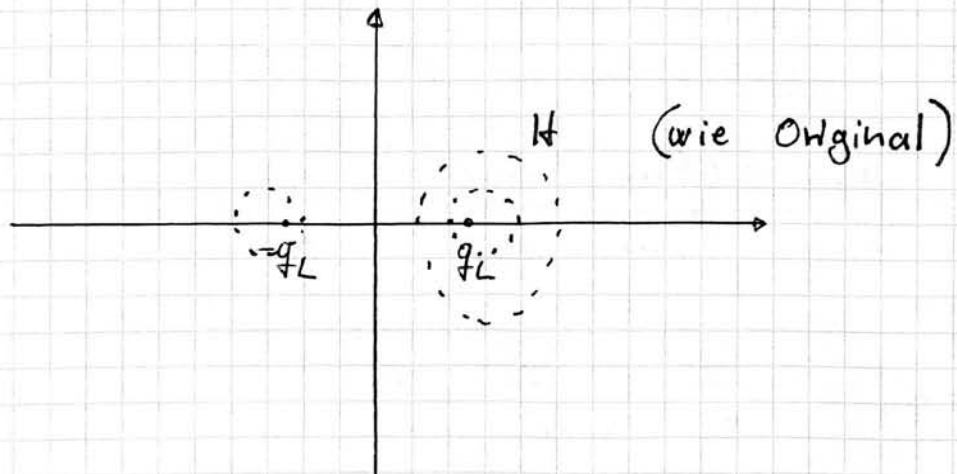
$$U_{12} = \varphi_{e1} - \varphi_{e2} = \varphi_e(k_1) - \varphi_e(k_2)$$

$$= \frac{q_L}{2\pi\epsilon_0} \cdot \ln \underbrace{\left(\frac{k_1}{k_2} \right)}_{= k_1^2} = \frac{q_L}{\pi\epsilon_0} \ln k_1$$

Zylinderladung ΔQ mit Gauß'schen Satz der Elektrostatik.

Original:



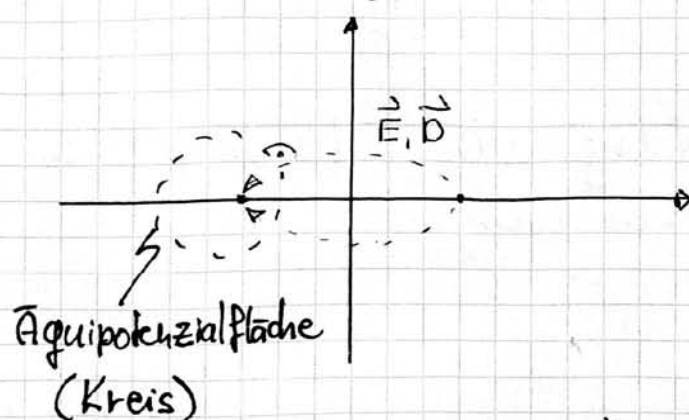
Ersatzanordnung:

$$\Delta Q = \iint_{\text{H}} \vec{D} d\vec{A} = \iint_{\text{H}} \vec{D} d\vec{A} = q_L \cdot \Delta l$$

beide Beiträge der
Boden- und Deckelfläche

$$\Rightarrow \Delta Q = q_L \cdot \Delta l$$

↗ Oberflächenladung auf dem Zylinder?



$$\vec{e}_m \cdot (\vec{D}_1 - \vec{D}_2) = \sigma_e$$

L

15.12.09

ET III

$$\text{c) } C^i = \frac{\Delta C}{\Delta l} = \frac{\Delta Q}{m_1 \cdot \Delta l}$$

$$= \frac{q_L}{\frac{q_L}{\pi \epsilon_0} \cdot \ln \left(\frac{x_0}{R} + \sqrt{\frac{x_0^2}{R^2} - 1} \right)}$$

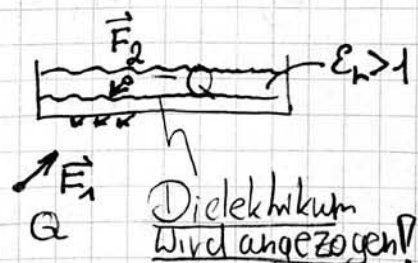
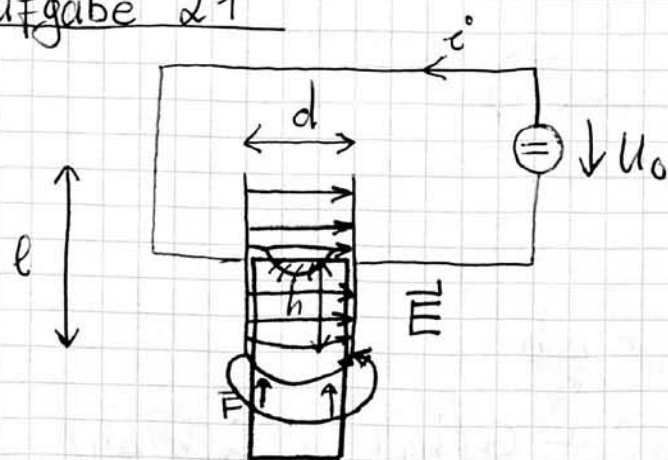
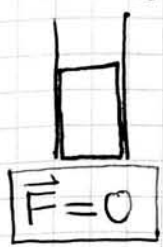
$$= \frac{\pi \cdot \epsilon_0}{\ln \left[\frac{x_0}{R} + \sqrt{\frac{x_0^2}{R^2} - 1} \right]} \quad (\text{FS})$$

(Vgl. Skript 2-60)

Falls Dielektrikum
komplett im C

Aufgabe 21

$$\Rightarrow \vec{F} = 0$$



Merke { Hier ist $Q_0 = \text{const}$
also $Q \neq \text{const}$

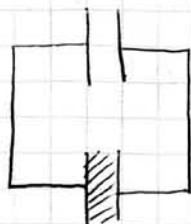
↗ Falls keine Spannungsquelle mehr angeschlossen:

$$\Rightarrow Q = \text{const}$$

$$U \neq \text{const}$$

L

a)



Parallelschaltung
zweier Kondensatoren

$$C(h) = \epsilon_0 \cdot \frac{\ell(\ell-h)}{d} + \epsilon_r \cdot \epsilon_0 \cdot \frac{\ell \cdot h}{d}$$

$$= \frac{\epsilon_0 \cdot \ell}{d} [\ell + (\epsilon_r - 1)h]$$

$$\omega_{el,c} = \frac{1}{2} U_0^2 \cdot C(h)$$

$$Q(h) = U_0 \cdot C(h)$$

$$b) \quad h_1 = h$$

$$h_2 = h + \Delta h$$

$$\begin{aligned} \Delta Q &= Q(h_2) - Q(h_1) = Q(h+\Delta h) - Q(h) \\ &= U_0 \cdot \frac{\epsilon_0 \cdot \ell}{d} (\epsilon_r - 1) \cdot \Delta h \quad \text{also } \Delta Q \neq f(h) \end{aligned}$$

$$\Delta W_Q = U_0 \cdot \Delta Q > 0 \quad \left. \begin{array}{l} \text{Spannungsquelle} \\ \text{leistet Energiearbeit} \end{array} \right\}$$

(Allgemein: Arbeit um Ladung q im E -Feld zu verschieben $\Delta W_{12} = q \cdot U_{12}$)

15.12.09

ET III

c) Betrachte abgeschlossenes System:

$$W_{\text{nachher}} = W_{\text{vorher}} - \underbrace{\int \vec{F} d\vec{s}}_{\substack{= W_{\text{mech}} \\ \text{Kraft aus Sicht des Systems}}}$$

hier:

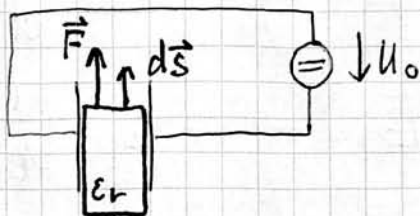
Kraft und Bewegung gleichgewichtet \rightarrow

$$W_{\text{el,c}}(h + \Delta h) = W_{\text{el,c}}(h) + \underbrace{\Delta W_Q}_{>0} - W_{\text{mech}}$$

$$\begin{aligned} W_{\text{mech}} &= W_{\text{el,c}}(h) + \Delta W_Q - W_{\text{el,c}}(h + \Delta h) \\ &= \frac{1}{2} U_0 \underbrace{[Q(h) - Q(h + \Delta h)]}_{-\Delta Q} + U_0 \cdot \Delta Q \\ &= \frac{1}{2} U_0 \Delta Q = \frac{U_0^2}{2} \cdot \frac{\epsilon_0 \cdot l}{d} \cdot (\epsilon_r - 1) \cdot \Delta h > 0 \end{aligned}$$

d.h. Kraft und Richtung stimmen aus Sicht des Kondensators überein!

d.)

Kraft F auf das Dielektrikum:

$$F = \frac{dW}{ds}, \text{ hier } F = -\frac{\Delta W_{\text{mech}}}{\Delta h}$$

$$F = \frac{\Delta W_{\text{mech}}}{\Delta h}$$

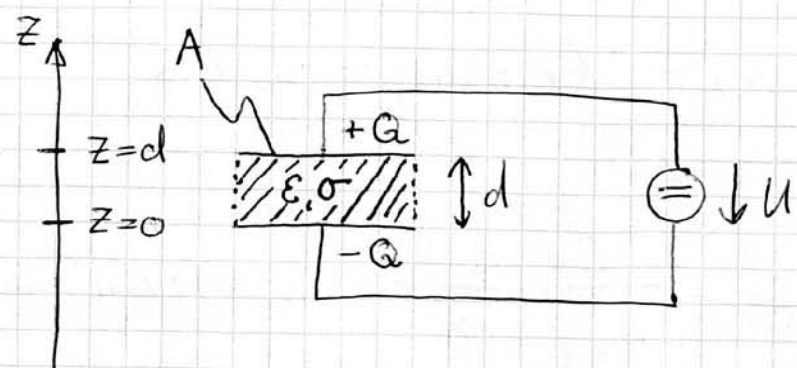
$$= \frac{\mu_0^2}{2} \cdot \frac{\epsilon_0 \cdot l}{d} (\epsilon_r - 1) = \text{const.}$$

Das Dielektrikum
wird mit konstanter
Kraft in den C
hineingezogen 
 (Das Dielektrikum mit
dem höheren $\epsilon_r
dominiert)$

Vgl. Aufgabe 20

$$F_z = \frac{dW_{\text{mech}}}{dz} = - \frac{dW_{\text{el}}}{dz}$$

Aufgabe 23



$$\text{a.) } \vec{E} = - \frac{U}{d} \cdot \vec{e}_z$$

Falls σ
nicht gegeben
 \Rightarrow idealer
 Kondensator
 $C \sigma = 0$

$$\vec{j} = \sigma \cdot \vec{E} = -\sigma \frac{U}{d} \cdot \vec{e}_z$$

Selber Feldverlauf für E .

$$\vec{D} = \epsilon \cdot \vec{E} = -\epsilon \cdot \frac{U}{d} \cdot \vec{e}_z$$

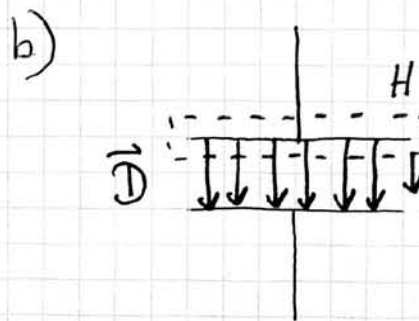
15.12.09

ET III

Das E-Feld ist
dasselbe, egal
was für ein
Material zw.

den Platten
ist!

(auch $\sigma = 0$
 $\sigma \neq 0$)
(außer $\sigma \rightarrow \infty$)



$$\vec{D} \cdot \underbrace{\iint_{\text{H}} \vec{dA}}_{\text{ABODEN}} = dx dy \cdot (-\vec{e}_z)$$

$$Q = \iint_{\text{H}} \vec{D} d\vec{A} = \iint_{\text{ABODEN}} \left(-\epsilon \cdot \frac{U}{d} \cdot \vec{e}_z \right) (-dx dy \vec{e}_z)$$

$$= \epsilon \cdot \frac{U}{d} \cdot A$$

Bei derselben Anordnung
gilt (mit σ, ϵ):

$$R = \frac{\epsilon}{\sigma \cdot C} \quad \text{FS}$$

$$C = \frac{Q}{U} = \epsilon \cdot \frac{A}{d}$$

Vgl.

Formel für
selbe Anordnung

$$R = \frac{U}{I} = \frac{U}{\iint_{\text{ABODEN}} \vec{J} d\vec{A}} = \frac{U}{\sigma \cdot \frac{U}{d} \cdot A}$$

Während
Strom fließt
sitzt $\pm Q$
fest auf
Platten!

klar
machen

c)

Ladungserhaltung: $I = - \frac{dQ}{dt}$

für eine geschlossene Flächenfläche.

(Kontinuitätsgleichung)

$$I + \frac{dQ}{dt} = 0$$

\Leftrightarrow

$$\iint_{\text{H}} \vec{J} d\vec{A} + \frac{d}{dt} \iint_{\text{H}} \vec{D} d\vec{A} = 0$$

(Vgl.: 3.6.1)

$$\iint_H \left(\vec{J} + \frac{d}{dt} \vec{D} \right) d\vec{A} = 0$$

$$= A \cdot \sigma \cdot E(t) + A \cdot \varepsilon \cdot \frac{d}{dt} E(t) = 0$$

$$\Rightarrow \text{DGL} : \frac{\sigma}{\varepsilon} E(t) + \frac{d}{dt} E(t) = 0$$

Ansatz: $E(t) = E_0 \cdot e^{-\frac{t-t_0}{\tau}}$

für $t \geq t_0$ gilt:

Einsetzen in DGL:

$$\frac{\sigma}{\varepsilon} E(t) - \frac{1}{\tau} E(t) = 0$$

durch Vergleich: $\tau = \frac{\varepsilon}{\sigma}$

bei allen
Kondensator
gleich, falls
ganzer
Innenraum
ausgeführt

Anfangsbedingung:

$$E_0 = E(t=t_0) = \frac{U}{d}$$

$$\Rightarrow \underline{\underline{E(t) = \frac{U}{d} \cdot e^{-\frac{\sigma}{\varepsilon}(t-t_0)} \cdot (-\vec{e}_z)}}$$

für $t \geq t_0$

22.12.09

bzgl. $Q(t)$

ET III

$$Q = D \cdot A$$

$$\Rightarrow Q(t) = \varepsilon \cdot E(t) \cdot A = \frac{U \cdot \varepsilon \cdot A}{d} \cdot e^{-\frac{\sigma}{\varepsilon}(t-t_0)}$$

für $t > t_0$

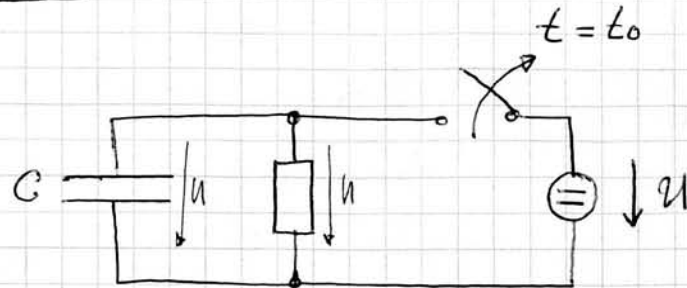
ESB:

Wichtig:

Rund C

Parallel!

(selbe Spannung)



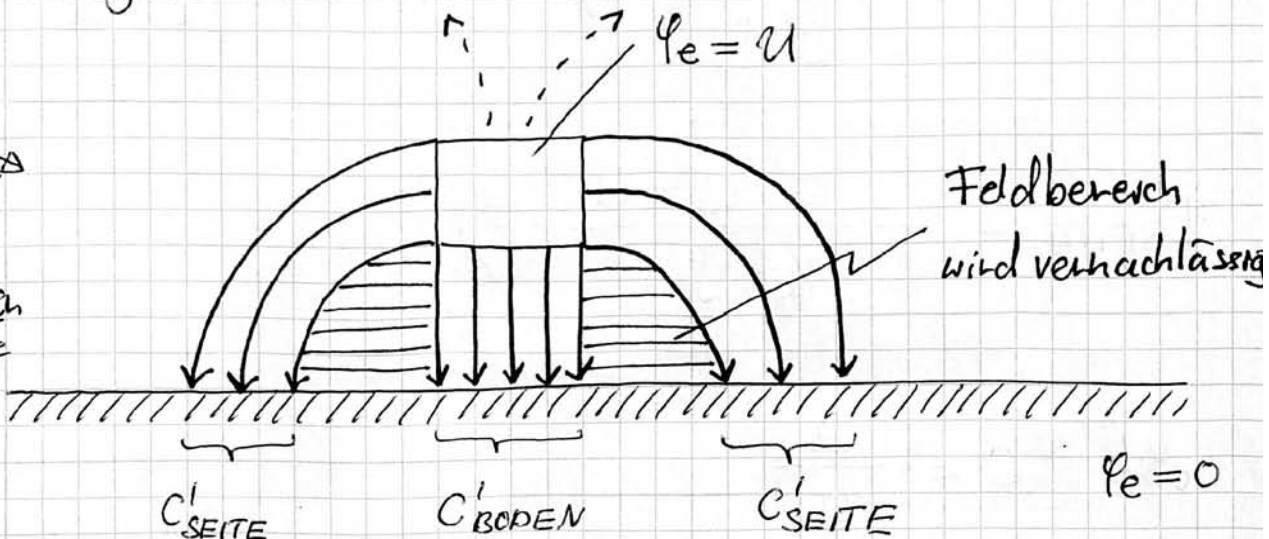
Aufgabe 19

Parallel schaltung!

Da über allen "C's" gleiche Spannung!

Kapazitätsbelag

$\hat{=}$
Kapazität pro Längeneinheit



Näherung: $C' \approx C'_\text{BODEN} + 2 \cdot C'_\text{SEITE}$

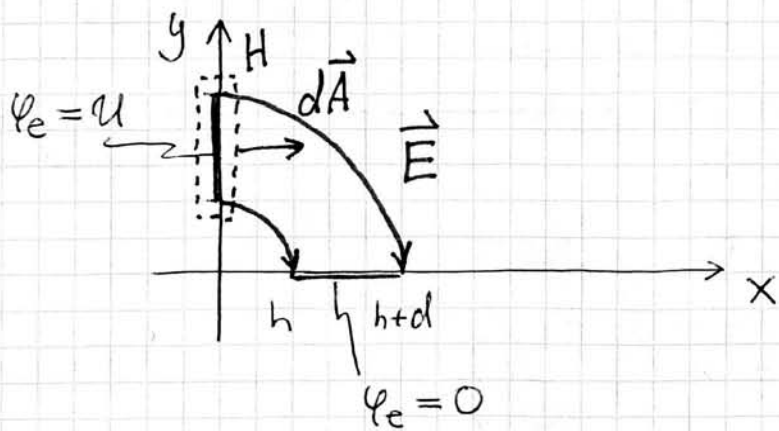
$$C'_\text{Boden} = \varepsilon_r \cdot \varepsilon_0 \cdot \frac{aL}{h} \cdot \frac{1}{e} = \varepsilon_r \cdot \varepsilon_0 \cdot \frac{w}{h}$$

$$= 56,7 \frac{\text{PF}}{\text{m}}$$

22.12.0:

ET III

C'_{SEITE} entspricht dem Winkelkondensator aus Aufgabe 17 mit $\alpha = \frac{\pi}{2}$.



$$\vec{E}_{\text{SEITE}} = -\frac{U}{\frac{\pi}{2} \cdot l} \cdot \vec{e}_\phi \quad \text{für } 0 < \phi < \frac{\pi}{2}, h < s < h+d$$

$$\vec{D}_{\text{SEITE}} = -\frac{\epsilon_r \cdot \epsilon_0 \cdot U}{\frac{\pi}{2} \cdot l} \cdot \vec{e}_\phi$$

Alles aus der
Übung ist
als bekannt
einzustufen

Mit $C = \frac{Q}{U}$

$$C'_{\text{SEITE}} = \frac{\iint \vec{D} dA}{U} \cdot \frac{1}{l}$$

$$d\vec{A} = l \cdot ds \cdot (-\vec{e}_\phi)$$

(Es geht auch $d\vec{A} = dz \cdot dy \cdot \vec{e}_x$)

Hier stimmt
die Richtung
überein!
 $\vec{e}_x = -\vec{e}_\phi$

22.12.09

ET III

$$C_{\text{SEITE}}^i = \frac{1}{l \cdot \pi} \cdot l \cdot \int_{g=h}^{h+d} \left(-\frac{\epsilon_0 \cdot \epsilon_r \cdot u}{\pi/2 \cdot g} \cdot \vec{e}_\phi \right) (-dg \cdot \vec{e}_\phi)$$

direkte
Bemutzung
der Formel
erlaubt

Also

$$= \epsilon_r \cdot \epsilon_0 \cdot \frac{2}{\pi} \cdot \ln \left(\frac{h+d}{h} \right) \approx 15,6 \frac{\text{PF}}{\text{m}}$$

$$C' \approx 88 \frac{\text{PF}}{\text{m}}$$

(untere Abschätzung, tatsächlichen Wertgrößen)

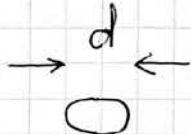
b) Modellierung des Streufeldes:



\approx



+

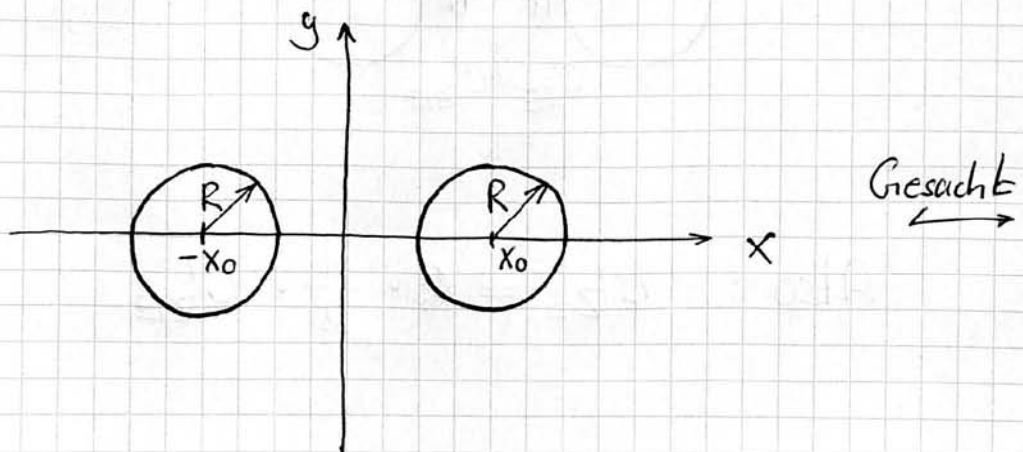


$$C'_{\text{ges}} = C' + C'$$

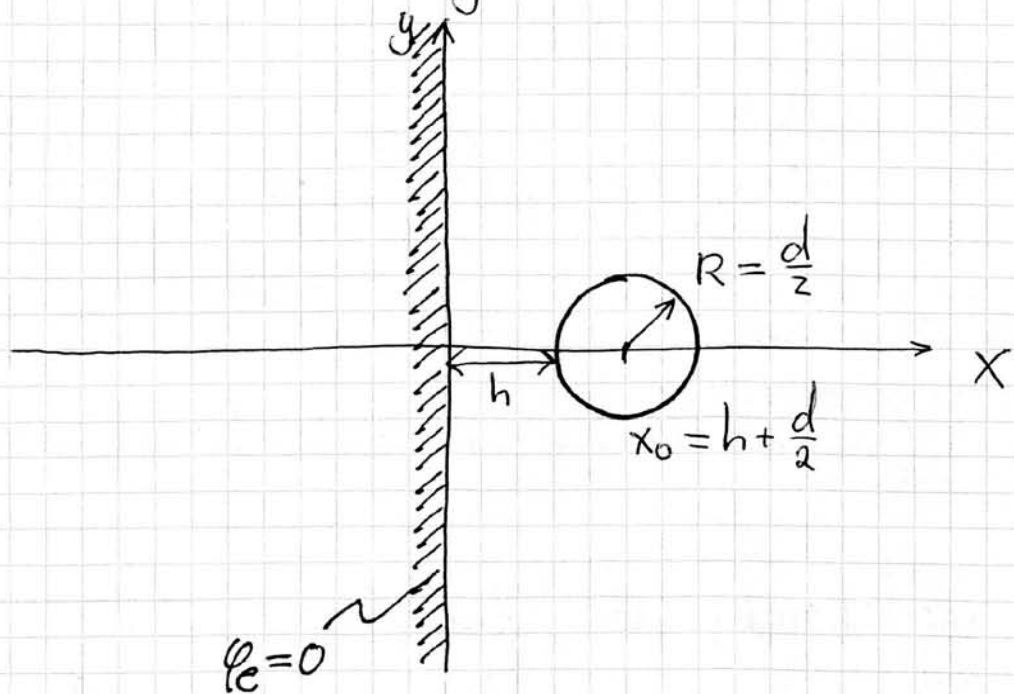
jetzt: obere Abschätzung

aus Aufgabe 18c) ist bekannt:

C'_{zz} zwischen zwei Zylindern mit den Achsenabstand $2x_0$

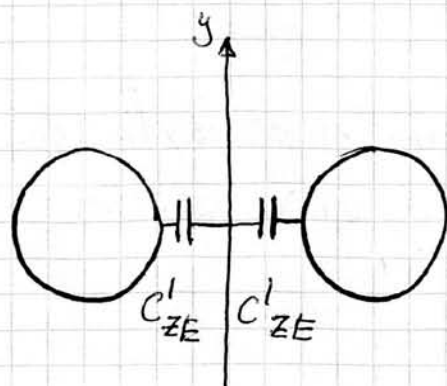


Gesucht: C'_{ZZ} zwischen einem der Zylindern und der $y-z$ -Ebene.



$$\rightarrow \frac{x_0}{R} = \frac{h + \frac{d}{2}}{\frac{d}{2}} = \frac{2h + d}{d}$$

C'_{ZZ} entspricht der Reihenschaltung zweier C'_{ZE} .



$$\text{Also: } C'_{ZZ} = \cancel{\frac{1}{2}} \cdot C'_{ZE}$$

22.12.09

ET III

$$\Rightarrow C'_{ZE} = 2 \cdot \frac{\pi \cdot \epsilon_0 \cdot \epsilon_r}{\ln \left[\frac{2h+d}{d} + \sqrt{\left(\frac{2h+d}{d} \right)^2 - 1} \right]}$$

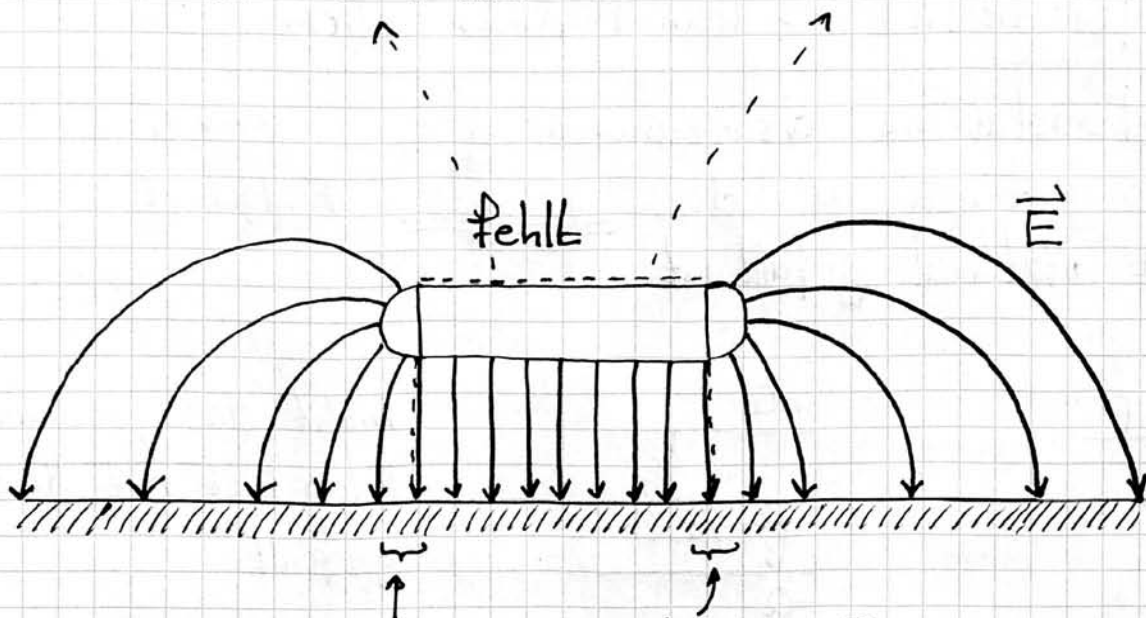
$$\approx 126,2 \frac{pF}{m}$$

c)

$$C'_{BODEN} = \epsilon_r \cdot \epsilon_0 \cdot \frac{w}{h} = 56,7 \frac{pF}{m}$$

$$C' = C'_{BODEN} + C'_{ZE} = 182,9 \frac{pF}{m}$$

Auch hier wird das Feld der Anordnung nicht korrekt modelliert:

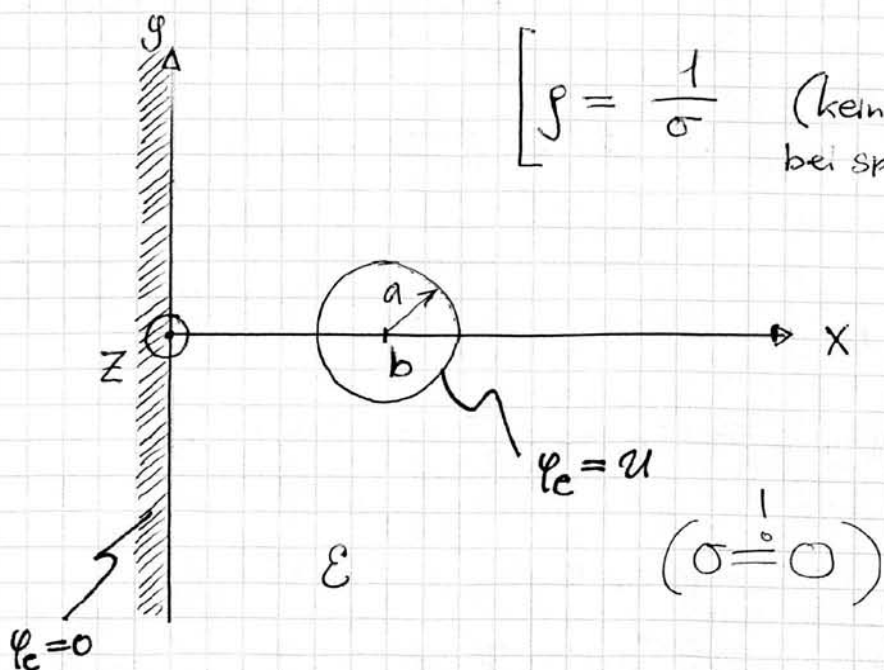


muss eig.
immer
gelten!

Hier müsste E_L stetig sein!
 $(E_{L1} = E_{L2})$

Aufgabe 25

a)



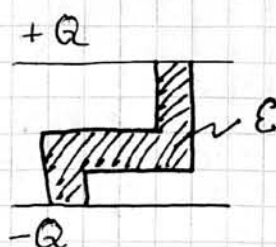
$$\left[\rho = \frac{1}{\sigma} \quad (\text{kein Index } e) \right]$$

bei spez. Leitfähigkeit

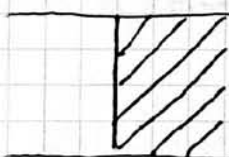
Elektrostatik \Rightarrow kein fließender Strom

Elektrostatische Ersatzanordnung : $\rho \sim \epsilon$
 das geht nur, weil das gesamte Feldgebiet
 mit Material gefüllt ist.

Wichtig!

Bsp.

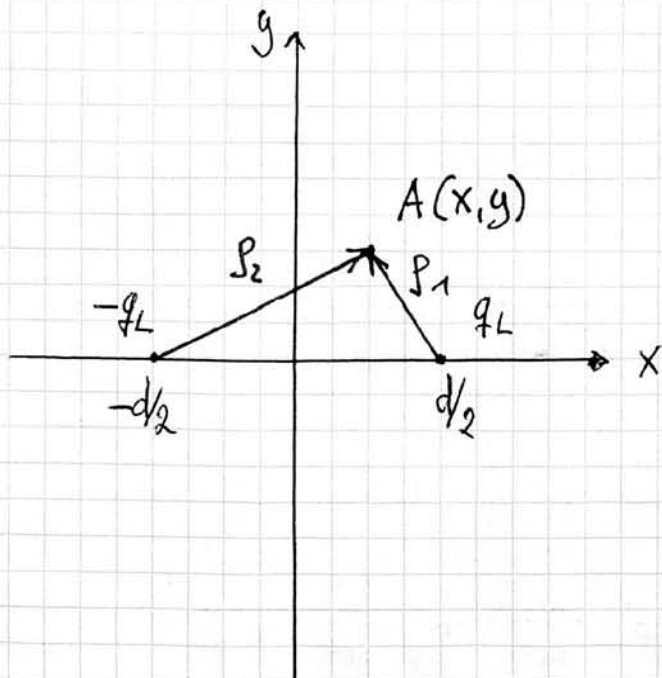
nicht das gesamte
 Feldgebiet mit Material
 gefüllt.



22.12.09

ET III

b) für die Ersatzanordnung.
Vgl.: Aufgabe 16



2 Unbekannte: q_L, d

$$k = \frac{P_2}{P_1} \Rightarrow d = 2 \cdot \sqrt{b^2 - a^2}$$

Bestimmung von d , Vgl. KG 21

$$a^2 + R^2 = x_m^2$$

$\uparrow \quad \uparrow \quad \uparrow$

$$\left(\frac{d}{2}\right)^2 \quad a^2 \quad b^2$$

Mit d sind auch P_1 und P_2 bekannt.

$$s_1 = \sqrt{(x - \frac{d}{2})^2 + y^2}, \quad s_2 = \sqrt{(x + \frac{d}{2})^2 + y^2}$$

22.12.05

ET III

Aus Aufgabe 18:

Spannung zwischen Zwei Zylindern:

$$U_{12} = \frac{q_L}{\pi \cdot \epsilon_0} \ln(k_1)$$

$$\text{hier: } U = \frac{1}{2} U_{12}$$

$$\text{mit } k_1 = \frac{b}{a} + \sqrt{\frac{b^2}{a^2} - 1}$$

Vgl.: Aufgabe 16:

$$\varphi_e = \frac{q_L}{2\pi \cdot \epsilon_0} \cdot \ln\left(\frac{s_2}{s_1}\right)$$

daraus folgt U als Potenzialdifferenz:

$$\Rightarrow q_L = \frac{2\pi \epsilon_0}{\ln(k_1)} \cdot U$$

$$\Rightarrow \varphi_e = \frac{U}{\cancel{\ln(k_1)}} \cdot \cancel{\ln\left(\frac{s_2}{s_1}\right)} = U$$

} muss rauskommen

22.12.09

ET III

weiter zu b)

$$\vec{J} = \sigma \cdot \vec{E} = \frac{1}{\rho} \cdot \vec{E}$$

Möglich wäre:

$$\vec{E} = -\operatorname{grad} \varphi_E$$

$$= -\vec{e}_x \frac{\partial \varphi_E}{\partial x} - \vec{e}_y \frac{\partial \varphi_E}{\partial y}$$

Vgl.: (Linienpol) Aufgabe 9

Dort war der Abstand = 2a

(hier: d)

$$E_x = \frac{u \cdot d}{\ln(k_1)} \cdot \frac{x^2 - y^2 - \frac{1}{4}d^2}{s_1^2 s_2^2}$$

$$E_y = \frac{u \cdot d}{\ln(k_1)} \cdot \frac{2xy}{s_1^2 s_2^2}$$

$$\Rightarrow \vec{J} = \frac{u \cdot d}{\rho \cdot \ln(k_1)} \cdot \frac{1}{s_1^2 s_2^2} \left[(x^2 - y^2 - \frac{1}{4}d^2) \cdot \vec{e}_x + 2xy \vec{e}_y \right]$$

$$\vec{E} = \frac{\vec{J}}{\sigma}$$

c) Ansatz: Leitwert pro Länge über
die Analogie: Kapazität pro Länge

ET III

Aufgabe 18: $C' = \frac{q_L}{u} = \frac{2\pi \epsilon}{ln(k_1)}$

Vgl (3.6.A)

Leitwert pro Länge: $G' = \frac{\sigma}{\epsilon} \cdot C'$

$$\begin{aligned} &= \frac{1}{\rho \cdot \epsilon} \cdot C' \\ &= \frac{2\pi}{\rho \cdot ln(k_1)} \end{aligned}$$

$$\Rightarrow I' = G' \cdot u = \frac{u}{\rho} \cdot \frac{2\pi}{ln(k_1)}$$

22.12.09

Aufgabe 22

ET III
 Leitend oder
 nichtleitend gelag.
 \Rightarrow Dipol
 (Kugel)

a) Lösungsansatz für \vec{E} in Kugelkoordinaten

- innen ($|r|=r < R$):
 homogenes Feld

$$\begin{aligned}\vec{E}_i &= E_i \cdot \vec{e}_z \\ &= E_i (\cos\theta \vec{e}_r - \sin\theta \vec{e}_\theta)\end{aligned}$$

- außen ($r > R$): Überlagerung

$$\begin{aligned}\vec{E}_a &= \vec{E}_o + \vec{E}_p \\ &= E_o (\cos\theta \vec{e}_r - \sin\theta \vec{e}_\theta) \\ &\quad + \frac{P}{4\pi\epsilon_0} \cdot \frac{1}{r^3} (2\cos\theta \vec{e}_r + \sin\theta \vec{e}_\theta)\end{aligned}$$

(Vgl. Aufgabe 14)

12.01.10

b) zwei Unbekannte: E_i, P

ET III

benötigt: zwei Gleichungen aus den Grenzflächenbedingungen

1) $E_{i,t} = E_{a,t}$

hier $E_\phi = 0$ innen + außen
 (d.h. $\vec{E} \cdot \vec{e}_\phi = 0$, man bekommt keine Gleichung)

$$E_{i,G}(r=R) \stackrel{!}{=} E_{a,G}(r=R)$$

$$-E_i \cdot \sin \theta = -E_G \cdot \sin \theta + \frac{\rho}{4\pi\epsilon_0} \frac{1}{R^3} \sin \theta$$

$$\forall \theta \in [0, \pi]$$

$$\Rightarrow E_i = E_0 - \frac{\rho}{4\pi\epsilon_0 R^3} \quad (1)$$

In Klausur:

Nur sauber
rechnen, nicht
überdrückt
nachdenken!

2) Normalenkomponente von \vec{D}

▼ keine freien Flächenladungen vorhanden
 (Nur Polarisationsladungen)

dielektrisch
(nichtleitende)
Kugel

$D_{i,n} \stackrel{!}{=} D_{a,n}$ auf dem Rand
der Kugel

Aus Materialgleichung:

$$\vec{D}_i = \epsilon_r \cdot \epsilon_0 \cdot \vec{E}_i \Leftrightarrow (\underline{\vec{D}_i = \vec{E}_i \epsilon_0 + \vec{P}})$$

$$\vec{D}_a = \epsilon_0 \cdot \vec{E}_a$$

$$D_{i,r} = \vec{D}_i \cdot \vec{e}_r$$

$$D_{a,r} = \vec{D}_a \cdot \vec{e}_r$$

$$\text{Damit } D_{i,r}(r=R) \stackrel{!}{=} D_{a,r}(r=R)$$

12.01.10

$$\text{ET III} \quad \epsilon_r \cdot \epsilon_0 \cdot E_i \cdot \cos\theta = \epsilon_0 \cdot E_0 \cdot \cos G + \epsilon_0 \cdot \frac{P}{4\pi \epsilon_0 R^3} \cdot \frac{1}{R^3} \cdot 2 \cos G$$

$$\forall G \in [0, \pi]$$

$$\Rightarrow \epsilon_r \cdot \overrightarrow{E}_i = E_0 + \frac{P}{2\pi \epsilon_0 R^3} \quad (2)$$

c) $2 \cdot (1) + (2) :$

$$(2 + \epsilon_r) E_i = 3 E_0 \Leftrightarrow \overline{E_i} = \frac{3}{2 + \epsilon_r} \overline{E_0}$$

Einsetzen in (1)

$$\frac{3}{2 + \epsilon_r} E_0 = E_0 - \frac{P}{4\pi \epsilon_0 R^3}$$

Einheiten $\left[\epsilon_r \right] = 1$

$$\Leftrightarrow P = \frac{\epsilon_r - 1}{\epsilon_r + 2} \cdot 4\pi R^3 \epsilon_0 E_0$$

\vec{p} entspricht dem Gesamtdipolmoment der polarisierten Kugel

Es ist $\vec{P} = \frac{d\vec{p}}{dV}$

Hier ist \vec{P} in der Kugel homogen,
also ist $\vec{p} = V_{\text{KUGEL}} \cdot \vec{P}$

$$\Rightarrow \vec{p} = \frac{4}{3} \pi R^3 \underbrace{(\epsilon_r - 1)}_{\chi_e} \epsilon_0 \cdot \overrightarrow{E}_i \quad (2.5.g)$$

$\underbrace{V_{\text{KUGEL}}}_{\chi_e} = \vec{P}$

d.) Betrachte $\epsilon_r = 1$

$$\text{d.h. } \epsilon_{\text{innen}} = \epsilon_{\text{außen}} = \epsilon_0$$

Die Kugel hat keinen Einfluss auf das äußere Feld \vec{E}_0 .

$$E_i = \frac{3}{\epsilon_r + 2} \cdot E_0 = E_0$$

D-Feldlinie
beginnen an
ende nur
fieren Elekt.

$$p = \frac{\epsilon_r - 1}{\epsilon_r + 2} \cdot 4\pi \epsilon_0 R^3 E_0 = 0$$

e.) Betrachte $\epsilon_r \rightarrow \infty$

$$E_i = \frac{3}{\epsilon_r + 2} \cdot E_0 \xrightarrow{\epsilon_r \rightarrow \infty} 0 \quad (\text{Nicht } \vec{D}\text{-Feld})$$

$$p = \xrightarrow{\epsilon_r \rightarrow \infty} 4\pi \epsilon_0 R^3 E_0$$

Analog zu einer metallisierten Kugel:

12.01.10

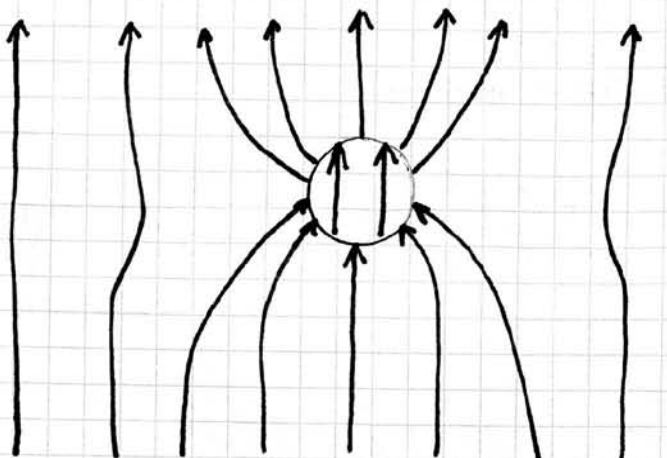
ET III

Ergänzung

Feldlinienbilder

(dielektrische Kugel)

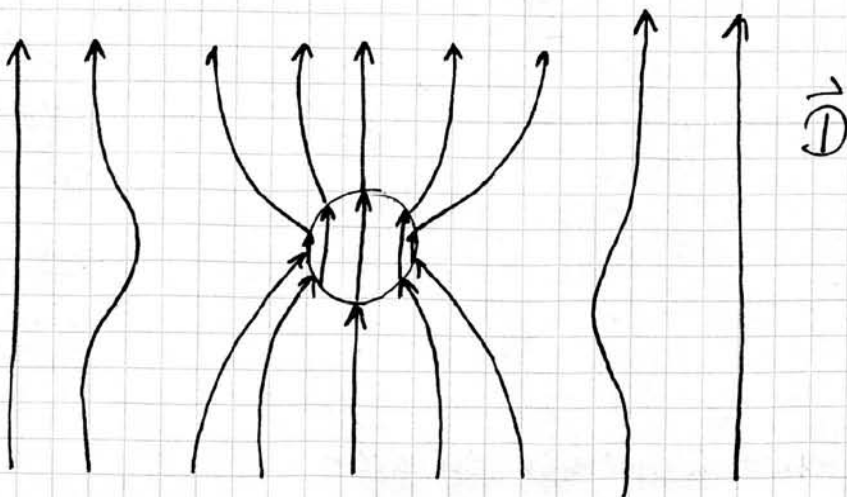
Müssen nicht
senkrecht
darauf sein!
(da Dielektrikum)



E

Beim \vec{E} -Feld
beginnen und
enden Feldlinien
am Dielektrikum!

E-Feldlinien
müssen nur
auf leeren
Leiterin senkrecht
auf Oberfläche
sein!



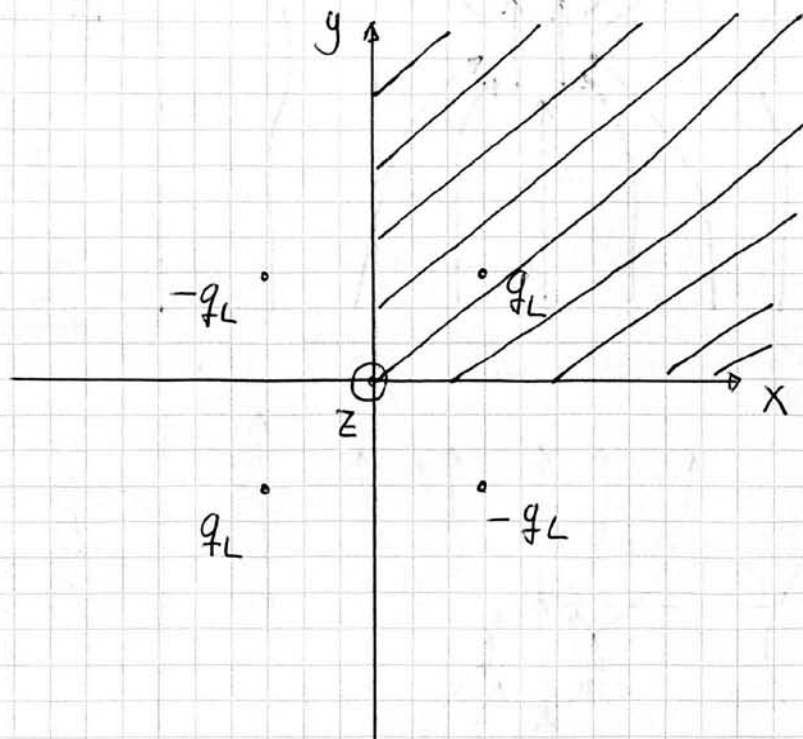
D

Keine beginnenden oder endenden
D-Feldlinien, da keine freie Ladungen
(an Grenzfläche)

Aufgabe 24

Nur Skizze, selbst rechnen

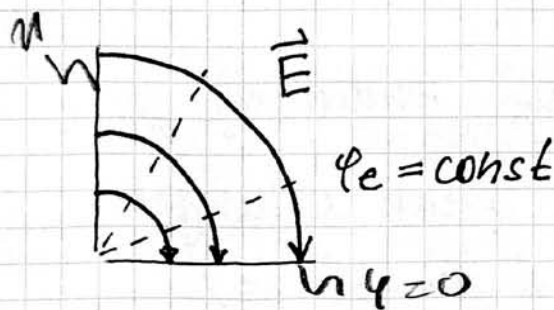
a)



Lösungsgebiet

Im Lösungsgebiet
dürfen keine
Bildladungen sein,
sonst Spiegelung
nicht möglich!

b) Teilproblem: Winkelkondensator



$$\varphi_{\text{ges}} = \varphi_{e,a} + \varphi_{e,b}$$

12.01.10

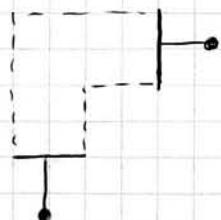
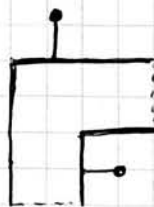
ET III

Aufgabe 26

„analoges Problem“: $\sigma \leftrightarrow \epsilon$

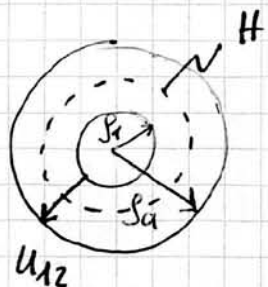
„duale Struktur“:

Die duale Struktur der dualen Struktur ist die primale Struktur!



(Vertauschen von Feldlinien und Äquipotenziallinien)

a) Betrachte zunächst vollständigen Zylinderkondensator:



Schwerpunktsprinzip { Das Feld zwischen den Elektroden entspricht dem Feld einer Linienladung in der z-Achse.

$$\vec{E} = \frac{q_L}{2\pi\epsilon} \cdot \frac{\vec{e}_z}{s}$$

$$C_{voll} = \frac{\iint_D \vec{D} dA}{\int_E dS} = \frac{q_L \cdot l}{U_{12}}$$

$$U_{12} = \int_{s_i}^{s_a} E_s(s) ds = \frac{q_L}{2\pi\epsilon} \ln\left(\frac{s_a}{s_i}\right) \Rightarrow$$

$$\Rightarrow C_{\text{voll}} = \frac{2\pi \epsilon \cdot l}{\ln\left(\frac{s_a}{s_i}\right)}$$

ET III

hier: $C = C_{\text{halb}} = \frac{1}{2} C_{\text{voll}} = \frac{\pi \cdot \epsilon \cdot l}{\ln\left(\frac{s_a}{s_i}\right)}$

Merke
Vorgehen

$$\Rightarrow C' = \frac{C}{e} = \frac{\pi \cdot \epsilon}{\ln\left(\frac{s_a}{s_i}\right)}$$

⚠ Streufelder vernachlässigt

b) Analoges Problem:

(gleiches E-Feld, anderes Material)

$$R \sim \frac{1}{e} \quad (\text{mit Leitfähigkeit } \sigma)$$

$$R' = \frac{R}{e} \sim \frac{1}{e^2} \quad (\text{nicht sinnvoll})$$

[man möchte ℓ , loswerden]
(bei R')

$$G \sim \ell \quad (\text{analog zu } C \sim \ell)$$

$$G' = \frac{G}{e} \neq f(\ell) \Rightarrow G' \text{ sinnvoll}$$

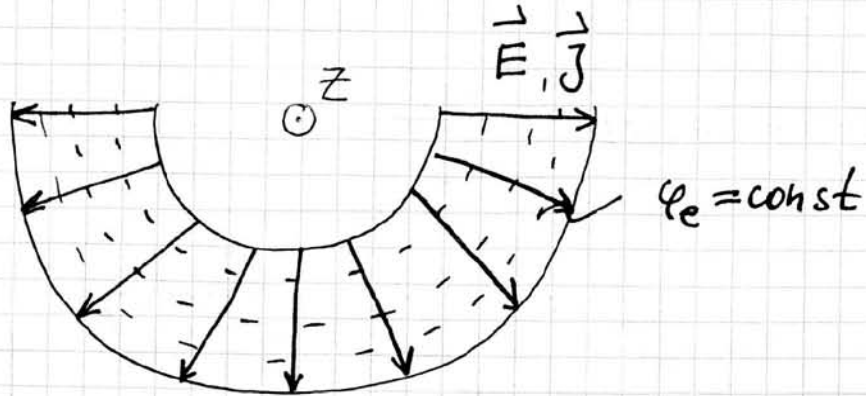
$$\text{Aus } \frac{\epsilon}{\sigma} = R \cdot C = \frac{1}{G} \cdot C = \frac{C' \cdot \ell}{G' \cdot \ell} = \frac{C'}{G'}$$

$$\Rightarrow G' = \frac{\sigma}{\epsilon} \cdot C' = \frac{\pi \sigma}{\ln\left(\frac{s_a}{s_i}\right)}$$

12.01.10

ET III

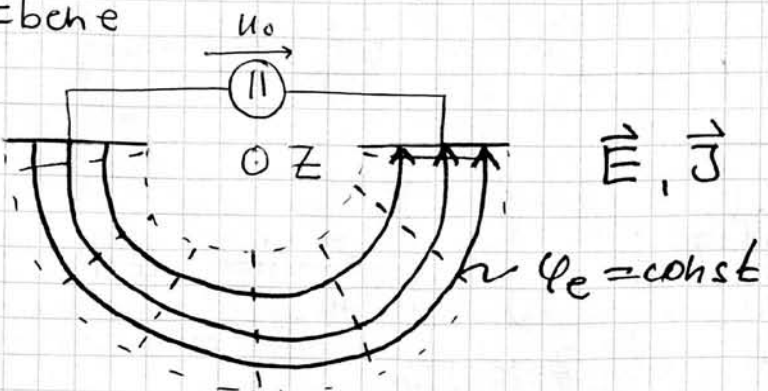
c)



Merke { \vec{E} - Feld ist für C_1 und C' gleich!
 $(\text{mit } \sigma)$ $(\text{ohne } \sigma)$

d) Duale Struktur:

Vertauschung von Feldlinien und den Schnittlinien der Äquipotenzialflächen in der x-y-Ebene



Richtung der
Feldlinien abhängig
vom Richtung von μ_0 !

e) Vgl. Winkelkondensator

$$\vec{E}(r) = E_\phi(s) \cdot \hat{e}_\phi$$

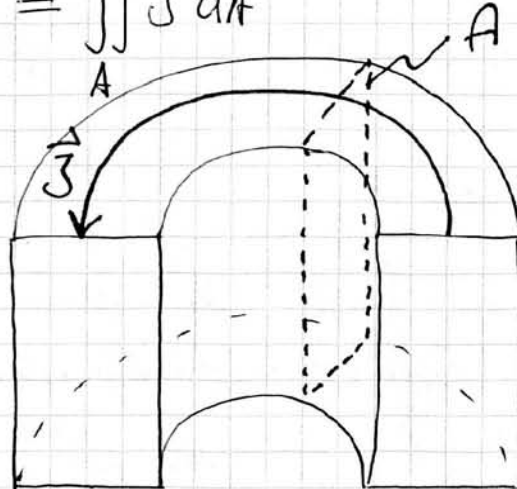
$$\mu_0 = \int_1^2 \vec{E} ds = E_\phi(s) \cdot \pi s$$

Integration entlang eines Kreisbogens : $s = \text{const} \Rightarrow E_\phi = \text{const}$

$$\text{Also } E_\phi(s) = \frac{U_0}{\pi \cdot s}$$

$$\vec{J} = \sigma \cdot \vec{E} = \sigma \cdot \frac{U_0}{\pi \cdot s} \vec{e}_\phi$$

$$I = \iint_A \vec{J} d\vec{A}$$



$$d\vec{A} = dz \cdot ds \cdot \vec{e}_\phi$$

$$I = \iint_A \vec{J} d\vec{A} = \int_{z=0}^l \int_{s_i}^{s_a} \frac{\sigma \cdot U_0}{\pi s} ds dz$$

$$= l \cdot \frac{\sigma \cdot U_0}{\pi} \ln\left(\frac{s_a}{s_i}\right)$$

$$G_e^{-1} = \frac{G_e}{l} = \frac{1}{e} \cdot \frac{1}{U_0} = \underline{\underline{\frac{\sigma}{\pi} \ln\left(\frac{s_a}{s_i}\right)}}$$

12.01.10

ET III

Vergleich mit der Originalanordnung b):

$$\frac{\text{Formelblatt}}{\left(R' = \frac{R}{\epsilon} \right) \text{ [einsetzen]}} \left\{ \begin{array}{l} \frac{C'_e)}{\sigma} = \frac{\sigma}{C'_b)} \\ \text{analog } \frac{C'_e)}{\epsilon} = \frac{\epsilon}{C'_b)} \end{array} \right.$$

Aufgabe 27

Geschwindigkeit

(E_{kin}) ist unabhängig vom Abstand der Elektroden

$$W_{el} = -e \cdot (-U) \stackrel{!}{=} \frac{m_0 v_0^2}{2}$$

19.01.10

ET III

\vec{v} unabhängig vom Abstand



- a) Beschleunigung des Elektrons zwischen den Fitten, d.h. eine Umwandlung potenzieller Energie in kinetische Energie:

$$-e(\varphi_{\text{links}} - \varphi_{\text{rechts}}) = -e(-U) \stackrel{!}{=} \frac{1}{2} m_0 v_0^2$$

$$\Rightarrow \underline{\underline{v_0 = \sqrt{\frac{2eU}{m_0}}}} ; \vec{v}_0 = v_0 \cdot \vec{e}_x$$

- b.) Lorentzkraft \vec{F}_m bei $t=0+$

$$\begin{aligned} \vec{F}_0 &= -e (\vec{v}_0 \times \vec{B}_0) = -e v_0 B_0 \underbrace{(\vec{e}_x \times \vec{e}_z)}_{= -\vec{e}_y} \\ &= \underline{\underline{e v_0 B_0 \cdot \vec{e}_y}} \end{aligned}$$

c) Zur Erinnerung:

$$W_{\text{mech}} = \int \vec{F} d\vec{s}$$

Da stets $\vec{F}_m \perp \vec{v}$, ändert sich ~~stets~~ nur die Richtung, aber nicht der Betrag von \vec{v} .

Weiterhin gilt: $\vec{F}_m \sim v \cdot \vec{B}_0 = \text{const}$

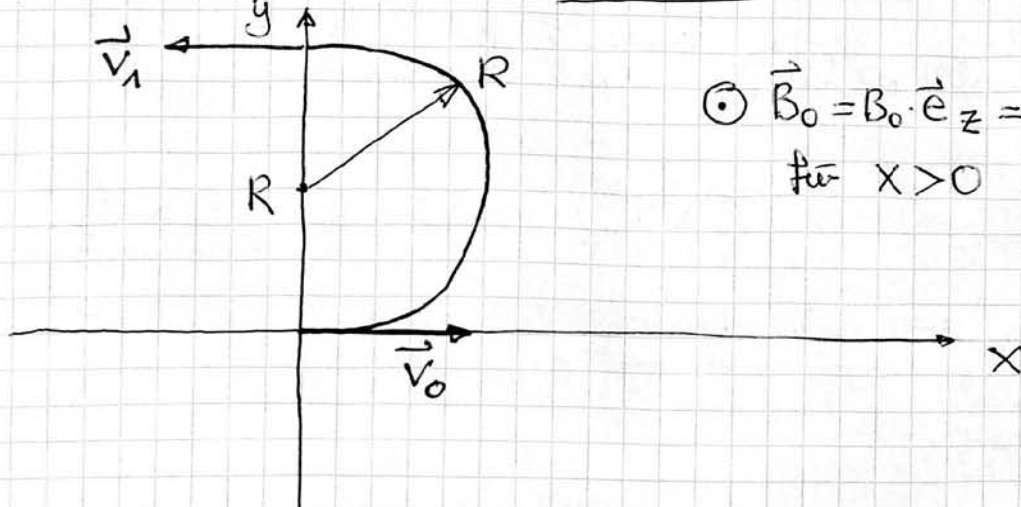
d.h. der Betrag der Zentripetalkraft ist konstant.

\Rightarrow die Bahn ist kreisförmig

$$\vec{F}_z \stackrel{!}{=} \vec{F}_m \quad \text{also} \quad \frac{m_0 v_0^2}{R} \stackrel{!}{=} e v_0 \cdot \vec{B}_0$$

$$R = \frac{m_0 v_0^2}{e v_0 \cdot \vec{B}_0} = \frac{m_0 v_0}{e \cdot \vec{B}_0}$$

merke
Abhängigkeiten



$\odot \vec{B}_0 = B_0 \cdot \vec{e}_z = \text{const}$
für $x > 0$

19.01.10

ET III

d.) Austritt aus dem Magnetfeld:

$$\text{bei } x=0, y=2R = 2 \cdot \frac{m_0 v_0}{e B_0}, z=0$$

Austrittsgeschwindigkeit:

Geschwindigkeiten
betragsmässig
gleich

$$\vec{v}_1 = -\vec{v}_0 = \sqrt{\frac{2e \cdot u}{m_0}} (-\vec{e}_x)$$

Flugzeit im Magnetfeld:

$$t_1 = \frac{\pi \cdot R}{v_0} = \frac{\pi \cdot m_0}{e \cdot B_0}$$

e) Die kinetische Energie ändert sich nicht auf der Kreisbahn, da stets

$$dW = \vec{F}_m d\vec{s} = 0$$

$$E_{kin}(t=t_1) = E_{kin}(t=t_0) = \frac{1}{2} m_0 \cdot v_0^2$$

$$= e \cdot u$$

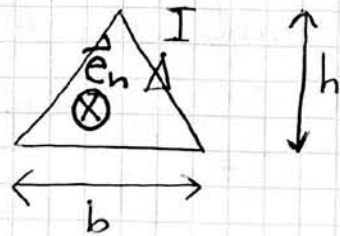
Aufgabe 29

18.01.10

ET III

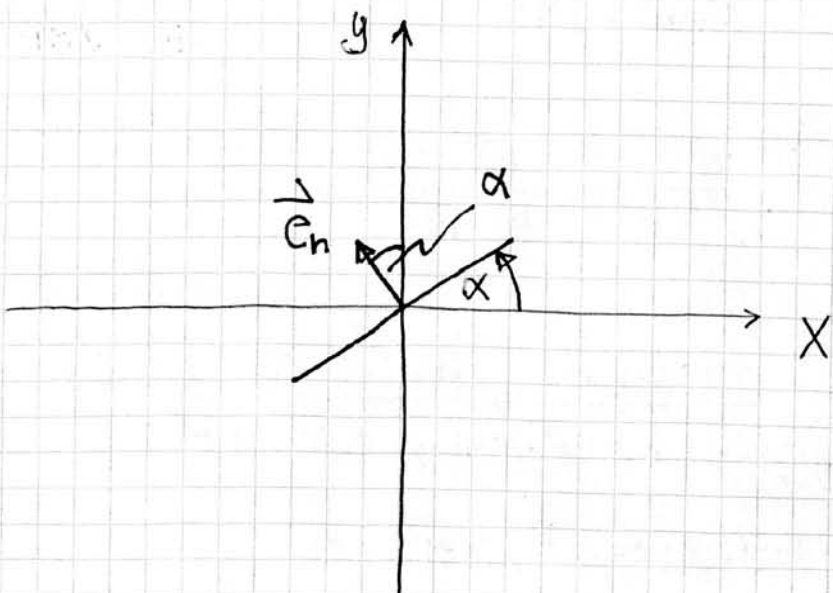
\vec{e}_n und I
im

Leiterschleife



Magnetisches Moment:

$$\begin{aligned}\vec{m} &= A \cdot I \cdot \vec{e}_n \stackrel{\text{FS}}{=} \\ &= \frac{1}{2} \cdot b \cdot h \cdot I \cdot \vec{e}_n\end{aligned}$$



$$\vec{e}_n = \vec{e}_\phi \quad (\text{hier})$$

Drehmoment zeigt in

Drehachse \vec{v}
(Rechtsinn)

$$\alpha = \phi$$

a) $\vec{B} = B_0 \cdot \vec{e}_x$ ist homogen, daher gilt

$$\vec{L} = \vec{m} \times \vec{B}.$$

$$(\text{hier: } L_z = \vec{L} \cdot \vec{e}_z)$$

unabhängig
von der Form
der Schleife!
 $(\vec{L} = \vec{m} \times \vec{B})$

Formel NUR gültig

falls \vec{B} homogen !

19.01.10

ET III

$$\vec{L} = \frac{1}{2} b \cdot h \cdot l \cdot B_0 [(-\sin \alpha \vec{e}_x + \cos \alpha \vec{e}_y) \times \vec{e}_x]$$
$$= \frac{1}{2} \cdot b \cdot h \cdot l \cdot B_0 \cdot \cos \alpha (-\vec{e}_z)$$

Merke { \vec{m} wird in Richtung von \vec{B} gedreht. } (stellt danach)

Analog el

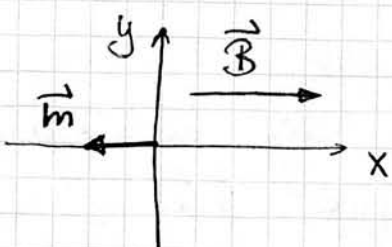
Dipol \vec{p} im
el. Feld \vec{E} !

b.) $L_z = 0 \Leftrightarrow \cos \alpha = 0$

also $\alpha_1 = \frac{\pi}{2} \Rightarrow$

$\vec{m} \downarrow \vec{B}$

Labile Lage



$$\alpha_2 = -\frac{\pi}{2} \Rightarrow$$

$\vec{m} \uparrow \vec{B}$

Stabile Lage

Stabiles Gleichgewicht:

"pendelt
sich ein"

Kleine Auslenkungen werden durch ein
Gegendrehmoment korrigiert:

$$L_z(\alpha) = 0 \quad \text{und} \quad \frac{d}{d\alpha} L_z(\alpha) < 0$$

$$\frac{d}{d\alpha} L_z(\alpha) = \frac{1}{2} b \cdot h \cdot l \cdot B_0 \underbrace{\cos \alpha}_{>0} \underbrace{- \sin \alpha}_{<0}$$

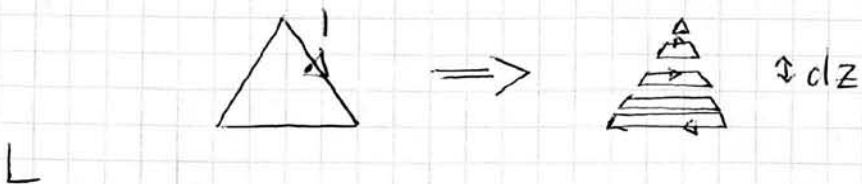
erfüllt für $\alpha_2 = -\frac{\pi}{2}$

c) Jetzt $\vec{B} \neq \text{const}$ ($\vec{B} = B_0 (1 + \frac{z}{h}) \vec{e}_x$)

19.01.10

ET III

Wenn man weiter mit $\vec{L} = \vec{m} \times \vec{B}$ rechnen will:



Ansatz:

1) Unterteilung der Leiterschleife
in Wegstücke $d\vec{s}$

2) Bestimmung der Teilkräfte

$$\cdot d\vec{F} = I \cdot (d\vec{s} \times \vec{B}) \quad \left. \right\} \text{Lorenzkraft}$$

3) Bestimmung der Teildrehmomente

$$d\vec{L} = \vec{r} \times d\vec{F}$$

\vec{r} Hebelarm bzgl. der Drehachse,
hier: Ursprung

4) Integration über alle $d\vec{L}$

5) hier: alles von \vec{L} außer L_z
wegstreichen, bzw. $L_z = \vec{L} \cdot \vec{e}_z$

Hebelarm: $\vec{r} = s \cdot \vec{e}_s + z \cdot \vec{e}_z$,

Hebelarm \Rightarrow Abstand zu
z-Achse

kein Beitrag
zu L_z (Vgl. Klamprodukt)

19.01.10

ET III

Nur die
 ϕ -Komponente
der Kraft
trägt zum
Drehmoment
bei!

Wegen $\vec{e}_s \times \vec{e}_\phi = \vec{e}_z$ (I auf Hebelarm!)
trägt nur die Kraftkomponente

dF_ϕ zu L_z bei

Jetzt gesucht: Welche Komponenten von
 $d\vec{s}$ und \vec{B} tragen zu F_ϕ bei?

Wegen $\vec{e}_z \times \vec{e}_s = \vec{e}_\phi$ sind dies die beiden
Kombinationen

$$ds_z \cdot B_s$$

oder $\underbrace{ds_\phi \cdot B_z}$

entfällt, da \vec{B} keine
z-Komponente hat.

Auf den Schenkeln der Leiterschleife
ist $d\vec{s} = ds \cdot \vec{e}_s + dz \cdot \vec{e}_z$

Das Leiterstück der Dreiecksbasis
(Kängerb) trägt wegen $d\vec{s} = ds \cdot \vec{e}_s$
nicht zu L_z bei.

d.) Umwandlung von \vec{B} in
Zylinderkoordinaten:

$$\vec{B} = B_0 \left(1 + \frac{z}{h}\right) \cdot \vec{e}_x = B_0 \left(1 + \frac{z}{h}\right) (\vec{e}_s \cos\phi - \vec{e}_\phi \sin\phi)$$

$$dF_\phi = l \cdot dz \cdot B_{\vec{e}_\phi} = l \cdot dz \cdot B_0 \left(1 + \frac{z}{h}\right) \cos\phi$$

$$dL_z = s \cdot dF_\phi \quad (|L| = |s| \cdot |F| \underbrace{|\sin\alpha|}_{=1})$$

auf den Schenkeln ist $s = s(z) = \frac{b}{2} \left(1 - \frac{z}{h}\right)$

$$dL_z = \frac{b}{2} \left(1 - \frac{z}{h}\right) \cdot l \cdot dz \cdot B_0 \left(1 + \frac{z}{h}\right) \cos\phi$$

Hebelarm

Kontrolle
durch
Randpunkte

e) Begründung siehe c)

$$L_z = 2 \int_{z=h}^0 dL_z = - \frac{2}{3} \cdot h \cdot b \cdot l \cdot B_0 \cdot \cos\alpha$$

für $\phi = \alpha$

$$\vec{F} = l \cdot (\vec{e} \times \vec{B})$$

Durch Vektoren dividieren

verboten!

(\cong statt klassischer Koeffizientenvergleich)

L

$$L_z = \int_{z=h}^0 dL_z(\phi=\alpha) + \int_{z=0}^h dL_z(\underbrace{\phi=z+\pi}_{\cos(\alpha+\pi)=-\cos\alpha})$$

$$= -2 \cdot \int_{z=0}^h dL_z(\phi=\alpha) = -b \cdot l \cdot B_0 \cdot \cos\alpha \left[z - \frac{z^3}{3h^2} \right]_{z=0}^h$$

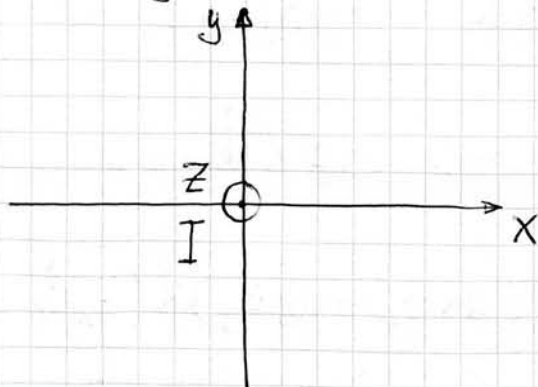
19.01.10 Aufgabe 28

ET III

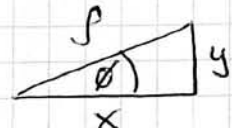
Vgl. A16 und Vgl 4-49 ??

Nur ein Leiter in der z-Achse:

$$\vec{H} = \frac{1}{2\pi f} \vec{e}_\phi$$



$$r^2 = x^2 + y^2$$



$$\vec{e}_\phi = -\vec{e}_x \sin\phi + \vec{e}_y \cos\phi$$

$$\Rightarrow \vec{H} = \frac{1}{2\pi(x^2+y^2)} (-\vec{e}_x \cancel{\text{y}} + \vec{e}_y \cancel{\text{x}})$$
$$= \frac{1}{2\pi(x^2+y^2)} (-\vec{e}_x y + \vec{e}_y x)$$

Verschiebung:

Ersetze I_0 durch I_1 und x durch $x+a$

Ersetze I_0 durch I_2 und x durch $x-a$

$$r_1^2 = (x+a)^2 + y^2 ; r_2^2 = (x-a)^2 + y^2$$

Vgl.: 4.5.48 Seite 4-50

$$\vec{H}_{\text{ges}} = \frac{l_1}{2\pi s_1^2} (-\vec{e}_x y + \vec{e}_y (x+a)) + \frac{l_2}{2\pi s_2^2} (-\vec{e}_x y + \vec{e}_y (x-a))$$

a) Definition der Feldlinie:

$$d\vec{s} \parallel \vec{H} \Rightarrow d\vec{s} \times \vec{H} = 0$$

} genauso wie
E-Feld!

$$\begin{aligned} \text{Ebene: } d\vec{s} \times \vec{H} &= (dx \vec{e}_x + dy \vec{e}_y) \times (H_x \vec{e}_x + H_y \vec{e}_y) \\ &= (dx H_y - dy H_x) \vec{e}_z \stackrel{!}{=} 0 \end{aligned}$$

$$\Rightarrow dx H_y = dy H_x$$

Vgl.: E-Feldlinien

b)

$$\int H_x dy = -\frac{1}{2\pi} \int \left(\frac{l_1 y}{(x+a)^2 + y^2} + \frac{l_2 y}{(x-a)^2 + y^2} \right) dy$$

$$\int H_y dx = \frac{1}{2\pi} \int \left(l_1 \frac{x+a}{(x+a)^2 + y^2} + l_2 \frac{x-a}{(x-a)^2 + y^2} \right) dx$$

Hinweis: $\int \frac{2y}{((x+a)^2 + y^2)} dy = l_1 |(x+a)^2 + y^2|$

$f(y)$
 $\frac{2y}{((x+a)^2 + y^2)}$
 $f(y)$

26.01.10

ET III

$$\int H_x dy = -\frac{1}{4\pi} \left(l_1 \cdot l_h \underbrace{\ln \frac{(x+a)^2 + y^2}{s_1^2}}_{\text{S1}^2} + l_2 \cdot l_h \underbrace{\ln \frac{(x-a)^2 + y^2}{s_2^2}}_{\text{S2}^2} \right) + C_1$$

$$\int H_y dx = \frac{1}{4\pi} \left(l_1 \cdot l_h \underbrace{\ln \frac{(x+a)^2 + y^2}{s_1^2}}_{\text{S1}^2} + l_2 \cdot l_h \underbrace{\ln \frac{(x-a)^2 + y^2}{s_2^2}}_{\text{S2}^2} \right) + C_2$$

Hinweis: $\ln s_1^2 = 2 \cdot \ln s_1$

Gleichsetzen:

$$-\frac{1}{2\pi} (l_1 \ln s_1 + l_2 \ln s_2) + C_1 \stackrel{!}{=} \frac{1}{2\pi} (l_1 \ln s_1 + l_2 \ln s_2) + C_2$$

$$\underbrace{C_1 - C_2}_{=: C_3} = \frac{1}{\pi} (l_1 \ln s_1 + l_2 \ln s_2)$$

Fall 1. $l_1 = l_2 > 0$

$$C_3 = l_1 (\ln s_1 + \ln s_2)$$

$$\Leftrightarrow \frac{C_3}{l_1} = \ln (s_1 \cdot s_2) \Rightarrow s_1 \cdot s_2 \stackrel{!}{=} \text{const}$$

Fall 2. $l_1 = -l_2 > 0$

$$C_3 = l_1 (\ln s_1 - \ln s_2)$$

$$\Leftrightarrow \frac{C_3}{l_1} = \ln \left(\frac{s_1}{s_2} \right) \Rightarrow \frac{s_1}{s_2} \stackrel{!}{=} \text{const}$$

Vgl. Aufgabe 16

c) Vgl. Blatt 3, Aufgabe 16

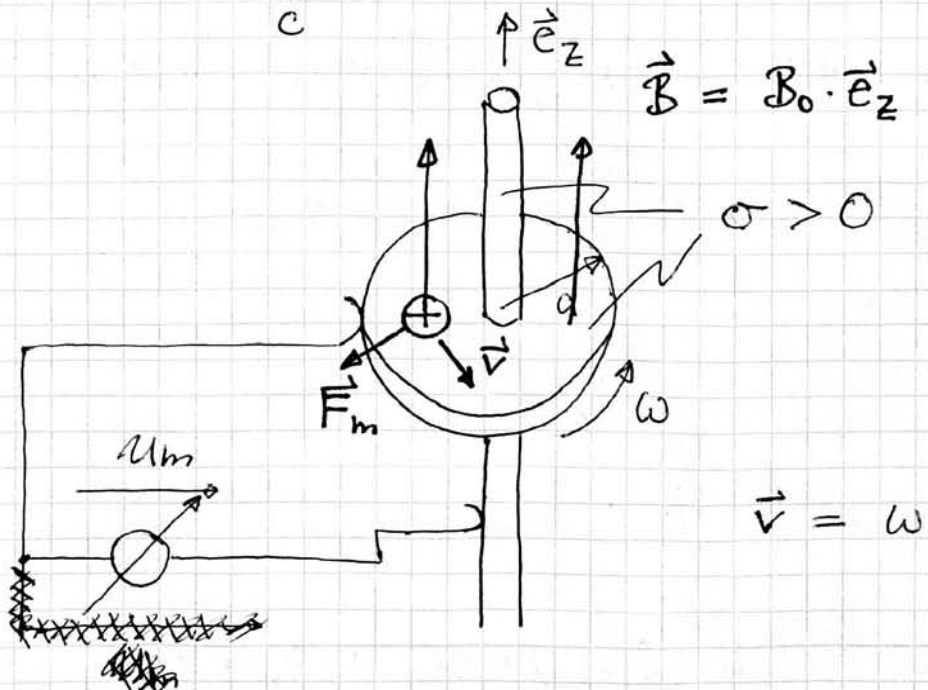
Die Schnittlinien der Equipotenzialflächen mit der x-y-Ebene für $q_{L1} = -q_{L2}$ entsprechen den \vec{H} -Feldlinien für $I_1 = -I_2$.

Appolonisch
Kreise
(4-51)

Barlow'sches Rad

(Vgl. Skript S. 5-19)

Problem: $\oint_C \vec{E} d\vec{s} = \mathcal{U}_{\text{ind}} = - \frac{d\phi}{dt}$



$$\vec{v} = \omega \cdot r \cdot \vec{e}_\phi$$

$$\vec{F}_m = q \cdot \vec{v} \times \vec{B}$$

$$= q \cdot (\omega \cdot r \cdot \vec{e}_\phi) \times (B_0 \cdot \vec{e}_z)$$

$$= q \cdot \omega \cdot r \cdot B_0 \cdot \vec{e}_S$$

} falls nicht
im selben
System
 \Rightarrow Umrechnen!

26.01.10

ET III

Gesucht U_m

Problem: keine bewegte / deformierte oder von einem veränderlichen Fluss durchsetzte Schleife, also $\vec{B}(t)$.

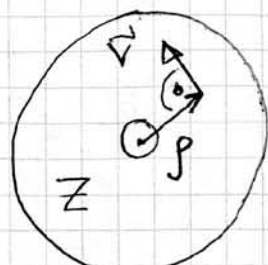
d.h. Ansatz $U_{ind} = -\frac{d\phi}{dt}$

so nicht möglich

Lösung: Lorenzkraft auf mitrotierende Ladungsträger betrachten.

Schreibe von oben:

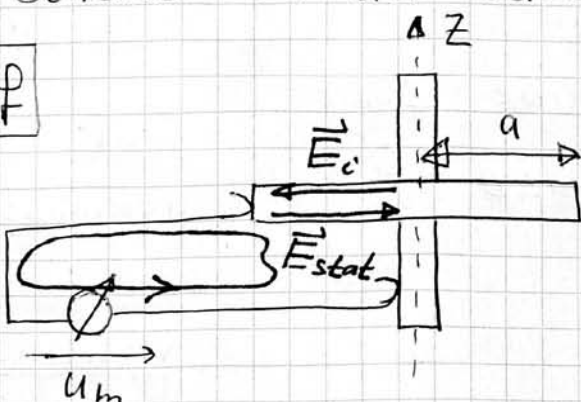
Kein Strom,
da Multimeter
sich wie offene
Klemmen
verhält!



$$\vec{E}_i = \omega \cdot \rho \cdot B_0 \cdot \vec{e}_\rho \\ (= \vec{v} \times \vec{B})$$

Schreibe von der Seite:

Maschenumlauf
 $\equiv -\frac{d\phi}{dt}$



Kein Strom:

$$\vec{J} = 0 \cdot \vec{E}_{(ges)} = 0 \\ \Rightarrow \vec{E}_{ges} = \vec{E} = \vec{E}_i + \vec{E}_{stab} = 0 \quad FS$$

Sobald $R_i \neq \infty$
gibt das nicht
mehr!

$$\vec{E}_i + \vec{E}_{stab} = 0 \quad \leftarrow \text{In der Scheibe}$$

In der Scherbe gilt:

$$\vec{E}_{\text{STAT}} = -\vec{E}_c$$

$$\left. \int_C \vec{E}_{\text{STAT}} d\vec{s} = 0 \right\} \text{gilt allgemein!} \quad \begin{array}{l} \text{Integrationsswe} \\ \text{und dA gebe} \\ \text{legen Richtungen der} \\ \text{induzierten Spannung} \\ \text{fest!} \end{array}$$

$$U_m + \int_{s=0}^a \vec{E}_{\text{STAT}} d\vec{s} = 0$$

$$\Rightarrow U_m = \int_{s=0}^a \vec{E}_c d\vec{s}$$

$$= \int_{s=0}^a E_{c,s}(s) ds$$

$$= \omega B_0 \cdot \int_{s=0}^a s^2 ds = \omega B_0 \cdot \frac{a^2}{2}$$

Nicht
allgemein
richtig!

$$\boxed{U_{12} = \int_1^2 \vec{E}_{\text{STAT}} d\vec{s}}$$

(Allgemein)

Aufgabe 31

Das Bild der Aufgabe zeigt einen Zeitpunkt $t_{\text{BILD}} < 0$.

Rückwirkung
schwächt feld!

Falls Schleife
geschlossen und
induzierte Spannung
vorhanden, fließt
Strom!

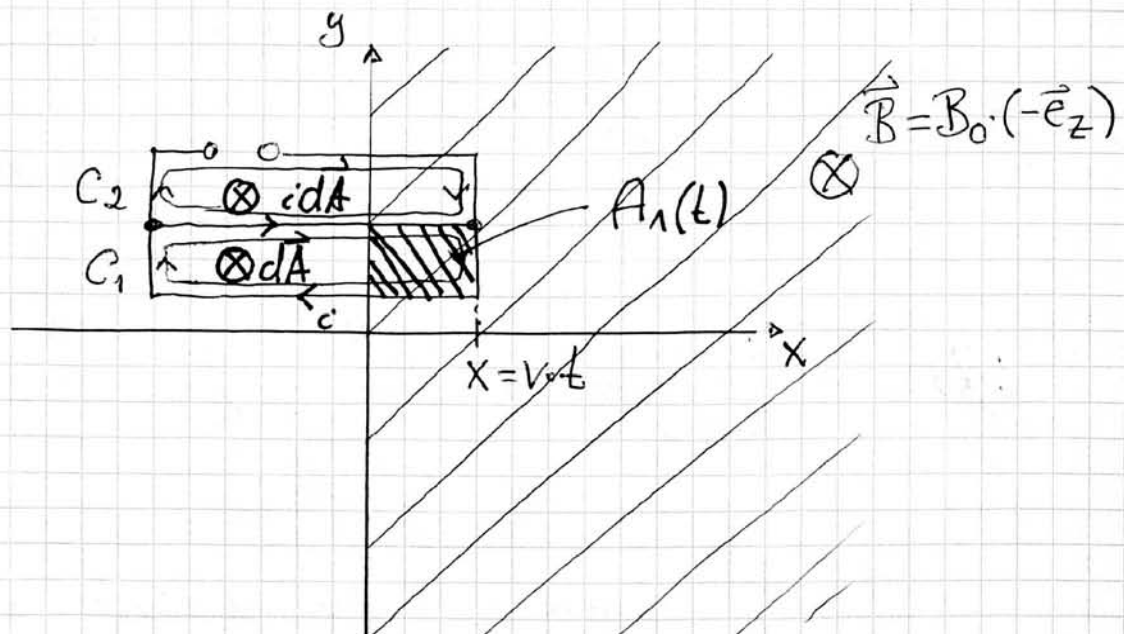
26.01.10

ET III

Mehr-Fach
Schleife

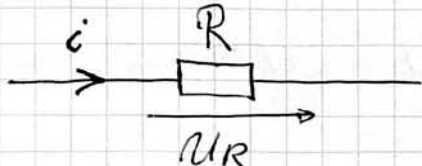
$$\mathcal{V} = N \cdot \phi$$

\uparrow
Anzahl
Schleifen



$$\oint_{C_1} \vec{E} d\vec{s} = - \frac{d\phi_1(t)}{dt} = c(R_1 + R_2 + R_3 + R_4)$$

Richtung von c : V Z S ← Wichtig!



Rechte Seite des Induktionsgesetzes:

$$\vec{B} = \text{const} \quad \text{und} \quad \vec{B} \wedge d\vec{A}$$

hier: lineare
Flächenzunahme!

$$\phi_1 = \iint_{A_1} \vec{B} d\vec{A} = B_0 \cdot \underbrace{A_1(t)}_{A_1}$$

Vom magn. Fluss
durchsetzte Teilfläche

$$\phi_1(t) = \begin{cases} 0 & \text{für } t < 0 \\ B_0 \cdot b \cdot v \cdot t & \text{für } 0 \leq t \leq \frac{a}{v} \\ B_0 \cdot b \cdot a & \text{für } t \geq \frac{a}{v} \end{cases}$$

$$i \cdot R_{\text{ges}} = - \frac{d\phi_1}{dt} = \begin{cases} -B_0 \cdot b \cdot v & \text{für } 0 \leq t \leq \frac{a}{v} \\ 0 & \text{sonst} \end{cases}$$

ET III

$$i(t) = - \frac{B_0 \cdot b \cdot v}{R_{\text{ges}}} = \frac{1 \frac{Vs}{m^2} \cdot 0,1m \cdot 1 \frac{m}{s}}{20 \frac{V}{A}}$$

$$i(t) = \begin{cases} -5mA & \text{für } 0 \leq t \leq 0,3s \\ 0 & \text{sonst} \end{cases}$$

b) obere Teilschleife:

$$\oint_{C_2} \vec{E} d\vec{s} = u(t) - i(t) \cdot R_1 = - \frac{d\phi_2(t)}{dt}$$

Aus Symmetrie gilt: $\phi_2(t) = \phi_1(t)$

$$\Rightarrow u(t) = - \frac{d\phi_2(t)}{dt} + i(t) \cdot R_1$$

$$u(t) = \begin{cases} -B_0 \cdot b \cdot v - \frac{R_1}{R_{\text{ges}}} \cdot B_0 \cdot t \cdot v & \text{für } 0 \leq t \leq \frac{a}{v} \\ 0 & \text{sonst} \end{cases}$$

$$u(t) = \begin{cases} -125 mV & \text{für } 0 \leq t \leq \frac{a}{v} \\ 0 & \text{sonst} \end{cases}$$

26.01.10

ET III

c)

 $i(t)$

0,3s 0,5s

 $\rightarrow t$

Lineare
Flusszubnahme

$$\frac{d\phi}{dt} = \text{const.}$$

da Fläche
 Rechteck!

-5mA

 $u(t)$

0,3s 0,5s

 $\rightarrow t$

-125mV

d) Jetzt: $\phi_1(t) = \iint \vec{B}(t) d\vec{A}$

$$A_1(t)$$

$$\phi_1(t) = \begin{cases} 0 & \text{für } t < 0 \\ B_0 \cdot e^{-\frac{t}{T_e}} \cdot b \cdot v \cdot t & \text{für } 0 \leq t \leq \frac{a}{v} \\ B_0 \cdot e^{-\frac{t}{T_e}} \cdot b \cdot a & \text{für } t > \frac{a}{v} \end{cases}$$

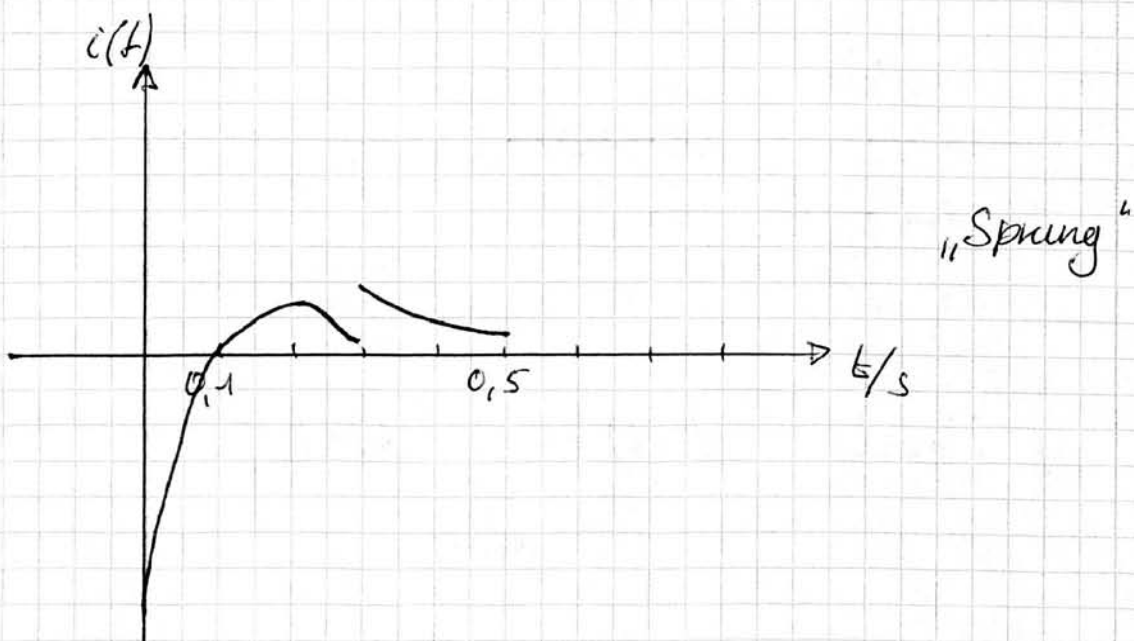
$$i(t) = -\frac{1}{R_{\text{ges}}} \cdot \frac{d\phi_1(t)}{dt}$$

26.01.10

ET III

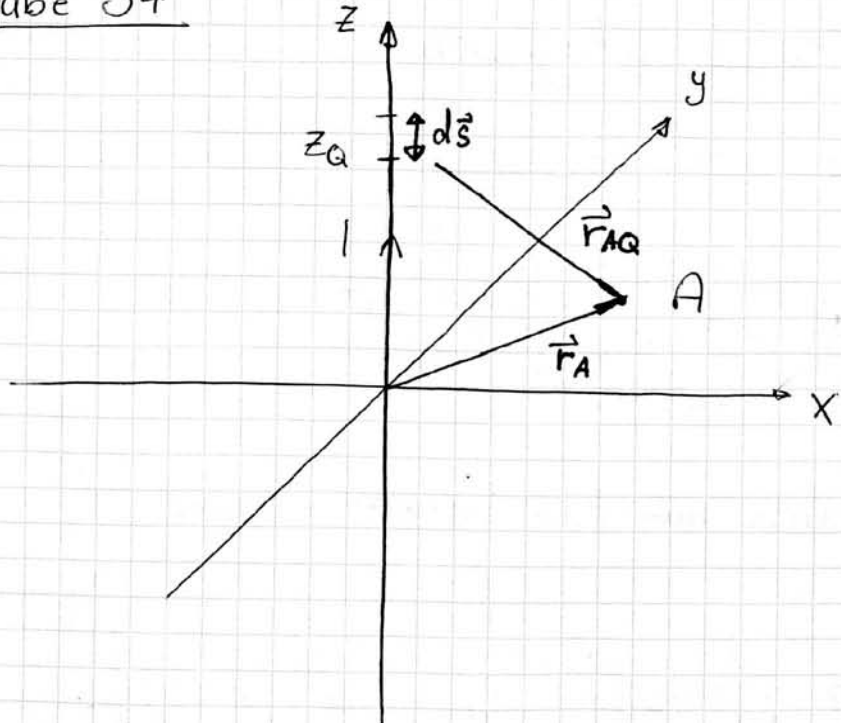
$$i(t) = \frac{1}{R_{\text{ges}}} \cdot \begin{cases} 0 & \text{für } t < 0 \\ B_0 \cdot b \cdot v \left(1 - \frac{t}{\tau}\right) e^{-\frac{t}{\tau}} & \text{für } 0 \leq t \leq \frac{a}{v} \\ B_0 \cdot b \cdot a \cdot \left(-\frac{1}{\tau}\right) e^{-\frac{t}{\tau}} & \text{für } t > \frac{a}{v} \end{cases}$$

$$i(t) = \begin{cases} 0 & \text{für } t < 0 \\ -5 \text{ mA} \left(1 - \frac{t}{0,15}\right) e^{-\frac{t}{0,15}} & \text{für } 0 \leq t \leq 0,3 \text{ s} \\ 15 \text{ mA} e^{-\frac{t}{0,15}} & \text{für } t > 0,3 \text{ s} \end{cases}$$



02.02.10 Aufgabe 34

ET III



Genügt zur Berechnung (Symmetrie) { Aufpunkt A befindet sich in der x-y-Ebene

Kann nur z-Komponente haben ∇ Es gilt: $\vec{A}_{mA} = \frac{\mu_0}{4\pi} \oint \frac{d\vec{s}}{r_{AQ}}$ (4.10.12)

am Aufpunkt C_Q umfasst den (Quell-)linienstrom einmal den Stromkreis entlang

a) \vec{r}_Q, \vec{r}_A ?

O.B.d.A. $z_A = 0$

$$\vec{r}_A = s_A \cdot \vec{e}_{s_A}$$

$$\vec{r}_Q = z_Q \vec{e}_z$$

$$C_Q : -\infty < z_Q < \infty$$

$$d\vec{s} = dz_Q \vec{e}_z$$

$$\vec{r}_{AQ} = \vec{r}_A - \vec{r}_Q = s_A \vec{e}_{s_A} - z_Q \vec{e}_z$$

$$r_{AQ} = \sqrt{s_A^2 + z_Q^2}$$

b) Zunächst Integration:

$$C_Q: -a < z_Q < a$$

$$\vec{A}_{mA} = \frac{\mu_0}{4\pi} \int_{z_Q=-a}^a \frac{dz_Q \vec{e}_z}{\sqrt{s_A^2 + z_Q^2}}$$

physikalisch nur für $a \rightarrow \infty$ sinnvoll

c)

$$\begin{aligned} \vec{A}_{mA} &= \frac{\mu_0}{4\pi} \vec{e}_z \left[\ln \left(\sqrt{s_A^2 + z_Q^2} + z_Q \right) \right]_{z_Q=-a}^a \\ &= \frac{\mu_0}{4\pi} \vec{e}_z \ln \left(\frac{\sqrt{s_A^2 + a^2} + a}{\sqrt{s_A^2 + a^2} - a} \right) \end{aligned}$$

d) $a \gg r_A$

$$\sqrt{1+x^2} \approx 1 + \frac{1}{2}x^2 \quad \text{für } x^2 \ll 1$$

Zähler und Nenner des $\ln(\dots)$ durch a teilen

$$\frac{\sqrt{\left(\frac{s_A}{a}\right)^2 + 1} + 1}{\sqrt{\left(\frac{s_A}{a}\right)^2 + 1} - 1}$$

$$\begin{aligned} &\stackrel{s_A/a \ll 1}{\approx} \frac{\overbrace{\frac{1}{2} \left(\frac{s_A}{a}\right)^2}^{<<1} + 1 + 1}{\overbrace{\frac{1}{2} \left(\frac{s_A}{a}\right)^2}^{<<1} + 1 - 1} \\ &\approx \frac{2}{\frac{1}{2} \left(\frac{s_A}{a}\right)^2} \end{aligned}$$

02.02.10

damit

ET III

$$\vec{A}_{mA} = \vec{A}_m(\vec{r}_A) = \frac{\mu l}{4\pi} \vec{e}_z \lim_{a \rightarrow \infty} \left[2 \cdot \ln \left(\frac{2a}{s_A} \right) \right]$$

e)

$$\vec{A}_{mA} = \frac{\mu l}{4\pi \frac{1}{2}} \vec{e}_z \lim_{a \rightarrow \infty} \left[\ln \left(\frac{2a}{s_0} \right) + \ln \left(\frac{s_0}{s_A} \right) \right]$$

s_0 : willkürliche Konstante
 konstant
 bzgl. s_A

$$\vec{B}_A = \text{rot}_A \vec{A}_{mA}$$

Konstante $\vec{A}_{mA} = \vec{c}_{co} + \frac{\mu l}{2\pi} \vec{e}_z \ln \left(\frac{s_0}{s_A} \right)$

"Quellenanteil" $\vec{A}_{mA}' := \vec{A}_{mA} - \vec{c}_{co}$
 $= -\frac{\mu l}{2\pi} \vec{e}_z \ln \left(\frac{s_A}{s_0} \right)$

$\vec{B} = \text{rot} \vec{A}_{mA}' = -\frac{\partial A_z'}{\partial s_A} \vec{e}_\phi$ mass rauskommen

rot \vec{A}_{mA} auch mögl. dabei fällt Quellenanteil raus!

 $= \frac{\mu l}{2\pi} \frac{\cancel{s_0}}{s_A} \frac{1}{\cancel{s_0}} \vec{e}_\phi = \underline{\underline{\frac{\mu l}{2\pi s_A} \vec{e}_\phi}}$

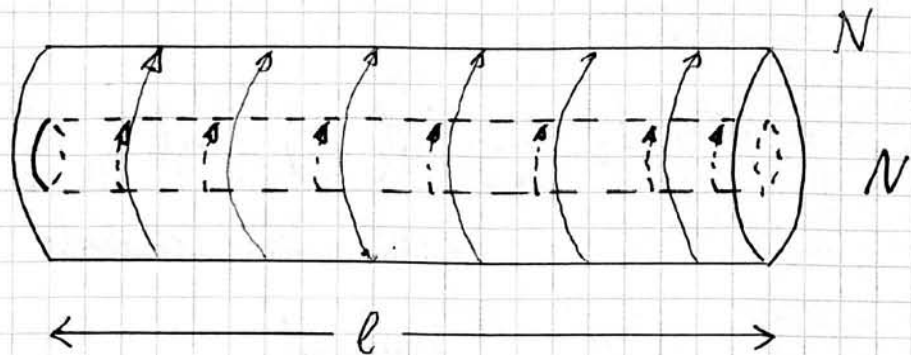
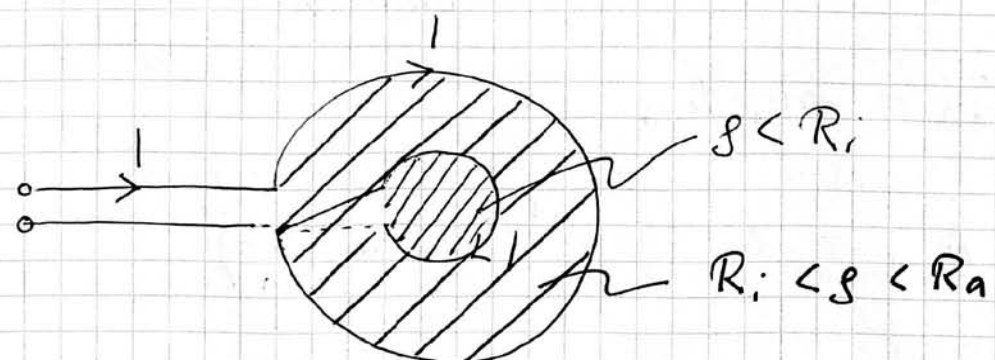
vs.

Vgl. Potenzial φ_e einer unendlich langen Linienladung g_L in der z -Achse.

Konstante $\vec{A}_{mA}' = -\frac{g_L}{2\pi \epsilon} \ln \left(\frac{s_A}{s_0} \right)$

Aufgabe 33

Seitenansicht

Reihenschaltung

$$(5.3.39) \text{ allg. } \mathcal{B} = \mu_0 \cdot \frac{N}{l}$$

$$\vec{\mathcal{B}} = \begin{cases} \mu_0 \cdot \frac{(N_i + N_a)}{l} \vec{e}_z & \text{für } 0 \leq g \leq R_i (\text{III}) \\ \mu_0 \cdot \frac{N_a}{l} \vec{e}_z & \text{für } R_i < g < R_a (\text{II}) \end{cases}$$

$$\text{hier: } N_i = N_a = N$$

Annahme: $\vec{\mathcal{B}} = 0$ für $g > R_a$
(außen!)

02.02.10

ET III

$$b) d\vec{A} = dA \vec{e}_z$$

Gesamter Fluss in der inneren Lage: (■■■)

$$\Phi_1 = \mu_0 \cdot \frac{2N \cdot I}{l} \underbrace{\pi R_i^2}_{= A_{\text{innen}} (\text{■■■})}$$

Gesamter Fluss in der äußeren Lage: (■■■)
+ (■■■)

gesamter
Flusswerte
die Fläche
 $A = \pi R_a^2$
durchfließt!

$$\Phi_2 = \Phi_1 + \Phi_{ZW}$$

$$\begin{aligned} \Phi_2 &= \underbrace{\Phi_1}_{=\text{innen} (\text{■■■})} + \mu_0 \cdot \frac{N \cdot I}{l} \underbrace{\pi (R_a^2 - R_i^2)}_{= A_{\text{außen}} (\text{■■■})} \\ &= \mu_0 \frac{N \cdot I}{l} \pi (R_a^2 + R_i^2) \end{aligned}$$

Verkettung \rightarrow Φ_1 ist vollständig mit der inneren Lage (Wicklung) verkettet:

Flussrichtung
Stromrichtung

$$\Psi_i = N_i \cdot \Phi_1 = \underline{\underline{\mu_0 2N^2 / \pi R_i^2}}$$

Strom
umringt
Fluss

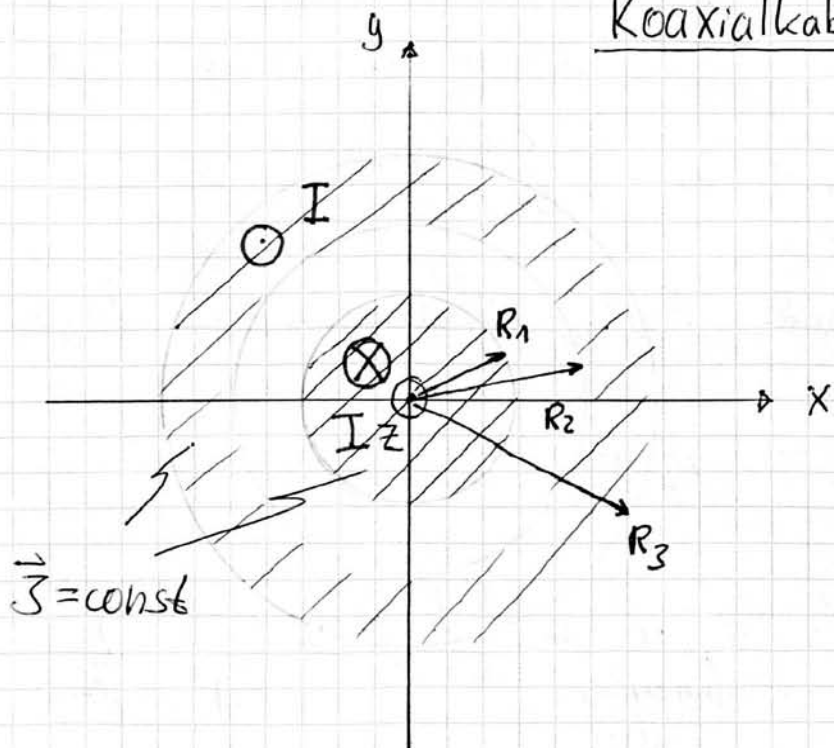


Φ_2 ist vollständig mit der äußeren Lage verkettet:

$$\Psi_a = N_a \cdot \Phi_2 = \underline{\underline{\mu_0 N^2 I \cdot \pi (R_a^2 + R_i^2) / l}}$$

$$c) \Psi_{\text{ges}} = \Psi_i + \Psi_a = \mu_0 \frac{N^2 I}{l} \pi (3R_i^2 + R_a^2)$$

$$L_{\text{ges}} = \frac{\Psi_{\text{ges}}}{I} = \underline{\underline{\frac{\mu_0 N^2 \pi}{l} (3R_i^2 + R_a^2)}}$$

Aufgabe 32Koaxialkabel

Aus Symmetrie: $\vec{H} = H_\phi(s) \vec{e}_\phi$

$$\oint_C \vec{H} d\vec{s} = H_\phi(s) 2\pi s = \iint_A \vec{J} d\vec{A}$$

$$d\vec{s} = s d\phi \vec{e}_\phi$$

$$d\vec{A} = s d\phi ds \vec{e}_z$$

$$\begin{aligned}
 & \text{leih } \left\{ \begin{array}{ll} -I - \frac{\pi s^2}{\pi R_1^2} & \text{für } 0 \leq s < R_1 \\ -I & \text{für } R_1 < s < R_2 \\ -I + I \frac{\pi s^2 - \pi R_2^2}{\pi R_3^3 - \pi R_2^2} & \text{für } R_2 < s < R_3 \\ 0 & \text{für } s > R_3 \end{array} \right. \\
 \end{aligned}$$

02.02.10

ET III

$$\vec{H} = \frac{I_{\text{ein}}}{2\pi s} \vec{e}_\phi \quad \text{und} \quad \vec{B} = \mu \cdot \vec{H}$$

$$\vec{B} = \mu_0 \cdot \vec{H} = \begin{cases} -\mu_0 I \frac{s}{2\pi R_1^2} \vec{e}_\phi & \text{für } s < R_1 \\ -\mu_0 I \cdot \frac{1}{2\pi s} \vec{e}_\phi & \text{für } R_1 < s < R_2 \\ -\mu_0 I \frac{R_3^2 - s^2}{R_3^2 - R_2^2} \frac{1}{2\pi s} \vec{e}_\phi & \text{für } R_2 < s < R_3 \\ 0 & \text{für } s > R_3 \end{cases}$$

a) Berechne Induktivität eines Abschnitts der Länge l

Induktivität
 ↓
außen

(Nur B-Feld → kein J)

$$\text{Äußere Induktivität : } L_a = \frac{\varphi_a}{I}$$

Der Fluss φ_a nur im Zwischenraum!

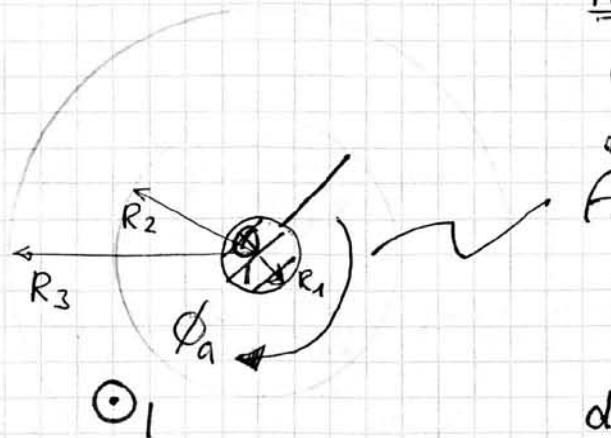
$$(R_1 < s < R_2)$$

$$\text{Denn } \vec{B}(s > R_3) = 0$$

φ_a ist mit dem gesamten Strom verkettet.
 $(N=1)$

$$\Rightarrow \varphi_a = \phi_a$$

bzgl. äußere
Induktivität
(dort wo
 $\vec{J} = 0$)



hier
Zwischenraum
A

$$d\vec{A} = l \cdot d\phi \cdot (-\vec{e}_\phi)$$

so gewählt
dass $\phi_a > 0$

$$\phi_a = \iint_A \vec{B} d\vec{A} = -\frac{\mu_0 l}{2\pi} e \int_{S=R_1}^{R_2} \frac{1}{s} \vec{e}_\phi ds (-\vec{e}_\phi)$$

$$= \frac{\mu_0 l}{2\pi} \ell \ln\left(\frac{R_2}{R_1}\right) \Rightarrow L_a = \frac{\mu_0 l}{2\pi} \ln\left(\frac{R_2}{R_1}\right)$$

$$\Rightarrow L_a' = \frac{L_a}{e} = \frac{\mu_0}{2\pi} \ln\left(\frac{R_2}{R_1}\right)$$

} muss
 > 0
sein
(Vgl c)*

bzgl. innere
Induktivität

Zur Berechnung der inneren Induktivität
des Innenleiters:

- Aufteilung von I in Teilströme ($dI = J dA$)

ODER

- Aufteilung von ϕ in Teilflüsse ($d\phi = B dA$)

Verkettet
 $d\phi = B dA$

"Stromfläche
mit B-Feld-
linien
verkettet"



Topologisch

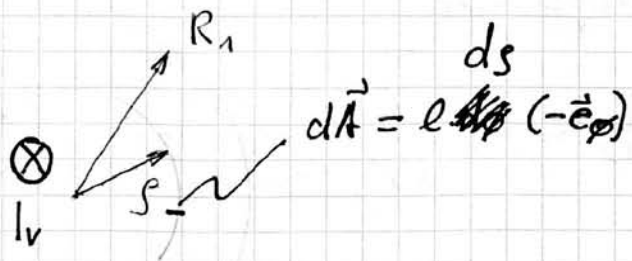
02.02.10

ET III

Hier betrachtet: Teilflüsse $d\phi$

$$I_v = l \cdot \frac{\pi s^2}{\pi R_1^2}$$

$$I_v = I_v(s)$$



$$d\phi = \vec{B} \cdot d\vec{A} = \frac{\mu_0 l}{2\pi R_1^2} \underbrace{l \cdot s \cdot ds}_{=dA \cdot s} = l \cdot ds \cdot s$$

Der Verkettelte
Anteil!

Innenleiter:

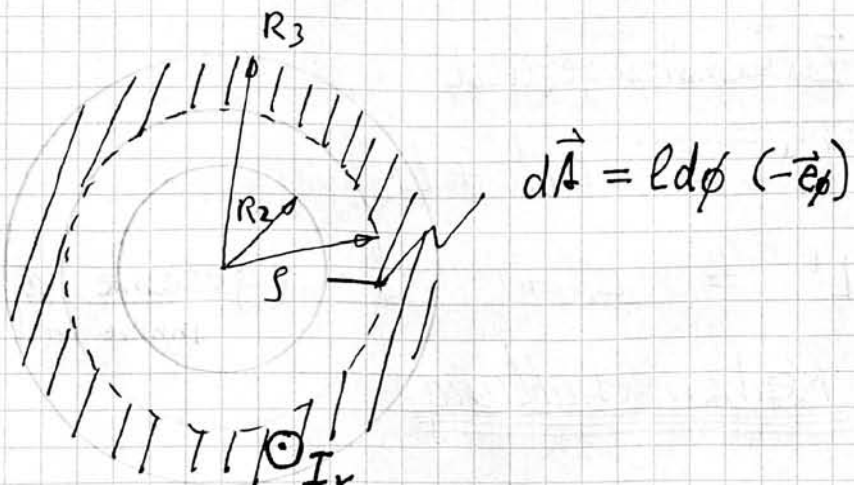
Wichtig

$$\psi_{11} = \int_{s=0}^{s_1} d\psi = \frac{\mu_0 l}{8\pi} \quad (Seite 5-35)$$

$$L_{11} = \frac{\psi_{11}}{l} \quad L_{11}' = \frac{L_{11}}{e} = \frac{\mu_0}{8\pi} \neq f(R_1)$$

Beachte!

Innere Induktivität des Außenleiters:



02.02.10

ET III

 $\Im \infty$

|| Stromkreis muss den betrachteten Fluss umfassen:

$$I_v = \left| \frac{\pi R_3^2 - \pi s^2}{\pi R_3^2 - \pi R_2^2} \right| = \left| \left(1 - \frac{\pi(s^2 - R_2^2)}{\pi(R_3^2 - R_2^2)} \right) \right|$$

$$d\psi = d\phi \cdot \frac{I_v}{I}$$

$$d\phi = \vec{B} \cdot d\vec{A}$$

im Bereich

$$R_2 < s < R_3$$

Merke Kunstgriff

Außenleiter:

$$\psi_{i2} = \int_{s=R_2}^{R_3} d\psi$$

$$= \frac{\mu_0 I \cdot l}{2\pi} \left[\frac{R_3^4}{(R_3^2 - R_2^2)^2} \ln\left(\frac{R_3}{R_2}\right) + \frac{1}{4} \cdot \frac{R_2^2 - 3R_3^2}{R_3^2 - R_2^2} \right]$$

$$L_{i2} = \frac{\psi_{i2}}{I} \quad L_{i2}' = \frac{L_{i2}}{l}$$

Zusammengefasst:

$$L_i' = L_{i1}' + L_{i2}'$$

$$L' = L_i' + L_a' \quad (\text{gesamte längenbezogene innere Induktivität})$$

Reihenschaltung



02.02.10

ET III

b)

$$\omega_m = \iiint_V \frac{\overbrace{B^2}^{w_m}}{2\mu_0} dV$$

$$dV = s ds dz$$

$$dV = 2\pi s e ds$$

$$\omega_m = \frac{\pi e}{\mu_0} \int_{R_1}^{R_3} B^2(s) s ds$$

$$= \frac{\ell \cdot \mu_0 I^2}{4\pi} \left[\int_{s=0}^{R_1} \frac{s^3}{R_1^4} ds + \int_{s=R_1}^{R_2} \frac{ds}{s} + \int_{s=R_2}^{R_3} \frac{1}{s} \frac{R_3^4 - 2R_3^2 s^2 + s^4}{(R_3^2 - R_2^2)^2} ds \right]$$

Weg einsetzbarer

$$\text{Außerdem gilt: } \omega_m = \frac{1}{2} L I^2 = \frac{1}{2} L' e I^2 \quad (\Delta)$$

(gleichsetzen)

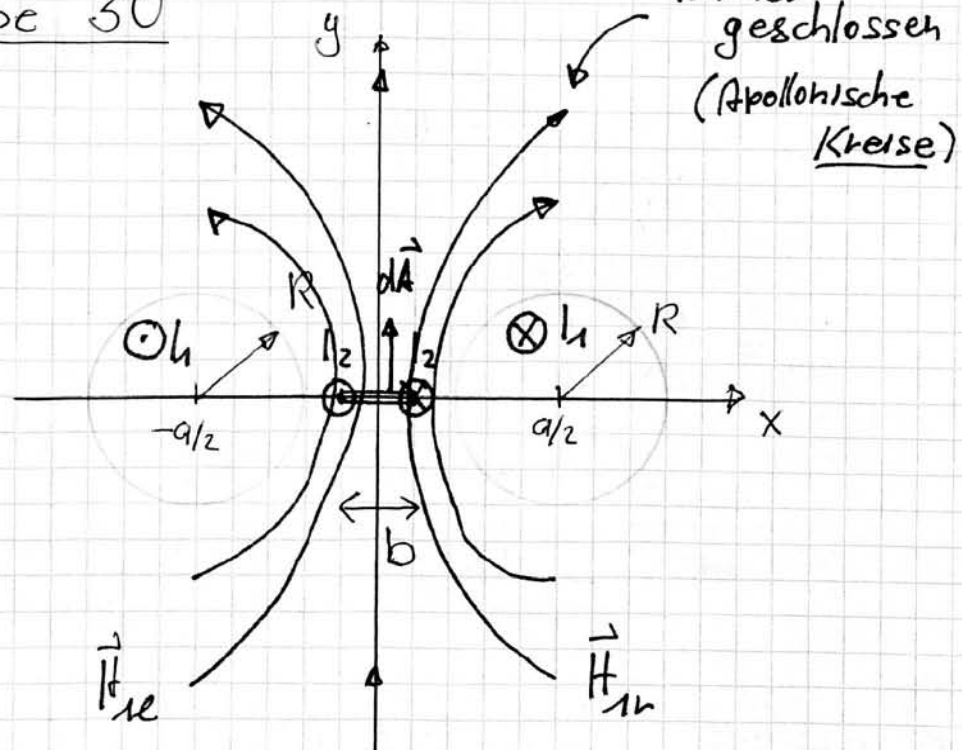
$$\Rightarrow L' = \frac{\mu_0}{2\pi} \left[\frac{1}{4} + \ln\left(\frac{R_2}{R_1}\right) + R_3^4 \frac{1}{(R_3^2 + R_2^2)^2} \ln\left(\frac{R_3}{R_2}\right) + \frac{1}{4} \frac{R_2^2 - 3R_3^2}{R_3^2 - R_2^2} \right]$$

Aufgabe 30

02.02.10

ET III

a)



$$\vec{H}_1 = \vec{H}_{1c} + \vec{H}_{1n}$$

allg: Leiter in der z-Achse: $\vec{H} = \frac{1}{2\pi\mu} \vec{e}_\phi$

$$\vec{H}_1(x) = \frac{I_1}{2\pi(x + \frac{a}{2})} \vec{e}_y + \frac{I_1}{2\pi(\frac{a}{2} - x)} \vec{e}_y$$

b) Gesucht:



$$d\vec{A} = dx \cdot l \cdot \vec{e}_y$$

Annahme (später kürzen)

$$\Phi_{21} = \iint_{A_2} \mu_0 \vec{H}_1 d\vec{A} =$$

02.02.10

ET III

$$\phi_{21} = \ell \cdot \mu_0 \int_{x=-\frac{b}{2}}^{\frac{b}{2}} \left(\frac{l_1}{2\pi(x + \frac{a}{2})} + \frac{l_1}{2\pi(\frac{a}{2} - x)} \right) dx$$

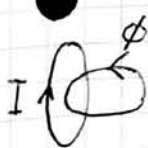
innere Ableitung

$$= \frac{\ell}{2\pi} \mu_0 l_1 \left[\ln\left(x + \frac{a}{2}\right) - \ln\left(\frac{a}{2} - x\right) \right]_{x=\frac{b}{2}}$$

$$\Rightarrow \phi_{21} = 2 \cdot \cancel{\frac{\ell \cdot \mu_0 l_1}{2\pi}} \ln \frac{a+b}{a-b}$$

hier:

ϕ_{21} ist vollständig mit den Leiterschleife 2 verkettet.



$$\chi_{21} = \phi_{21}$$

Selbstinduktivität — Nur 1 Windung ($N=1$)
 L_{11} — dünne Leiter

$$L'_{21} = \frac{\phi_{21}}{l_1 \cdot \ell} = \underline{\underline{\frac{\mu_0}{\pi} \ln\left(\frac{a+b}{a-b}\right)}}$$

Es gilt immer

$$\boxed{L'_{12} = L'_{21}}$$

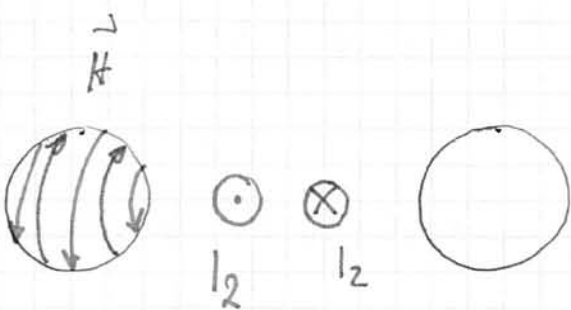
Hier ist aber die Berechnung von L'_{12} wesentlich schwerer. (\leftrightarrow)

Demnach gilt auch immer $\chi_{12} = \chi_{21}$ \triangleright
 (falls $l_1 = l_2$)

Berechnung von L'_{12} erheblich schwieriger! □

02.02.10

ET III



Übung zu

Grundgebiete der Elektrotechnik III

Lehrstuhl für Allgemeine Elektrotechnik und Datenverarbeitungssysteme
Univ.-Prof. Dr.-Ing. T. Noll

WS 09/10 - Blatt 1

Aufgabe 1 R R R R

- Geben Sie das in Zylinderkoordinaten $\vec{r}(\rho, \phi, z)$ vorliegende Vektorfeld $\vec{B}_1(\vec{r}) = \frac{1}{\rho} \cdot \vec{e}_\phi$ in kartesischen Koordinaten an.
- Geben Sie das in Kugelkoordinaten $\vec{r}(r, \theta, \phi)$ vorliegende Vektorfeld $\vec{B}_2(\vec{r}) = \frac{1}{r} \cdot \vec{e}_r$ in kartesischen Koordinaten an.

- Geben Sie das Vektorfeld $\vec{B}_3(\vec{r}_A) = \frac{1}{r_A^2} \cdot \vec{e}_{r_A Q}$ für $\vec{r}_Q = a \cdot \vec{e}_y$ in kartesischen Koordinaten (x_A, y_A, z_A) an.

Anstelle der Flächenladung hat die Kugel nun die Raumladung $\rho_e(r) = \rho_{e0} \cdot r/R$.

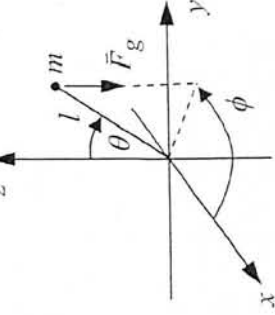
Aufgabe 2 R R R R

Ein starrer, masseloser Stab der Länge l trägt an einem Ende die Masse m . Das andere Ende ist drehbar im Koordinatenursprung gelagert. Auf die Masse m wirkt die Gewichtskraft $\vec{F}_g = -m \cdot g \cdot \vec{e}_z$.

- Wie groß ist jetzt die Gesamtladung der Kugel?

HINWEIS: Der Mittelpunkt der Kugel liegt im Koordinatenursprung.

$$\rho_e(r) = \rho_{e0} \cdot r/R.$$



Berechnen Sie die Zugkraft auf den Stab $F_I = \vec{F}_g \cdot \frac{\vec{l}}{l}$ und das Drehmoment im Ursprung $\vec{L} = \vec{l} \times \vec{F}_g$.

HINWEIS: Der Hebelarm ist $\vec{l} = l \cdot \vec{e}_r$.

Aufgabe 3 R F R R R R

Eine Kugel mit dem Radius R trägt auf der Oberfläche die Flächenladungsdichte $\sigma_e(\theta) = \sigma_{e0} \cdot \cos \theta$.

Das Innere der Kugel ($r < R$) ist ladungsfrei.

- Welche Ladung Q_1 trägt die obere Hälfte der Kugel ($0 \leq \theta \leq \pi/2$)?

HINWEIS: Verwenden Sie bei der Integration die Substitution $u = \sin \theta$.

- Wie groß ist die Gesamtladung der Kugel?

Anstelle der Flächenladung hat die Kugel nun die Raumladung $\rho_e(r) = \rho_{e0} \cdot r/R$.

- Wie groß ist jetzt die Gesamtladung der Kugel?

HINWEIS: Der Mittelpunkt der Kugel liegt im Koordinatenursprung.

Übung zu

Grundgebiete der Elektrotechnik III

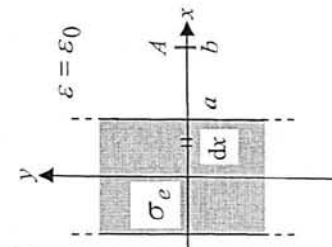
Lehrstuhl für Allgemeine Elektrotechnik und Datenverarbeitungssysteme

Univ.-Prof. Dr.-Ing. T. Noll

WS 09/10 - Blatt 2

Aufgabe 7 (Hausaufgabe) RRRR

Ein in y -Richtung unendlich ausgedehntes Band der Breite $2a$ befindet sich in der $x-y$ -Ebene symmetrisch zur y -Achse (s. Abb.). Das Band trägt die Flächenladungsdichte $\sigma_e > 0$. Gesucht ist die elektrostatische Feldstärke \vec{E} in einem Punkt $A(b, 0, 0)$ auf der x -Achse.



- Welchen Ladungsbetrag trägt ein in y -Richtung ebenfalls unendlich ausgedehntes Stück des Bandes der infinitesimalen Breite dx ?
- Geben Sie einen Ausdruck für den Betrag dE des von einem solchen Teilstück hervorgerufenen elektrostatischen Feldes im Punkt A an. Verwenden Sie dazu den bekannten Ausdruck für das elektrostatische Feld einer unendlich langen, geraden Linienladung.

c) Bestimmen Sie \vec{E} durch Integration über $d\vec{E} = dE \cdot \vec{e}_x$.

- d) Zeigen Sie, dass sich für $b \gg a$ wiederum das Feld einer Linienladung ergibt. Wie groß ist der äquivalente Ladungsbetrag q_L ?

HINWEIS: Verwenden Sie die folgende Näherung für $x = \pm \frac{a}{b}$

$$\ln(1+x) \approx x \quad \text{für } |x| << 1$$

Aufgabe 8 RRRR

Die elektrische Feldstärke \vec{E} außerhalb einer kugelförmigen, homogenen Raumladungsverteilung ρ_e mit dem Radius a und dem Mittelpunkt im Koordinatenursprung soll mithilfe des Ergebnisses aus Aufgabe 5 bestimmt werden. Aus Symmetriegründen kann ohne Beschränkung der Allgemeinheit der Aufpunkt $A(0, 0, b)$ mit $b > a$ gewählt werden.

- Die Kugel soll zunächst in Kreisscheiben parallel zur $x-y$ -Ebene mit der infinitesimalen Dicke dz zerlegt werden. Geben Sie für eine solche Kreisscheibe mit dem Mittelpunkt $(0, 0, z)$ den Radius $R(z)$ und die äquivalente Flächenladungsdichte $d\sigma_e$ an.
- Wie groß ist der von dieser Kreisscheibe erzeugte Feldstärkebeitrag $d\vec{E}$ im Aufpunkt $A(0, 0, b)$?
- Berechnen Sie $\vec{E}(0, 0, b)$ durch Integration über $d\vec{E}$.

HINWEIS:

$$\int \frac{B-x}{\sqrt{A^2 + B^2 - 2Bx}} \cdot dx = \frac{1}{3B} \left(x + \frac{A^2 - 2B^2}{B} \right) \cdot \sqrt{A^2 + B^2 - 2Bx}$$

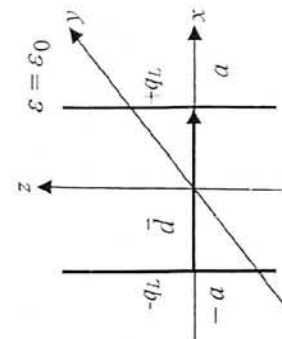
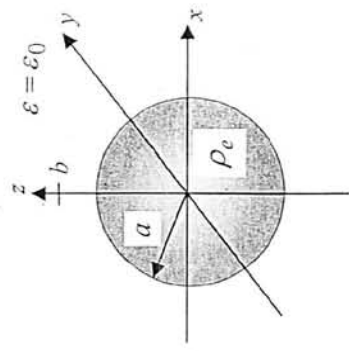
Aufgabe 9 RRRR

Bestimmen Sie in kartesischen Koordinaten das elektrische Feld eines Liniendipols als Grenzübergang einer Anordnung mit zwei unendlich ausgedehnten, parallelen Linienladungen mit Ladungsbeträgen entgegengesetzten Vorzeichen (s. Abb.):

$$d = |\vec{d}| \rightarrow 0, \quad q_L \rightarrow \infty,$$

$$p_L = |\vec{p}_L| = |q_L \cdot \vec{d}| = \text{const};$$

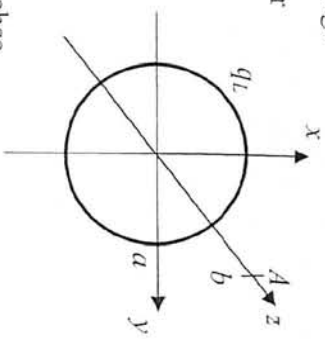
(\vec{p}_L heisst Liniendipolmoment, $a = d/2$).



Aufgabe 4 RRRR

Eine kreisförmige Linienladung mit dem Ladungsbelag $q_L \neq f(\bar{r})$ und dem Radius a liegt in der x - y -Ebene. Im gesamten Raum gilt $\varepsilon = \varepsilon_0$.

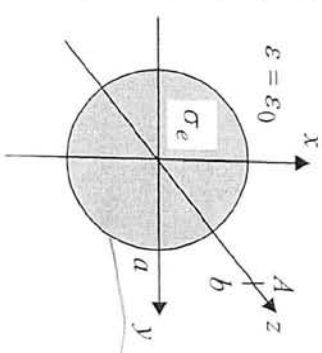
- a) Welches Koordinatensystem ist hier zweckmäßig? Formulieren Sie den Vektor von einem infinitesimalen Ladungselement dQ zu einem Aufpunkt $A(0,0,b)$ auf der z -Achse.



- b) Geben Sie das elektrostatische Feld $\bar{E}(0,0,b)$ der Linienladung an.
c) Welches elektrostatische Feld $\bar{E}(0,0,b)$ ergibt sich näherungsweise für $b \gg a$ (im Fernfeld)?

Aufgabe 5 RRRR

Eine kreisförmige Scheibe mit dem Radius a und der Flächenladungsdichte σ_e befindet sich in der x - y -Ebene. Ihr Mittelpunkt liegt im Ursprung des Koordinatensystems. Mithilfe des Ergebnisses aus Aufgabe 5 soll das auf der z -Achse im Punkt $A(0,0,b)$ erzeugte elektrostatische Feld für $b > c$ berechnet werden (s. Abb.).



- a) Formulieren Sie dQ , \bar{r}_{AQ} und die Integrationsgrenzen zur Bestimmung von \bar{E} im Aufpunkt $A(0,0,b)$ für $b > 0$.
b) Welche Teilintegration ist aus Symmetriegründen trivial? Wie lässt sich das Integral mit dem Ergebnis aus Aufgabe 4 formulieren?

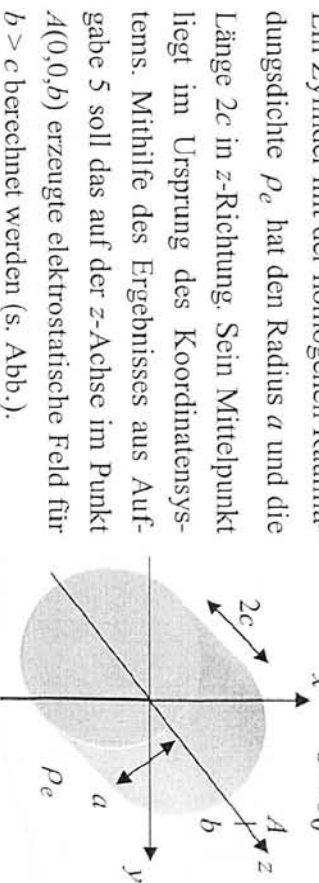
c) Wie groß ist $\bar{E}(0,0,b)$? Was ergibt sich für das Fernfeld ($b \gg a$) auf der z -Achse?

HINWEISE: $\int x \cdot (x^2 + A^2)^{-3/2} dx = -(x^2 + A^2)^{-1/2}$,

$$\frac{1}{\sqrt{1+x}} \approx 1 - \frac{1}{2}x \quad \text{für } |x| \ll 1$$

Aufgabe 6 (Hausaufgabe) RRRR

Ein Zylinder mit der homogenen Raumladungsdichte ρ_e hat den Radius a und die Länge $2c$ in z -Richtung. Sein Mittelpunkt liegt im Ursprung des Koordinatensystems. Mithilfe des Ergebnisses aus Aufgabe 5 soll das auf der z -Achse im Punkt $A(0,0,b)$ erzeugte elektrostatische Feld für $b > c$ berechnet werden (s. Abb.).



a) Welche Flächenladungsdichte $d\sigma_e$ hat ein näherungsweise als Kreisfläche betrachterter Teilzylinder mit dem Radius a und der infinitesimalen Länge dz ? Geben Sie die von einem solchen Teilzylinder mit dem Mittelpunkt $(0,0,z)$ im Punkt $A(0,0,b)$ erzeugte Feldstärke $d\bar{E}$ an.

- b) Berechnen Sie nun $\bar{E}(0,0,b)$ durch Integration über $d\bar{E}$ im Intervall $-c \leq z \leq c$.

$$\vec{E}(0,0,b) = \frac{\rho_e}{\varepsilon_0} \cdot \left(\sqrt{a^2 + (b-c)^2} - \sqrt{a^2 + (b+c)^2} + 2c \right) \cdot \hat{e}_z$$

$b > c$

Die Feldlinien der elektrischen Feldstärke lassen sich für ein ebenes Problem ($z = 0, E_z = 0$) durch die Differentialgleichung $E_\varphi \cdot d\rho = \rho \cdot d\varphi \cdot E_\rho$ in Zylinderkoordinaten beschreiben.

- a) Formulieren Sie die elektrische Feldstärke des idealen Liniendipols aus Aufgabe 9 in Zylinderkoordinaten.

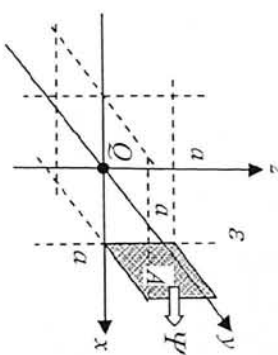
HINWEIS: $\vec{E} = P_L \cdot \left((x^2 - y^2) \cdot \vec{e}_x + 2xy \cdot \vec{e}_y \right) / (2\pi\epsilon_0 \cdot (x^2 + y^2)^2)$

- b) Setzen Sie dieses Ergebnis in die Differentialgleichung ein und ermitteln Sie durch Trennung der Variablen und Integration einen Ausdruck für die Punkte der Feldlinien in Zylinderkoordinaten.
 c) Transformieren Sie dieses Ergebnis in kartesische Koordinaten und zeigen Sie, dass die Feldlinien Kreise in der x-y-Ebene sind.

Aufgabe 11

~~nochmal~~ RRRR

Im Ursprung des Koordinatensystems befindet sich eine Punktladung Q , der Raum hat überall die Permittivität ϵ (s. Abb.).



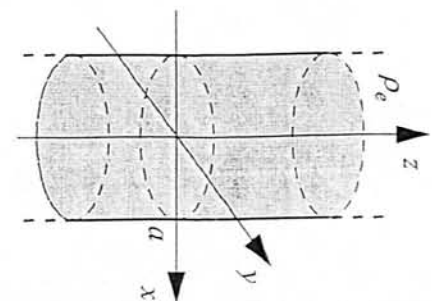
- a) Bestimmen Sie den elektrischen Fluss ψ' durch eine quadratische Fläche A der Kantenlänge a ($x = a, 0 \leq y \leq a, 0 \leq z \leq a$).
 b) Was gilt für den elektrischen Fluss durch die geschlossene Hüllfläche eines Würfels mit der Kantenlänge $2a$?

HINWEIS: $\arctan(\sqrt{3}) = \pi/3$, $\int \frac{1}{(x^2 + B^2)^{3/2}} \cdot dx = \frac{x}{B^2 \cdot \sqrt{x^2 + B^2}}$,

$$\int \frac{1}{(x^2 + B^2) \cdot \sqrt{x^2 + 2B^2}} \cdot dx = \frac{1}{2B^2} \cdot \arctan\left(\frac{x \cdot \sqrt{x^2 + 2B^2}}{B^2}\right).$$

- a) Bestimmen Sie die Ergebnisse von Aufgabe 8 und Aufgabe 11, diesmal mithilfe des Gauß'schen Satzes der Elektrostatik.

- b) Wie groß ist das elektrische Feld im Innenraum der Kugel aus Aufgabe 8?
 c) Bestimmen Sie das elektrische Feld einer in der x-y-Ebene unendlich ausgedehnten, homogenen Flächenladung mit der Flächenladungsdichte σ_e .
 d) Bestimmen Sie die elektrische Flussdichte \bar{D} einer axial unendlich ausgedehnten, zylindrischen, homogenen Raumladungsverteilung mit dem Radius a und der Raumladungsdichte ρ_e (s. Abb.) im Innen- und Außenraum.



Aufgabe 13

~~Hausaufgabe~~ R R

- a) Bestimmen Sie das elektrostatische Potential φ_e der kugelförmigen Raumladungsverteilung aus Aufgabe 8 durch Integration der elektrischen Feldstärke \vec{E} . Legen Sie dabei den Bezugspunkt P_0 in den Ursprung des Koordinatensystems.
 b) Kontrollieren Sie das Ergebnis, indem Sie durch Gradientenbildung aus φ_e wieder \vec{E} berechnen.

- c) Was ergibt sich, wenn P_0 auf dem Kugelrand bzw. im Unendlichen liegt?
 d) Skizzieren Sie $|\vec{E}|$ und φ_e in Abhängigkeit von r für die drei verschiedenen Bezugspunkte.

Übung zu
Grundgebiete der Elektrotechnik III
 WS 09/10 - Blatt 3

F **R** **F** **R**

Aufgabe 14 **F** **R** **F** **R**
 Betrachtet werden zwei Punktladungen mit entgegengesetztem Vorzeichen $\pm Q$ auf der z -Achse im Abstand d symmetrisch zum Ursprung (Bild 1).

- Formulieren Sie das elektrostatische Potential ϕ_e dieser Anordnung in Abhängigkeit von r_1 und r_2 .
 - Ermitteln Sie mithilfe des Kosinussatzes $c^2 = a^2 + b^2 - 2ab \cdot \cos\gamma$ die Abstände r_1 und r_2 und geben Sie deren Kehrwerte als Funktion von $1/r$ und θ an.
- Verwenden Sie für die Ausdrücke $1/r_1$ und $1/r_2$ die Näherung

$$\left(1 + \frac{d}{r}\right)^{-1/2} \approx 1 - \frac{1}{2} \cdot \frac{d}{r} \quad (\text{falls } \frac{d}{r} \ll 1).$$

- Bestimmen Sie das elektrostatische Potential ϕ_D eines Punktdipols als Grenzwert $d \rightarrow 0$ bei konstantem Dipolmoment $p = Q \cdot d$.
- Geben Sie die Komponenten der elektrischen Feldstärke \vec{E}_D durch Gradientenbildung von ϕ_D in Kugelkoordinaten an. Was fällt bei der Abhängigkeit von $|\vec{E}_D|$ bzw. ϕ_D von r auf?

Aufgabe 15 **F** **R** **P** **R** **R**

Gegeben ist die zylinderförmige Raumladungsverteilung aus Aufgabe 12 d.
 a) Formulieren Sie die Poisson- und Laplace-Gleichung in einem geeigneten Koordinatensystem. Welche Terme entfallen aus Symmetriegründen?

- Bestimmen Sie das elektrostatische Potential ϕ_e der Raumladungsverteilung im Innen- und Außenraum mit dem Ergebnis aus a) durch zweifache Integration. Bestimmen Sie die Integrationskonstanten so, dass \vec{E} und ϕ_e überall stetig sind. Wählen Sie $\phi_e = 0$ auf der z -Achse.

Aufgabe 16 **F** **R**

Gesucht ist das elektrostatische Potential ϕ_e von zwei parallelen, in z -Richtung unendlich ausgedehnten Linienladungen: q_L schneidet die x -Achse bei $x = a, -q_L$ bei $x = -a$. Im Koordinatenursprung soll $\phi_e = 0$ gelten.

- Formulieren Sie ϕ_e in Abhängigkeit von ρ_1 und ρ_2 , wobei ρ_1 und ρ_2 den jeweiligen Abstand des Aufpunktes von q_L bzw. $-q_L$ beschreiben.

HINWEIS: Das Potential einer Linienladung q_L in der z -Achse mit dem Bezugspunkt bei ρ_0 lautet $\phi_e = -\frac{q_L}{2\pi\epsilon} \cdot \ln \frac{\rho}{\rho_0}$.

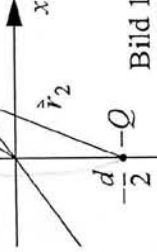


Bild 1

- Zeigen Sie, dass für jede Äquipotentialfläche gilt: $\left(\frac{\rho_2}{\rho_1}\right)^2 = k^2$ mit $k = \text{const.}$
- Formulieren Sie die Bedingung aus b) in kartesischen Koordinaten.

- Bringen Sie die Gleichung aus c) in die Form $(x - x_0)^2 + y^2 = R^2$ und bestimmen Sie die Größen x_0 und R in Abhängigkeit von k .
- Welche geometrische Form haben die Äquipotentialflächen dieser Anordnung?

Aufgabe 17 **F** **R** **P** **R**

$$|\vec{E}_0| = \frac{P}{4\pi\epsilon_0 r^3} \sqrt{4\cos^2\alpha + \sin^2\alpha}$$

Betrachtet wird ein Winkelkondensator mit dem Öffnungswinkel α und Kondensatorplatten der Länge a , der Ausdehnung in z -Richtung b und dem Abstand ρ_0 vom Ursprung (Bild 2). Zwischen den Platten liegt die Spannung U an. Es sollen keine Streueffekte an den Rändern des Kondensators auftreten, d. h. im Innen- und Außenraum gilt $\vec{E} = E_\phi(\rho, \phi) \cdot \hat{e}_\phi$.

Übung zu
Grundgebiete der Elektrotechnik III

WS 09/10 - Blatt 4

- für $|r| > R$ (außen). \vec{E}_D beschreibt dabei das elektrische Feld eines Dipols mit dem Dipolmoment $\vec{p} = p \cdot \hat{e}_z$ (vgl. Aufgabe 14).
- Formulieren Sie den Lösungsansatz innerhalb und außerhalb der Kugel in Kugelkoordinaten.

- Stellen Sie mit den Grenzflächenbedingungen für die elektrische Feldstärke und die elektrische Flussdichte an der Kugeloberfläche ($r = R$) zwei Gleichungen zur Bestimmung der Unbekannten E_i und p auf.
- Berechnen Sie die Unbekannten E_i und p in Abhängigkeit von den bekannten Größen E_0 und ϵ_r .
- Überprüfen Sie das Ergebnis aus c) für den Spezialfall $\epsilon_r = 1$.
- Was ergibt sich für den Grenzfall $\epsilon_r \rightarrow \infty$?

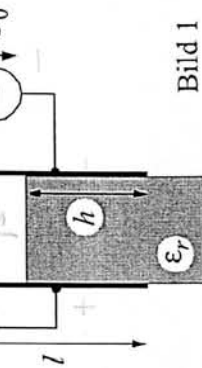
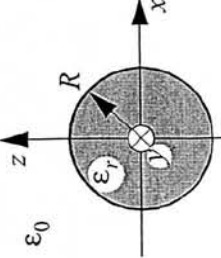


Bild 1

- a) Berechnen Sie die Kapazität $C(h)$, die Energie $W_C(h)$ und die Ladung $Q(h)$ des Kondensators abhängig von der Position des Dielektrikums.
- b) Das Dielektrikum wird von h_1 bis h_2 ($h_2 > h_1$) in den Kondensator geschoben. Welche Ladung ΔQ wird dafür von der Spannungsquelle geliefert? Um welchen Beitrag ΔW_Q ändert sich die Energie der Spannungsquelle?
- c) Welche mechanische Arbeit $W_{\text{mech}} > 0$ wird beim Verschieben gewonnen? Stellen Sie dazu eine Energiebilanz auf.
- d) Geben Sie abhängig von h die auf das Dielektrikum ausgeübte Kraft an.

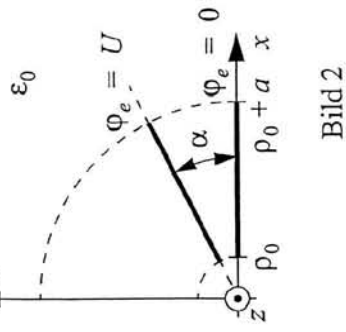
- Aufgabe 21** (Hausaufgabe) R
- Ein Plattenkondensator mit quadratischen Platten der Kantenlänge l im Abstand d ist bis zur Höhe h mit einem Dielektrikum der relativen Permittivität ϵ_r gefüllt (Bild 1). Zwischen den Platten liegt die konstante Spannung U_0 an. Streueffekte des elektrischen Feldes sind zu vernachlässigen.
- a) Bestimmen Sie die Kapazität $C(h)$, die elektrische Stromdichte \vec{J} und die elektrische Flussdichte \vec{D} zwischen den Platten.
- b) Welche Ladung $\pm Q$ tragen die Platten? Wie groß sind die Kapazität C und der elektrische Widerstand R der Anordnung? Geben Sie einen Zusammenhang zwischen R und C an.
- c) Zum Zeitpunkt $t = t_0$ wird die Spannungsquelle abgetrennt. Geben Sie den zeitlichen Verlauf von $Q(t)$ und $\vec{E}(t)$ an.



- Aufgabe 22** (Wohnheim) R
- In ein ursprünglich homogenes elektrostatisches Feld $\vec{E}_0 = E_0 \cdot \hat{e}_z$ wird eine dielektrische Kugel mit dem Radius R und der Permittivität $\epsilon_r \cdot \epsilon_0$ eingebracht (Bild 2). Außerhalb der Kugel gilt $\epsilon = \epsilon_0$. Für das resultierende elektrostatische Feld der Anordnung Vom der folgenden Lösungsansatz gewählt werden:

Aufgabe 19

- a) Bestimmen Sie \vec{E} und das elektrostatische Potential φ_e in Zylinderkoordinaten im Innen- und Außenraum des Kondensators.
- b) Geben Sie die elektrische Flussdichte \vec{D} unmittelbar ober- und unterhalb der unteren Platte an. Wie groß ist die Ladung Q auf der unteren Platte?
- c) Was ergibt sich für die Kapazität C des Kondensators?



Aufgabe 18

Gegeben sind zwei parallele, in z -Richtung unendlich ausgedehnte Zylindrerleiter mit dem Radius R und dem Achsenabstand $2x_0$, mit $x_0 > R$.

- a) Für welche Parameter k_1 und k_2 in Abhängigkeit von R und x_0 stimmen die Äquipotentialflächen einer Anordnung aus zwei Linienladungen $\pm q_L$ mit den Oberflächen der Zylinderleiter überein? Verwenden Sie das Ergebnis aus Aufgabe 16.

- b) Welche elektrische Spannung U_{12} besteht zwischen den beiden Äquipotentialflächen in Abhängigkeit von q_L ? Welche Ladung $\pm \Delta Q$ pro Länge Δl müssen die Zylinderleiter tragen, damit sich im Außenraum der gleiche Feldverlauf ergibt?

- c) Wie groß ist der Kapazitätsbelag $C' = \Delta C / \Delta l$ der Anordnung? Verwenden Sie dazu den Ansatz $\Delta C = \Delta Q / U_{12}$.

Aufgabe 19

Eine Leiterbahn einer integrierten Schaltung (Bild 4) mit den Abmessungen $w=0.4\mu\text{m}$, $d=0.25\mu\text{m}$ verläuft im Abstand $h=0.25\mu\text{m}$ über einer leitenden Ebene. Das Isoliernmaterial zwischen Leiterbahn und Ebene ist SiO_2 mit $\epsilon_r \approx 4$.

- a) Bestimmen Sie den Kapazitätsbelag C' der Anordnung näherungsweise, indem Sie die Bodenfläche und die Seitenflächen des Leiters als Elektroden von Platten- bzw. Winkelkondensatoren zur Ebene betrachten.

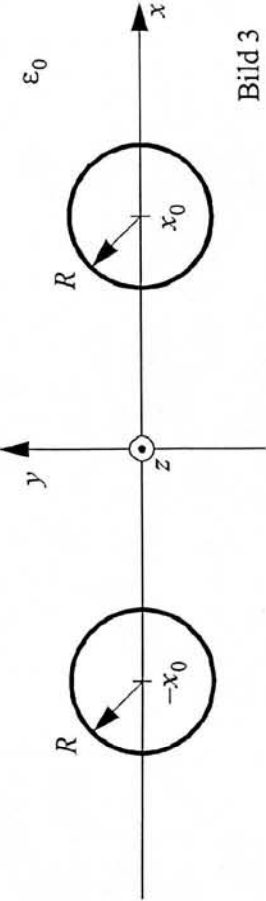
Alternativ kann C' durch eine andere Näherung berechnet werden (Bild 5).

- b) Bestimmen Sie mit dem Ergebnis aus Aufgabe 18c den Kapazitätsbelag eines Zylinders mit dem Durchmesser d im Abstand h über einer Ebene.
- c) Berechnen Sie C' , indem Sie die Leiterbahn als Kombination einer plattenförmigen und einer zylinderförmigen Elektrode betrachten.

Aufgabe 20 (Zusatzaufgabe)

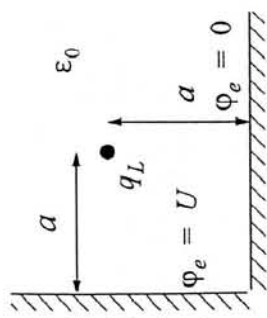
Die Elektroden eines luftgefüllten Plattenkondensators mit der Fläche A im Abstand d tragen die Ladung $\pm Q = \text{const}$. Streueffekte des elektrischen Feldes sind zu vernachlässigen.

- a) Wie groß ist die im Kondensator gespeicherte elektrostatische Energie?
- Bestimmen Sie die Kraft F zwischen den Platten mit der Methode der virtuellen Verschiebung.



Aufgabe 24 (Hausaufgabe)

Eine unendlich lange Linienladung q_L befindet sich jeweils im Abstand a vor zwei rechtwinklig angeordneten, leitenden Halbebenen (Bild 3). Eine Halbebene hat das Potential U , die andere das Potential Null. Es gilt $\epsilon = \epsilon_0$.

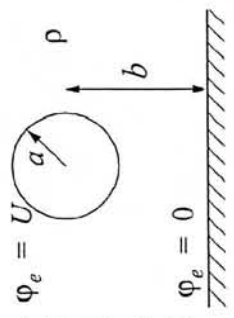


- Bestimmen Sie das elektrische Feld der Linienladung zunächst für $U = 0$ mithilfe der Spiegelungsmethode.
- Berechnen Sie das gesamte elektrische Feld durch Überlagerung des Feldes aus a) mit dem eines Winkelkondensators für $U > 0$.

Aufgabe 25 (Hausaufgabe)

Zwischen einem axial unendlich ausgedehnten, ideal leitenden Zylinder mit dem Radius a und einer dazu parallelen, ideal leitenden, geerdeten Ebene im Abstand $b - a$ liegt die Spannung U an. Der Halbraum um den Zylinder herum hat den spezifischen Widerstand ρ (Bild 4).

Bild 4



- Welchem elektrostatischen Problem entspricht diese Anordnung?
- Bestimmen Sie das elektrische Potential φ_e und das stationäre Strömfeld \vec{j} zwischen Zylinder und Ebene.
- Welcher Strom pro Längeneinheit I tritt aus dem Zylinder aus?

Aufgabe 26

Gegeben ist ein halber Zylinderkondensator mit dem Innendurchmesser P_i , dem Außenradius P_a und der Länge l (Bild 5). Der Kondensator ist mit einem Material der Permittivität ϵ gefüllt. Randeffekte sind zu vernachlässigen.

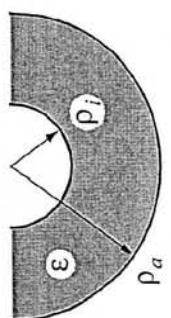


Bild 5

- Wie groß sind die Kapazität C bzw. die längenbezogene Kapazität C der Anordnung?
- Betrachten Sie das analoge Problem des stationären Strömfeldes, d.h. das Füllmaterial hat die Leitfähigkeit σ . Ist hier die Angabe eines längenbezogenen Widerstandes (R') oder eines längenbezogenen Leitwertes (G') sinnvoll? Bestimmen Sie diese Größe.
- Skizzieren Sie die Feldlinien und die Lage der Äquipotentialflächen des entsprechenden stationären Strömfeldes.
- Welches ist die duale Struktur der Anordnung?
- Bestimmen Sie den längenbezogenen Leitwert G' dieser Anordnung.

Aufgabe 27

Ein Elektron (Ladung $-e$, Masse m_0) wird zwischen zwei Metallgittern mit der Spannung U beschleunigt und erreicht zum Zeitpunkt $t = 0$ ein homogenes Magnetfeld \vec{B}_0 , welches nur im Bereich $x \geq 0$ existiert (Bild 6).

Bild 6

- Wie groß ist die Geschwindigkeit $v_0 \ll c$ beim Eintritt in das Magnetfeld?
- Berechnen Sie die Lorentzkraft \vec{F}_0 , die für $t = 0$ auf das Elektron wirkt.
- Warum bewegt sich das Elektron im Bereich des Magnetfeldes auf einer Kreisbahn? Berechnen Sie den Radius der Kreisbahn.

HINWEIS: Zentripetalkraft einer Kreisbahn mit Radius R : $F_z = m_0 \cdot v^2 / R$

- Wo, zu welchem Zeitpunkt t_1 und in welcher Richtung verlässt das Elektron das Magnetfeld?
- Welche kinetische Energie hat das Elektron vor dem Eintritt in das Magnetfeld und nach dem Austritt?

Übung zu
Grundgebiete der Elektrotechnik III
 WS 09/10 - Blatt 5

Aufgabe 28

Gegeben sind zwei in z -Richtung unendlich ausgedehnte, parallele Leiter mit Abstand $2a$, die von den Strömen I_1 bzw. I_2 durchflossen werden (Bild 1). Ausgehend von der in der Vorlesung hergeleiteten Gesamtfeldstärke $\vec{H}_{\text{ges}}(x, y)$ ist eine parametrische Darstellung der Feldlinien von \vec{H}_{ges} für $I_1 = I_2 > 0$ bzw. $I_1 = -I_2 > 0$ gesucht. Gehen Sie dabei folgendermaßen vor:

- a) Zeigen Sie, dass entlang einer Feldlinie von $\vec{H}_{\text{ges}}(x, y)$ gilt:
 $H_x \cdot dy = H_y \cdot dx$.

- b) Berechnen Sie dann mithilfe einer unbestimmteten Integration
 $\int H_x \cdot dy = \int H_y \cdot dx$ die parametrische Darstellung der Feldlinien.

HINWEIS: $\int \frac{f'(x)}{f(x)} dx = \ln|f(x)|$

- c) Welche Dualitäten zum elektrostatischen Feld ergeben sich?

Aufgabe 29 (Hausaufgabe)

Eine dreieckige, gleichschenklige Leiterschleife der Höhe h und Breite b ist drehbar um die z -Achse gelagert (Bild 2). Sie wird vom Strom I durchflossen und befindet sich in einem homogenen Magnetfeld $\vec{B} = B_0 \cdot \hat{e}_x$.

- a) Welches mechanische Drehmoment $\vec{L} = L_z \cdot \hat{e}_z$ wirkt auf die Schleife?
 b) Für welche Winkel α_1, α_2 ist das Drehmoment Null? In welcher Lage

Im Folgenden ist das Magnetfeld ortsabhängig mit $\vec{B} = B_0 \cdot (1 + z/h) \cdot \hat{e}_x$. Gesucht wird wiederum das Drehmoment L_z um die z -Achse.

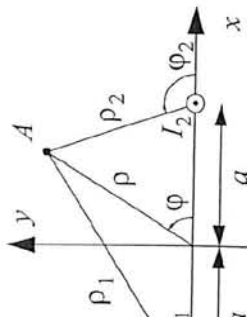


Bild 1
 ist eine parametrische Darstellung der Feldlinien von \vec{H}_{ges} für $I_1 = I_2 > 0$ bzw. $I_1 = -I_2 > 0$ gesucht. Gehen Sie dabei folgendermaßen vor:
 a) Zeigen Sie, dass entlang einer Feldlinie von $\vec{H}_{\text{ges}}(x, y)$ gilt:
 $H_x \cdot dy = H_y \cdot dx$.

b) Berechnen Sie dann mithilfe einer unbestimmteten Integration
 $\int H_x \cdot dy = \int H_y \cdot dx$ die parametrische Darstellung der Feldlinien.

HINWEIS: $\int \frac{f'(x)}{f(x)} dx = \ln|f(x)|$

- c) Welche Dualitäten zum elektrostatischen Feld ergeben sich?

Im Folgenden ist das Magnetfeld ortsabhängig mit $\vec{B} = B_0 \cdot (1 + z/h) \cdot \hat{e}_x$. Gesucht wird wiederum das Drehmoment L_z um die z -Achse.

c) Zunächst soll der Beitrag dL_z eines infinitesimalen Leiterstücks $d\vec{s}$ berechnet werden. Welche Komponente (in Zylinderkoordinaten) der Kraft

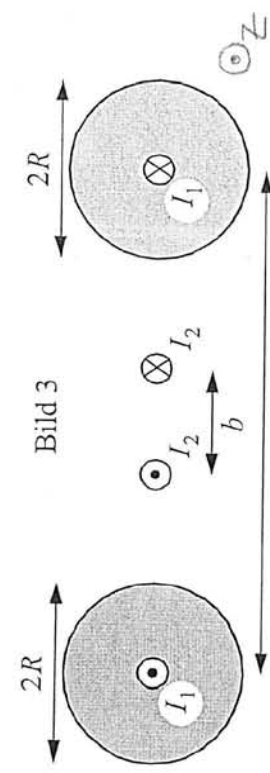
$d\vec{F} = I \cdot d\vec{s} \times \vec{B}$ trägt zu dL_z bei? Aus welchen Komponenten von $d\vec{s}$ und \vec{B} ergibt sich diese Komponente von $d\vec{F}$?

- d) Berechnen Sie die gesuchte Komponente von $d\vec{F}$ und daraus dL_z .
 e) Begründen Sie, warum das in der x - y -Ebene liegende Schleifensegment nicht zu L_z beiträgt. Bestimmen Sie L_z durch Integration über z .

Aufgabe 30

Die beiden äußeren Leiter der abgebildeten Zweidrahtleitung haben den Radius R und den Achsenabstand a . Sie dienen als Hin- und Rückleiter für den Strom I_1 . In der Mitte der äußeren Zweidrahtleitung befindet sich eine weitere Zweidrahtleitung mit sehr dünnen Leitern im Abstand b und dem Strom I_2 (Bild 3).

- a) Bestimmen Sie die magnetische Feldstärke \vec{H}_1 , die die äußere Zweidrahtleitung zwischen den beiden inneren Leitern erzeugt.
 b) Berechnen Sie die längenbezogene äußere Gegeninduktivität L'_{21} der Gesamtanordnung. Bestimmen Sie daraus L'_{12} .



Die beiden äußeren Leiter der abgebildeten Zweidrahtleitung haben den Radius R und den Achsenabstand a . Sie dienen als Hin- und Rückleiter für den Strom I_1 . In der Mitte der äußeren Zweidrahtleitung befindet sich eine weitere Zweidrahtleitung mit sehr dünnen Leitern im Abstand b und dem Strom I_2 (Bild 3).

- a) Bestimmen Sie die magnetische Feldstärke \vec{H}_1 , die die äußere Zweidrahtleitung zwischen den beiden inneren Leitern erzeugt.
 b) Berechnen Sie die längenbezogene äußere Gegeninduktivität L'_{21} der Gesamtanordnung. Bestimmen Sie daraus L'_{12} .

Zusatzaufgabe zu
Grundgebiete der Elektrotechnik III

WS 09 / 10 - Blatt 6

Aufgabe 34

Gesucht ist das magnetische Vektorpotential \vec{A}_{mA} in einem Aufpunkt A eines unendlich ausgedehnten Linienstroms I in der z -Achse (Bild 1). Der Aufpunkt kann aus Symmetriegründen in die x - y -Ebene gelegt werden. Es gilt:

$$\vec{A}_{mA} = \frac{\mu \cdot I}{4\pi} \oint_{C_Q} \frac{d\hat{s}}{r_{AQ}}$$

Dabei umfasst C_Q den gesamten Linienstrom.

- Geben Sie die Quell- und Aufpunktvektoren \vec{r}_Q und \vec{r}_A in Zylinderkoordinaten an.
- Zunächst soll das Integral für \vec{A}_{mA} über ein endliches Stück des Linienstroms berechnet werden, $-a \leq z_Q \leq a$. Stellen Sie einen entsprechenden Integralausdruck auf.
- Lösen Sie das Integral unter Beibehaltung der Länge a .

INWEIS: $\int \frac{dx}{\sqrt{x^2 + a^2}} = \ln(x + \sqrt{x^2 + a^2}) + C$

- Betrachten Sie den Fall $a \gg r_A$. Formulieren Sie das Ergebnis so, dass Sie die unten angegebene Näherung verwenden können.

INWEIS: $\sqrt{1 + x^2} \approx 1 + \frac{x^2}{2}$ für $x^2 \ll 1$

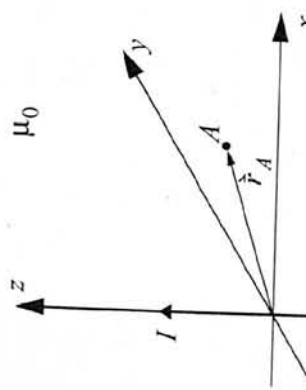


Bild 1

- Zerlegen Sie den Ausdruck für \vec{A}_{mA} in eine Summe aus einem konstanten Anteil und einem von \vec{r}_A abhängigen Teil. Welcher Anteil erfüllt $\vec{B}_A = \operatorname{rot} \vec{A}_{mA}$ für die Berechnung des Magnetfeldes?

(Hausaufgabe)

Aufgabe 31

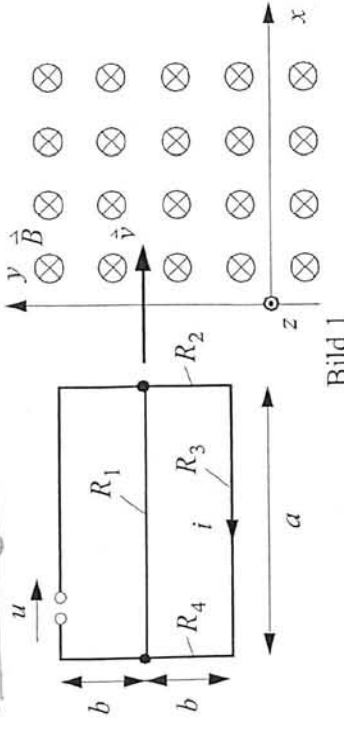


Bild 1

Eine Drahtschleife besteht aus zwei Maschen und bewegt sich mit der Geschwindigkeit \vec{v} in das Magnetfeld \vec{B} , das sich über die gesamte rechte Halbebene ($x \geq 0$) erstreckt (Bild 1). Zum Zeitpunkt $t = 0$ tritt die rechte Kante der Schleife in das Feld ein. Das vom Strom i verursachte Magnetfeld ist zu vernachlässigen.

- Wie groß ist der Strom i für $a = 30\text{cm}$, $b = 10\text{cm}$, $v = 1\text{ms}^{-1}$, $B = 1\text{T}$ und $R_1 = R_2 = R_3 = R_4 = 5\Omega$?

- Was ergibt sich damit für die Spannung u ?

- Skizzieren Sie $i(t)$ und $u(t)$ im Zeitbereich $0 \leq t \leq 0,5\text{s}$.

- Welcher Strom $i(t)$ ergibt sich, falls $B(t) = 1\text{T} \cdot e^{-t/\tau}$ mit $\tau = 0,1\text{s}$?

(Hausaufgabe)

Aufgabe 32 (Hausaufgabe)

Gegeben ist ein unendlich langes Koaxialkabel, dessen Innenleiter mit Radius R_1 den Strom I führt. Der Außenleiter (R_2, R_3) dient als Rückleiter (Bild 2).

- Berechnen Sie die längenbezogene innere und äußere Induktivität. Verwenden Sie dabei zunächst die Definition der Induktivität über die Flussverkettung.

- Kontrollieren Sie Ihr Ergebnis mit der Definition der Induktivität über die Energie des magnetischen Feldes.

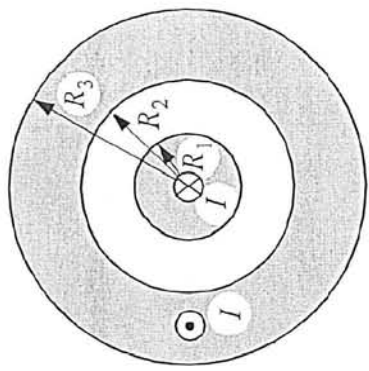


Bild 2

Aufgabe 33

Eine schlanke Zylinderspule der Länge l ist in zwei Lagen mit je N Windungen gewickelt (Bild 3).

- Wie groß ist die magnetische Flussdichte \vec{B} für $\rho < R_i$ und für $R_i < \rho < R_a$?
- Berechnen Sie die verketteten Flüsse Ψ_i und Ψ_a der inneren und der äußeren Lage.

- Berechnen Sie mit dem Ergebnis aus b) die Induktivität der Spule.

Bild 3

ketov@gmx.de

27.10.09 (1)

Kleingruppe a) Im gegebenen Beispiel müssen verschobene Felder beschrieben werden. Verschiebungen lassen sich in Kugelkoordinaten nur sehr umständlich beschreiben, da \vec{e} nicht fest sind. (\Rightarrow Kartesische Koord.)

$$\frac{\epsilon_0 \stackrel{!}{=} \text{Vakuum}}{(\epsilon = \epsilon_0)}$$

- Kugelsymmetrische Anordnungen lassen sich leicht in Kugelkoordinaten beschreiben. (z.B. Punktladung im Ursprung)

b.) $\vec{E}_0 = \frac{Q}{4\pi \cdot \epsilon_0} \cdot \frac{\vec{r}_A}{r_A^3} = \frac{Q}{4\pi \cdot \epsilon_0} \cdot \frac{X_A \cdot \vec{e}_x + Y_A \cdot \vec{e}_y + Z_A \cdot \vec{e}_z}{[X_A^2 + Y_A^2 + Z_A^2]^{\frac{3}{2}}}$

"Punktladung verschoben"

$$\vec{E}_1 = \frac{Q_1}{4\pi \cdot \epsilon_0} \cdot \frac{\vec{r}_{A1}}{r_{A1}^3} = \frac{Q}{4\pi \cdot \epsilon_0} \cdot \frac{(X_A - a) \cdot \vec{e}_x + Y_A \cdot \vec{e}_y + Z_A \cdot \vec{e}_z}{[(X_A - a)^2 + Y_A^2 + Z_A^2]^{\frac{3}{2}}}$$

$$\vec{E}_2 = \frac{Q_2}{4\pi \cdot \epsilon_0} \cdot \frac{\vec{r}_{A2}}{r_{A2}^3} = \frac{Q}{4\pi \cdot \epsilon_0} \cdot \frac{X_A \cdot \vec{e}_x + (Y_A - a) \cdot \vec{e}_y + Z_A \cdot \vec{e}_z}{[X_A^2 + (Y_A - a)^2 + Z_A^2]^{\frac{3}{2}}}$$

da $\epsilon = \epsilon_0$, $\vec{r}_{A1} = \vec{r}_A - \vec{r}_1 = X_A \cdot \vec{e}_x + Y_A \cdot \vec{e}_y + Z_A \cdot \vec{e}_z - a \cdot \vec{e}_x$

\Rightarrow NUR in kartesischen allg. gültig!

c) $\vec{E}_{\text{ges}} = \vec{E}_1 + \vec{E}_2$ (Superposition)

$$= \frac{Q}{4\pi \epsilon_0} \left[\frac{(X_A - a) \vec{e}_x + Y_A \cdot \vec{e}_y + Z_A \cdot \vec{e}_z}{[(X_A - a)^2 + Y_A^2 + Z_A^2]^{\frac{3}{2}}} + \frac{X_A \vec{e}_x + (Y_A - a) \vec{e}_y + Z_A \cdot \vec{e}_z}{[X_A^2 + (Y_A - a)^2 + Z_A^2]^{\frac{3}{2}}} \right]$$

$$= \frac{Q}{4\pi \cdot \epsilon_0} \left[\frac{(X_A - a)}{[(X_A - a)^2 + Y_A^2 + Z_A^2]^{\frac{3}{2}}} + \frac{X_A}{[X_A^2 + (Y_A - a)^2 + Z_A^2]^{\frac{3}{2}}} \right] \cdot \vec{e}_x +$$

$$\frac{Q}{4\pi \cdot \epsilon_0} \left[\frac{Y_A}{[(X_A - a)^2 + Y_A^2 + Z_A^2]^{\frac{3}{2}}} + \frac{Y_A - a}{[X_A^2 + (Y_A - a)^2 + Z_A^2]^{\frac{3}{2}}} \right] \cdot \vec{e}_y +$$

$$\frac{Q}{4\pi \cdot \epsilon_0} \left[\frac{Z_A}{[(X_A - a)^2 + Y_A^2 + Z_A^2]^{\frac{3}{2}}} + \frac{Z_A}{[X_A^2 + (Y_A - a)^2 + Z_A^2]^{\frac{3}{2}}} \right] \cdot \vec{e}_z$$

(2)

- a.) $E_y = 0$, da Vektoren \vec{r}_{Aq_L} keine y-Komponente haben. Kleingruppe
 $E_z = 0$, da sich immer zwei Vektoren finden, dessen z-Komponente jeweils entgegengesetzt sind.

b.)

$$d\vec{E} = \frac{dQ}{\epsilon_0 \cdot 4\pi} \cdot \frac{\vec{r}_{Aq_L}}{r_{Aq_L}^3} = \frac{dQ}{4\pi \cdot \epsilon_0} \cdot \frac{X_A \cdot \vec{e}_x - Z_q \cdot \vec{e}_z}{[X_A^2 + Z_q^2]^{\frac{3}{2}}}$$

Coulomb-Gesetz mit „ dE “, „ dQ “

$$q_L = \frac{dQ}{dz}$$

$$\vec{r}_{Aq_L} = X_A \cdot \vec{e}_x - Z_q \cdot \vec{e}_z$$

$$dE_x = d\vec{E} \cdot \vec{e}_x = \frac{q_L \cdot dz}{4\pi \cdot \epsilon_0} \cdot \frac{X_A \cdot \vec{e}_x \cdot \vec{e}_x - Z_q \cdot \vec{e}_z \cdot \vec{e}_x}{[X_A^2 + Z_q^2]^{\frac{3}{2}}} \\ = \frac{q_L \cdot dz}{4\pi \cdot \epsilon_0} \cdot \frac{X_A}{[X_A^2 + Z_q^2]^{\frac{3}{2}}}$$

c.) „über Quellgebiet integrieren“

symmetrisches Integral
= 0

Sind eig.
2. Integrale!

$$\vec{E} = \int d\vec{E} = \int_{z=-a}^a \frac{q_L \cdot dz}{4\pi \cdot \epsilon_0} \cdot \frac{X_A \cdot \vec{e}_x - Z_q \cdot \vec{e}_z}{[X_A^2 + Z_q^2]^{\frac{3}{2}}}$$

$$= \frac{q_L \cdot X_A \cdot \vec{e}_x}{4\pi \cdot \epsilon_0} \int_{z=-a}^a \frac{dz}{[X_A^2 + Z_q^2]^{\frac{3}{2}}}$$

$$dE_x = d\vec{E} \cdot \vec{e}_x$$

auch mögl.

„aus Symm. folgt“

$$= \frac{q_L \cdot X_A \cdot \vec{e}_x}{4\pi \cdot \epsilon_0} \left[\frac{z}{X_A \sqrt{X_A^2 + z^2}} \right]_{z=-a}^a$$

Vgl. mit
langer
Linienladung
→

$$= \frac{q_L \cdot X_A \cdot \vec{e}_x}{2 \cdot 4\pi \cdot \epsilon_0} \cdot \frac{\sqrt{a}}{X_A \sqrt{X_A^2 + a^2}} = \frac{q_L \cdot a}{2 \cdot \pi \cdot \epsilon_0 \cdot X_A \cdot \sqrt{X_A^2 + a^2}} \cdot \vec{e}_x$$

27.10.09

Anmerkung:

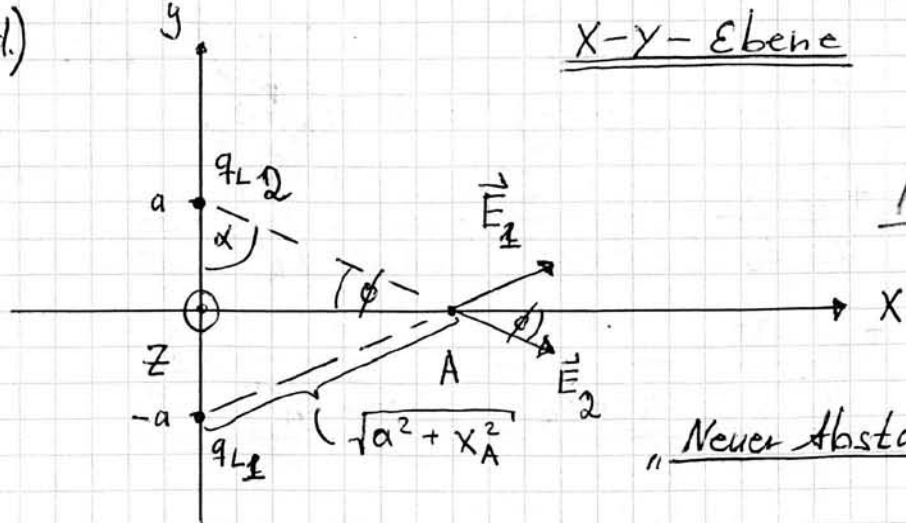
Kleingruppe

Nicht das
kompl. Feld!Mit Bedacht
X setzen!

$$\vec{E}_o = X_0 \cdot \vec{e}_x + y_0 \cdot \vec{e}_y + z_0 \cdot \vec{e}_z$$

$$E_x = X_0 = \vec{E}_o \cdot \vec{e}_x = X_0 \cdot \underbrace{\vec{e}_x \cdot \vec{e}_x}_{=1} + y_0 \cdot \underbrace{\vec{e}_y \cdot \vec{e}_x}_{=0} + z_0 \cdot \underbrace{\vec{e}_z \cdot \vec{e}_x}_{=0}$$

„Projektion“

d.) X-y-EbeneA(x_A, 0, 0)„Neuer Abstand“Symmetrie

e) neuer Abstand $d = \sqrt{a^2 + x_A^2}$

Beachte: $\nabla \ln \vec{E}$ aus c) für x_A

Nur Betrag bekannt

$$|\vec{E}_1| = |\vec{E}_2| = \frac{q_L \cdot a}{2\pi \cdot \epsilon_0} \cdot \frac{1}{\sqrt{a^2 + x_A^2}} \cdot \frac{1}{\sqrt{a^2 + x_A^2 + a^2}}$$

$$\begin{aligned} \vec{E}_{\text{ges}} &= (|\vec{E}_1| + |\vec{E}_2|) \cdot \vec{e}_x = 2 \cdot |\vec{E}_1| \cdot \vec{e}_x, \\ &= \frac{q_L a \cdot \vec{e}_x}{\pi \cdot \epsilon_0} \cdot \frac{1 \cdot x_A}{\sqrt{a^2 + x_A^2}^2} \cdot \frac{1}{\sqrt{2a^2 + x_A^2}} \end{aligned} \quad E_y = E_z = 0$$

Alternativ
Strahlensatz:

$$\begin{aligned} \frac{E_{1x}}{|\vec{E}_1|} &= \frac{x_A}{\sqrt{x_A^2 + a^2}}, \quad \vec{E}_1 \cdot \vec{e}_x = E_{1x} = |\vec{E}_1| \cdot \cos \phi = |\vec{E}_1| \cdot \frac{x_A}{\sqrt{x_A^2 + a^2}} \\ &\stackrel{(\sim 1)}{=} \frac{q_L a \cdot x_A}{2\pi \cdot \epsilon_0} \cdot \frac{1}{a^2 + x_A^2} \cdot \frac{1}{\sqrt{2a^2 + x_A^2}} \end{aligned}$$

$$\vec{E}_{\text{ges}} = (E_{1x} + E_{2x}) \cdot \vec{e}_x = 2 \cdot E_{1x} \cdot \vec{e}_x$$

$$= \frac{q_L a \cdot x_A \cdot \vec{e}_x}{\pi \cdot \epsilon_0} \cdot \frac{1}{a^2 + x_A^2} \cdot \frac{1}{\sqrt{2a^2 + x_A^2}}$$

f)

$$E_x = E_z = 0$$

27.10.09

Kleingrupp

$$|\vec{E}_1| = |\vec{E}_2| = \frac{q_L \cdot a}{2\pi \cdot \epsilon_0} \cdot \frac{1}{\sqrt{a^2 + X_A^2}} \cdot \frac{1}{\sqrt{2a^2 + X_A^2}}$$

$$E_{1y} = \vec{E}_1 \cdot \vec{e}_y = |\vec{E}_1| \cdot \underbrace{\cos(\alpha)}_{\text{beobachteter Winkel}} = |\vec{E}_1| \cdot \frac{a}{\sqrt{a^2 + X_A^2}} = E_{2y}$$



$$\vec{E}_{\text{ges}} = (E_{1y} + E_{2y}) \cdot (\vec{e}_y) = 2 \cdot E_{1y} \cdot (\vec{e}_y)$$

$$= \frac{+q_L \cdot a^2}{2\pi \cdot \epsilon_0} \cdot \frac{1}{\sqrt{a^2 + X_A^2}} \cdot \frac{1}{\sqrt{2a^2 + X_A^2}} \cdot \vec{e}_y$$

$$= \frac{+q_L \cdot a^2}{\pi \cdot \epsilon_0} \cdot \frac{1}{a^2 + X_A^2} \cdot \frac{1}{\sqrt{2a^2 + X_A^2}} \cdot \vec{e}_y$$

Nur im
homogenen
Feld

28.10.09

③

„Auf einen Dipol wirkt keine resultierende Gesamtkraft.“

a.)

$$\vec{F}_1 = \vec{E} \cdot Q_1 = E_0 \cdot \vec{e}_x \cdot \underline{q_{L1} \cdot 2a} \quad q_{L1} = \frac{Q_1}{2a}$$

$$= -\vec{F}_2 \quad , \text{ da } q_{L1} = -q_{L2}$$

$$\vec{F}_{\text{ges}} = \vec{F}_1 + \vec{F}_2 = 0 \quad \text{Abstand zw. den Ladungen} \\ (\text{auf } q_{L2} \text{ hin})$$

$$\vec{L} = \vec{d} \times \vec{F}_1 = (2a \cdot \vec{e}_y) \times (E_0 \cdot \vec{e}_x \cdot q_{L1} \cdot 2a) \\ = -2a \cdot E_0 \cdot q_{L1} \cdot 2a \cdot (\vec{e}_y \times \vec{e}_x) \\ = -\vec{e}_z \quad | \quad \text{aus 2.f.}$$

b.)

$$\vec{F}_Q = \vec{E}_{\text{ges}} \cdot Q = \frac{+q_L \cdot a^2 \cdot Q}{\pi \cdot \epsilon_0} \cdot \frac{1}{a^2 + X_Q^2} \cdot \frac{1}{\sqrt{2a^2 + X_Q^2}} \cdot \vec{e}_y$$

„actio est reactio“

$$X_Q = X_A$$

$$\vec{F}_{\text{ges}} = -\vec{F}_Q = \frac{-q_L \cdot a^2}{\pi \cdot \epsilon_0} \cdot \frac{1 \cdot Q}{a^2 + X_Q^2} \cdot \frac{1}{\sqrt{2a^2 + X_Q^2}} \cdot \vec{e}_y$$

04.11.09 (4)

Gaußscher Satz

Kleingruppe a)

$$\oint\limits_H \vec{D} d\vec{A} = \iiint_V \rho_e dV \quad (= Q_{\text{ein}})$$

Immer gültig! →

"Standard Trick"

Hülle beliebig wählbar!

$$\oint\limits_H \vec{D} d\vec{A} = \oint\limits_H \epsilon(\vec{r}) \cdot \vec{E}(\vec{r}) \cdot d\vec{A} = \epsilon(\vec{r}) \cdot E_r(\vec{r}) \cdot 4\pi r^2$$

↑
weil $\vec{E} \parallel d\vec{A}$
und $E(r) \cdot E(r) = \text{const. auf } H$

Integration da Ladung inhomogen!

$$\iiint_V \rho_e dV = \int_{\phi=0}^{2\pi} \int_{\theta=0}^{\pi} \int_{r=0}^a \rho_e \cdot \frac{r^2}{a^2} \cdot r^2 \cdot \sin \theta \cdot dr \cdot d\theta \cdot d\phi$$

|| E-Feld auf Hülle konstant ||

$$= \frac{\rho_e \cdot 2\pi}{a^2} \int_{\theta=0}^{\pi} \sin \theta \int_{r=0}^a r^4 dr d\theta = \frac{4}{5} \cdot \frac{\pi \cdot \rho_e \cdot r^5}{a^2}$$

kein $\frac{4}{3}\pi \cdot \rho_e \cdot \frac{r^5}{a^2}$ da inhomogen!

Nur Beträge (I) $0 \leq r < a$

$$\Rightarrow E_I(r) = \frac{\rho_e}{20 \cdot \epsilon_0 \cdot a^2} \cdot r^3$$

(II) $a < r < b$: Ladung nur in I. (Ladung der Kugel)

$$\iiint_V \rho_e(r) dV = \frac{4}{5} \cdot \pi \cdot \rho_e \cdot a^3$$

$$\Rightarrow E_{II}(r) = \frac{\rho_e \cdot a^3}{5 \cdot k \cdot \epsilon_0} \cdot \frac{1}{r^3}$$

(III) $r > b$:

$$\Rightarrow E_{III}(r) = \frac{\rho_e \cdot a^3}{5 \cdot \epsilon_0} \cdot \frac{1}{r^2}$$

Kreuzprodukt (X)

$$XYZ \times XYZ$$

$$S \otimes Z \quad S \otimes Z$$

$$r \otimes r \quad r \otimes r$$

$$+ - \quad \left. \right\} \text{Vorzeichen}$$

z.B.:

$$\vec{e}_x \times \vec{e}_z = -\vec{e}_y$$

04.11.05

Kleingruppe

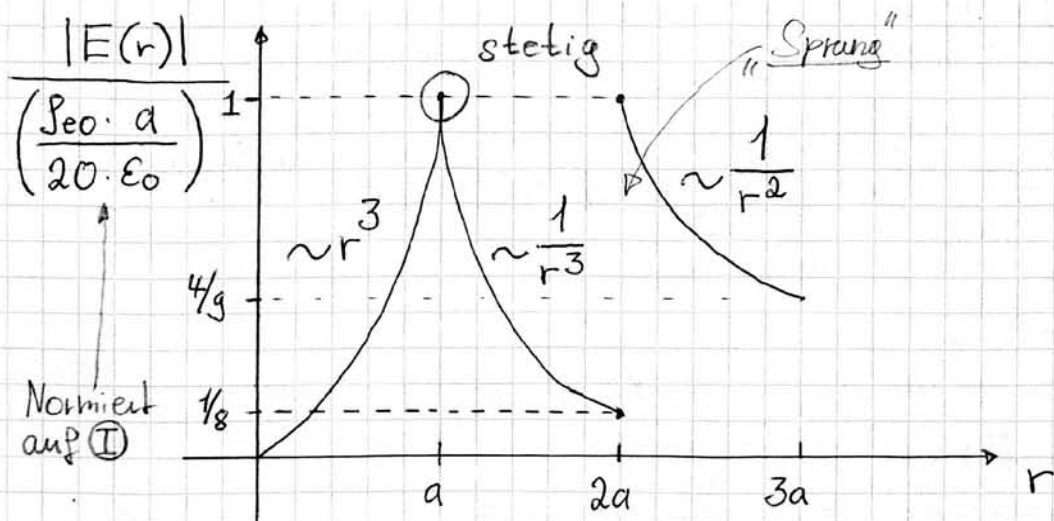
$$\text{b) } E_I(a) = E_{II}(a)$$

$$\Leftrightarrow \frac{\rho_{\text{eo}} \cdot a^3}{5k \cdot \epsilon_0 \cdot a^3} = \frac{\rho_{\text{eo}} \cdot a^3}{20a^2 \cdot \epsilon_0} \Rightarrow 5k = \frac{20}{a}$$

$$\Rightarrow k = \frac{4}{a}$$

"E-Feld muss nicht stetig sein!"
(D-Feld auch nicht!)

$$E_I(r) = \frac{\rho_{\text{eo}} \cdot r^3}{20 \cdot \epsilon_0 \cdot a^2}; E_{II}(r) = \frac{\rho_{\text{eo}} \cdot a^4}{20 \epsilon_0 \cdot r^3}; E_{III}(r) = \frac{\rho_{\text{eo}} \cdot a^3}{5 \cdot \epsilon_0 \cdot r^2}$$



c)

I $0 \leq r < a$ Bezugspunkt $\vec{E}_{\text{II}} \vec{r}$

$$\begin{aligned} \phi_I(r) &= \phi_e(r=0) - \int \vec{E}_I d\vec{s} = 0 - \int_0^r E_I dr \\ &= -\frac{\rho_{\text{eo}}}{20 \cdot \epsilon_0 \cdot a^2} \cdot \left[\frac{r^4}{4} \right]_0^r = -\frac{\rho_{\text{eo}} \cdot r^4}{80 \cdot \epsilon_0 \cdot a^2} \end{aligned}$$

II $a < r < b$

$$\phi_{II}(r) = \phi_I(a) - \int_a^r \frac{\rho_{\text{eo}} \cdot a^4}{20 \cdot \epsilon_0 \cdot r^3} dr = -3 \frac{\rho_{\text{eo}} \cdot a^2}{80 \epsilon_0} + \frac{\rho_{\text{eo}} \cdot a^4}{40 \epsilon_0 \cdot r^2}$$

04.11.09

(III)

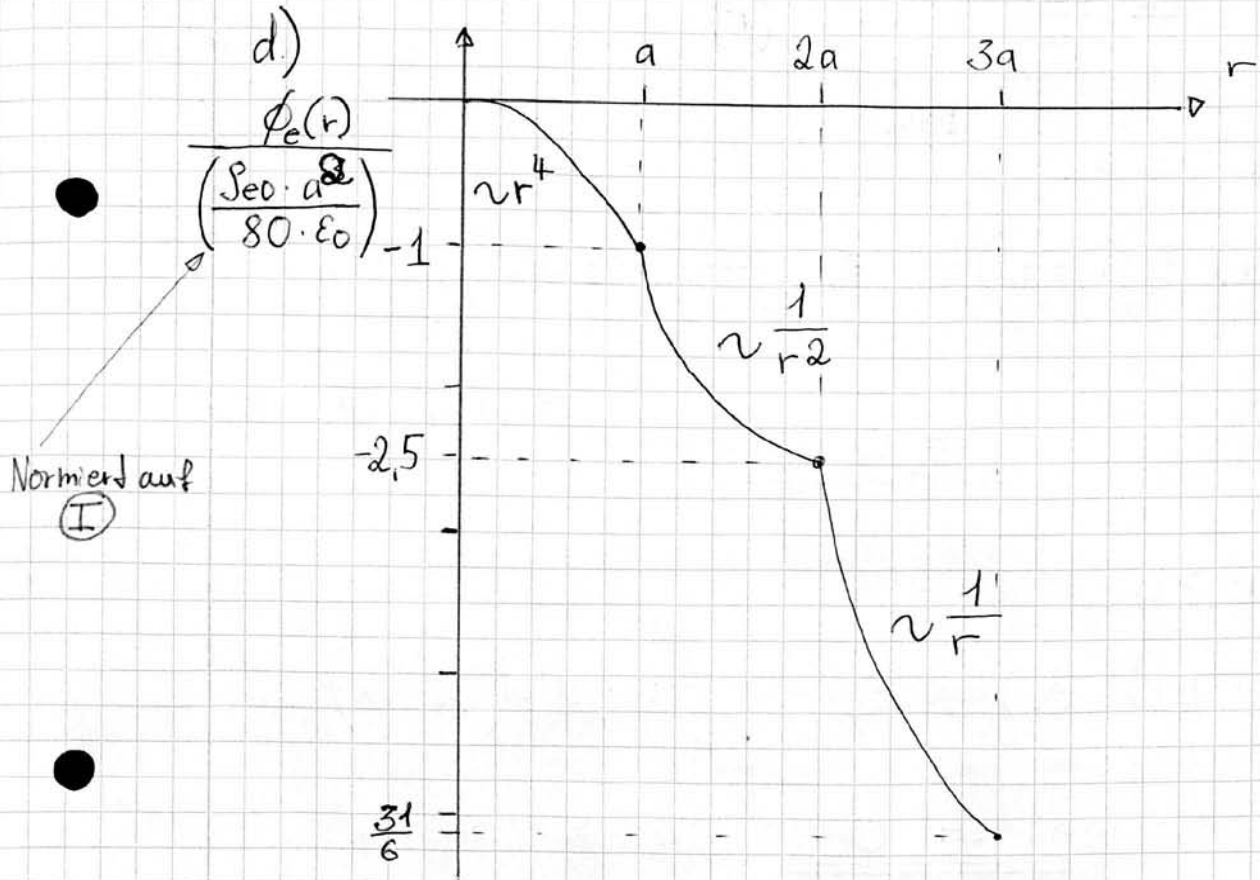
 $r > b$

Kleingruppe

$$\phi_{\text{III}}(r) = \phi_{\text{II}}(2a) - \int_{r=2a}^r \frac{\sigma_0 \cdot a^3}{5 \cdot \epsilon_0 \cdot r^2} dr$$

$$= -\frac{21}{160} \cdot \frac{\sigma_0 \cdot a^2}{\epsilon_0} + \frac{\sigma_0 \cdot a^3}{5 \cdot \epsilon_0 \cdot r}$$

$\vec{E} = -\nabla \phi$, „Elektrostatisches Potenzial immer stetig!“



e)

Eine Ersatzpunktladung im Ursprung mit

$$\underline{Q = \frac{4}{5} \pi \sigma_0 \cdot a^3}$$

} Aussage des
Gauß'schen Satzes

f.) Aus Kugelsymmetrie folgt:

$$\mathcal{D}_\theta = \mathcal{D}_\phi = 0 \quad ; \quad \mathcal{D}_r = \epsilon(r) \cdot E(r)$$

① $0 \leq r < a$

$$\begin{aligned} \operatorname{div} (\vec{D}(r)) &= \operatorname{div} (\epsilon(r) \cdot E(r) \cdot \vec{e}_r) = 4 \cdot \epsilon_0 \cdot \frac{\epsilon_0}{20 \cdot \epsilon_0 \cdot a^2} \cdot \operatorname{div}(r^3 \vec{e}_r) \\ &= \frac{\epsilon_0}{a^2} \cdot r^2 = \rho_e(r) \end{aligned}$$

Siehe Aufgabenstellung

$$= \frac{1}{r^2} \frac{\partial}{\partial r} (r^2 \cdot r^3) = 5 \cdot r^2$$

② $a < r < b$

$$\begin{aligned} \operatorname{div} (\epsilon(r) \cdot E(r) \cdot \vec{e}_r) &= k \cdot \epsilon_0 \cdot \frac{\epsilon_0 \cdot a^3}{5k \cdot \epsilon_0} \cdot \underbrace{\operatorname{div}\left(\frac{1}{r^2} \cdot \vec{e}_x\right)}_{= 0} \\ &= \frac{1}{r^2} \frac{\partial}{\partial r} \left(\frac{r^2}{r^2} \right) = 0 \end{aligned}$$

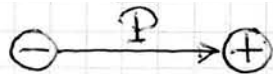
③ $r > b$

$$\begin{aligned} \operatorname{div} (\epsilon(r) \cdot E(r) \cdot \vec{e}_r) &= \epsilon_0 \cdot \frac{\epsilon_0 \cdot a^3}{5 \cdot \epsilon_0} \cdot \operatorname{div}\left(\frac{1}{r^2} \cdot \vec{e}_x\right) \\ &= 0 \quad (\text{Da keine Ladung in diesem Raum}) \end{aligned}$$

div $\hat{=}$ „Quellenichte“

09.11.09

(5)



Kleingruppe

3

a.) $d\vec{p} = \vec{P} \cdot dV_Q$

 $A(0,0, Z_A)$ Rotationsym.

↓

Zylinderkoord.

$$d\phi_A = \frac{d\vec{p}}{4\pi \cdot \epsilon_0} \cdot \frac{\vec{r}_{AQ}}{r_{AQ}^3}$$

$$\vec{r}_{AQ} = Z_A \cdot \vec{e}_z - Z_Q \cdot \vec{e}_z - \rho_Q \cdot \vec{e}_{\rho_Q}$$

$$= (Z_A - Z_Q) \cdot \vec{e}_z - \rho_Q \cdot \vec{e}_{\rho_Q}$$

$$= \frac{d\vec{p}}{4\pi \cdot \epsilon_0} \cdot \frac{(Z_A - Z_Q) \cdot \vec{e}_z - \rho_Q \cdot \vec{e}_{\rho_Q}}{[(Z_A - Z_Q)^2 + \rho_Q^2]^{\frac{3}{2}}}$$

PolarisationsvektorE-Feld gegen-
gerichtet

(im Feld des Dipols)

A

gilt nicht

immer ▽

(bzwl. Außenfeld)

b.)

$$d\phi_A = \frac{\vec{P} \cdot dV_Q}{4\pi \cdot \epsilon_0} \cdot \frac{(Z_A - Z_Q) \cdot \vec{e}_z - \rho_Q \cdot \vec{e}_{\rho_Q}}{[(Z_A - Z_Q)^2 + \rho_Q^2]^{\frac{3}{2}}}$$

$$= \frac{P_0 \cdot \vec{e}_z}{4\pi \cdot \epsilon_0} \cdot \frac{(Z_A - Z_Q) \cdot \vec{e}_z - \rho_Q \cdot \vec{e}_{\rho_Q}}{[(Z_A - Z_Q)^2 + \rho_Q^2]^{\frac{3}{2}}} \cdot \underbrace{\int_Q d\rho_Q \cdot d\phi_Q \cdot dz_Q}_{= dV_Q}$$

$$= \frac{P_0}{4\pi \cdot \epsilon_0} \cdot \frac{(Z_A - Z_Q) \cdot \rho_Q}{[(Z_A - Z_Q)^2 + \rho_Q^2]^{\frac{3}{2}}} \cdot d\phi_Q \cdot d\phi_Q \cdot dz_Q \quad (\text{Formelsammlung})$$

für $Z_A > 0$ Nicht
auftreten

c.)

$$\phi_A(0,0, Z_A) = \int_V d\phi_A = \int_{V_Q}^0 \int_{Z_Q=-a}^{2\pi} \int_{\rho_Q=0}^R \frac{P_0}{4\pi \cdot \epsilon_0} \frac{(Z_A - Z_Q) \cdot \rho_Q}{[(Z_A - Z_Q)^2 + \rho_Q^2]^{\frac{3}{2}}} \cdot dV_Q$$

$$= \int_{\rho_Q=0}^R \int_{Z_Q=-a}^0 \frac{P_0}{2 \cdot \epsilon_0} \frac{(Z_A - Z_Q) \cdot \rho_Q}{[(Z_A - Z_Q)^2 + \rho_Q^2]^{\frac{3}{2}}} \cdot dz_Q \cdot d\rho_Q$$

— „Polarisation P_0 entspricht der Oberflächenladungsdichte σ_e einer Kreischeibe“ —
 $(\sigma_e \stackrel{!}{=} P_0, \text{ Vgl.: Auf. 5C, Großgruppe})$

$$[\sigma_e] = [P_0] = \frac{As}{m^2}$$

09.11.0:

$$d) \phi_A(0,0,z_A) = \int_{\substack{R \\ f_Q=0}}^R \int_{\substack{0 \\ z_Q=-a}}^{\infty} \frac{P_0}{2 \cdot \epsilon_0} \cdot \frac{(z_A - z_Q) \cdot f_Q}{[(z_A - z_Q)^2 + f_Q^2]^{\frac{3}{2}}} \cdot dz_Q \cdot df_Q$$

Kleingruppe

$$= \frac{P_0}{2 \cdot \epsilon_0} \int_{\substack{R \\ f_Q=0}}^R \int_{\substack{0 \\ z_Q=-a}}^{\infty} \frac{z_A - z_Q}{[(z_A - z_Q)^2 + f_Q^2]^{\frac{3}{2}}} dz_Q \cdot df_Q$$

Signalwort:
 $f_e \Rightarrow$ Gauss

$$= \frac{P_0}{2 \cdot \epsilon_0} \int_{\substack{R \\ f_Q=0}}^R f_Q \cdot \left[\frac{1}{\sqrt{(z_A - z_Q)^2 + f_Q^2}} \right]_{z_Q=-a}^0 df_Q$$

Nur Scharbe
 in x-y-Ebene
bringt Beitrag!
 (da Dipole)

$$= \frac{P_0}{2 \cdot \epsilon_0} \int_{\substack{R \\ f_Q=0}}^R f_Q \cdot \left(\frac{1}{\sqrt{z_A^2 + f_Q^2}} - \underbrace{\frac{1}{\sqrt{(z_A + a)^2 + f_Q^2}}}_{\text{für } a \rightarrow 0} \right) df_Q$$

$$\boxed{\lim_{a \rightarrow 0} \frac{1}{a} \rightarrow 0}$$

$$= \frac{P_0}{2 \cdot \epsilon_0} \int_{\substack{R \\ f_Q=0}}^R \frac{f_Q}{\sqrt{z_A^2 + f_Q^2}} \cdot df_Q = \frac{P_0}{2 \cdot \epsilon_0} \left[\sqrt{z_A^2 + f_Q^2} \right]_{f_Q=0}^R$$

$$= \frac{P_0}{2 \cdot \epsilon_0} \left(\sqrt{z_A^2 + R^2} - z_A \right)$$

Vgl. Aufgabe 5c: (Wichtig!)
(Ergebnis!)

e) Aus Rotationssymmetrie folgt:

$$\vec{E}(0,0,z_A) = E_z(0,0,z_A) \cdot \vec{e}_z$$

$$\boxed{\vec{E} = -\nabla \phi}$$

$$\vec{E}(0,0,z_A) = -\nabla \phi_A(0,0,z_A)$$

Formelsammlung

$$\text{folgt aus Symmetrie} \quad \vec{E} = -\vec{e}_z \cdot \frac{\partial}{\partial z_A} \left(\frac{P_0}{2 \cdot \epsilon_0} \left(\sqrt{z_A^2 + R^2} - z_A \right) \right)$$

Gradient bei verschiedenen Systemen unterschiedlich!

$$= -\vec{e}_z \cdot \frac{P_0}{2 \cdot \epsilon_0} \left(\frac{1}{2} (z_A^2 + R^2)^{-\frac{1}{2}} \cdot 2z_A - 1 \right)$$

$$= \frac{P_0}{2 \cdot \epsilon_0} \left(1 - \frac{z_A}{\sqrt{z_A^2 + R^2}} \right) \cdot \vec{e}_z \leq \frac{P_0}{2 \epsilon_0} \quad (\text{Vgl.: 5c})$$

16.11.09

⑥ „Gauß-Fläche mit Symmetrieeigenschaften der Ladung oft nützlich!“

Kleinruppe

4

 q_L, ϵ_0, ρ_e unabhängig
von der
Dimension!

a) $\oint_H \epsilon \cdot \vec{E} d\vec{A} = E_g(p) \cdot \epsilon \cdot 2\pi \cdot p \cdot d$

Δ

$= Q = q_L \cdot d$ für $p_1 \leq p \leq p_2$

Da Feld auf Zylinderoberfläche konstant und Radialfeld.

Formelsammlung

$$\frac{d\vec{s}}{\downarrow} \implies \vec{E}(p) = \frac{q_L}{2\pi \cdot \epsilon \cdot p} \cdot \vec{e}_p \quad \text{für } p_1 \leq p \leq p_2$$

Signalwort:

- q_L
- E -Feld↓
Gauß

$$U = \int \vec{E}(p) \cdot d\vec{s} = \int_{p=p_1}^{p=p_2} \frac{q_L}{2\pi \cdot \epsilon \cdot p} dp$$

Methode
Vorgehen

$$= \frac{q_L}{2\pi \cdot \epsilon} \cdot \ln\left(\frac{p_2}{p_1}\right)$$

b) $\vec{E}(p) = \vec{E} = \frac{U}{\ln\left(\frac{p_2}{p_1}\right) \cdot p} \cdot \vec{e}_p \quad \text{für } p_1 \leq p \leq p_2$

Streufelder
vernachlässigen↓
Dort kein
 E -Feldc) $|\vec{E}|$ maximal bei $p = p_1$

$$\implies |\vec{E}| = \frac{q_L}{2\pi \cdot \epsilon \cdot p_1}$$

d)

"Kochrezept"

$$C_1 = \frac{Q}{U} = \frac{q_L \cdot d}{\frac{q_L}{2\pi \cdot \epsilon} \cdot \ln\left(\frac{p_2}{p_1}\right)} = \frac{d \cdot 2\pi \cdot \epsilon}{\ln\left(\frac{p_2}{p_1}\right)}$$

16.11.05

Kleingruppe

$$\text{e)} \quad \phi_{aj} = \phi_{ej}$$

$$\phi_{bj} = \phi_{dj} \quad \text{für } j=1, \dots, 5$$

$$\phi_{x_1} = \phi_{x_5}$$

$$\phi_{x_2} = \phi_{x_4} \quad \text{für } x=a, \dots, e$$

\Rightarrow 4 Punkte müssen berechnet werden.

$$\text{f)} \quad \phi_0 = \frac{1}{4}(\phi_1 + \phi_2 + \phi_3 + \phi_4) \quad \begin{matrix} & \text{Differenzverfahren} \\ & \text{2} \\ & \cdot \\ & x \\ & 3 \end{matrix}$$

da $\Delta \phi = 0$ und
Randwerte angegeben

keine Minima dazwischen

Berechne z.B.: a_1, b_1, c_1, d_2

$$\phi_{a_1} = \frac{1}{4}(2 \cdot \phi_{b_1})$$

$$\begin{aligned} \Delta \phi &= \text{div grad } \phi \\ &= 0 \\ &\text{falls} \\ &\text{ladungsfreier} \\ &\text{Raum} (\rho_e = 0) \end{aligned}$$

$$\phi_{b_1} = \frac{1}{4}(\phi_{a_1} + \phi_{c_1} + \phi_{d_2})$$

$$\phi_{c_1} = \frac{1}{4}(U + 2 \cdot \phi_{b_1})$$

$$\phi_{b_2} = \phi_{d_2}$$

$$\phi_{d_2} = \frac{1}{4}(2U + 2 \cdot \phi_{b_1})$$

24.11.09

Kleingruppe
5

$$\textcircled{7} \quad \int_{\Gamma_a} \vec{E} d\vec{s} = 0 \quad \Gamma_a: \text{Weg auf Aquipotentialfläche}$$

„Potenzial auf diesen Flächen Konstant“

a)

 E -Feld von ∞ langer Linienladung II zur Z-Achse

FS →

$$\vec{E}_0 = \frac{q_L}{2\pi \cdot \epsilon_0} \cdot \frac{\vec{e}_s}{s}$$

$$\Rightarrow \vec{E}_1 = \frac{q_L}{2\pi \cdot \epsilon_0} \cdot \frac{\vec{e}_{s_1}}{s_1}$$

„Relativverschiebung
des Ursprungs“

Addition in

Zylinder oder
Kugelkoordinat.

⇒ FALSCH

$$\varphi_1(s_1) = \underbrace{\varphi_1(s_{10})}_{=0} - \int_{s_1^1=a}^{s_1} \frac{q_L}{2\pi \cdot \epsilon_0} \frac{ds'_1}{s'_1}$$

Nicht
vergessen

$$= - \frac{q_L}{2\pi \cdot \epsilon_0} \cdot \ln\left(\frac{s_1}{a}\right)$$

b)

$$\varphi_2(s_2) = \varphi_2(s_{20}) + \int_{s_2^1=a}^{s_2} \frac{q_L}{2\pi \cdot \epsilon_0} \frac{ds'_2}{s'_2}$$

Beachte $s \geq 0 \rightarrow s_2^1 = a$

$$= \frac{q_L}{2\pi \cdot \epsilon_0} \cdot \ln\left(\frac{s_2}{a}\right)$$

Nur mögl. falls gleicher Bezugspunkt

$$\Rightarrow \varphi_{\text{ges}}(s_1, s_2) = \varphi_1(s_1) + \varphi_2(s_2) = \frac{q_L}{2\pi \cdot \epsilon_0} \ln\left(\frac{s_2}{a} \cdot \frac{a}{s_1}\right)$$

$$= \frac{q_L}{2\pi \cdot \epsilon_0} \ln\left(\frac{s_2}{s_1}\right)$$

24.11.09

Kleingruppe

c) Elektroden müssen auf Äquipotentialflächen liegen.

$$a = \sqrt{x_m^2 - R^2} = \sqrt{x_{m,i}^2 - R_i^2} = 12 \text{ fm}$$

$$\Rightarrow 2a = 24 \text{ fm}$$

$$a = \sqrt{x_{m,A}^2 - R_A^2} = 12 \text{ fm} \Rightarrow \underline{\underline{2a = 24 \text{ fm}}}$$

Muss für beide Elektroden gelten, sonst unlösbar!

d)

$$U = \varphi_i - \varphi_a = \frac{q_L}{2\pi \cdot \epsilon_0} \cdot \left(\ln\left(\frac{r_{2,i}}{r_{1,i}}\right) - \ln\left(\frac{r_{2,a}}{r_{1,a}}\right) \right)$$

 Γ

$$r_{2,i} = a + x_{m,i} - R_i = 12 \text{ fm} + 13 \text{ fm} - 5 \text{ fm} = 20 \text{ fm}$$

$$r_{1,i} = a - (x_{m,i} - R_i) = 12 \text{ fm} - 13 \text{ fm} + 5 \text{ fm} = 4 \text{ fm}$$

$$r_{2,a} = a + x_{m,a} - R_a = 12 \text{ fm} + 15 \text{ fm} - 9 \text{ fm} = 18 \text{ fm}$$

$$r_{1,a} = a - (x_{m,a} - R_a) = 12 \text{ fm} - 15 \text{ fm} + 9 \text{ fm} = 6 \text{ fm}$$

 L

$$= \frac{q_L}{2\pi \cdot \epsilon_0} \left(\ln\left(\frac{20}{4}\right) - \ln\left(\frac{18}{6}\right) \right) = \underline{\underline{\frac{q_L}{2\pi \cdot \epsilon_0} \cdot \ln\left(\frac{5}{3}\right)}}$$

muss noch können

$$C_E = \frac{Q}{U} = \frac{q_L \cdot L}{2\pi \cdot \epsilon_0 \cdot \ln\left(\frac{5}{3}\right)} = \underline{\underline{\frac{2\pi \cdot \epsilon_0 \cdot L}{\ln\left(\frac{5}{3}\right)}}}$$

24.11.09

Kleingruppe

c)

$$U_K = \int_{\rho' = R_i}^{R_a} E_0(\rho') d\rho' = \int_{\rho' = R_i}^{R_a} \frac{q_L}{2\pi \cdot \epsilon_0} \frac{d\rho'}{\rho'}$$

Vgl Vorschriften
mit \neq

$$= \frac{q_L}{2\pi \cdot \epsilon_0} \ln\left(\frac{R_a}{R_i}\right) = \frac{q_L}{2\pi \cdot \epsilon_0} \cdot \ln\left(\frac{9}{5}\right)$$

$$C_K = \frac{Q}{U_K} = \frac{q_L \cdot l}{\frac{q_L}{2\pi \cdot \epsilon_0} \cdot \ln\left(\frac{9}{5}\right)} = \frac{2\pi \cdot \epsilon_0 \cdot l}{\ln\left(\frac{9}{5}\right)}$$

$< C_E$

⑧ „Aus der Symmetrie der Anordnung folgt: $\vec{J}(\vec{r}) = J_p(p) \vec{e}_p$ “ 30.11.08
Kleingruppe

a) $\xrightarrow{\text{Fixe Länge}}$

$$I = I' \cdot l = \iint_A \vec{J} dA = \iint_A J_p dA$$

$$= \int_{z=0}^l \int_{\phi=0}^{2\pi} J_p \cdot p \cdot d\phi dz = J_p \cdot p \cdot l \cdot 2\pi$$

$$\Rightarrow \vec{J}(p > 0) = \frac{I'}{p \cdot 2\pi} \cdot \vec{e}_p$$

$$\vec{E} = \frac{\vec{J}}{\sigma}$$

$$\vec{J} = \sigma \cdot \vec{E}$$

\leftarrow Lokale Ohmsche Gesetz

$$\vec{E} = \frac{I'}{2\pi p \cdot \sigma_0 \cdot (1 + \frac{p}{R})} \cdot \vec{e}_p \quad \text{für } 0 < p < R$$

$$\vec{E} = \frac{I'}{4\pi p \cdot \sigma_0} \cdot \vec{e}_p \quad \text{für } p \geq R$$

b)

$$\vec{D} = \epsilon \cdot \vec{E}$$

$$\vec{D} = \frac{I' \cdot \epsilon_0}{2\pi p \cdot \sigma_0 \cdot (1 + \frac{p}{R})} \cdot \vec{e}_p \quad \text{für } 0 < p < R$$

$$\vec{D} = \frac{I' \cdot \epsilon_0}{4\pi R \cdot \sigma_0} \cdot \vec{e}_p \quad \text{für } p \geq R$$

30.11.09

Kleingruppe

c)

$$\mathcal{P}_e (0 < \rho < R) = \operatorname{div} \frac{l' \cdot \epsilon_0 \cdot \vec{e}_s}{2\pi \cdot \rho \cdot \sigma_0 \cdot (1 + \frac{\rho}{R})}$$

$$= \frac{l' \cdot \epsilon_0}{2\pi \cdot \sigma_0 \cdot \rho} \frac{\partial}{\partial \rho} \left(\frac{1}{1 + \frac{\rho}{R}} \right)$$

dielektrische
Absorption \Rightarrow

$$= \frac{l' \cdot \epsilon_0 \cdot R}{2\pi \cdot \sigma_0 \cdot \rho} \cdot \frac{-1}{(R + \rho)^2} = - \frac{l' \cdot \epsilon_0}{2\pi \cdot \sigma_0 \cdot \rho \cdot R \cdot (1 + \frac{\rho}{R})^2}$$

$$\begin{aligned} \mathcal{P}_e (\rho > R) &= \operatorname{div} \frac{l' \cdot \epsilon_0 \cdot \vec{e}_s}{4\pi \cdot R \cdot \sigma_0} \\ &= \frac{l' \cdot \epsilon_0}{4\pi \cdot R \cdot \sigma_0 \cdot \rho} \end{aligned}$$

} obwohl kein S!
 } aber \vec{e}_s !

d)

$$q_L \cdot l = Q_{\text{ein}} = \iint_H \vec{D} \underbrace{(\rho < R)}_{\rho \rightarrow 0} \cdot d\vec{A}$$

$$\vec{D} \cdot \vec{e}_s \stackrel{?}{=} \int_0^l \int_0^{2\pi} \frac{l' \cdot \epsilon_0}{2\pi \cdot \rho \cdot \sigma_0 \cdot (1 + \frac{\rho}{R})} \cdot \rho \cdot d\phi \cdot dz$$

 $\rho = 0 \quad \phi = 0$

$$= \frac{l' \cdot \epsilon_0 \cdot l}{\sigma_0 \cdot (1 + \frac{l}{R})} \xrightarrow{\text{für } \rho \rightarrow 0} \frac{l' \cdot \epsilon_0 \cdot l}{\sigma_0}$$

ρ muss gegen Null laufen
da sonst Ladungen aus dem Dielektrikum mitgezählt werden

$$\Rightarrow q_L = \frac{l' \cdot \epsilon_0}{\sigma_0}$$

30.11.09

Kleingruppe

e)

$$\vec{D} \sim \frac{1}{\rho} \Rightarrow \rho = 0 \text{ und } \rho \rightarrow 0 \text{ ungeeignet}$$

als Bezugspunkt, da $\int \vec{D} d\vec{s}$ nicht konvergiert. ($\varphi_e(\rho) = - \int_{\rho_0}^{\rho} E_s ds$ konvergiert weder für $\rho_0 \rightarrow \infty$ noch $\rho_0 \rightarrow 0$)

(10) ⑨

09.12.09

Kleingruppe

$$a) \iint_A \vec{E}(\vec{r}, t) \cdot \epsilon_0 d\vec{A} = E_r(r, t) \cdot \epsilon_0 \cdot 4\pi r^2 = Q_{\text{ein}} = Q_1(t) \quad 7$$

$$\Rightarrow \vec{E}(\vec{r}, t) = \frac{Q_1(t)}{4\pi \epsilon_0 r^2} \quad \text{für } r_1 < r < r_2 \quad t > 0$$

$$\Rightarrow \vec{D}(\vec{r}, t) = \vec{E}(\vec{r}, t) \cdot \epsilon_0 = \frac{Q_1(t)}{4\pi r^2} \quad \begin{array}{l} \text{Beachte:} \\ \text{Außenfeld} \\ \text{immer gleich!} \\ \text{Nur Modellierung} \end{array}$$

$$b) \vec{j} = \sigma \cdot \vec{E} = \frac{\sigma}{\epsilon} \vec{D} \quad \text{"Haben alle die} \\ \text{selbe Richtung!"}$$

Γ Kontinuitätsgleichung:

Gauß'scher Satz
der VektoranalysisGilt nur für
ideale Materialien

$$\operatorname{div} \left(\vec{j} + \frac{\partial}{\partial t} \vec{D} \right) = 0 \iff \iint_H \left(\vec{j} + \frac{\partial}{\partial t} \vec{D} \right) d\vec{A} = 0$$

Bsp.: Stationärer geschlossener Stromkreis: $(\frac{\partial}{\partial t} \vec{x} = 0)$ immer gültig!

$$\operatorname{div}(\vec{j}) = 0 \Rightarrow \iint_H \vec{j} d\vec{A} = 0 \Rightarrow \sum_i I_i = 0$$

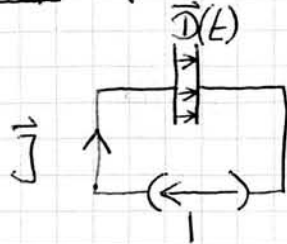
08.12.09

Bsp.: (nichtstationär)

Kleingruppe

Vgl.

Aufgabe 2

WS06/07
Homw

$$\operatorname{div} \vec{J} \neq 0$$

$$\operatorname{div} \left(\vec{J} + \frac{\partial \vec{D}}{\partial t} \right) = 0$$

Das \vec{D} -Feld wird von den hinzukommenden Ladungen verstärkt.

- „Alles was rein kommt muss auch wieder rauskommen“

$$\oint_H \left(\vec{J} + \frac{\partial \vec{D}}{\partial t} \right) d\vec{A} = \oint_H \left(\frac{\sigma}{\epsilon_0} \vec{D}_r + \frac{\partial \vec{D}_r}{\partial t} \right) dA = 0$$

$$\Rightarrow \frac{\sigma}{\epsilon_0} \vec{D}_r(t, r) + \frac{\partial}{\partial r} \vec{D}_r(t, r) = 0$$

für Q
genauso
aufstellend
lösbar!

c)

$$\vec{D}_r(r, t) = \vec{D}_0(r) \exp\left(-\frac{t}{\tau}\right) \quad \boxed{\begin{array}{l} \text{DGL} \\ \text{ANSATZ} \end{array}}$$

$$\frac{\sigma}{\epsilon_0} \vec{D}_0(r) \exp\left(-\frac{t}{\tau}\right) + \vec{D}_0(r) \cdot \left(-\frac{1}{\tau}\right) \cdot \exp\left(-\frac{t}{\tau}\right) = 0$$

$$\Rightarrow \tau = \frac{\epsilon_0}{\sigma}$$

$$\vec{D}_0(r) = \frac{Q_0}{4\pi r^2}$$

für $r_1 < r < r_2$

$$\Rightarrow \vec{D}(r, t) = \frac{Q_0}{4\pi r^2} \cdot \exp\left(-t \cdot \frac{\sigma}{\epsilon_0}\right) \cdot \hat{e}_r$$

für $r_1 < r < r_2$

d)

$$I(t) = \iint_A \vec{J}(\vec{r}, t) \cdot d\vec{A} = \iint_A \vec{D}(\vec{r}, t) \cdot \frac{\sigma}{\epsilon_0} \cdot d\vec{A}$$

$$= \iint_A \frac{\sigma}{\epsilon_0} \cdot \frac{Q_0}{4\pi r^2} \exp\left(-t \cdot \frac{\sigma}{\epsilon_0}\right) \cdot dA$$

$$= \underline{\underline{\frac{\sigma}{\epsilon_0} \cdot Q_0 \cdot \exp\left(-t \cdot \frac{\sigma}{\epsilon_0}\right)}}, \quad t > 0$$

$$U_{12}(t) = \int \vec{E}(\vec{r}, t) \cdot d\vec{s} = \int_{r=r_1}^{r_2} \frac{Q_0}{4\pi \cdot \epsilon_0 \cdot r^2} \cdot \exp\left(-t \cdot \frac{\sigma}{\epsilon_0}\right) dr$$

$$= \underline{\underline{\frac{Q_0}{4\pi \cdot \epsilon_0} \exp\left(-t \cdot \frac{\sigma}{\epsilon_0}\right) \cdot \left[-\frac{1}{r}\right]_{r=r_1}^{r_2}}}, \quad t > 0$$

$$= \underline{\underline{\frac{Q_0}{4\pi \cdot \epsilon_0} \cdot \left(\frac{1}{r_1} - \frac{1}{r_2}\right) \cdot \exp\left(-t \cdot \frac{\sigma}{\epsilon_0}\right)}}, \quad t > 0$$

e)

Im stationären Fall ist ein Leiter feldfrei!
 Sonst müssten sich Ladungen bewegen.

Q_0 sitzt homogen verteilt auf der Außenhaut.

$$\text{Vgl. } \vec{D}(\vec{r}, t \rightarrow \infty) = 0$$

Beim idealen Leiter $\sigma \rightarrow \infty$, somit immer
 sofort feldfrei.

09.12.09

Kleingruppe

beim idealen
Kondensator

f.) Ein Plattenkondensator ist im inneren Feld frei, wenn beide Elektroden die gleiche Ladung tragen. Für $t \rightarrow \infty$ sammeln sich somit $\frac{Q_0}{2}$ Ladungen (homogen).

14.12.09

(10)

Kleingruppe

8

a) Die Feldlinien stehen senkrecht auf der Kugeloberfläche. Das Feld hat nur eine radiale Komponente. (Auf Oberfläche Kugel)



$$\Leftrightarrow \varphi_e = 0$$

— „Auf einer Leiteroberfläche gilt: $\varphi_e = \text{const}$, daraus folgt $E_t = 0$ “ —

b) Es muss eine Ersatzladung innerhalb der Kugel auf der X-Achse angenommen werden.

Grenzen
vertauscht!

$$x'_1 = \frac{R^2}{x_1}, \quad x'_2 = \frac{R^2}{x_2} \quad \left. \right\} \underline{\underline{\text{FS}}}$$

c)

$$x' = \frac{R^2}{x} \quad \text{für } x'_2 < x' < x'_1$$

Infinitemale
Längen
nüssen
positiv sein! →

$$\left| \frac{dx'}{dx} \right| = \frac{R^2}{x^2} \Rightarrow dx' = \frac{R^2}{x^2} \cdot dx$$

14.12.0:

Kleingruppe

d)

$$dQ' = - dQ \cdot \frac{R}{x}$$

gegeben
 $dQ = q_L \cdot dx$

$$\underline{\underline{dQ'(x, dx) = - q_L \cdot dx \cdot \frac{R}{x}}}$$

$$dQ' \stackrel{(c)}{=} - q_L \cdot dx' \cdot \frac{x}{R}$$

$$\underline{\underline{dQ(x', dx') = - q_L \cdot R \cdot \frac{dx'}{x'}}} \quad \leftarrow \begin{array}{l} \text{MUSS} \\ \text{"negativ"} \\ \text{sein!} \end{array} \quad (\text{Bildladung})$$

e) Merke

$$|q'_L(x')| = \left| \frac{dQ'(x')}{dx'} \right| = q_L \cdot R \cdot \frac{1}{x'}$$

$$\Rightarrow \underline{\underline{q'_L(x') = - q_L \cdot \frac{R}{x'}}} \quad \leftarrow \begin{array}{l} \text{Nicht konstant!} \\ \text{wg. Spiegelung an} \\ \text{Kugel} \end{array}$$

f)

Nur in E_y -Richtung. (da Leiter)

— „Bildladung (= Ersatzladung Q') erzeugt dasselbe Feld für $|r| > R$ wie Originalanordnung“ —

— „Influenz: Das Feld der Linienladung verschiebt Ladungen auf der Oberfläche der Kugel, so dass der Innenraum feldfrei ($r < R$) ist.“ —

21.12.09:

(11)

Kleingruppe

8

a)

$$I = \iint_A \vec{J}(p, \phi) d\vec{A} = \int_{z=0}^{z_0} \int_{\phi=0}^{2\pi} J_p(p, \phi) \cdot \vec{e}_p \cdot \vec{e}_p \cdot p \cdot d\phi \cdot dz$$

$$= J_p(p, \phi) \cdot p \cdot z_0 \cdot 2\pi$$

$$A_{\text{ZYLINDER}} = 2\pi p \cdot z_0$$

$$\Rightarrow \vec{J}(p, \phi) = \frac{1}{2\pi p \cdot z_0} \cdot \vec{e}_p \quad \text{für } p_1 < p < p_2 \quad 0 < z < z_0$$

b)

Strom ist gleichmäßig auf Zylinderfläche
für $z > z_0$

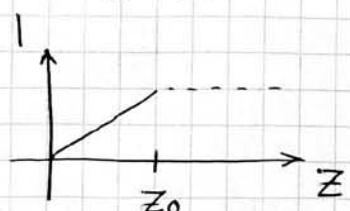
 J_A :

Flächenstrom

$$\Rightarrow \vec{J}_A(z > z_0) = \frac{-1}{2\pi \cdot p_1} \cdot \vec{e}_z$$

In jedem infinitesimalen Stück dz für $0 < z < z_0$
fließt der gleiche Strom dI ab von $p = p_1$.

$$I(p = p_1, 0 < z < z_0) = I \cdot \frac{z}{z_0}$$



Folgt auch aus a).: $\vec{J} \neq f(z) \Rightarrow E \neq f(z)$
 $\Rightarrow \varphi = \text{const bei } p = p_1 \Rightarrow dI = \text{const}$

$$\Rightarrow \vec{J}_A(0 < z < z_0) = \frac{-1}{2\pi p_1} \cdot \frac{z}{z_0} \cdot \vec{e}_z$$

c)

Durchflutungsgesetz

„Rechte-Hand-Regel“

Kleingruppe

$$\oint_C \vec{H} d\vec{s} = I_{\text{ein}}$$



„Wähle geschlossene Kurve C so, dass $\vec{H} = \text{const.}$ auf der Kurve“ — Vgl. Gauss

$$\oint_C \vec{H} d\vec{s} = \oint_C H_\phi d\vec{s} \stackrel{\downarrow}{=} H_\phi \oint_{C(C_2)} d\vec{s} = H_\phi 2\pi s = I_{\text{ein}} = -I$$

 $(-2\pi s)$

$$= \underline{\underline{|}}_C$$

$$\Rightarrow \vec{H} = \frac{-I}{2\pi s} \cdot \vec{e}_\phi \quad \text{für } s_1 < s < s_2$$

 $z_0 < z$

$$\text{für } s > s_2 : \quad I_{\text{ein}} = -I = 0$$

z.B.:

$$\Rightarrow \underline{\underline{\vec{H} = 0}} \quad \text{für } s > s_2$$

Koaxialkabel

d.)

$H_s = 0$ Durch Kompensation der Ströme
im Leiter.

Durch die von einem Umlauf C aufgespannte Fläche (infinitesimal dünn) tritt nur der Anteil $I(z)$ des Flächenstroms, aber nicht die Stromdichte aus a).

wichtig!

Der Zusammenhang zwischen dem Umlaufsinn von C und der Orientierung der Fläche ($d\vec{A}$) wird durch eine Rechtsschraube wiedergegeben.

21.12.09

Kleingruppe

Strom durch
vom Radius
der Fläche

$$\Rightarrow I(z) = \vec{J}_A (0 < z < z_0) \cdot 2\pi s_1 \cdot \vec{e}_z$$

$$= -I \cdot \frac{z}{z_0}$$

Richtung der
aufgespannten
Fläche

$$= I_{\text{ein}} = \int_C \vec{H} d\vec{s} = H_\phi \cdot 2\pi s$$

$$\Rightarrow \vec{H}(s_1 < s < s_2) = \frac{-I \cdot \frac{z}{z_0}}{2\pi s} \cdot \vec{e}_\phi \quad \text{für } 0 < z < z_0$$

e) Dielektrische Absorption (im stationären Fall)

Alternativ:
 $\operatorname{div} \vec{D} = \rho_e$

$\operatorname{div} \vec{J} \cdot \frac{\epsilon}{\sigma} = \rho_e$

$$\rho_e(\vec{r}) = \vec{J}(\vec{r}) \cdot \operatorname{grad}\left(\frac{\epsilon(\vec{r})}{\sigma(\vec{r})}\right)$$

$$= \frac{1}{2\pi \cdot s \cdot z_0} \cdot \vec{e}_s \cdot \operatorname{grad}\left(\frac{\epsilon_0}{\sigma_0 \cdot s_1^2 / s^2}\right)$$

$$= \frac{1}{2\pi s \cdot z_0} \cdot \underbrace{\vec{e}_s \cdot \vec{e}_s}_{=1} \cdot \frac{\epsilon_0}{\sigma_0} \cdot \frac{2s}{s_1^2}$$

$$= \frac{1}{\pi \cdot z_0 \cdot s_1^2} \cdot \frac{\epsilon_0}{\sigma_0}$$

— „Dielektrische Absorption kann NUR in einem
inhomogenen Medium stattfinden“ —

11.01.11

Kleingruppe

immer gültig!

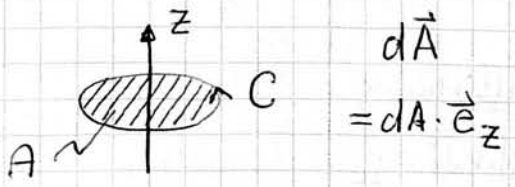
$$\textcircled{12} \quad \oint_C \vec{H} d\vec{s} = I_{\text{ein}} = \iint_A \left(\vec{J} + \frac{\partial \vec{D}}{\partial E} \right) d\vec{A}$$

— Dabei umschließt die Kurve C die Fläche A
im Rechtsschraubensinn —

a) Die Anordnung und damit \vec{H} sind invariant bzgl. einer Verschiebung in Z -Richtung und einer Drehung um die Z -Achse. $\vec{H} = P(z, \phi)$

$$\vec{H}(r) = H_g \vec{e}_g + H_\phi \vec{e}_\phi + H_z \vec{e}_z$$

$$\oint_C \vec{H} d\vec{s} = \iint_A \vec{J} d\vec{A}$$

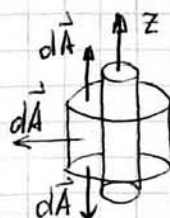


$$H_\phi(\varphi) \cdot 2\pi g = 0 \quad , \text{da } \vec{J} \perp d\vec{A}$$

$$\implies \underline{H_\phi(\varphi) = 0 \quad \text{für } g \leq R \text{ und } g > R}$$

b)

$$\iint_A \vec{H} d\vec{A} \stackrel{!}{=} 0$$



$$\iint_A \vec{H} d\vec{A} = \underbrace{\iint_A H_g dA}_{\text{AMANTEL}} + \underbrace{\iint_A H_z dA}_{\substack{\text{ADECKEL} \\ \underbrace{}_{=0}}} - \underbrace{\iint_A H_z dA}_{\text{ABODEN}} \stackrel{!}{=} 0$$

$$\Leftrightarrow H_g(g) \cdot 2\pi g \cdot h = 0$$

$$\implies \underline{H_g(g) = 0}$$

11.01.10

Kleingruppe

c)

$$I = \frac{dQ}{dt} \quad \left(= \frac{\Delta Q}{\Delta t} \right), \quad T = \frac{2\pi}{\omega}$$

Alternativ:

$$\vec{J}_A = \sigma_e \cdot \vec{v}$$

$$= \sigma_e \cdot w \cdot R \cdot \vec{e}_\phi$$

$$I_A = \frac{Q_A}{T} = \frac{\sigma_e \cdot 2\pi R \cdot h}{2\pi} \cdot w = \underline{\underline{\sigma_e R \cdot h \cdot w}}$$

d) In der eingezeichneten Fläche zeigt $d\vec{A}$ in \vec{e}_ϕ -Richtung und bildet eine Rechtsschraube mit der C-Kurve

Nur der Weg C_1 liefert einen Beitrag, da sonst $H=0$ oder $d\vec{s} \perp \vec{H}$.

$$\oint_C \vec{H} d\vec{s} = \int_{C_1} H_z(s_1) \underbrace{ds}_{=dz} + \int_{C_2} H_z \vec{e}_z \cdot \vec{e}_z ds \underbrace{= 0}_{=} + \underbrace{- \int_{C_3} H_z(s_2) dz}_{=0} + 0 \\ = H_z(s_1) \cdot h \stackrel{!}{=} I_A = \sigma_e R \cdot h \cdot w$$

$s_1 < R$

KONSTANT
HOMOGEN

$$\implies \underline{\underline{\vec{H}(0 \leq s \leq R) = \sigma_e R \cdot w \cdot \vec{e}_z}} \quad \underbrace{w}_{=V}$$

Die bewegte Flächenladung entspricht den Wicklungen um einen Schenkel in denen ein Strom I fließt (Die Form des Feldes ist ähnlich)
 [Im Inneren von einer schlanken Spule gilt $H_i = \frac{N I}{e}$]

e)

$$\vec{J} = \vec{v} \cdot \vec{p}_e$$

$$\vec{J}_A = \vec{v} \cdot \sigma_e$$

$$\vec{v}(r) = p_e \cdot \omega \cdot \vec{e}_\phi \quad (\text{aus } \omega = \frac{v}{r})$$

$$\Rightarrow \vec{J}(r < R) = \rho_{eo} \cdot r \cdot \omega \cdot \vec{e}_\phi$$

$$\begin{aligned} \oint_C \vec{H} d\vec{s} &= H_z(r_1) \cdot h \stackrel{!}{=} \iint_A \vec{J} d\vec{A} \\ &= \int_0^h \int_{S_1} \rho_{eo} \cdot r \cdot \omega \underbrace{\vec{e}_\phi \cdot \vec{e}_\phi}_{=1} \cdot dr dz \end{aligned}$$

$$= \rho_{eo} \cdot h \cdot \omega \cdot \frac{1}{2} (R^2 - r_1^2)$$

In der z-Achse
am stärksten

nicht
konstant
(Raumladung)
(unabhängig
von μ)

$$\Rightarrow \underline{\underline{\vec{H}(r) = \frac{\rho_{eo} \cdot \omega}{2} (R^2 - r^2) \cdot \vec{e}_z}}; \text{ für } r < R$$

f)

$$\oint_C \vec{H} d\vec{s} = \iint_A (\vec{J} + \frac{\partial \vec{D}}{\partial t}) d\vec{A} \iff \text{rot } \vec{H} = \vec{J} + \frac{\partial \vec{D}}{\partial t}$$

$$\text{rot } \vec{H} = -\vec{e}_\phi \cdot \frac{\partial H_z}{\partial r}$$

$$= -\vec{e}_\phi \cdot (-\rho_{eo} \cdot \omega \cdot r)$$

$$= \underline{\underline{\rho_{eo} \cdot r \cdot \omega \cdot \vec{e}_\phi = \vec{J}(r < R)}}$$

11.01.10

Kleingruppe

g)

$$\text{rot } \vec{H} = \vec{j} = \rho_e(p) \cdot \vec{v} = \rho_e(p) \cdot \omega p \cdot \vec{e}_\phi$$

$$\text{rot } \vec{H} = -\vec{e}_\phi \cdot \frac{\partial H_z}{\partial p}$$

$$= -\vec{e}_\phi \cdot \omega \rho_{eo} \left(2p - 3 \cdot \frac{p^2}{R} \right)$$

$$= \omega p \cdot \rho_{eo} \left(\frac{3p}{R} - 2 \right) \vec{e}_\phi \quad \text{"Koeffizientenvergleich"}$$

Durch Vektoren teilen verboten

$$\rho_e(s) = \frac{\vec{B}}{\omega s \cdot \vec{e}_\phi}$$

$$\implies \underline{\underline{\rho_e(p) = \rho_{eo} \left(\frac{3p}{R} - 2 \right)}}$$

Durch Vektoren teilen ist strikt verboten.

Strom allg. ist kein Vektor, obwohl er Richtung aufweist!

$$\vec{J}_Q^I \hat{=} \text{Flächenstromdichte}$$

$$[J_Q^I] = \frac{A}{m}$$

, Die Vektoren \vec{r}_{AQ} , welche vom erzeugenden Strom \vec{J}_Q^I zum Aufpunkt zeigen, werden im Kreuzprodukt aufsummiert" ($\hat{=}$ formal: Coulomb-Gesetz über erzeugende Ladung)

a) $\vec{v} = \omega \cdot p_Q \cdot \vec{e}_{\phi_Q}$

$$\Rightarrow \vec{J}_Q^I = \sigma_e \cdot \omega \cdot p_Q \cdot \vec{e}_{\phi_Q}$$

Index Q bedeutet vom Ursprung aus gesehen
(da Vektoren nicht einheitlich in Zylinderkoordinaten)

b) $\vec{r}_{AQ} = z_A \vec{e}_z - p_Q \vec{e}_{p_Q} = \vec{r}_A - \vec{r}_Q$

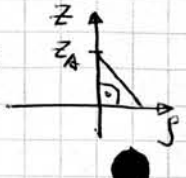
gilt nur, da $\vec{r}_A \perp \vec{r}_Q$

$$r_{AQ} = \sqrt{z_A^2 + p_Q^2}$$

Pythagoras

In Zylinderkoordinaten
allgemein nicht richtig

Bei schrägen Dreiecken
Cosinussatz!



$$\begin{aligned} \vec{J}_Q^I \times \vec{r}_{AQ} &= \sigma_e \omega p_Q \vec{e}_{\phi_Q} \times (z_A \vec{e}_z - p_Q \vec{e}_{p_Q}) \\ &= \sigma_e \omega p_Q (z_A \vec{e}_{p_Q} + p_Q \vec{e}_z) \end{aligned}$$

$$dA_Q = p_Q d\phi_Q \cdot ds_Q$$

Bei Biot-Savart
stehen

zwischen
Größen auf
Quelle oder
Aufpunkt

bezogen
unterschiedl.
(A/Q)

18.01.10

Kleingruppe

$$\Rightarrow \vec{H}_A(\vec{r}_A) = \frac{\sigma_e \omega}{4\pi} \int_0^a \int_0^{2\pi} \frac{z_A \cdot \rho_Q \vec{e}_{\rho_Q} + \rho_Q^2 \vec{e}_z}{[z_A^2 + \rho_Q^2]^{3/2}} \cdot \vec{e}_z \cdot d\phi_Q d\rho_Q$$

$\rho_Q=0 \quad \phi_Q=0$

c)

$$\vec{H}_A(\vec{r}_A) = H_{A,z} \cdot \vec{e}_z \quad \text{folgt aus Rotationsymmetrie}$$

$$H_{A,z} = \frac{\sigma_e \omega}{4\pi} \int_0^a \int_0^{2\pi} \frac{\rho_Q^3}{[z_A^2 + \rho_Q^2]^{3/2}} d\phi_Q d\rho_Q$$

$\rho_Q=0 \quad \phi_Q=0$

$$= \frac{\sigma_e \cdot \omega}{2} \left[\sqrt{z_A^2 + \rho_Q^2} + \frac{z_A^2}{\sqrt{z_A^2 + \rho_Q^2}} \right] \Big|_{\rho_Q=0}^a$$

$$= \frac{\sigma_e \cdot \omega}{2} \left[\sqrt{z_A^2 + a^2} + \frac{z_A^2}{\sqrt{z_A^2 + a^2}} - z_A - \frac{z_A^2}{z_A} \right]$$

$$= \frac{\sigma_e \omega}{2} \left(\frac{2z_A^2 + a^2}{\sqrt{z_A^2 + a^2}} - 2z_A \right)$$

d)

Vgl. Vorgehen

$$\rho_e \cdot dz_Q = d\rho_e$$

$$z_A \sim z_A - z_Q$$

Coulomb-Gesetz

$$\Rightarrow d\vec{H}_A(\vec{r}_A) = \frac{\rho_e dz_Q \cdot \omega}{2} \left(\frac{2(z_A - z_Q)^2 + a^2}{\sqrt{(z_A - z_Q)^2 + a^2}} - 2(z_A - z_Q) \right) \cdot \vec{e}_z$$

25.01.10

Kleingruppe

(14)

Magnetische Vektorpotenzial

$$\vec{B} = \text{rot } \vec{A}_m$$

Magnetische Fluss

$$\phi(t) = \iint_A \vec{B} d\vec{A} = \oint_C \vec{A}_m d\vec{s}$$

11
 $\text{div rot } \vec{v} =$
 da $\text{div } \vec{B} = 0$
 (immer)

— „Dabei berandet C die Fläche A im Rechtsschraubensinn.“

} Stokes

a)

$$z(t) = z_0 - v_0 t$$

$$\phi(t) = \iint_A \vec{B} d\vec{A} = \oint_C \vec{A}_m (p_A = R, z_A = z(t)) \cdot d\vec{s}$$

magn. Moment
entspricht
Permanenzmagnet

$$\left. \begin{array}{l} d\vec{A} = p \cdot d\phi \cdot ds \cdot \vec{e}_z \\ d\vec{s} = R \cdot d\phi \cdot \vec{e}_\phi \end{array} \right\} \text{Rechtsschraube}$$

$$\phi(t) = \int_0^{2\pi} \frac{\mu_0 m_0}{4\pi} \frac{R}{[R^2 + (z(t))^2]^{3/2}} \underbrace{\vec{e}_\phi \cdot \vec{e}_\phi \cdot R \cdot d\phi}_=$$

$$= \frac{\mu_0 m_0}{2} \frac{R^2}{[R^2 + (z_0 - v_0 t)^2]^{3/2}}$$

> 0 , da $d\vec{A} \uparrow \vec{B}$

25.01.10

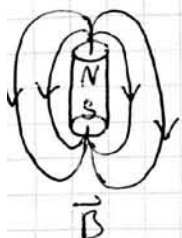
Kleingruppe

b)

$$u_i(t) = -\frac{d\phi}{dt}$$

URCSUMMERHINDESSSTETI

Induzierte Spannung



$$u_{i1}(t) = -\frac{d\phi}{dt}$$

$$= -\frac{\mu_0 m_0}{2} \cdot \left(-\frac{3}{2}\right) \cdot \frac{R^2 \cdot (-V_0)}{[R^2 + (Z_0 - V_0 t)^2]^{5/2}} \cdot 2(Z_0 - V_0 t)$$

$$= -\frac{\mu_0 m_0 \cdot 3}{2} \cdot \frac{R^2 V_0 \cdot (Z_0 - V_0 t)}{[R^2 + (Z_0 - V_0 t)^2]^{5/2}}$$

- „Die Richtung der induzierten Spannung ist eindeutig festgelegt durch $d\vec{A}$ bzw. $d\vec{s}$ “

 $u_{i1}(t)$

c)

$$\vec{E}_i = \vec{v} \times \vec{B}$$

Induzierte Feldstärke

Nur B_g und B_ϕ können einen Beitrag zu \vec{E}_{i2} leisten, weil $\vec{v} = V_0 (-\vec{e}_z)$. Aus der Rotationssymmetrie folgt $B_\phi = 0$. Somit ist nur B_g relevant.

$$\begin{aligned} B_g &= \vec{e}_g \cdot \text{rot} \vec{A}_m = -\frac{\partial A_m, \phi}{\partial Z_A} \\ &= -\frac{\mu_0 m_0}{4\pi} \cdot \left(-\frac{3}{2}\right) \cdot \frac{S_A}{[S_A^2 + Z_A^2]^{5/2}} \cdot 2 Z_A \\ &= \frac{3}{4} \frac{\mu_0 m_0 \cdot S_A \cdot Z_A}{\pi [S_A^2 + Z_A^2]^{5/2}} \end{aligned}$$

d) Am Ort der Leiterschleife gilt:

$$\begin{aligned}\vec{E}_{c2} &= \vec{v} \times \vec{B}_p (r_A = R, z_A = z(t)) \cdot \vec{e}_s \\ &= [v_0(-\vec{e}_z)] \times \left[\frac{3}{4} \frac{\mu_0 m_0 \cdot R \cdot (z_0 - v_0 t)}{\pi [R^2 + (z_0 - v_0 t)^2]^{5/2}} \vec{e}_s \right] \\ &= -\frac{3}{4} \frac{\mu_0 m_0 R v_0 (z_0 - v_0 t)}{\pi [R^2 + (z_0 - v_0 t)^2]^{5/2}} \vec{e}_\phi\end{aligned}$$

Lorenzkraft
für Induktion
verantwortlich

e)

$$\begin{aligned}U_{12}(t) &= \oint_S \vec{E}_{12}(t) d\vec{s} \quad d\vec{s} = \vec{e}_\phi \cdot \textcircled{R} \cdot d\phi \\ &= -\frac{3}{2} \cdot \frac{\mu_0 m_0 R^2 v_0 (z_0 - v_0 t)}{[R^2 + (z_0 - v_0 t)^2]^{5/2}} = U_{11}(t)\end{aligned}$$

nicht vergessen !

Es gilt allgemein: (Essenz dieser Aufgabe)

$$-\frac{d}{dt} \oint_C \vec{A}_m d\vec{s} = -\frac{d}{dt} \iint_A \vec{B} d\vec{A} = -\frac{d}{dt} \phi(t) = U_i(t) = \oint_C \vec{E}_c d\vec{s} = \oint_C (\vec{v} \times \vec{B}) d\vec{s}$$

„Dabei umschließt die Kurve C die Fläche A im Rechtsschraubensinn“

01.02.10

(15)

Kleingruppe

12

a)

$$\vec{B} = \frac{\mu_0 I}{2\pi s} \cdot \vec{e}_\phi \xrightarrow{\text{hier}} \vec{B} = \frac{\mu_0 I}{2\pi x} \vec{e}_y \quad \begin{array}{l} \ln \\ x-z-\text{Ebene} \\ \hookrightarrow (y=0) \end{array}$$

$$\begin{aligned} \Phi &= \iint_A \vec{B} d\vec{A} = \int_0^a \int_{x_s}^{x_s+a} \frac{\mu_0 I}{2\pi x} dx dz ; d\vec{A} = \vec{e}_y dx dz \\ &= \frac{\mu_0 I \cdot a}{2\pi} \ln\left(\frac{x_s+a}{x_s}\right) > 0, \text{ da } d\vec{A} \uparrow \vec{B} \end{aligned}$$

b)

$$\Phi = \frac{\mu_0 \cdot T \cdot \sin(\omega t) \cdot a \cdot \ln(2)}{2\pi}$$

Ruheinduktion

$$U_i(t) = - \frac{d\Phi}{dt} = - \frac{\mu_0 T \cdot a \cdot \ln(2) \cos(\omega t) \cdot \omega}{2\pi}$$

$$U_{12}(t) = - U_i(t) = \frac{\mu_0 T \cdot a \cdot \ln(2) \cdot \cos(\omega t) \cdot \omega}{2\pi}$$

, da $U_{12}(t) \uparrow U_i(t)$

Da kein Strom fließt muss die Spannung über den Klemmen abfallen. Klemmenspannung wird immer auf dem kürzesten Weg gemessen.

c)

$$\phi = \frac{\mu_0 I \cdot a}{2\pi} \ln\left(\frac{v_0 t + 2a}{v_0 t + a}\right) = \frac{\mu_0 I a}{2\pi} \ln\left(1 + \frac{a}{v_0 t + a}\right)$$

Kleingruppe

$$U_{12} = -U_i = \frac{d\phi}{dt}$$

Bewegungsinduktion

$$= \frac{\mu_0 I a}{2\pi} \frac{v_0 t + a}{v_0 t + 2a} \cdot (-1) \frac{a}{(v_0 t + a)^2} \cdot v_0$$

$$= -\frac{\mu_0 I \cdot a^2 v_0}{2\pi (v_0 t + 2a)(v_0 t + a)}$$

d)

$$\phi = \frac{\mu_0 a \cdot I \sin(wt)}{2\pi} \ln\left(\frac{v_0 t + 2a}{v_0 t + a}\right)$$

Bewegungs- und Ruheinduktion

$$U_{12} = +\frac{d\phi}{dt} = -U_i =$$

$$= \frac{\mu_0 a I}{2\pi} \left(\cos(wt) w \ln\left(1 + \frac{a}{v_0 t + a}\right) + \sin(wt) \frac{v_0 t + a}{v_0 t + 2a} \cdot (-1) \frac{a \cdot v_0}{(v_0 t + a)^2} \right)$$

$$= \frac{\mu_0 a I}{2\pi} \left(\cos(wt) w \ln\left(1 + \frac{a}{v_0 t + a}\right) - \frac{\sin(wt) a v_0}{(v_0 t + 2a)(v_0 t + a)} \right)$$

(Kettenregel)

0.1.02.10

Kleingruppe

e)

Die zwei neuen Schleifen werden nun jeweils vom halben Fluss durchströmt.

$$\emptyset = \frac{\mu_0 \cdot a \cdot \frac{1}{2} \sin(\omega t) \cdot \ln(2)}{4\pi}$$

$$i_s(t) \cdot 3R_o = u_i = \frac{d\emptyset}{dt} = -\frac{\mu_0 a \frac{1}{2} \ln(2)}{4\pi} \cos(\omega t) \cdot \omega$$

$$i_s(t) = -\frac{\mu_0 a \frac{1}{2} \ln(2) \cos(\omega t) \omega}{12 R_o \pi}$$

Muschengl.:
(untere)

$$u_i(t) = -\frac{d\emptyset}{dt} = -u_{12}(t) - i_s(t) \cdot R_o$$

$$u_{12}(t) = -u_i(t) - i_s(t) R_o$$

$$= \frac{\mu_0 a \frac{1}{2} \ln(2) \cos(\omega t) \omega}{4\pi} + \frac{\mu_0 a \frac{1}{2} \ln(2) \cos(\omega t) \omega}{12\pi}$$

$$= \frac{\mu_0 a \frac{1}{2} \ln(2) \cos(\omega t) \omega}{3\pi}$$

f)

$$\emptyset = \frac{\mu_0 \frac{1}{2} \cdot a}{2\pi} \ln \left(1 + \frac{a}{v_0 t + a} \right) \cdot \frac{1}{2}$$

NUR
Bewegungsinduktion

$$u_i(t) = -\frac{d\emptyset}{dt} = \frac{\mu_0 \frac{1}{2} \cdot a^2 v_0}{4\pi (v_0 t + 2a)(v_0 t + a)}$$

$$P_{el}(t) = \frac{u_i(t)^2}{3R_o} = \frac{\mu_0^2 \frac{1}{2}^2 a^4 v_0^2}{48\pi^2 R_o (v_0 t + 2a)^2 (v_0 t + a)^2}$$

Nur in der
oberen Schleife
wird Leistung
umgesetzt!

Induktionseffekte treten hier nur wegen einer Bewegung, nicht wegen einer zeitlichen Änderung von \vec{B} . Also:

$$P_{mech}(t) = \vec{P} \cdot \vec{v} = P_{el}(t)$$

$$F_x(t) = \frac{P_{el}(t)}{v_0} = \frac{\mu_0^2 \frac{1}{2}^2 a^4 v_0}{48\pi^2 R_o (v_0 t + 2a)^2 (v_0 t + a)^2}$$

$F_x > 0$, nach
der Lenzschen
Regel!

Kleingruppenübung zu Grundgebiete der Elektrotechnik III

Lehrstuhl für Allgemeine Elektrotechnik und Datenverarbeitungssysteme
Univ.-Prof. Dr.-Ing. T. Noll
WS 09/10 - Blatt 1

Aufgabe 1 $E = \epsilon_0 RR$

Zwei Punktladungen $Q_1 = Q_2 = Q$ befinden sich im Vakuum an den Positionen $\vec{r}_1 = a \cdot \vec{e}_x$ und $\vec{r}_2 = a \cdot \vec{e}_y$. Gesucht ist die elektrostatische Feldstärke im gesamten Raum (ausgenommen an den Orten der Punktladungen).

- Begründen Sie, weshalb Kugelkoordinaten zur Beschreibung des elektrischen Feldes in diesem Fall nicht geeignet sind. Nennen Sie ein Beispiel für eine Ladungsanordnung, deren elektrisches Feld sich leicht in Kugelkoordinaten formulieren lässt.
- Geben Sie zunächst das elektrische Feld einer Punktladung Q im Ursprung in kartesischen Koordinaten an. Geben Sie die beiden von Q_1 und Q_2 jeweils allein erzeugten Felder \vec{E}_1 und \vec{E}_2 an.
- Berechnen Sie $\vec{E}_{\text{ges}} = \vec{E}_1 + \vec{E}_2$.

Aufgabe 2 $F RR$

Eine Linienladung q_L der Länge $2a$ befindet sich in der z -Achse, siehe Abbildung 1. Betrachtet wird das elektrische Feld \vec{E} im Aufpunkt $(x_A, 0, 0)$.

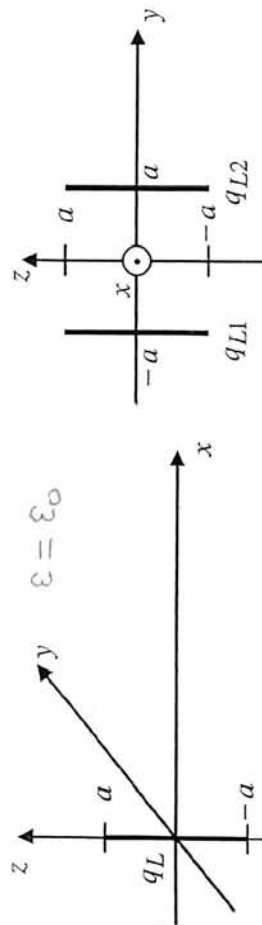


Abbildung 1

Abbildung 2

- Begründen Sie, welche kartesischen Komponenten von \vec{E} aus Symmetriegründen im Aufpunkt verschwinden.
- Geben Sie den Beitrag dE_x an, den ein infinitesimales Element dQ der Linienladung im Aufpunkt bewirkt.
- Bestimmen Sie $\vec{E}(x_A, 0, 0)$ durch Integration.

HINWEIS:
$$\int \frac{1}{(x^2 + c^2)^{3/2}} dx = \frac{\ln(x)}{c^2 \cdot \sqrt{x^2 + c^2}}$$

- Nun wird eine Anordnung aus zwei Linienladungen q_{L1} und q_{L2} bei $y = a$ und $y = -a$ betrachtet, die parallel zur z -Achse liegen, siehe Abbildung 2.
- In welcher Ebene liegen die Beiträge \vec{E}_1 und \vec{E}_2 der beiden Linienladungen im Aufpunkt?

Beachten Sie im Folgenden die Symmetrien für $\vec{E}_{\text{ges}} = \vec{E}_1 + \vec{E}_2$.

- Bestimmen Sie $\vec{E}_{\text{ges}}(x_A, 0, 0)$ für $q_{L1} = q_{L2} = q_L$.
- Bestimmen Sie $\vec{E}_{\text{ges}}(x_A, 0, 0)$ für $q_{L1} = -q_{L2} = q_L$.

Kleingruppenübung zu Grundgebiete der Elektrotechnik III

Lehrstuhl für Allgemeine Elektrotechnik und Datenverarbeitungssysteme
Univ.-Prof. Dr.-Ing. T. Noll
WS 09/10 - Blatt 2

Aufgabe 5 R R R R

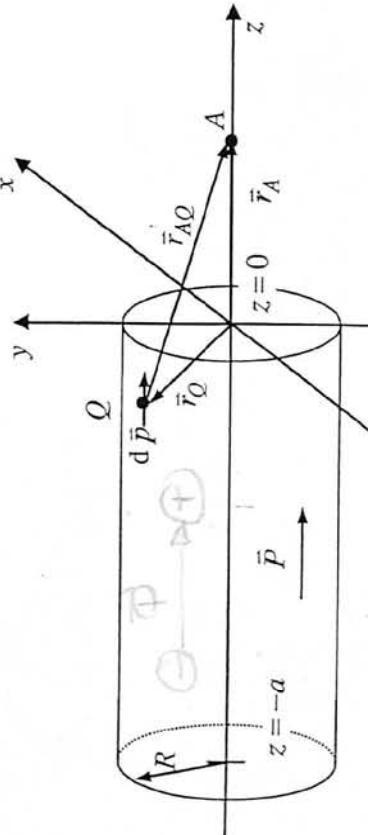


Abbildung 4

Gegeben ist ein Zylinder mit der homogenen, elektrischen Polarisierung $\vec{P} = P_0 \cdot \hat{e}_z$ gemäß Abbildung 4. Zur Bestimmung des vom Zylinder erzeugten elektrischen Feldes soll das polarisierte Material als ein mit elementaren Dipolen gefülltes Gebiet betrachtet werden. Jeder Elementardipol besteht dabei aus zwei infinitesimal gegeneinander verschobenen Punktladungen. Der Zusammenhang zwischen dem lokalen Dipolmoment \vec{p} und der Polarisierung

$\vec{P} = \frac{\partial}{\partial V} \vec{p}$ beschrieben. Das elektrische Potential φ_D eines Dipols lautet $\varphi_D = \frac{1}{4\pi\epsilon_0} \cdot \frac{\vec{p} \cdot \vec{r}_{AQ}}{r_{AQ}^3}$.

- Wie groß ist das infinitesimale Dipolmoment $d\vec{p}$, welches von \vec{P} im Volumenelement dV_Q verursacht wird? Wie groß ist allgemein der Potentialbeitrag $d\varphi_A$ am Aufpunkt A von $d\vec{p}$ am Ort Q ?
- Geben Sie den Potentialbeitrag $d\varphi_A$ aus Unterpunkt a) für einen Punkt $A(0,0,z_A)$ mit $z_A > 0$ in Zylinderkoordinaten an.
- Beschreiben Sie das vom Zylinder gemäß Abbildung 1 erzeugte elektrische Potential φ_A für einen Punkt $A(0,0,z_A)$ mit $z_A > 0$ in integraler Form.
- Berechnen Sie das elektrische Potential aus Unterpunkt c) für einen in negative z -Richtung sehr weit ausgedehnten Zylinder ($a \rightarrow \infty$).

HINWEIS: Führen Sie zunächst die Integration über z , dann über ρ aus.

$$\int \left[\frac{b-x}{(b-x)^2 + A^2} \right]^{3/2} dx = \frac{1}{\sqrt{(b-x)^2 + A^2}}$$

$$\int \frac{x}{\sqrt{x^2 + A^2}} dx = \sqrt{x^2 + A^2}$$

- Welche Richtung hat \vec{E} aus Symmetriegründen auf der z -Achse?
- Berechnen Sie $\vec{E}(0,0,z_A)$ für $z_A > 0$ mit dem Ergebnis aus d).

Aufgabe 3

Die Linieneladungen aus Abbildung 2 werden starr miteinander verbunden, die Anordnung ist drehbar um die z-Achse gelagert. Es gilt $q_{L1} = -q_{L2} = q_L$.

- Berechnen Sie die Gesamtkraft \vec{F} und das Drehmoment \vec{L} auf die Anordnung in einem äußeren, homogenen Feld $\vec{E} = E_0 \cdot \hat{e}_x$.
- Berechnen Sie die Gesamtkraft \vec{F} auf die Anordnung im Feld \vec{E}_Q einer ortsfesten Punktladung Q am Ort $(x_Q, 0, 0)$.

Aufgabe 4 (super wichtige Aufgabe)

Gegeben ist eine kugelsymmetrische Anordnung (Abbildung 3). Die Kugel mit dem Radius a besteht aus dielektrischem Material mit $\epsilon_r = 4$, in das die Raumladungsverteilung $\rho_e(r) = \rho_{e0} \cdot r^2/a^2$ eingebettet ist ($0 \leq r \leq a$, $\rho_{e0} = \text{const} > 0$). Diese Kugel ist umgeben von einer Schale mit dem Außenradius $b = 2a$, in der die Permittivität radiusabhängig ist gemäß $\epsilon_r(r) = k \cdot r$ ($a < r \leq b$, $k = \text{const}$). Die Anordnung befindet sich im Vakuum, d. h. $\epsilon = \epsilon_0$ für $r > b$.

- Geben Sie die Ausdrücke für die elektrische Feldstärke $\vec{E}(\vec{r})$ in den drei Bereichen $0 \leq r < a$, $a < r < b$ und $r > b$ an.
- Welchen Wert muss k haben, damit $\vec{E}(\vec{r})$ bei $r = a$ stetig verläuft? Skizzieren Sie für diesen Fall den Verlauf des Betrages $|\vec{E}(\vec{r})|$ im Bereich $0 \leq r \leq 3a$.
- Berechnen Sie das elektrostatische Potential $\varphi_e(r)$ in den drei Bereichen für $\varphi_e(r=0) = 0$.

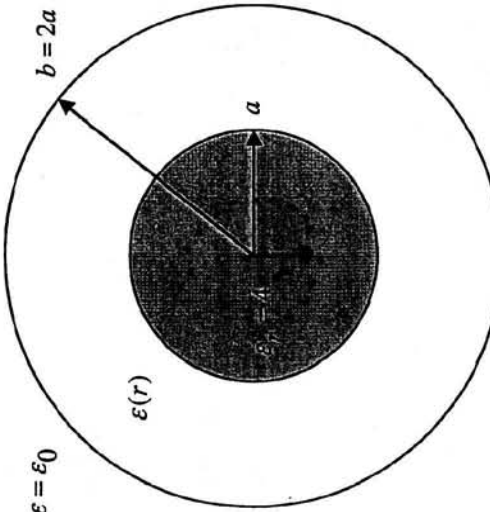


Abbildung 3

Aufgabe 6

Ein zylinderförmiger Leiter mit dem Radius ρ_1 wird durch eine leitfähige Wand der Dicke d geführt. Die Wanddurchführung mit dem Radius ρ_2 ist mit einem Isolator ϵ gefüllt (Abbildung 5). Der Leiter trägt den Ladungsbetrag q_L und hat das elektrische Potential $\varphi_e = U$. Die Wand ist geerdet ($\varphi_e = 0$).
 Hinweis: Streufelder für $|z| > \frac{d}{2}$ sind zu vernachlässigen (keine Randeffekte).

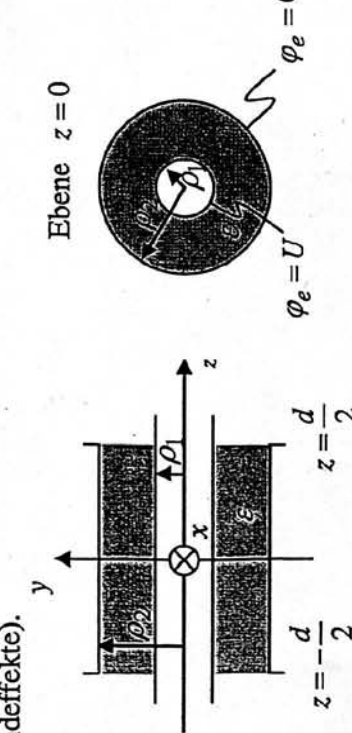


Abbildung 5

c) An welchem Ort ist der Betrag der elektrischen Feldstärke $|\vec{E}|$ maximal? Wie groß ist dieser Wert?

d) Wie groß ist die Kapazität C_1 der Anordnung?

Der zylinderförmige Leiter wird nun durch eine quadratische Öffnung in der Wand mit der Kantenlänge $l = 6\rho_1$ geführt (Abbildung 6). Der Zwischenraum ist wiederum mit einem Isolator ϵ gefüllt. Zwischen Leiter und Wand liegt weiterhin die Spannung U an. Die Potentialverteilung im Zwischenraum soll numerisch bestimmt werden. Dazu werden die Gitterpunkte a_1 bis a_5 betrachtet.

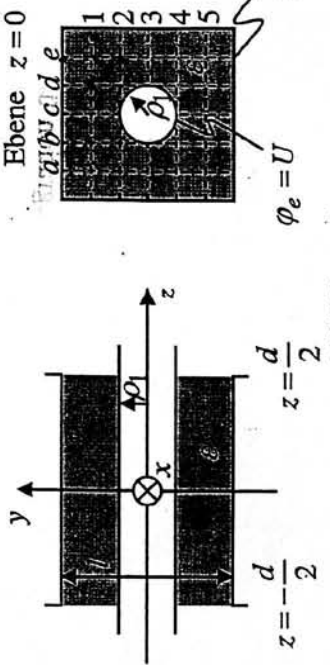


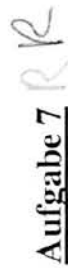
Abbildung 6

e) Welche Gitterpunkte haben aus Symmetriegründen gleiches Potential? Für wie viele Gitterpunkte muss das Potential mindestens berechnet werden?

f) Stellen Sie für das Potential dieser Punkte ein Gleichungssystem mit Hilfe des zweidimensionalen, diskreten Laplaceoperators auf (Differenzenverfahren).

Kleingruppenübung zu
Grundgebiete der Elektrotechnik III

Lehrstuhl für Allgemeine Elektrotechnik und Datenverarbeitungssysteme
 Univ.-Prof. Dr.-Ing. T. Noll
 WS 09/10 - Blatt 3

Aufgabe 7 

Gegeben ist die Anordnung zweier paralleler, unendlich langer Linienladungen mit den Ladungsbeträgen q_L und $-q_L$.

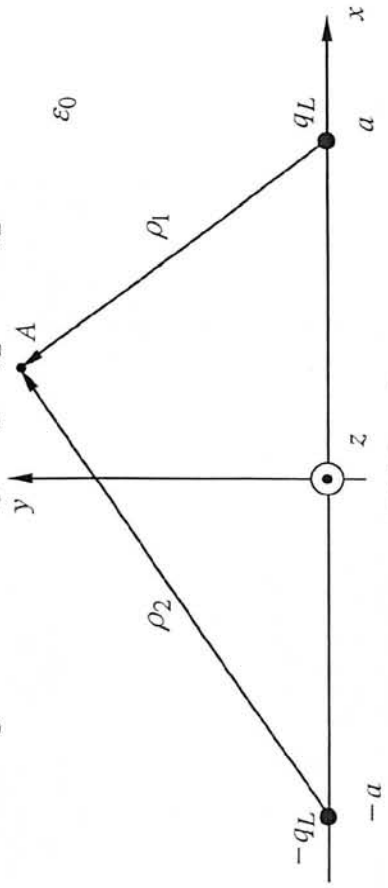


Abbildung 7

Die Schnittlinien der Äquipotentialflächen dieser Anordnung mit der x - y -Ebene sind exzentrische Kreise, jeweils mit dem Mittelpunkt ($x = x_{M,i}, y = 0$) und dem Radius R . Für jeden Kreis ist die Gleichung $a^2 + R^2 = x_M^2$ erfüllt. Um die Kapazität C_E eines exzentrischen, luftgefüllten Zylinderkondensators der Länge l zu berechnen, wird eine Ersatzanordnung aus zwei Linienladungen betrachtet. Die Kondensatorelektroden liegen auf zwei Äquipotentialflächen der Ersatzanordnung. Für die innere Elektrode gilt $x_{M,i} = 13\rho_0$, $R_i = 5\rho_0$. Für die äußere Elektrode gilt $x_{M,a} = 15\rho_0$, $R_a = 9\rho_0$.

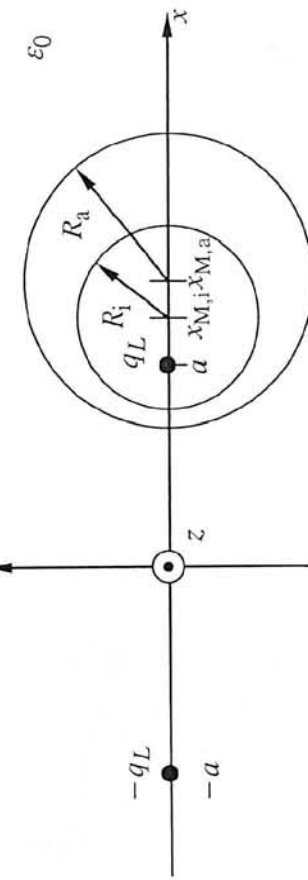


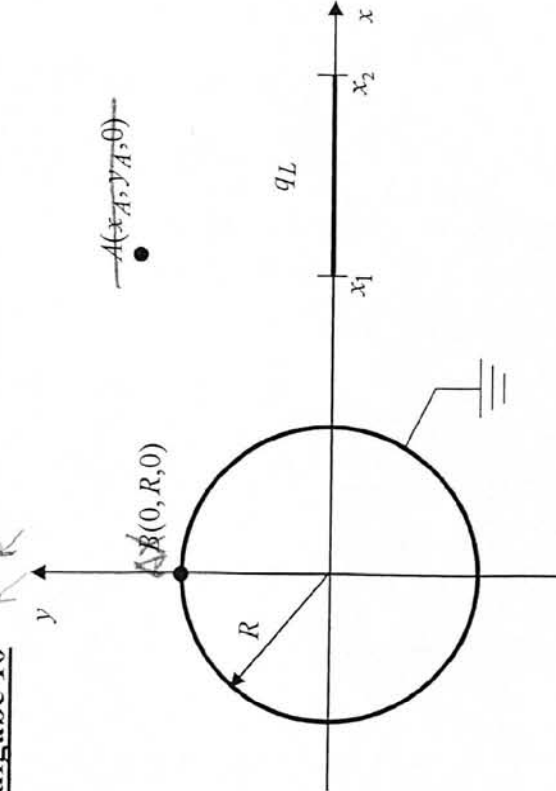
Abbildung 8

- c) Wie groß muss der Abstand $2a$ der Linienladungen gewählt werden?
 - d) Berechnen Sie mit dem Ergebnis aus den Unterpunkten b) und c) die Spannung $U = \varphi_i - \varphi_a$ zwischen den beiden Äquipotentialflächen. Wie groß ist die Kapazität C_E der Anordnung?
 - e) Wie groß ist die Kapazität C_K , wenn die beiden Elektroden konzentrisch angeordnet sind?
HINWEIS für die Unterpunkte d) und e): Streueffekte an den Kondensatoren sind zu vernachlässigen.
- a) Berechnen Sie, ausgehend vom elektrischen Feld, das von der bei $x = a$ platzierten Linienladung q_L verursachte Potential $\varphi_1(\rho_1)$ am Aufpunkt A($x_A, y_A, 0$). Die z-Achse soll dabei das Referenzpotential $\varphi_0 = 0$ erhalten.
- b) Berechnen Sie mit dem Ergebnis aus a) das gesamte Potential der Anordnung aus Abbildung 7 in Abhängigkeit von ρ_1 und ρ_2 .

Kleingruppenübung zu Grundgebiete der Elektrotechnik III

Lehrstuhl für Allgemeine Elektrotechnik und Datenverarbeitungssysteme
Univ.-Prof. Dr.-Ing. T. Noll
WS 09/10 - Blatt 4

Aufgabe 10



- Welche Randbedingung gilt für die Feldlinien der elektrischen Feldstärke auf der Oberfläche der Kugel?
- In welchem Bereich muss eine Ersatzladung angenommen werden, um für $|r| > R$ das gleiche elektrische Feld ohne die Kugel zu erzeugen? Geben Sie dazu die Anfangs- und Endpositionen x'_1 und x'_2 dieser Ersatzladung an.

Betrachtet wird ein Teilstück dx der Linienladung mit der Ladung $dQ = q_L \cdot dx$ an der Position x ($x_1 < x < x_2$).

- An welcher Stelle x' ($x'_2 < x' < x'_1$) muss die zu dQ gehörende Ersatzladung dQ' angenommen werden? Beschreiben Sie die infinitesimale Länge dx' dieser Ersatzladung in Abhängigkeit von x und dx .

HINWEIS: Bilden Sie die Ableitung $\frac{dx'}{dx}$

- Welche Größe $dQ'(x, dx)$ hat die zugehörige Ersatzladung? Bestimmen Sie damit $dQ'(x', dx')$.
- Berechnen Sie nun den ortsabhängigen Ladungsbetrag $q'_L(x')$ der Ersatzladung.

HINWEIS: Für den Betrag des Ladungsbetags gilt $|q'_L(x')| = \left| \frac{dQ'(x')}{dx'} \right|$

- In welche Richtung zeigt das elektrische Feld der Ersatzanordnung im Aufpunkt A bei $y = R$ in der y-Achse?
- Gegeben ist eine elektrostatische Anordnung mit einer Linienladung in der x-Achse von $x = x_1$ bis $x = x_2$ mit dem konstanten Ladungsbetrag q_L , sowie einer leitenden, geerdeten Hohlkugel mit dem Radius R und dem Mittelpunkt im Koordinatenursprung.

Abbildung 11

Aufgabe 8

Aus einem unendlich langen, ideal leitenden Linienleiter, welcher sich in der z -Achse befindet, tritt pro Längeneinheit der Strom I' senkrecht zur z -Achse aus ($[I'] = 1 \text{ A/m}$). Das zylinderförmige Gebiet 1 mit dem Radius R (Zylinderachse = z -Achse) besitzt die spezifische Leitfähigkeit σ_1 und die spezifische Leitfähigkeit $\sigma_1 = \sigma_0 \cdot \left(1 + \frac{\rho}{R}\right)$ und die Permittivität $\epsilon_1 = \epsilon_0$. Für das Gebiet 2 beträgt die spezifische Leitfähigkeit $\sigma_2 = 2\sigma_0$ und die Permittivität $\epsilon_2 = \epsilon_0 \cdot \frac{\rho}{R}$.

a) Geben Sie für $\rho > 0$ die elektrische Stromdichte \vec{J} an (keine Herleitung erforderlich) und leiten Sie aus dem Ergebnis die elektrische Feldstärke \vec{E} ab.

b) Berechnen Sie die elektrische Flussdichte \vec{D} für $\rho > 0$.

c) Berechnen Sie die Raumladungsdichte ρ_e für $\rho > 0$.

d) Geben Sie den Ladungsbetrag q_L auf dem ideal leitenden Linienleiter an.

e) Welche Orte eignen sich nicht als Bezugspunkt für das elektrische Potential?

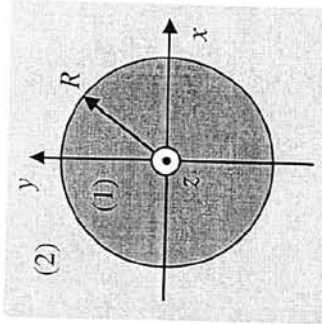


Abbildung 9

Aufgabe 9

Der Kugelkondensator in Abbildung 10 besteht aus zwei konzentrischen, ideal leitenden Kugelschalen mit den Radien r_1 und r_2 . Das Material im Zwischenraum hat die Permittivität ϵ_0 und die spezifische Leitfähigkeit σ . Zunächst sind beide Kugelschalen ungeladen, d. h. $Q_1(t < 0) = Q_2(t < 0) = 0$. Zum Zeitpunkt $t = 0$ wird auf die innere Kugelschale die Ladung Q_0 aufgebracht.

a) Geben Sie für $r_1 < r < r_2$ und $t > 0$ die elektrische Feldstärke $\vec{E}(\vec{r}, t)$ und die elektrische Flussdichte $\vec{D}(\vec{r}, t)$ in Abhängigkeit von $Q_1(t)$ an.

b) Leiten Sie aus $\oint_H \left(\vec{J} + \frac{\partial \vec{D}}{\partial t} \right) d\vec{A} = 0$ eine Differentialgleichung in t für $D_r(r, t)$ auf einer Kugeloberfläche H mit dem Radius r ab ($r_1 < r < r_2$). Ersetzen Sie dazu mithilfe der Materialgleichungen J_r durch D_r .

c) Lösen Sie die Differentialgleichung mit dem Ansatz $D_r(r, t) = D_0(r) \cdot \exp(-t/\tau)$ und beschreiben Sie $\bar{D}(r, t)$ in Abhängigkeit von Q_0 und den Materialkonstanten.

- d) Welcher Strom $I(t)$ fließt für $t > 0$ zwischen den Kugelschalen, und wie groß ist $U_{12}(t)$?
- e) Welche Ladungsverteilung stellt sich für $t \rightarrow \infty$ ein?
- f) Wie verteilt sich eine Ladung Q_0 für $t \rightarrow \infty$, die zum Zeitpunkt $t = 0$ auf eine Elektrode eines vorher ungeladenen Plattenkondensators aufgebracht wird, der mit dem gleichen Material gefüllt ist?

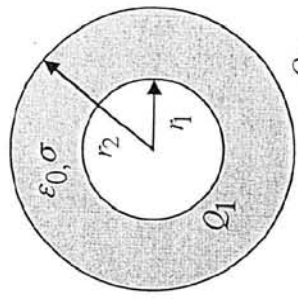


Abbildung 10

a) Geben Sie für $\eta_1 < r < r_2$ und $t > 0$ die elektrische Feldstärke $\vec{E}(\vec{r}, t)$ und die elektrische Flussdichte $\vec{D}(\vec{r}, t)$ in Abhängigkeit von $Q_1(t)$ an.

b) Leiten Sie für $\eta_1 < r < r_2$ und $t > 0$ die elektrische Feldstärke $\vec{E}(\vec{r}, t)$ und die elektrische Flussdichte $\vec{D}(\vec{r}, t)$ in Abhängigkeit von $Q_2(t)$ an.

c) Lösen Sie die Differentialgleichung mit dem Ansatz $D_r(r, t) = D_0(r) \cdot \exp(-t/\tau)$ und beschreiben Sie $\bar{D}(r, t)$ in Abhängigkeit von Q_0 und den Materialkonstanten.

- d) Welcher Strom $I(t)$ fließt für $t > 0$ zwischen den Kugelschalen, und wie groß ist $U_{12}(t)$?
- e) Welche Ladungsverteilung stellt sich für $t \rightarrow \infty$ ein?
- f) Wie verteilt sich eine Ladung Q_0 für $t \rightarrow \infty$, die zum Zeitpunkt $t = 0$ auf eine Elektrode eines vorher ungeladenen Plattenkondensators aufgebracht wird, der mit dem gleichen Material gefüllt ist?

Aufgabe 11 $\text{F}\mathcal{R}$

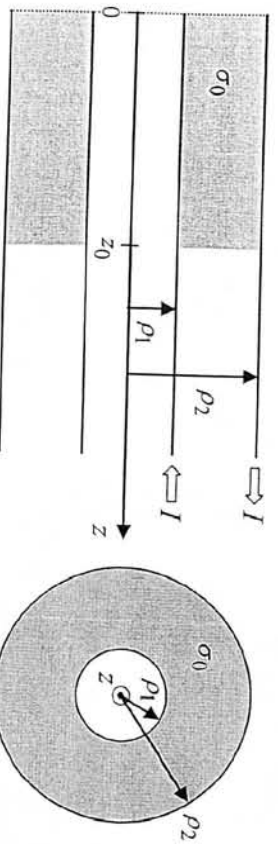


Abbildung 12

Zwischen zwei dünnwandigen, konzentrischen, ideal leitenden Zylindern mit den Radien ρ_1 und ρ_2 befindet sich im Gebiet $z = 0$ bis $z = z_0$ ein Material mit der konstanten spezifischen Leitfähigkeit σ_0 . Über den Innenleiter wird der konstante Strom I eingeprägt und über den Außenleiter abgeführt (Abbildung 12). Die Anordnung ist rotationssymmetrisch zur z -Achse. Es gilt überall $\varepsilon = \varepsilon_0$. Streufelder sind zu vernachlässigen.

- Formulieren Sie die elektrische Stromdichte $\vec{J}(\rho, \phi)$ im Gebiet $\rho_1 < \rho < \rho_2$, $0 < z < z_0$.
- Welche Flächenstromdichte \vec{J}_A ergibt sich auf dem Innenleiter für $z > z_0$? Berechnen Sie die Flächenstromdichte $\vec{J}_A(z)$ auf dem Innenleiter für $0 < z < z_0$.
- Wie groß ist die magnetische Feldstärke $\vec{H} = H_\phi(\rho, z) \cdot \vec{e}_\phi$ für $z > z_0$ im Bereich $\rho_1 < \rho < \rho_2$ und im Bereich $\rho > \rho_2$?

- d) Berechnen Sie die magnetische Feldstärke $\vec{H} = H_\phi(\rho, z) \cdot \vec{e}_\phi$ im Gebiet $\rho_1 < \rho < \rho_2$, $0 < z < z_0$. Verwenden Sie dazu das Durchflutungsgesetz und überlegen Sie, welcher Strom $I(z)$ durch die von einem Umlauf aufgespannte Fläche tritt.
Das leitfähige Material hat im Folgenden die ortsabhängige spezifische Leitfähigkeit $\sigma(\rho) = \sigma_0 \cdot (\rho_1/\rho)^2$.
- e) Welche Raumladungsdichte $\rho_e(\rho)$ stellt sich im Material ein?

{ nach
nach}

Kleingruppenübung zu Grundgebiete der Elektrotechnik III

Lehrstuhl für Allgemeine Elektrotechnik und Datenverarbeitungssysteme
Univ.-Prof. Dr.-Ing. T. Noll
WS 09/10 - Blatt 5

Aufgabe 12 R

- Ein unendlich langer Zylinder mit dem Radius R rotiert mit der Winkelgeschwindigkeit ω um die z -Achse (Abbildung 13). Auf der Oberfläche des Zylinders befindet sich die homogene Flächenladung σ_e .
- a) Berechnen Sie mit dem Durchflutungsgesetz die Komponente H_ϕ der magnetischen Feldstärke \vec{H} . Betrachten Sie dazu den Strom, den ein Umlauf in \vec{e}_ϕ -Richtung für $\rho < R$ und $\rho > R$ umschließt.
- b) Für diese Anordnung gilt $\oint_A \vec{H} \cdot d\vec{A} = 0$. Zeigen Sie anhand einer zylinderförmigen Hülle, dass $H_\rho = 0$ gilt.
- c) Die in Abbildung 14 eingezeichnete Fläche A schneidet die Oberfläche des Zylinders. Es gilt $d\vec{A} = dA \cdot \vec{e}_\phi$ und $\rho_1 < R < \rho_2$. Wie groß ist der Strom I_A , der durch A fließt? Überlegen Sie

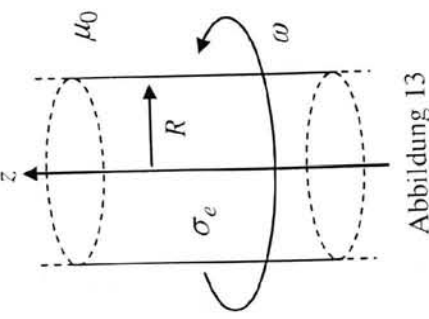


Abbildung 13

dazu, welche Ladungsmenge pro Zeiteinheit durch die Fläche A hindurchtritt.

- d) Berechnen Sie die magnetische Feldstärke \vec{H} im Inneren des Zylinders, indem Sie das Durchflutungsgesetz auf die Fläche A in Abbildung 14 anwenden.

Nehmen Sie dazu an, dass gilt:

$$\vec{H} = \begin{cases} H_z(\rho) \cdot \vec{e}_z & \text{für } 0 \leq \rho < R \\ 0 & \text{für } \rho > R \end{cases}$$

Im Folgenden hat der rotierende Zylinder keine Flächenladung, sondern ist mit der Raumladungsdichte ρ_e gefüllt. Die Annahme aus Unterpunkt d) gilt weiterhin.

- e) Berechnen Sie die magnetische Feldstärke \vec{H} im Inneren des Zylinders für $\rho_e = \rho_{e0} = \text{const}$, indem Sie wiederum das Durchflutungsgesetz auf die Fläche A in Abbildung 14 anwenden.
- f) Überprüfen Sie das Ergebnis aus Unterpunkt e) für $\rho < R$ anhand der differentiellen Form des Durchflutungsgesetzes.

- g) Welche vom Radius abhängige Raumladungsdichte $\rho_e(\rho)$ bewirkt eine magnetische Feldstärke der Form

$$\vec{H} = \omega \cdot \rho_{e0} \cdot \rho^2 \cdot (1 - \frac{\rho}{R}) \cdot \vec{e}_z$$

HINWEIS: Verwenden Sie die Rotation in Zylinderkoordinaten:

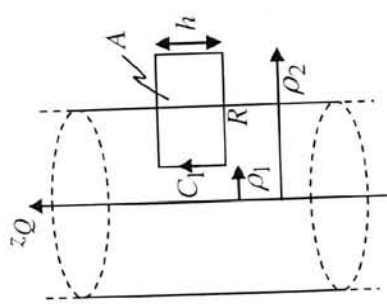


Abbildung 14

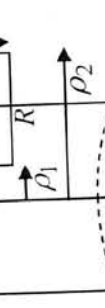


Abbildung 15

Kleingruppenübung zu
Grundgebiete der Elektrotechnik III

Lehrstuhl für Allgemeine Elektrotechnik und Datenverarbeitungssysteme
 Univ.-Prof. Dr.-Ing. T. Noll
 WS 09/10 - Blatt 6

Aufgabe 14

Leiterschleife verursachte magnetische Feld vernachlässigt werden kann. Im ganzen Raum gilt $\mu = \mu_0$. Das magnetische Vektorpotential des magnetischen Dipols ist gegeben durch:

$$\vec{A}_m(\vec{r}_A) = \frac{\mu_0 \cdot m_0}{4\pi} \cdot \frac{\rho_A}{\sqrt{\rho_A^2 + z_A^2}} \cdot \vec{e}_\phi$$

- a) Beschreiben Sie die Position $z(t)$ der Leiterschleife und berechnen Sie den magnetischen Fluss $\Phi(t) > 0$ durch die Leiterschleife.

HINWEIS: $\iint_A \text{rot } \vec{V} \cdot d\vec{A} = \oint_C \vec{V} \cdot d\vec{s}$ (Satz von Stokes)

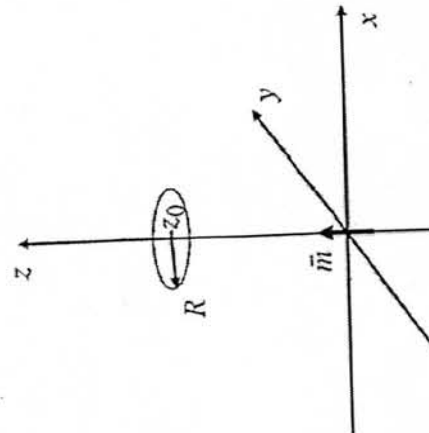


Abbildung 18

Im Koordinatenursprung befindet sich ein magnetischer Dipol mit dem magnetischen Moment $\vec{m} = m_0 \cdot \vec{e}_z$, $m_0 > 0$. Parallel zur x - y -Ebene befindet sich zum Zeitpunkt $t = 0$ bei $z = z_0$ eine kreisförmige Leiterschleife mit dem Radius R , welche sich mit der konstanten Geschwindigkeit $\vec{v} = v_0 \cdot (-\vec{e}_z)$ und $v_0 > 0$ bewegt. Der Widerstand der Leiterschleife ist so groß, dass das von der

Leiterschleife verursachte magnetische Feld vernachlässigt werden kann. Im ganzen Raum gilt $\mu = \mu_0$. Das magnetische Vektorpotential des magnetischen Dipols ist gegeben durch:

$$\vec{A}_m(\vec{r}_A) = \frac{\mu_0 \cdot m_0}{4\pi} \cdot \frac{\rho_A}{\sqrt{\rho_A^2 + z_A^2}} \cdot \vec{e}_\phi$$

- a) Beschreiben Sie die Position $z(t)$ der Leiterschleife und berechnen Sie den magnetischen Fluss $\Phi(t) > 0$ durch die Leiterschleife.

HINWEIS: $\iint_A \text{rot } \vec{V} \cdot d\vec{A} = \oint_C \vec{V} \cdot d\vec{s}$ (Satz von Stokes)

- b) Bestimmen Sie mit dem Ergebnis aus Unterpunkt a) die in der Leiterschleife induzierte Spannung $U_{11}(t)$.

Die induzierte Spannung in der Leiterschleife soll nun mit Hilfe der Lorentzkraft in der Leiterschleife (induzierte Feldstärke \vec{E}_{12}) bestimmt werden.

- c) Bestimmen Sie die Komponente der magnetischen Flussdichte \vec{B} , welche Einfluss auf die induzierte Feldstärke \vec{E}_{12} hat.

HINWEIS: Verwenden Sie die Rotation im Zylinderkoordinaten.

- d) Berechnen Sie mit der magnetischen Flussdichte am Ort der bewegten Leiterschleife die induzierte Feldstärke \vec{E}_{12} .

- e) Bestimmen Sie durch Integration über die induzierte Feldstärke \vec{E}_{12} die in der Leiterschleife induzierte Spannung $U_{12}(t)$ und vergleichen Sie diese mit der induzierten Spannung $U_{11}(t)$ aus Unterpunkt b).

Aufgabe 13

Eine dünne Kreisplatte mit dem Radius a und der homogenen Flächenladungsdichte σ_e befindet sich in der x - y -Ebene. Sie rotiert mit der Kreisfrequenz ω um die z -Achse (Abbildung 15).

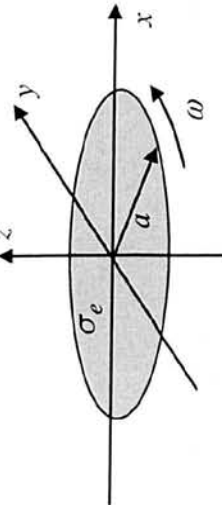


Abbildung 15

Gesucht ist die magnetische Feldstärke \bar{H}_A in einem Aufpunkt in der z -Achse: $x_A = y_A = 0, z_A$. Sie kann mithilfe des Integrals:

$$\bar{H}_A(\vec{r}_A) = \frac{1}{4\pi} \iint_{\text{Kreisfläche}} \frac{\vec{J}_Q \times \vec{r}_{AQ}}{r_{AQ}^3} \cdot dA_Q$$

berechnet werden, wobei $\vec{J}_Q = \sigma_e \cdot \vec{v}$ die Flächenstromdichte der Flächenladung mit der Bahngeschwindigkeit \vec{v} beschreibt.

- Geben Sie die Flächenstromdichte \vec{J}_Q in Zylinderkoordinaten an.
- Stellen Sie den Integralausdruck in Zylinderkoordinaten auf und geben Sie die Integrationsgrenzen an.
- Überlegen Sie, welche resultierende Komponente \bar{H}_A hat und berechnen Sie das Integral für diese Komponente.

$$\text{HINWEIS: } \int \frac{x^3}{(x^2 + a^2)^{3/2}} \cdot dx = \sqrt{x^2 + a^2} + \frac{a^2}{\sqrt{x^2 + a^2}}$$

Nun wird ein rotierender Zylinder mit der homogenen Raumladungsdichte ρ_e betrachtet (Abbildung 16). Der Zylinder hat die Höhe $2h$. Gesucht ist wieder die magnetische Feldstärke \bar{H}_A im Aufpunkt $x_A = y_A = 0, z_A$.

- Formulieren Sie mithilfe des Ergebnisses aus Unterpunkt c) den Beitrag $d\bar{H}_A$ eines infinitesimal dünnen, kreisförmigen Teilvolumens dV_Q des Zylinders entsprechend Abbildung 17.

- Berechnen Sie die vom gesamten Zylinder am Aufpunkt A erzeugte magnetische Feldstärke \bar{H}_A .

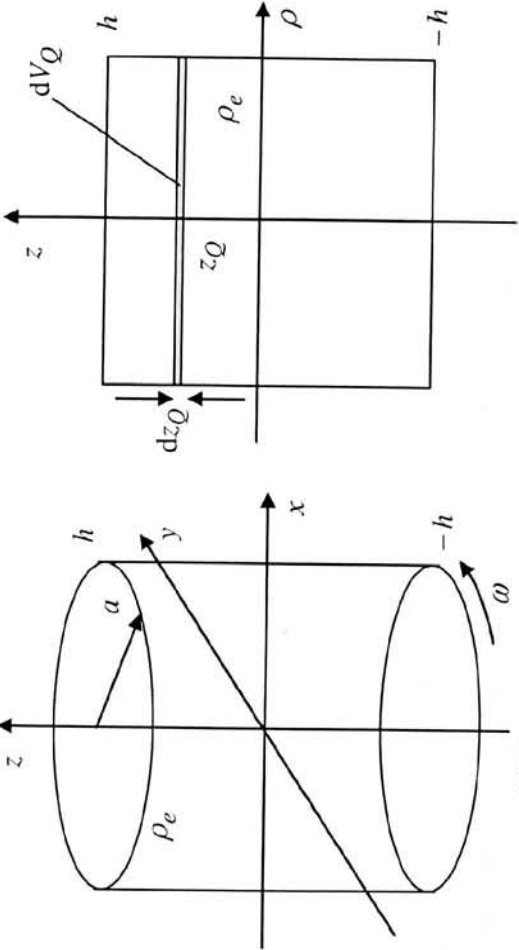


Abbildung 16

Abbildung 17

Aufgabe 15

Parallel zu einem Liniенstrom $i(t)$ entlang der z -Achse befindet sich im Abstand x_s in der x - z -Ebene eine quadratische Leiterschleife (Abbildung 19). An den offenen Klemmen der Schleife wird die Spannung $u_{12}(t)$ gemessen.

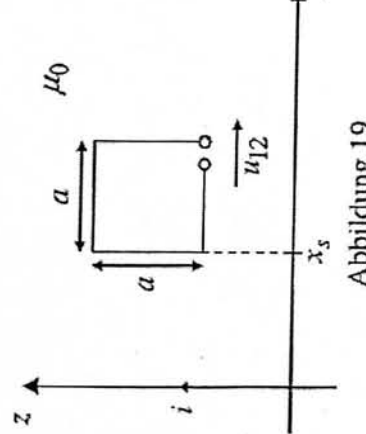


Abbildung 19

- d) Schließlich gilt $x_s = x_s(t) = v_0 \cdot t + a$ und $i(t) = \hat{i} \cdot \sin(\omega t)$. Welchen Verlauf nimmt $u_{12}(t)$ jetzt an?
- Im Folgenden sollen die Segmente der Schleife mit einem Widerstandsbelag $R' = R_0/a$ behaftet sein. Außerdem wird ein weiteres Segment, ebenfalls mit R' behaftet, hinzugefügt (Abbildung 20). Das durch den Schleifenstrom i verursachte Magnetfeld kann gegenüber dem des Liniensstroms i vernachlässigt werden.

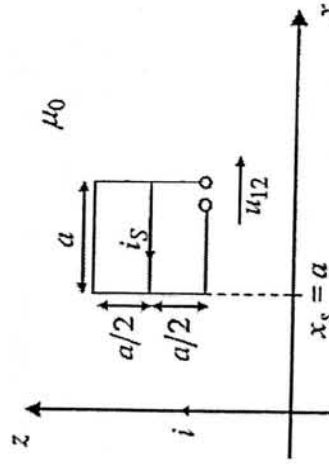


Abbildung 20

- a) Berechnen Sie den Fluss Φ durch die Schleife in Abhängigkeit von x_s und i . Wählen Sie das Vorzeichen von Φ so, dass der in y -Richtung durch die Schleife tretende Fluss positiv gezählt wird.
- b) Zunächst gilt $x_s = a$ und $i(t) = \hat{i} \cdot \sin(\omega t)$. Welche Spannung $u_{12}(t)$ wird an den Klemmen der Schleife gemessen?
- c) Die Schleife wird nun gleichförmig mit der Geschwindigkeit $v_0 = \text{const}$ bewegt, während der Linienstrom konstant bleibt: $x_s = x_s(t) = v_0 \cdot t + a$, $i(t) = \hat{i} = \text{const}$. Welche Spannung $u_{12}(t)$ ergibt sich damit?
- e) Berechnen Sie für $x_s = a$ und $i = i(t) = \hat{i} \cdot \sin(\omega t)$ die Spannung $u_{12}(t)$.
- f) Berechnen Sie für $i(t) = \hat{i} = \text{const}$ und $x_s = x_s(t) = v_0 \cdot t + a$ die elektrische Leistung $P(t)$. Wie groß ist die x -Komponente $F_x(t)$ der Kraft auf die Schleife?

HINWEIS: $P = \vec{F} \cdot \vec{v}$

$$\vec{F} = \frac{1}{4\pi\epsilon_0} \frac{q \cdot \alpha}{r^2} \vec{e}_{qQ}$$

$$\vec{E} = \frac{\vec{F}}{q}$$

$$\vec{D} = \epsilon \cdot \vec{E} = \frac{\epsilon}{\sigma} \vec{J}$$

$$\epsilon = \epsilon_r \cdot \epsilon_0$$

$$\vec{E} = -\operatorname{grad} \varphi_e$$

$$\varphi_e(\vec{r}) = \varphi_0 - \int \vec{E} d\vec{s}$$

$$U_{12} = \int \vec{E} d\vec{s}$$

$$\gamma = \iint D d\vec{A}$$

$$\text{Statik: } \operatorname{rot} \vec{E} = 0$$

$$\Leftrightarrow \oint_C \vec{E} d\vec{s} = 0$$

$$\iint_H \vec{D} d\vec{A} = \vec{Q}_{\text{ein}} = \iint_V \vec{P}_e dV$$

$$\Leftrightarrow \operatorname{div} \vec{D} = P_e$$

$$C = \frac{Q_1}{U_{12}} = \frac{\iint \vec{D} d\vec{A}}{\int \vec{E} d\vec{s}}$$

Winkel

$$C = \epsilon \cdot \ell \cdot \frac{1}{\alpha} \ln\left(\frac{r_a}{r_i}\right)$$

$$\vec{J} = \sigma \cdot (\vec{E} + \vec{E}_c)$$

$$I = \iint_A \vec{J} d\vec{A} \parallel \vec{v} \times \vec{B}$$

$$\vec{J} = \sigma \vec{E} = \frac{\sigma}{\epsilon} \vec{D}$$

$$\sigma = \frac{1}{S}$$

$$\operatorname{div}(\operatorname{grad} \varphi_e) = -\frac{P_e}{\epsilon}$$

$$P_e(\vec{r}) = \vec{J}(\vec{r}) \cdot \operatorname{grad}\left(\frac{\epsilon(\vec{r})}{\sigma(\vec{r})}\right)$$

$$\operatorname{div}\left(\vec{J} + \frac{\partial \vec{D}}{\partial t}\right) = 0$$

$$\Leftrightarrow \iint_H \left(\vec{J} + \frac{\partial \vec{D}}{\partial t}\right) d\vec{A} = 0$$

$$\operatorname{div} \vec{J} = -\frac{\partial P_e}{\partial t}$$

$$\vec{F}_m = q(\vec{v} \times \vec{B}) = \Delta V(\vec{J} \times \vec{B})$$

$$= I \cdot (\Delta \vec{l} \times \vec{B}) \quad d\vec{F}_m = I \cdot (d\vec{s} \times \vec{B})$$

$$\vec{B} = \mu \cdot \vec{H} \quad \vec{H} = \frac{1}{2\pi\epsilon} \cdot \vec{e}_\phi$$

$$\mu = \mu_r \cdot \mu_0$$

$$\phi = \iint_A \vec{B} d\vec{A}$$

$$\oint_C \vec{H} d\vec{s} = I_{\text{ein}} = \iint_H \left(\vec{J} + \frac{\partial \vec{D}}{\partial t} \right) d\vec{A}$$

$$\Leftrightarrow \operatorname{rot} \vec{H} = \vec{J} + \frac{\partial \vec{D}}{\partial t}$$

+ Biot-Savart Gesetz

$$\iint_H \vec{B} d\vec{A} = 0 \Leftrightarrow \operatorname{div} \vec{B} = 0$$

$$\iint_C \vec{E} d\vec{s} = U_i = -\frac{d}{dt} \iint_A \vec{B} d\vec{A}$$

$$\Leftrightarrow \operatorname{rot} \vec{E} = -\frac{\partial}{\partial t} \vec{B}$$

$$\text{Platten: } C = \frac{A \cdot \epsilon}{d}$$

$$\text{Kugel: } C = \frac{4\pi \epsilon}{\left(\frac{1}{r_i} - \frac{1}{r_a}\right)}$$

$$\text{Zylinder: } C = \frac{2\pi \cdot \ell \cdot \epsilon}{\ln\left(\frac{r_a}{r_i}\right)}$$

$$\text{Kugel im \infty: } (r_a \rightarrow \infty) \quad C = 4\pi \epsilon r$$

$$R = \frac{r}{\sigma A}$$

$$\gamma = \frac{\epsilon}{\sigma} = \epsilon$$

Nachbarzylinder: $\frac{Q}{d}$

$$C = \frac{\pi \cdot \epsilon \cdot \ell}{\ln\left(\frac{d}{2R} \sqrt{\frac{d^2}{4R^2} - 1}\right)}$$

gl. Anordnung:

Duale An.

$$R_{12} = \frac{\epsilon}{\sigma C_{12}}$$

$$C_{34} = \epsilon \cdot \sigma \ell^2 R_{12} = R_C = \underline{\underline{R_C}}$$

∞ -lange Linienladung $g_1 \parallel Z$ -Achse:

$$\vec{E}(\vec{r}) = \frac{q_L}{2\pi\epsilon} \frac{\vec{r}_{AQ}}{r_{AQ}^2} = \frac{q_L}{2\pi\epsilon} \frac{\vec{e}_r}{S}$$

$$\varphi_e(\vec{r}) = -\frac{q_L}{2\pi\epsilon} \ln\left(\frac{S}{S_0}\right)$$

Punktladung:

$$\vec{E}(\vec{r}) = \frac{Q}{4\pi\epsilon} \frac{\vec{e}_{AQ}}{r_{AQ}^2} = \frac{Q}{4\pi\epsilon} \frac{\vec{r}_{AQ}}{r_{AQ}^3}, \vec{D} = \frac{Q \vec{e}_{AQ}}{4\pi\epsilon r_{AQ}^2}$$

$$\varphi_e(\vec{r}) = \frac{Q}{4\pi r_{AQ} \epsilon}, \varphi_{eo}(r \rightarrow \infty) = 0,$$

$\omega_{\text{alg}} = \Delta Q \cdot U$

$$\text{Energiedichte: } w_c = \frac{1}{2} \epsilon E^2 = \frac{D^2}{2\epsilon} = \frac{\vec{D} \cdot \vec{E}}{2} \left[\frac{J}{m^3} \right]$$

$$\text{Leistungsdichte: } p_{el} = \vec{J} \cdot \vec{E} \left[\frac{W}{m^2} \right]$$

$$\text{Energie in C: } W = \frac{1}{2} C U^2 = \frac{1}{2} Q U = \frac{Q^2}{2C}$$

falls $\sigma_e = 0$ keine Polarisationsladung

$$\frac{\tan \alpha_1}{\tan \alpha_2} = \frac{\epsilon_1}{\epsilon_2}$$

$$D_{AN} = D_{QN}$$

falls $E_c = 0$

$$\frac{\tan \alpha_1}{\tan \alpha_2} = \frac{\sigma_1}{\sigma_2}$$

$$H_{1t} = H_{2t}$$

falls $J_A = 0$

$$\frac{\tan \alpha_1}{\tan \alpha_2} = \frac{\mu_1}{\mu_2}$$

$$H_{1t} = H_{2t}$$

$B_{1N} = B_{2N}$ (inner)

$$\frac{\vec{e}_{in} \times (\vec{H}_1 - \vec{H}_2)}{H_{1t} - H_{2t}} = \vec{J}_A$$

$$(inner)$$

Kugel

$$d\vec{s} = \vec{e}_r dr + \vec{e}_\theta r d\theta + \vec{e}_\phi r \sin\theta d\phi$$

$$\bullet \quad \vec{e}_r = \vec{e}_x \sin\theta \cos\phi + \vec{e}_y \sin\theta \sin\phi + \vec{e}_z \cos\theta$$

$$\vec{e}_\theta = \vec{e}_x \cos\theta \cos\phi + \vec{e}_y \cos\theta \sin\phi - \vec{e}_z \sin\theta$$

$$\vec{e}_\phi = \vec{e}_y \cos\phi - \vec{e}_x \sin\phi$$

$$\vec{e}_x = \vec{e}_r \sin\theta \cos\phi + \vec{e}_\theta \cos\theta \cos\phi - \vec{e}_\phi \sin\phi$$

$$\vec{e}_y = \vec{e}_r \sin\theta \sin\phi + \vec{e}_\theta \cos\theta \sin\phi + \vec{e}_\phi \cos\phi$$

$$\vec{e}_z = \vec{e}_r \cos\theta - \vec{e}_\theta \sin\theta$$

$$\sin\theta = \frac{y}{r}, \cos\theta = \frac{x}{r}$$

$$\vec{e}_z \cdot \vec{e}_r = \cos\theta, \vec{e}_x \cdot \vec{e}_\theta = \cos\phi, \quad \begin{aligned} \sin\alpha &= -\sin(-\alpha) & \sin(\pi+\alpha) &= -\sin\alpha \\ \cos\alpha &= \cos(-\alpha) & \cos(\pi+\alpha) &= -\cos\alpha \end{aligned}, \quad \vec{e}_y \cdot \vec{e}_\phi = \sin\phi$$

$$\bullet \quad dV = r^2 dr \sin\theta d\theta d\phi$$

$$\text{grad } \varphi_e = \vec{e}_r \frac{d\varphi_e}{dr} + \vec{e}_\theta \frac{1}{r} \frac{\partial \varphi_e}{\partial \theta} + \vec{e}_\phi \frac{1}{r \sin\theta} \frac{\partial \varphi_e}{\partial \phi}$$

$$\text{div } \vec{D} = \frac{1}{r^2} \frac{\partial (r^2 D_r)}{\partial r} + \frac{1}{r \sin\theta} \left(\frac{\partial (\sin\theta D_\theta)}{\partial \theta} + \frac{\partial D_\phi}{\partial \phi} \right)$$

$$\text{rot } \vec{H} = \vec{e}_r \left(\frac{1}{r \sin\theta} \left(\frac{\partial (\sin\theta H_\phi)}{\partial \theta} - \frac{\partial H_\theta}{\partial \phi} \right) \right)$$

$$+ \vec{e}_\theta \left(\frac{1}{r \sin\theta} \frac{\partial H_r}{\partial \phi} - \frac{1}{r} \frac{\partial (r H_\phi)}{\partial r} \right) + \vec{e}_\phi \left(\frac{1}{r} \left(\frac{\partial (r H_\theta)}{\partial r} - \frac{\partial H_r}{\partial \theta} \right) \right)$$

$$\text{div}(\text{grad } \varphi_e) = \frac{1}{r^2} \frac{\partial}{\partial r} \left(r^2 \frac{\partial \varphi_e}{\partial r} \right) + \frac{1}{r^2 \sin\theta} \frac{\partial}{\partial \theta} \left(\sin\theta \frac{\partial \varphi_e}{\partial \theta} \right)$$

$$\bullet \quad + \frac{1}{r^2 \sin^2\theta} \frac{\partial^2 \varphi_e}{\partial \phi^2}$$

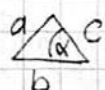
$$\text{KART}, \quad \text{rot } \vec{E} = \vec{e}_x \left(\frac{\partial E_z}{\partial y} - \frac{\partial E_y}{\partial z} \right) + \vec{e}_y \left(\frac{\partial E_x}{\partial z} - \frac{\partial E_z}{\partial x} \right) + \vec{e}_z \left(\frac{\partial E_y}{\partial x} - \frac{\partial E_x}{\partial y} \right), \quad \text{div } \vec{D} = \frac{\partial D_x}{\partial x} + \frac{\partial D_y}{\partial y} + \frac{\partial D_z}{\partial z}$$

$$\text{grad } \varphi_e = \vec{e}_x \frac{\partial \varphi_e}{\partial x} + \vec{e}_y \frac{\partial \varphi_e}{\partial y} + \vec{e}_z \frac{\partial \varphi_e}{\partial z}, \quad \text{div}(\text{grad } \varphi_e) = \frac{\partial^2 \varphi_e}{\partial x^2} + \frac{\partial^2 \varphi_e}{\partial y^2} + \frac{\partial^2 \varphi_e}{\partial z^2}$$

$$\vec{a} \cdot \vec{b} = a \cdot b \cdot \cos\alpha \quad \sin(x + \frac{\pi}{2}) = \cos x$$

$$|\vec{a} \times \vec{b}| = a \cdot b \cdot |\sin\alpha| \quad \cos(x - \frac{\pi}{2}) = \sin x$$

$$a^2 = b^2 + c^2 - 2bc \cdot \cos\alpha$$



$$U_{12} = \varphi_1 - \varphi_2 \quad \frac{1}{2} U_{12} \rightarrow 2$$

$$\vec{r}_{AQ} = \vec{r}_A - \vec{r}_Q \quad A \leftarrow \vec{r}_{AQ} Q$$

Zylinder

$$d\vec{s} = d\rho \vec{e}_\rho + \rho d\phi \vec{e}_\phi + dz \vec{e}_z$$

$$\vec{e}_\rho = \frac{\vec{e}_x x + \vec{e}_y y}{\sqrt{x^2 + y^2}} = \vec{e}_x \cos\phi + \vec{e}_y \sin\phi$$

$$\vec{e}_\phi = \frac{\vec{e}_y x - \vec{e}_x y}{\sqrt{x^2 + y^2}} = \vec{e}_y \cos\phi - \vec{e}_x \sin\phi$$

$$\vec{e}_x = \vec{e}_\rho \cos\phi - \vec{e}_\phi \sin\phi$$

$$\vec{e}_y = \vec{e}_\rho \sin\phi + \vec{e}_\phi \cos\phi$$

$$\sin\phi = \frac{y}{\rho}, \cos\phi = \frac{x}{\rho}, \rho = \sqrt{x^2 + y^2}$$

$$\text{div } \vec{D} = \frac{1}{\rho} \left(\frac{\partial (\rho D_\rho)}{\partial \rho} + \frac{\partial D_\phi}{\partial \phi} \right) + \frac{\partial D_z}{\partial z}$$

$$\text{grad } \varphi_e = \vec{e}_\rho \frac{\partial \varphi_e}{\partial \rho} + \vec{e}_\phi \frac{1}{\rho} \frac{\partial \varphi_e}{\partial \phi} + \vec{e}_z \frac{\partial \varphi_e}{\partial z}$$

$$\text{rot } \vec{H} = \vec{e}_\rho \left(\frac{1}{\rho} \frac{\partial H_z}{\partial \phi} - \frac{\partial H_\phi}{\partial z} \right) + \vec{e}_\phi \left(\frac{1}{\rho} \frac{\partial H_z}{\partial z} - \frac{1}{\rho} \frac{\partial H_\rho}{\partial \phi} \right)$$

$$+ \vec{e}_z \left(\frac{1}{\rho} \frac{\partial (H_\phi)}{\partial \rho} - \frac{1}{\rho} \frac{\partial H_\rho}{\partial \phi} \right)$$

$$\text{div}(\text{grad } \varphi_e) = \frac{1}{\rho} \frac{\partial}{\partial \rho} \left(\rho \frac{\partial \varphi_e}{\partial \rho} \right) + \frac{1}{\rho^2} \frac{\partial^2 \varphi_e}{\partial \phi^2} + \frac{1}{\rho^2} \frac{\partial^2 \varphi_e}{\partial z^2}$$

$$\text{rot } \vec{H} = \vec{e}_\rho \left(\frac{1}{\rho} \frac{\partial H_z}{\partial \phi} - \frac{\partial H_\phi}{\partial z} \right) + \vec{e}_\phi \left(\frac{1}{\rho} \frac{\partial H_z}{\partial z} - \frac{1}{\rho} \frac{\partial H_\rho}{\partial \phi} \right)$$

$$+ \vec{e}_z \left(\frac{1}{\rho} \frac{\partial (H_\phi)}{\partial \rho} - \frac{1}{\rho} \frac{\partial H_\rho}{\partial \phi} \right)$$

$$\text{div}(\text{grad } \varphi_e) = \frac{1}{\rho} \frac{\partial}{\partial \rho} \left(\rho \frac{\partial \varphi_e}{\partial \rho} \right) + \frac{1}{\rho^2} \frac{\partial^2 \varphi_e}{\partial \phi^2} + \frac{1}{\rho^2} \frac{\partial^2 \varphi_e}{\partial z^2}$$

X Y Z X Y Z

r θ φ z r θ φ z

r θ φ r θ φ

sin x cos x

Ketov

$$\begin{aligned} \text{Polarisation} & P_L = q_L \cdot \alpha \\ \vec{P} &= \frac{\partial}{\partial V} \vec{P} \\ d\vec{P} &= \vec{P} \cdot dV_Q \end{aligned} \quad \begin{aligned} \vec{D} &= \vec{E} \cdot \epsilon_0 + \vec{P} = (1+x_e) \epsilon_0 \vec{E} \\ \vec{P} &= Q \cdot d \\ \vec{P} &= \vec{P}_L \cdot l \end{aligned} \quad \begin{aligned} \vec{P} &= x_e \epsilon_0 \vec{E} \quad \text{NUR IDEAL}, \quad 1+x_e = \epsilon_r \geq 1 \\ \vec{L} &= \vec{d} \times \vec{F} = \vec{P} \times \vec{E} = Q \cdot d \times \vec{E} \quad (\text{Drehmoment}) \end{aligned} \quad \begin{aligned} P_0 &= \sigma \epsilon_0 \\ \vec{P} &= \vec{P}_0 \cdot \frac{1}{r^3} \end{aligned}$$

$$\begin{aligned} \text{Dipol} [E_b \sim \frac{1}{r^3}] & \quad \begin{aligned} \text{Spiegelung Kugel} & \quad \text{NUR homogenes Feld} \\ X_{\text{INNEN}} &= \frac{r_{\text{KUGEL}}^2}{X_{\text{AUßEN}}} , \quad Q_{\text{INNEN}} = -Q_{\text{AUßEN}} \frac{r_{\text{KUGEL}}}{X_{\text{AUßEN}}} \end{aligned} \\ \varphi_D(\vec{r}) &= \frac{\vec{P} \cdot \vec{r}_{AQ}}{4\pi \epsilon_0 r_{AQ}^3} \end{aligned}$$

$$\begin{aligned} \text{Winkelgeschwindigkeit} & \quad \text{Equipotenzialflächen } \varphi_{\infty} \\ \omega &= \frac{2\pi}{T} = \frac{v}{r} \quad \text{langer Linienladungen } \pm q_L \\ a^2 + R^2 &= x_m^2 \end{aligned} \quad \begin{aligned} \text{Differenzverfahren} & \quad \begin{array}{c} \bullet \\ A \end{array} \begin{array}{c} \bullet \\ B \end{array} \begin{array}{c} \bullet \\ C \end{array} \\ \varphi_0 &= \frac{1}{4}(\varphi_A + \varphi_B + \varphi_C + \varphi_D) \end{aligned}$$

$$\begin{aligned} \text{Energie} & \quad \text{Hebelarm} \\ dW_e &= W_e, \text{nachher} - W_e, \text{vorher} = \Delta W_Q \quad \Delta W_{\text{MECH}} \\ dW &= \vec{F}_q d\vec{s} = q \cdot \vec{E} d\vec{s} , \quad \omega_{12} = \int_1^2 \vec{F} d\vec{s} = F s_{12} \\ \Delta W_{12} &= q \cdot \omega_{12} = -\Delta E_{\text{pot}} \end{aligned} \quad \begin{aligned} \text{Leistung} & \quad \text{Virtuelle Verschiebung} \\ P &= u \cdot i = I^2 R = \frac{u^2}{R} \\ &= \frac{\omega}{t} = F \cdot v \\ &= \vec{F} \cdot \vec{v} \end{aligned}$$

$$\begin{aligned} \text{Stromdichte:} & \quad \text{Vakuum} \\ \vec{J} &= \rho_e \cdot \vec{v} , \quad \vec{J}_A = \sigma_e \cdot \vec{v} \\ \vec{J} &= \frac{(+)}{-} e \cdot \frac{(n+e)}{n-e} \cdot \vec{v} = \frac{1}{2} \cdot \frac{c^2 n - e \epsilon}{m} \vec{E} \\ 0 \leq \frac{1}{\sigma} &= \sigma = \frac{1}{2} \frac{e^2 n - e \epsilon}{m_0} = \mu \cdot e \cdot n - e \\ \mu &= \frac{1}{2} \frac{e \epsilon}{m} \quad (\text{Beweglichkeit}) < 0 \\ \vec{v} &= \mu \vec{E} \quad (\text{Driftgeschwind}) \end{aligned} \quad \begin{aligned} \epsilon &= \epsilon_0 \quad \vec{v} = 0 \\ \mu &= \mu_0 \quad \text{div } \vec{B} = \text{div } \vec{H} = 0 , \quad \vec{B} = \mu_0 \cdot \vec{H} \\ \vec{J} &= 0 , \quad \text{div } \vec{D} = \text{div } \vec{E} = 0 , \quad \vec{D} = \epsilon_0 \vec{E} \\ \text{rot } \vec{H} &= \frac{\partial \vec{D}}{\partial t} , \quad \text{rot } \vec{E} = -\frac{\partial \vec{B}}{\partial t} \end{aligned}$$

$$\begin{aligned} \text{Linear} \quad \vec{P} &\sim \vec{E} \quad \begin{aligned} \text{Feldlinien (H Analog)} \\ |\vec{J}| \sim |\vec{H}| \end{aligned} \quad \begin{aligned} \text{Induktivitätsbelag Koaxialkabel} \\ L'_{02} = \frac{\mu}{8\pi}, \quad L'_a = \frac{\mu}{2\pi} \ln\left(\frac{R_2}{R_1}\right) \end{aligned} \\ \text{Isotrop} \quad \vec{P} &\uparrow \vec{E} \quad \begin{aligned} \vec{E} \times d\vec{s} = 0 \Leftrightarrow \vec{E} \parallel d\vec{s} \\ \vec{J} \parallel \vec{H} \end{aligned} \quad \begin{aligned} \text{Transformatorgleichungen} \rightarrow [\mu = L_{12} = L_{21}] \\ u_1(t) = L_{11} \frac{di_1}{dt} + L_{12} \frac{di_2}{dt}, \quad u_2(t) = L_{21} \frac{di_1}{dt} + L_{22} \frac{di_2}{dt} \end{aligned} \\ \text{homogen } \epsilon &\neq \epsilon(r) \quad \begin{aligned} \text{Beschleunigung } -e \text{ im } \vec{E} \\ \frac{v}{m/s} = 0,594 \cdot 10^6 \sqrt{\frac{u}{V}} \end{aligned} \quad \begin{aligned} \text{Dualer Anordnungen: } C' = \frac{C}{2} \\ C'_{12} = \frac{\epsilon}{C'_{34}}, \quad G'_{12} = \frac{\sigma}{G'_{34}} \end{aligned}$$

$$\begin{aligned} e &\approx 1,602 \cdot 10^{-19} \text{ As} \quad [J] = \frac{A}{m^2} \\ m_{e,0} &= 9,108 \cdot 10^{-34} \text{ kg} \quad [O] = \frac{A}{Vm^2} \\ \sigma_{cu} &= 59 \cdot 10^6 \frac{A}{Vm} \quad [U] = \frac{Vs}{m^2} \quad \begin{aligned} [C] = F = \frac{As}{V} \\ [Q] = [Y] = As = C \end{aligned} \\ U_{cu} &= 4,36 \frac{cm^2}{Vs} \quad \text{Beweglichkeit } J \\ \tau_{cu} &= 4,95 \cdot 10^{-14} \text{ s} \approx 50 \text{ fs} \quad [P_e] = \frac{W}{m^3} \quad [L] = H = \frac{Vs}{A} \quad [E] = \frac{V}{m} = \frac{N}{C} = \frac{As}{Vm} \\ n_{-cu} &\approx 8,45 \cdot 10^{22} \text{ cm}^{-3} \quad [R_m] \quad \begin{aligned} [\vec{A}_m] = \frac{Vs}{m} \\ [\vec{D}] = [\sigma_e] = [\vec{P}] = \frac{1}{i} \end{aligned} \\ \tau_{cu} &\approx 50 \text{ fs} \quad [P_e] = \frac{W}{m^3} \quad [\Theta] = [\varphi_m] = [V_m] = A \quad [\vec{B}] = [\vec{J}] = \vec{T} = \frac{1}{m} \\ \tau_{cu} &\approx 50 \text{ fs} \quad [P_e] = \frac{W}{m^3} \quad [\Theta] = [\varphi_m] = [V_m] = A \quad [\vec{B}] = [\vec{J}] = \vec{T} = \frac{1}{m} \quad \text{Ketov@gmx.de} \end{aligned}$$

<u>Zylindrischer Kondensator</u>	<u>Winkelkondensator</u>	<u>Universal magnetismus</u>	<u>Polyamagnetismus</u>
$E = \frac{\mu_0}{\ln(\frac{s_o}{s_i}) S} \vec{e}_\phi$	$ E_\phi = \frac{M_1}{\alpha \cdot S}$	- universell, kein periodisch. magn. Moment, $(m_1 \vec{B})$ - im inhomogenen Feld von N/S angezogen von N/S abgestoßen	- permanent magn. Moment $(m_1 \vec{M})$ - im inhomogenen Feld von N/S angezogen $\vec{B} = \mu_0 \vec{H} + \vec{J}$, $\vec{J} \nparallel \vec{B}_0$ (verstärkt Feld)

Elementgleichung C

$$v(t) = C \frac{du(t)}{dt}$$

$$u(t) = \frac{1}{C} \int_0^t v(t') dt' + u(0)$$

Elementgleichung L

$$u(t) = L \frac{di(t)}{dt} = \Theta M(t) \text{ magn. Dipol}$$

$$u(t) = \frac{1}{L} \int_0^t i(t') dt' + u(0) \quad i(t) = \frac{1}{L} \int_0^t u(t') dt' + i(0) \quad \vec{A}_{m,d} = \frac{\mu_0 m \times \vec{r}_{AQ}}{4\pi r_{AQ}^3}$$

gilt immer

magnetisierung

$$\vec{M} = \frac{\vec{J}}{\mu_0}$$

magn. Polarisation

(magnetische Moment)

$$\vec{L} = \vec{m} \times \vec{B}_{NUR}$$

(Drehmoment) Feld

$$\vec{B} = \mu_0 \vec{H} + \vec{J}$$

$$= \mu_0 \vec{H} + \mu_0 \vec{M} = \mu_0 \vec{H} (1 + \chi_m)$$

$$\vec{J} = \chi_m \mu_0 \vec{H} \text{ NUR IDEAL}$$

$$; 1 + \chi_m = M_r \approx 1 (+PARA) >> 1 (FERRO)$$

$\chi_m < 0$ Diamag

$\chi_m > 0$ Paramag

Schlanke Spule
($d \ll e$)

$$H_i = 1 \cdot \frac{N}{l}$$

Biot-Savart-Gesetz

$$d\vec{H}_A = \frac{1}{4\pi} \frac{d\vec{s} \times \vec{r}_{AQ}}{r_{AQ}^3}$$

$$\vec{B}_A = \frac{\mu_0 I}{4\pi} \oint \frac{d\vec{s} \times \vec{r}_{AQ}}{r_{AQ}^3}$$

Stromkreis

$$\vec{B}_A = \frac{\mu_0}{4\pi} \iiint_{V_Q} \vec{J}_Q \times \frac{\vec{r}_{AQ}}{r_{AQ}^3} dV_Q$$

mag. Vektorpotenzial

$$\mu_0 \vec{J} = - \frac{\partial}{\partial t} \vec{A}_m$$

$$\vec{B} = \text{rot} \vec{A}_m \text{ in Kart}$$

$$\vec{A}_m = \frac{\mu_0}{4\pi} \iiint_{V_Q} \frac{\vec{J}}{r_{AQ}}$$

$$\vec{A}_{m,A} = \frac{\mu_0 I}{4\pi} \oint \frac{d\vec{s}}{r_{AQ}}$$

$$\oint_C \vec{A}_m d\vec{s} \left(= \iint_A \vec{B} d\vec{A} \right)$$

$$\text{Coulomb STAB Eichung TIK}$$

$$\text{div } \vec{A}_m = 0$$

$$\text{Lorenz Dyna Eichung mits}$$

$$\text{div } \vec{A}_m + \mu_0 \frac{\partial \Phi}{\partial t} = 0$$

magn. Widerstand

$$R_{m,k} = \frac{l_k}{\mu_k \cdot A_k}$$

$$\Re = \phi \cdot R_{m,\text{kreis}}$$

$$(M) \cdot (I) (R) \text{ ges}$$

magn. Spannung ab

$$V_{m,12} = \int_1^2 H d\vec{s}$$

Durchflutung

$$\Phi_{\text{ges}} = \iint_A (\vec{J} + \frac{\partial \vec{D}}{\partial t}) d\vec{A}$$

$$= 1 + \frac{\partial \vec{D}}{\partial t}$$

(= $N \cdot I$ Spule innen)

Energiedichte

$$\omega_m = \frac{\mu_0}{2} \frac{H^2}{2} = \frac{B \cdot H}{2} = \frac{B^2}{2\mu}$$

mag. Skalarpotenzial (Störungspot.)

$$\vec{H} = - \text{grad} \varphi_m$$

$$\Delta \varphi_m = 0 \text{ linear}$$

Induktion

$$-\frac{d\phi}{dt} \vec{A}_m d\vec{s} = -\frac{d}{dt} \iint_A \vec{B} d\vec{A} = -\frac{d\Phi_{\text{ges}}}{dt} = \mathcal{U}_i = \oint_C \vec{E}_i d\vec{s} = \iint_C (\vec{v} \times \vec{B}) d\vec{s}$$

Induziertes E-Feld: $\vec{E}_i = \vec{v} \times \vec{B}$

$$\vec{E}_{\text{ges}} = \vec{E}_i + \vec{E}_{\text{STAT}} \quad (+)$$

$$\vec{E}_{\text{ges}} = -\frac{\partial \vec{A}_m}{\partial t} - \text{grad} \varphi_e + (\vec{v} \times \vec{B})$$

Ruheinduktion

Bewegungsinduktion

Verketteter Fluß

$$\psi = \sum \phi$$

(= $N \cdot \phi$ konzent. Spule)

Energie in L

$$W = \frac{1}{2} L I^2$$

Magnetkreis (10m)

Neumannsche Formel (1 W. Induktion)

$$L_{ijk} = L_{kij} = \frac{\Phi_{kj}}{i(j)} = \frac{1}{4\pi} \oint_C \oint_{Ck} \frac{d\vec{s}_j d\vec{s}_k}{r_{kj}}$$

Querschnittsänderung

$$\frac{B_1}{B_2} = \frac{A_2}{A_1}$$

Induktivität

$$(\mathcal{U}(t)) = L \cdot i(t)$$

$$L = \mu \cdot N^2 \cdot \frac{A^2}{e}$$

$$L = \frac{N^2}{R_{m,\text{ges}}}$$

$$\sum \phi_k = 0$$

$$\phi_1, \phi_2, \phi_3$$

Verkettung

$$\gamma_{12} = \gamma_{21}$$

(Spulen)

mag. Leitwert

$$\Lambda = \frac{1}{R_m}$$

$$\phi = \mathcal{H} \Lambda_{m,\text{ges}}$$